



PROTEZIONE CIVILE
Presidenza del Consiglio dei Ministri
Dipartimento della Protezione Civile



CONFERENZA DELLE REGIONI E
DELLE PROVINCE AUTONOME

Attuazione dell'articolo 11 della legge 24 giugno 2009, n.77

MICROZONAZIONE SISMICA

LIVELLO 2

RELAZIONE ILLUSTRATIVA

Regione Emilia-Romagna
Comune di Fiscaglia



Regione:	Soggetto realizzatore:	Data:
Emilia Romagna	Dott. Geol. Thomas Veronese Collaboratori: Dott. Geol. Lunghi Luca Dott.ssa Geol. Franciosi Sara Indagini Geofisiche: Prof. Nasser Abu Zeid Cartografia GIS: Geotema s.r.l. CLE: Dott. Ing. Colombi Alessio	Dicembre 2018

Gruppo di lavoro:

Microzonazione sismica di II livello:

Dott. Geol. Thomas Veronese

Dott. Geol. Sara Franciosi

Dott. Geol. Luca Lunghi

Analisi della Condizione Limite di Emergenza

Dott. Ing. Alessio Colombi

Indagini geofisiche e interpretazione dati geofisici

Dott. Nasser Abu-Zeid

Indagini geologiche in situ:

Dott. Geol. Thomas Veronese

Dott. Geol. Luca Lunghi

Cartografia e progetto GIS:

Dott. Luca Minarelli - Geotema srl

INDICE:

1.	INTRODUZIONE.....	2
1.1.	INQUADRAMENTO GEOGRAFICO.....	3
1.2.	NORMATIVA DI RIFERIMENTO	4
2.	DEFINIZIONE DELLA PERICOLOSITÀ DI BASE E DEGLI EVENTI DI RIFERIMENTO	5
2.1.	ASSETTO TETTONICO	5
2.2.	TERREMOTI STORICI E MAGNITUDO.....	16
2.2.1.	LA MAGNITUDO ATTESA.....	23
2.3.	CLASSIFICAZIONE SISMICA	26
	Legge 2/ 2/ 74 n. 64.....	26
	OPCM 3274 del 20/03/2003	27
	D.M. 14/09/2005	28
	OPCM 3519/2006.....	28
	D.M. 14/01/2008 "nuove NTC" e successivo D.M. 17/02/2018 "aggiornamento delle NTC"	29
	"Atto di indirizzo, n°112 del 2 maggio 2007" per la Pianificazione territoriale ed urbanistica.....	29
	"DELIBERA DI GIUNTA REGIONALE 2193, DEL 21 DICEMBRE 2015" PER LA PLANIFICAZIONE TERRITORIALE ED URBANISTICA.....	30
3.	ASSETTO GEOLOGICO E GEOMORFOLOGICO DEL COMUNE DI FISCAGLIA.....	33
3.1.	CENNI DI GEOLOGIA REGIONALE	33
3.2.	CENNI SULL'EVOLUZIONE GEOMORFOLOGICA OLOCENICA.....	35
3.3.	CENNI SULLA SUBSIDENZA.....	39
4.	DATI GEOTECNICI E GEOFISICI.....	43
4.1.	INDAGINI PREGRESSE	43
4.2.	INDAGINI DI NUOVA ESECUZIONE PER GLI STUDI DI MICROZONAZIONE SISMICA.....	44
5.	MODELLO DEL SOTTOSUOLO	45
5.1.	SUPERSINTEMA EMILIANO-ROMAGNOLO.....	49
5.2.	SINTEMA EMILIANO-ROMAGNOLO INFERIORE (AEI)	50
5.3.	SINTEMA EMILIANO-ROMAGNOLO SUPERIORE (AES).....	50
5.4.	SUBSINTEMA DI BAZZANO – AES 6	52
5.5.	SUBSINTEMA DI VILLA VERUCCHIO – AES 7.....	52
5.6.	SUBSINTEMA DI RAVENNA – AES 8	53
6.	INTERPRETAZIONI E INCERTEZZE	56
6.1.	CAUSE SCATENANTI PER LA LIQUEFAZIONE DELLE SABBIE	56
6.2.	DISTRIBUZIONE E DIMENSIONI DELLE FORME GEOMORFOLOGICHE	59
7.	METODOLOGIE DI ELABORAZIONE E RISULTATI.....	60
8.	ELABORATI CARTOGRAFICI	73
8.1.	CARTA DELLE INDAGINI.....	73
8.2.	CARTA GEOLOGICO TECNICA.....	75
8.3.	CARTA DELLE FREQUENZE NATURALI F_0 DEL TERRENO.....	78
8.4.	CARTA DELLE MICROZONE OMOGENEE IN PROSPETTIVA SISMICA.....	80
8.5.	CARTA DELLE VELOCITÀ DELLE ONDE DI TAGLIO S (Vs)	86
	Correlazione empirica da penetrometrie	86
	Misure dirette mediante sismocono.....	87
	Indagini geofisiche	87
8.6.	CARTA DEI FATTORI DI AMPLIFICAZIONE	90
9.	CONFRONTO CON LA DISTRIBUZIONE DEI DANNI DEGLI EVENTI PASSATI	97
10.	BIBLIOGRAFIA.....	98

1. INTRODUZIONE

Su incarico dell'amministrazione comunale di Fiscaglia si redige lo studio di Microzonazione sismica di 2 livello e analisi della Condizione Limite per l'emergenza (CLE), di cui all'O.C.D.P.C. 293/2015 e D.C.D.P.C. del 14 dicembre 2015 (Determinazione del Responsabile n°31 del 27/01/2017 del Comune di Fiscaglia).

Gli studi di microzonazione sismica hanno l'obiettivo di provare a prevedere le alterazioni che lo scuotimento sismico può indurre in superficie, restituendo informazioni utili per il governo del territorio, per la progettazione, per la pianificazione per l'emergenza e per la ricostruzione post sisma. Nella pianificazione territoriale, in funzione delle varie scale e dei vari livelli di intervento, gli studi di microzonazione sismica sono condotti su quelle aree per le quali il quadro normativo consente o prevede l'uso a scopo edificatorio o per infrastrutture, la loro potenziale trasformazione a tali fini, o ne preveda l'uso ai fini di protezione civile.

Gli studi di microzonazione sismica sono di fondamentale importanza nella pianificazione al fine di:

- orientare la scelta di aree per nuovi insediamenti;
- definire gli interventi ammissibili in una data area;
- programmare le indagini e i livelli di approfondimento;
- stabilire orientamenti e modalità di intervento nelle aree urbanizzate;
- definire priorità di intervento.

Tutto ciò è oggetto degli studi di microzonazione sismica, attraverso i quali è possibile individuare e caratterizzare le zone stabili, le zone stabili suscettibili di amplificazione locale e le zone soggette a instabilità, quali frane, rotture della superficie per faglie e liquefazioni dinamiche del terreno.

Nella pianificazione d'emergenza, sia di livello comunale che provinciale, gli studi di microzonazione sismica consentono una migliore e consapevole individuazione degli elementi strategici di un piano di emergenza ed in generale delle risorse di protezione civile.

La conoscenza dei possibili effetti locali indotti da un evento sismico su un territorio contribuisce a:

- scegliere aree e strutture di emergenza ed edifici strategici in zone stabili;
- individuare, in caso di collasso, i tratti "critici" delle infrastrutture viarie e di servizio e le opere rilevanti per le quali potrebbero essere necessarie specifiche valutazioni di sicurezza.

Nella fase della ricostruzione la microzonazione sismica:

- contribuisce a scegliere le aree per le abitazioni temporanee;
- fornisce elementi ai tecnici e amministratori, sull'opportunità di ricostruire gli edifici non agibili;
- contribuisce a scegliere nuove aree edificabili.

Nella progettazione di nuove opere o di interventi su opere esistenti, gli studi di microzonazione sismica evidenziano la presenza di fenomeni di possibile amplificazione dello scuotimento legati alle caratteristiche litostratigrafiche e morfologiche dell'area e di fenomeni di instabilità e deformazione permanente attivati dal sisma. Gli studi di microzonazione sismica, quindi, possono offrire elementi conoscitivi utili per la progettazione di opere, con differente incisività in funzione del livello di approfondimento e delle caratteristiche delle opere stesse, indirizzando alla scelta delle indagini di dettaglio.

Lo studio di microzonazione sismica è uno strumento conoscitivo dalle diverse potenzialità, che ha costi differenti in funzione del livello di approfondimento che si vuole raggiungere:

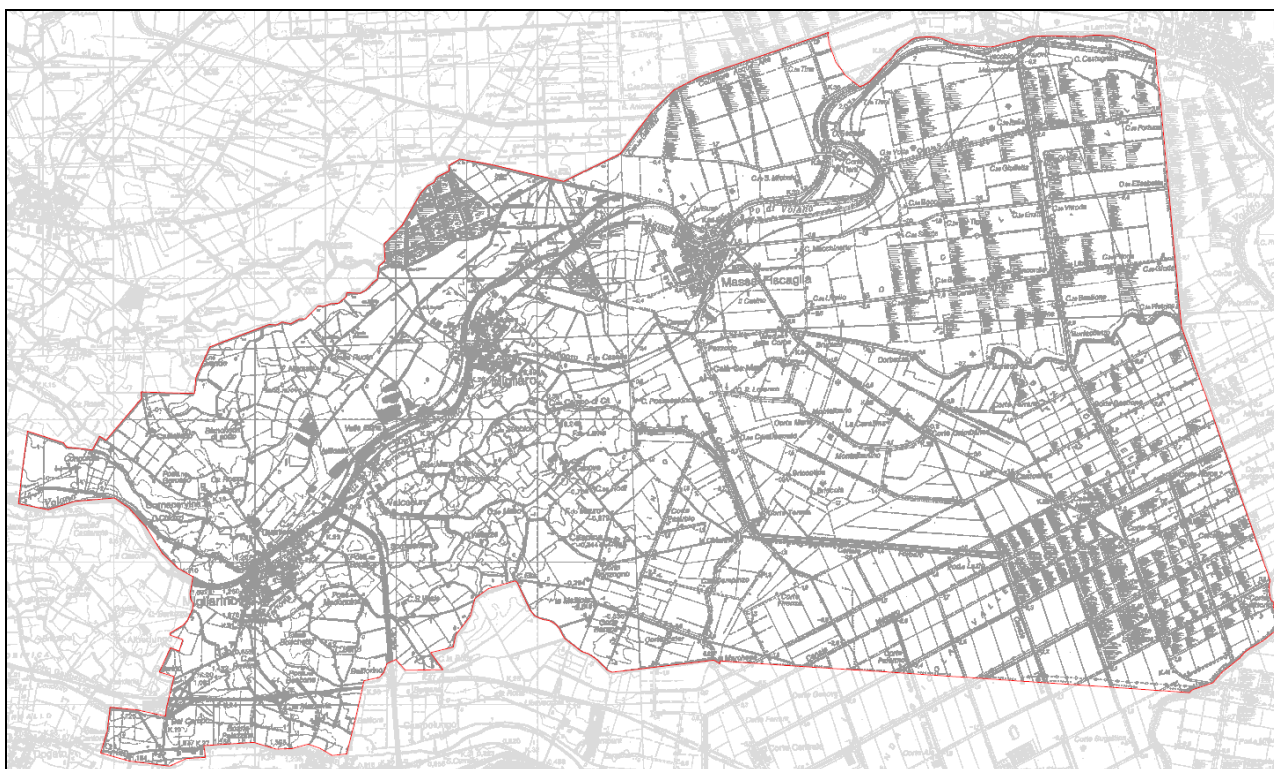
- il livello 1 è un livello propedeutico ai veri e propri studi di microzonazione sismica, in quanto consiste in una raccolta di dati preesistenti, elaborati per suddividere il territorio in microzone qualitativamente omogenee;
- il livello 2 introduce l'elemento quantitativo associato alle zone omogenee, utilizzando ulteriori e mirate indagini, ove necessarie, e definisce una vera carta di microzonazione sismica;
- il livello 3 restituisce una carta di microzonazione sismica con approfondimenti su tematiche o aree particolari.

Le modalità tecniche di esecuzione e di applicazione della microzonazione sismica sul territorio italiano sono definite dagli "Indirizzi e Criteri per la Microzonazione Sismica", approvati dal Dipartimento della Protezione Civile e dalla Conferenza delle Regioni e delle Province autonome.

1.1. INQUADRAMENTO GEOGRAFICO

Il comune di Fiscaglia è compreso nella seguente cartografia:

SCALA 1.5000: Foglio 186162, 186163, 187131, 187132, 187133, 187134, 187143, 187144, 204031, 204032, 204041, 204042, 204043, 204044, 204071, 204084, 205011, 205012, 205013, 205014, 205023 e 205024.



TERRITORIO COMUNALE DI FISCAGLIA - provincia di Ferrara

1.2. NORMATIVA DI RIFERIMENTO

- “Microzonazione sismica - Standard di rappresentazione e archiviazione informatica versione 4.0b”, redatto dalla Commissione tecnica per la microzonazione sismica (Commissione tecnica per la microzonazione sismica, 2015), da qui in avanti “Standard MS 4.0b”.
- “Indirizzi e criteri per la microzonazione sismica”, approvato dal Dipartimento della Protezione Civile e dalla Conferenza delle Regioni e delle Province Autonome (Gruppo di lavoro MS, 2008) e successive modifiche e integrazioni (AA.VV., 2011), da qui in avanti “ICMS”.
- Delibera Assemblea Legislativa n°112/2007 della Regione Emilia Romagna “Atto di Indirizzo e coordinamento tecnico” per gli studi di microzonizzazione sismica.
- Decreto della Giunta della Regione Emilia Romagna n. 2193/2015 "Approvazione aggiornamento dell'atto di coordinamento tecnico denominato "Indirizzi per gli studi di microzonazione sismica in Emilia - Romagna per la pianificazione territoriale e urbanistica", di cui alla deliberazione dell'assemblea legislativa 2 Maggio 2007, N. 112.
- L.R. 30/10/2008 n. 19 “Norme per la riduzione del Rischio Sismico”
- Decreto del Ministero delle Infrastrutture e dei Trasporti 14 gennaio 2008 “Approvazione delle nuove norme tecniche per le costruzioni”, pubblicato sulla G.U. n. 29 del 4 febbraio 2008, suppl. ord. n. 30, che entrano in vigore il 6 marzo 2008.
- Decreto del Ministero e dei Trasporti 17 gennaio 2018 “Aggiornamento delle norme tecniche per le costruzioni”, pubblicato sulla G.U. n. 42 del 20 febbraio 2018, suppl. ord. n. 8.

2. DEFINIZIONE DELLA PERICOLOSITÀ DI BASE E DEGLI EVENTI DI RIFERIMENTO

La sismicità di un territorio è strettamente connessa al proprio assetto tettonico - strutturale, dunque alla presenza di quelle che vengono definite strutture “geologicamente attive”. Alla base di ogni stima della pericolosità sismica di un territorio, oltre alle conoscenze legate all'evoluzione delle principali strutture deformative esistenti, risultano fondamentali anche quelle relative alla storia sismica del territorio stesso, vale a dire tutte le informazioni riguardanti i terremoti avvenuti in epoca storica e gli effetti ad essi associati.

2.1. ASSETTO TETTONICO

Centinaia di milioni di anni fa, in corrispondenza dell'attuale Pianura Padana, si estendeva un vasto bacino oceanico denominato Tetide, in cui trovavano sviluppo profonde fosse, la cui origine era riconducibile ai meccanismi tettonici della subduzione tra la placca africana e quella euroasiatica. Nel complesso meccanismo della deriva delle placche litosferiche accadde che la placca africana e quella europea si avvicinarono fino a collidere. In questa collisione il bacino della Tetide, con tutti i sedimenti che aveva accumulato sui suoi fondali, fu corrugato, inarcato e trascinato nella morsa delle due placche in collisione. Ebbero così origine le catene montuose delle regioni europee. Le Alpi e gli Appennini furono, in tempi diversi, gli effetti più evidenti dello scontro tra le due placche africana ed europea.

L'innalzamento di questi enormi ammassi di roccia ha provocato la loro erosione, e la produzione di grandi quantità di sedimenti sciolti che si sono accumulati nella fossa che costituiva il triangolo della Pianura Padana. Il progressivo sprofondamento dell'area padana, dovuto all'orogenesi appenninica, che spinge le grandi falde appenniniche verso nord-est, e crea una avanfossa sul fronte di avanzamento, ha consentito la deposizione di spessori di sedimenti derivati dall'erosione, per diverse migliaia di metri. Su questi sedimenti che caratterizzano la Pianura Padana, l'uomo ha trovato un vasto e pianeggiante territorio, fertile, attraversato da numerosi corsi d'acqua, su cui insediarsi con le proprie attività.

L'evoluzione strutturale dell'ampio bacino subsidente padano è connessa con la dinamica degli eventi che, in sequenze spazio-temporali diverse, hanno interessato sia il Sudalpino che l'Appennino, ed hanno prodotto una tettonica compressiva con accorciamento crostale per convergenza e collisione.

Si è avuta così la formazione di gruppi di pieghe e di un fitto sistema di faglie con direzione NNW-SSE; WNW-ESE e N-S, e la suddivisione dell'area padana in settori dislocati da paleofaglie che hanno determinato situazioni di bacino e di alto locale, caratterizzati da una diversa evoluzione.

L'area padana orientale ad est di Modena-Nogara è caratterizzata dalle seguenti zone geologicamente distinte, in successione da nord a sud:

- il fronte delle pieghe sudalpine;
- la isoclinale padano-veneta, a stile rigido;
- la dorsale Cavone-Ferrara, che rappresenta il margine esterno della Padana meridionale, ripiegato e sovrascorso su se stesso;
- il fronte delle pieghe appenniniche, dove i termini mesozoici non paiono coinvolti nel nucleo delle pieghe prospicienti la Padana.

In Emilia Romagna si distinguono nell'Appennino sepolto, le Pieghe Ferraresi, le Pieghe Adriatiche e le Pieghe Romagnole (**FIGURA 2.1**).

La zona in esame rappresenta la parte più orientale dell'arco delle pieghe appenniniche, le quali a settentrione, si accavallano in stretta successione alla monoclinale padano-veneta nella zona del Gallare e Varano (**FIGURA 2.2**).

All'arco ferrarese si affianca, nella parte a mare, l'arco delle pieghe adriatiche che si accavallano invece sulla monoclinale adriatica. Nella parte interna, e cioè meridionale, delle pieghe ferraresi e adriatiche si addossa a sua volta l'arco delle pieghe romagnole. Tutte e tre le strutture sopraindicate sono delimitate esternamente da fasce di faglie inverse, testimoni di diversi fronti compressivi in avanzamento; internamente, cioè nelle fasce retrostanti ai fronti compressivi, si rilevano sistemi di faglie dirette ad indicare un carattere distensivo.

Le fasi tettoniche si sono succedute dal Burdigaliano al Pleistocene ed hanno portato a successive riprese dei piegamenti ed alla formazione di lineamenti paleogeografici variabili in successione spazio-temporale e quindi

all'instaurarsi in sequenza alterna di ambienti deposizionali marini, costieri, deltizi e lagunari in relazione a locali processi di sollevamento e di subsidenza.

Durante il Pliocene medio inizia un periodo di forte subsidenza che continua sino a tutto il Quaternario basale. Nel Quaternario recente la sedimentazione prevale sulla subsidenza, ed in connessione con le regressioni marine provocate dalle glaciazioni, depositi continentali si sovrappongono ai sedimenti marini. Segue poi una nuova fase trasgressiva con arretramento della linea di costa di oltre venti chilometri rispetto alla posizione attuale. Infine durante l'ultima regressione marina postflandriana, sviluppatasi in più fasi, si ebbe un progressivo spostamento verso oriente della linea di costa sino a raggiungere l'odierno assetto geomorfologico. A causa della pluralità degli ambienti deposizionali in successione spazio-temporale, il complesso plio-quaternario nel territorio del Basso Ferrarese è costituito da una alternanza di livelli sabbiosi, limosi ed argillosi o da miscele binarie o ternarie di tali litotipi.

L'assetto strutturale dei sedimenti plio-quaternari è caratterizzato da blande anticlinali e sinclinali, più accentuate nella parte basale della serie, ove sono presenti anche strutture a trappola sedimentaria o tettonica, e sempre più deboli man mano che ci si avvicina alla superficie attuale.

L'andamento anticlinalico e sinclinalico fa variare lo spessore dei sedimenti plio-quaternari; per esempio nella zona SW del foglio Comacchio esso va dai 2800 metri ai circa 800 metri sotto il piano campagna. Tra il Mezzano e Casal Borsetti il tetto del prepliocene è a 2800 metri, tra Longastrino ed il Mezzano meridionale c'è un alto strutturale ed il tetto è a 800 metri circa, tra Comacchio e Porto Garibaldi una forte subsidenza di origine tettonica ha permesso la deposizione di uno spessore variabile fra i 3200 ed i 4800 metri circa di sedimenti (D. Vincenzi, E. Valpreda, G. Lenzi et al., 1989). Da diversi anni si calcola che il valore di subsidenza naturale attribuibile a cause geologiche (compattazione dei sedimenti quaternari, eustatismo ed il basculamento della parte nord-orientale della pianura Padana) raggiunga valori di 0,2-0,3 cm/anno.

Il movimento di basculamento della Pianura Padana vede la parte occidentale alzarsi lentamente, mentre quella orientale si sta abbassando; questo movimento avviene secondo l'asse Brescia-Genova, orientato NE-SW. Di seguito si riporta lo "Schema Tettonico" della nostra regione tratto dalle Note Illustrative della "Carta Sismotettonica della Regione Emilia-Romagna" a cura di Mario Boccaletti e Luca Martelli (2004).

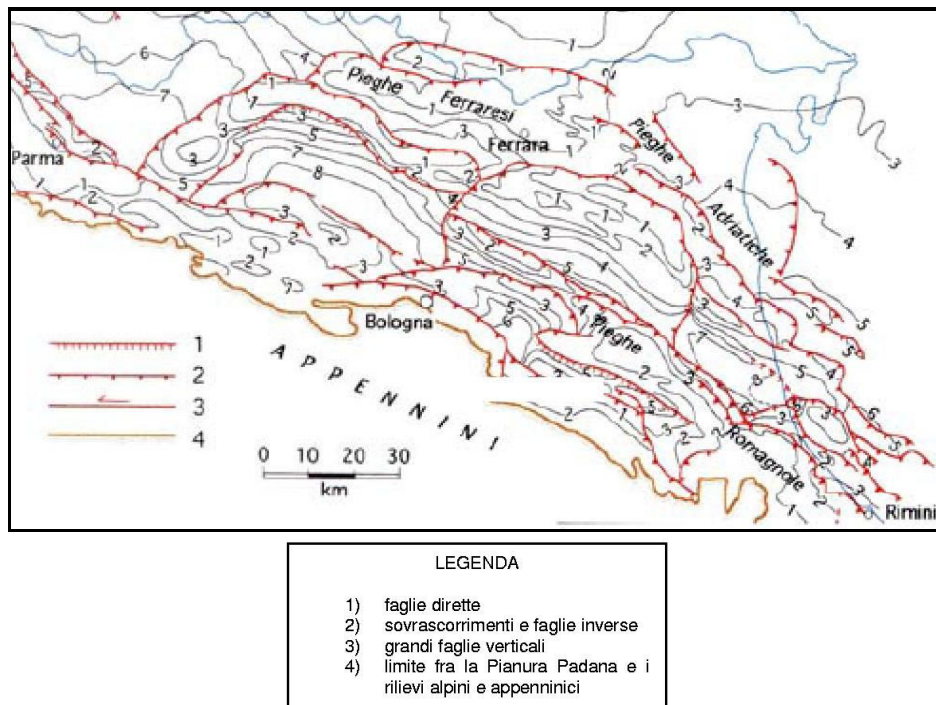


FIGURA 2.1 – Mappa delle strutture profonde con caratterizzazione dei vari tipi di fatturazioni presenti (Pieri & Groppi, 1981, CNR, 1992)

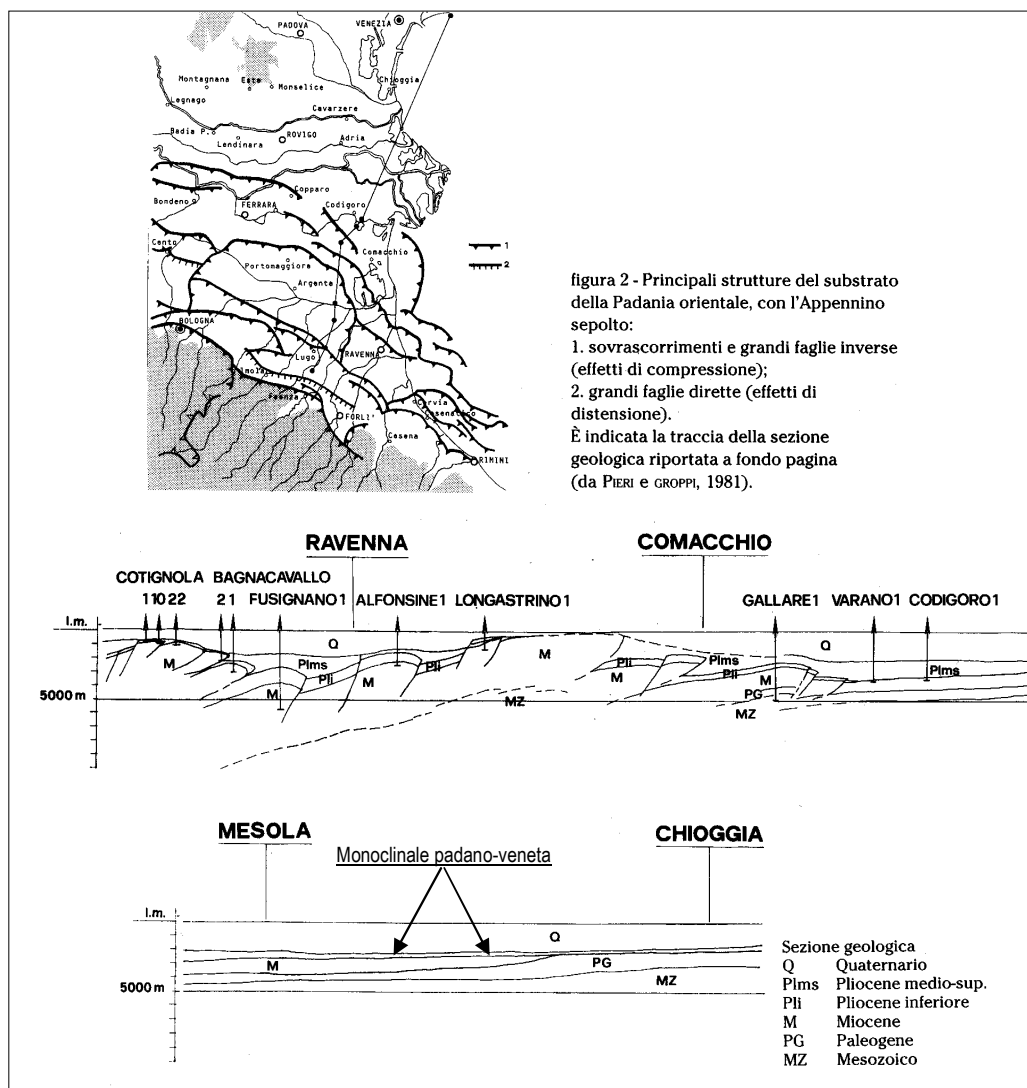


FIGURA 2.2 - Inquadramento geologico strutturale dell'area deltizia

Nella **FIGURA 2.3** viene riportata una versione più dettagliata della Carta Strutturale della Pianura Padana, con le Pieghe Ferraresi dell'Appennino sepolto (Pieri & Groppi, 1981, CNR, 1992) con visibili le varie strutture sepolte e le faglie e sistemi trascorrenti attivi e non attivi. Le isoipse sono quelle della profondità della base del Pliocene (espressa in km).

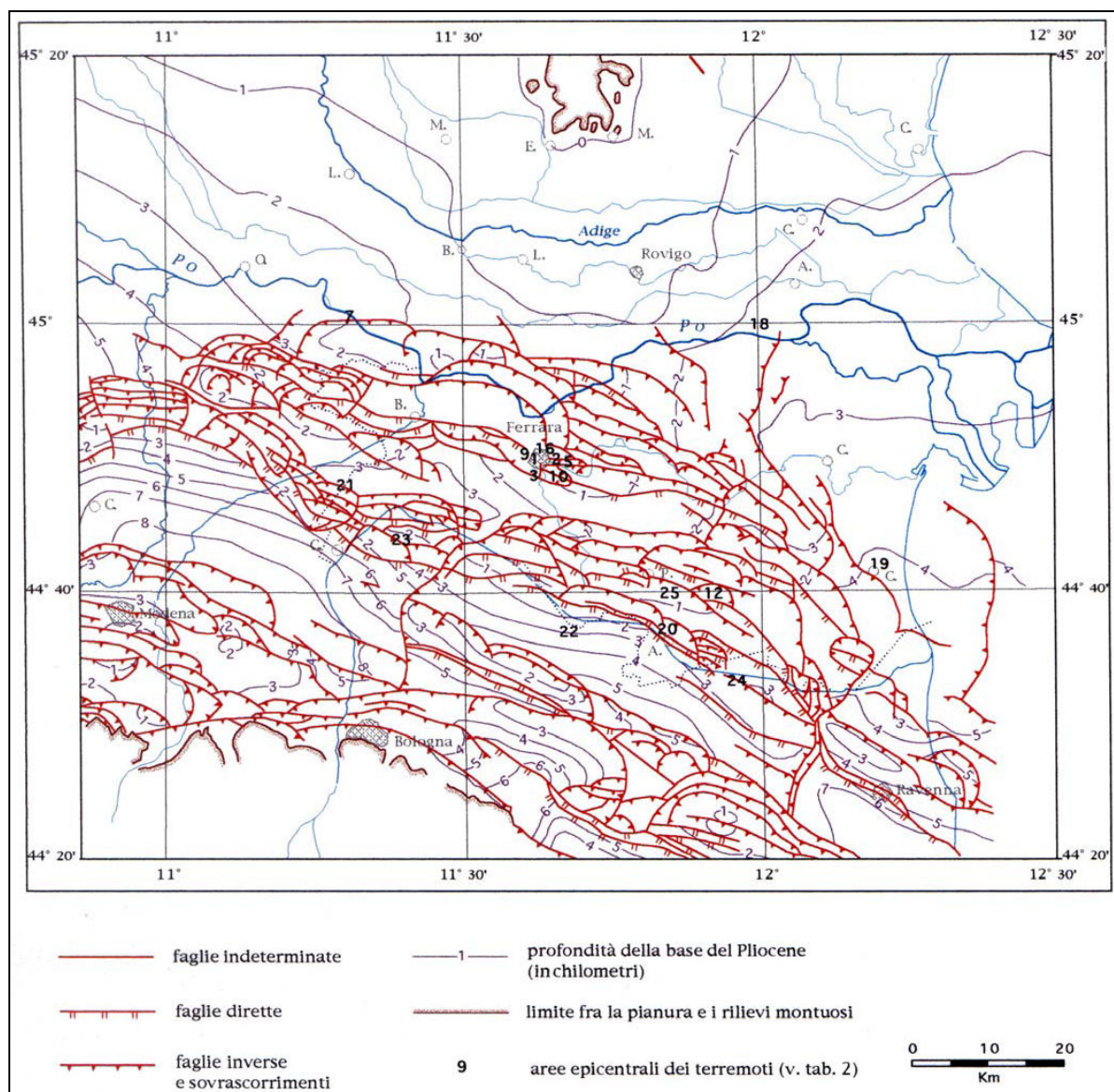


FIGURA 2.3 – Carta strutturale della Pianura Padana orientale (Pieri e Groppi, 1981, CNR, 1992)

Nella **FIGURA 2.4** viene riportato lo schema tettonico tratto dalla carta sismotettonica dell'Emilia Romagna; in **FIGURA 2.5** è riportato uno stralcio centrato sull'area allo studio della mappa sismotettonica dell'Emilia Romagna (anno 2004) e un sezione passante in prossimità del comune di Fiscaglia (**FIGURA 2.6**).

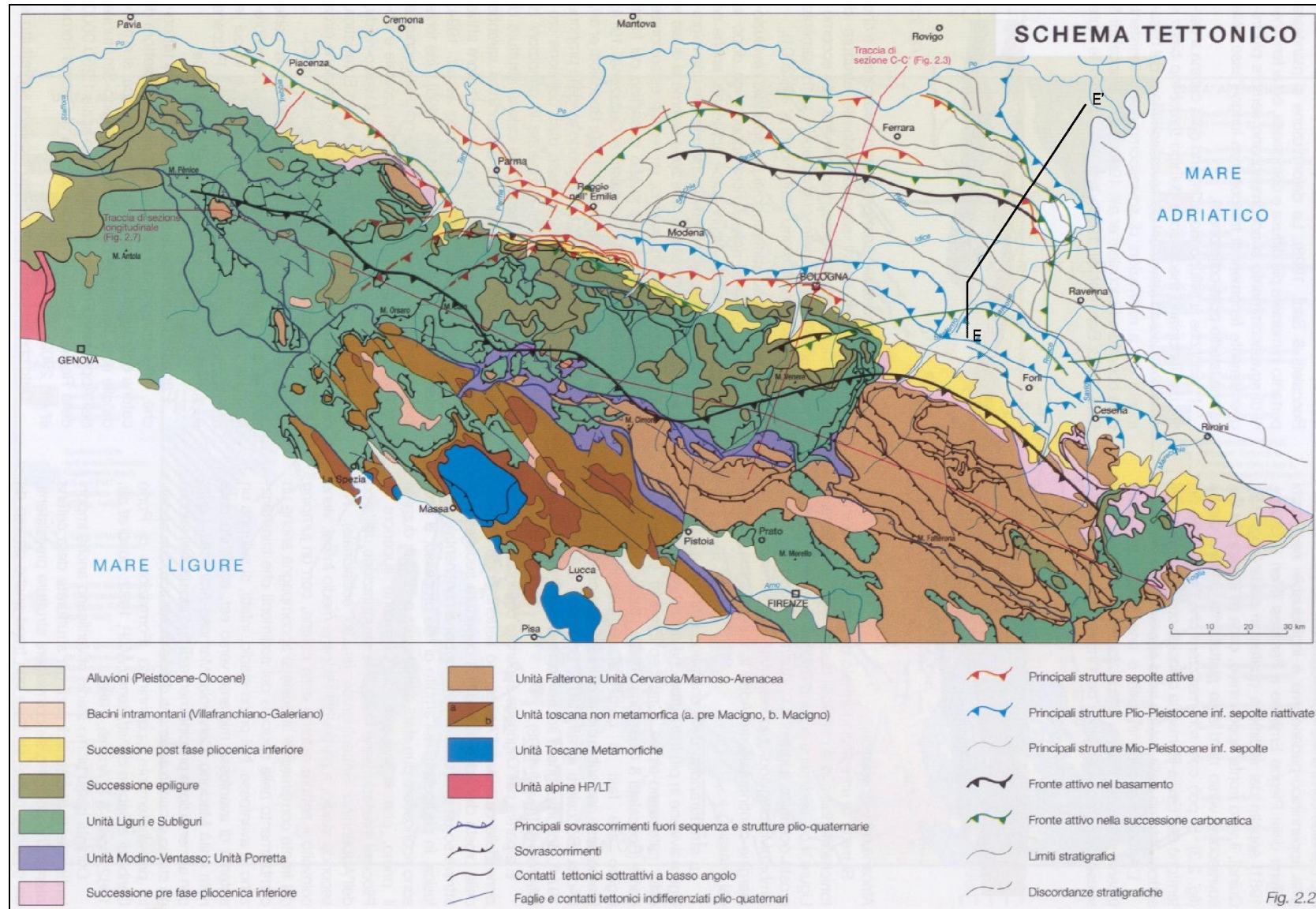


FIGURA 2.4– “Schema Tettonico”, tratto da “Carta Sismotettonica della Regione Emilia-Romagna” a cura di Luca Martelli e Mario Boccaletti (2004)

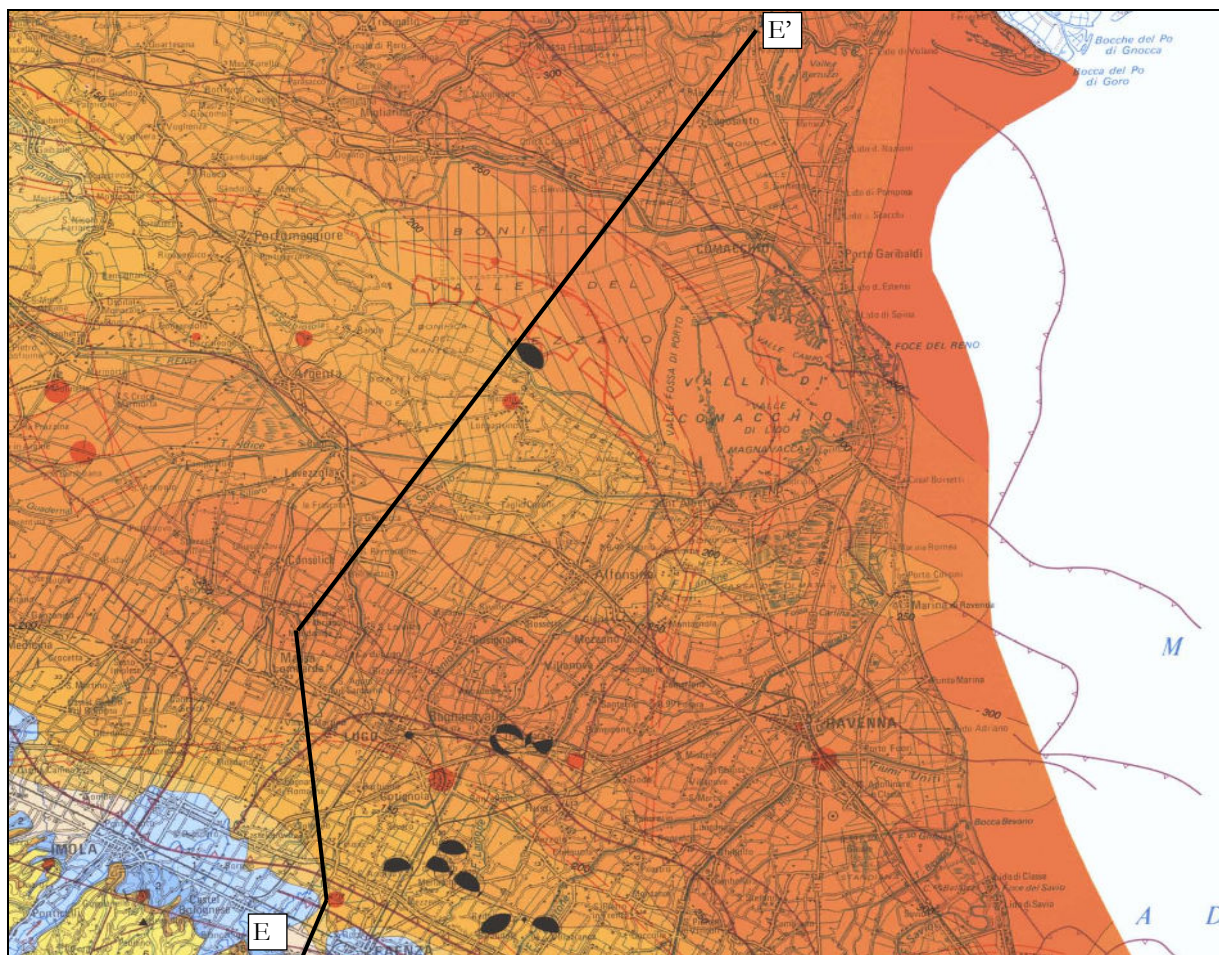


FIGURA 2.5 - Carta Sismotettonica Regione Emilia Romagna e ubicazione della sezione geologica E-E' riportata di seguito
(Carta sismotettonica della Regione Emilia Romagna - 2004).

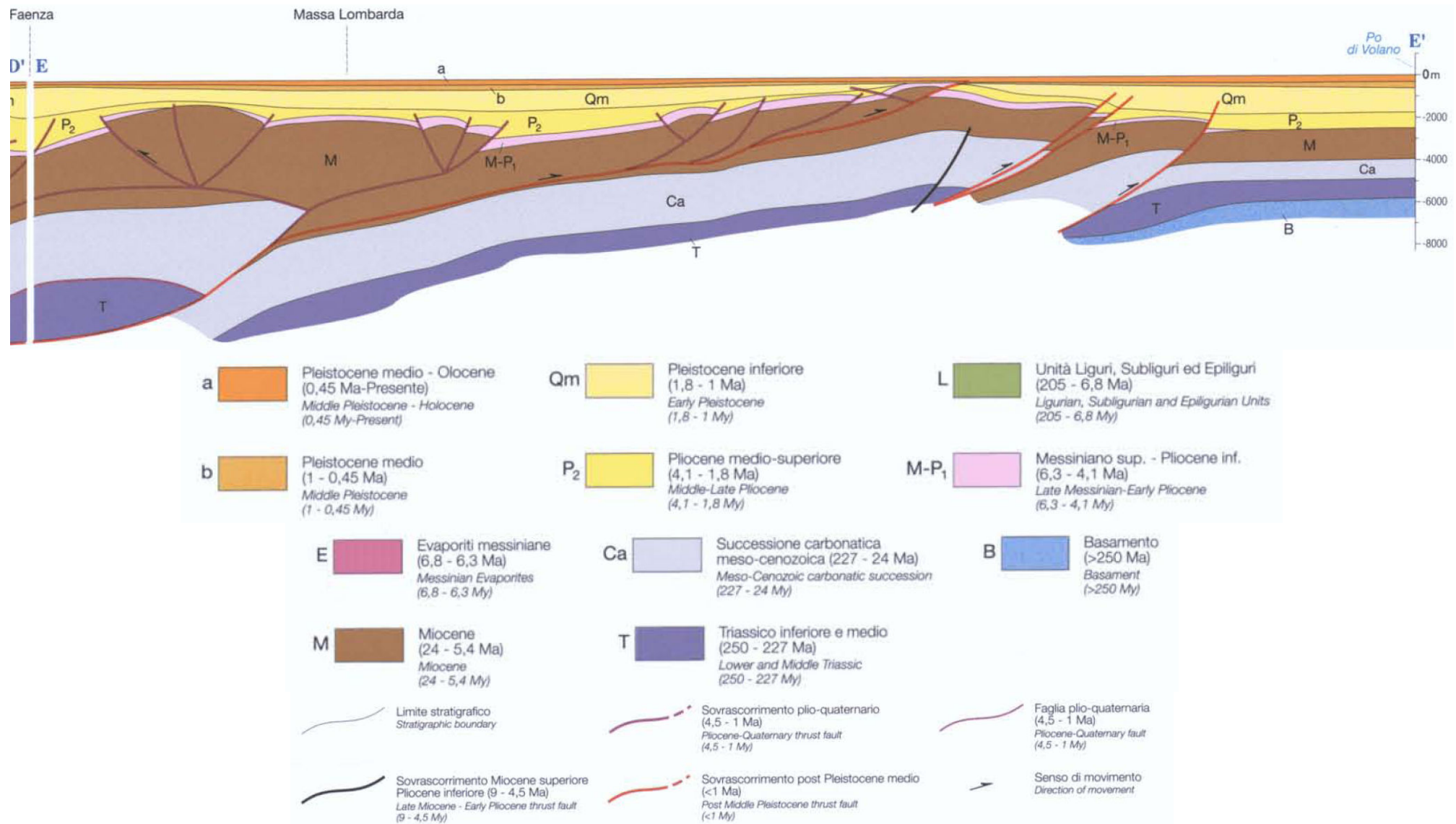


FIGURA 2.6 – Sezione geologica strutturale lungo la sezione E-E'
(Carta sismotettonica della Regione Emilia Romagna - 2004).

In **FIGURA 2.7** viene riportato uno stralcio centrato sul comune di Fiscaglia della nuova carta sismotettonica dell'Emilia Romagna (anno 2017). Nella **FIGURA 2.8** è riportata invece stralcio della Sezione D-D' che passa poco ad ovest del comune di Fiscaglia.

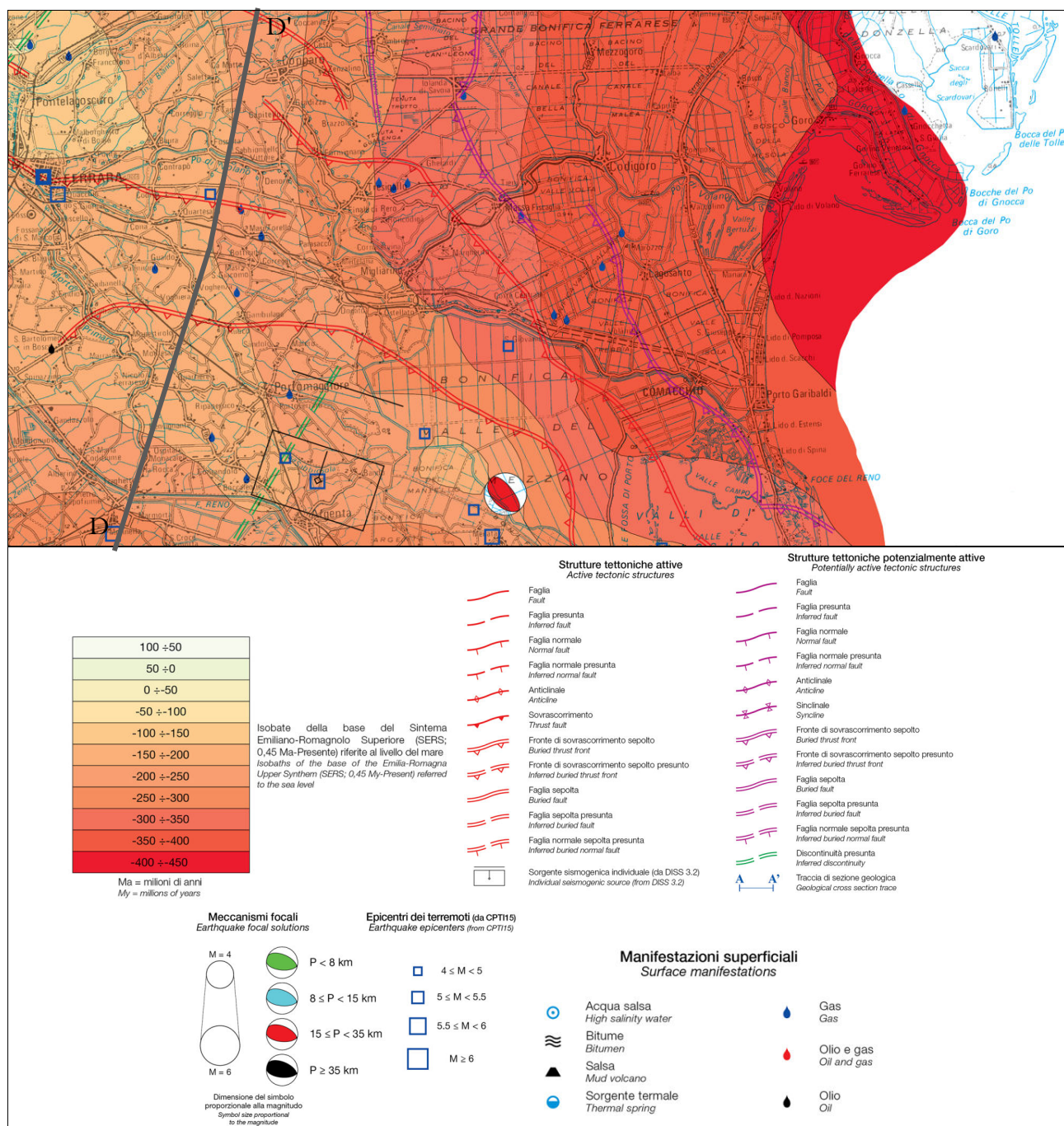


FIGURA 2.7 - stralcio centrato sul comune di Fiscaglia della nuova carta sismotettonica dell'Emilia Romagna (anno 2017). (Carta sismotettonica della Regione Emilia Romagna - 2016).

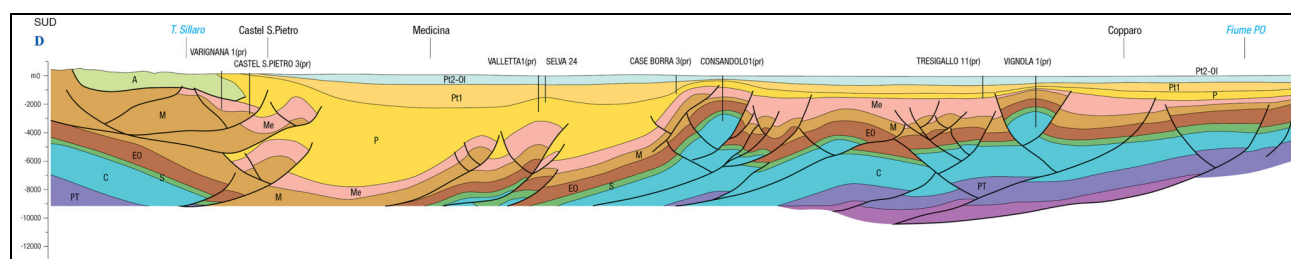


FIGURA 2.8 - stralcio della Sezione D-D' che passa poco ad ovest del comune di Fiscaglia (Carta sismotettonica della Regione Emilia Romagna - 2016).

Come si può notare in **FIGURA 2.7** la base del Sintema Emiliano Romagnolo Superiore (450.000 anni dal presente) si colloca a profondità comprese tra -250m ad ovest fino a -400m di profondità ad est del territorio comunale. Alcune informazioni in più verranno rese nel capitolo 5, ove si proporrà il modello del sottosuolo locale.

Il territorio dell'Emilia Romagna è costituito dal versante padano dell'Appennino settentrionale e dalla Pianura Padana a sud del Po; il limite regionale infatti coincide per lunghi tratti con lo spartiacque appenninico verso sud e con il corso del Po verso nord. Pur essendo due ambienti geomorfologici ben distinguibili, l'Appennino e la Pianura Padana sono strettamente correlati. Il fronte della catena appenninica non coincide con il limite morfologico catena-pianura (margine appenninico –padano) ma è individuabile negli archi esterni delle Pieghe Emiliane e Ferraresi (Pieri & Groppi, 1981) sepolte dai sedimenti quaternari padani.

Quindi, il vero fronte appenninico, circa all'altezza del Po, sovrascorre verso nord sulla piattaforma padano-veneta. Si può così schematizzare che l'evoluzione del territorio dell'Emilia Romagna coincide con l'evoluzione del settore esterno della catena nord-appenninica.

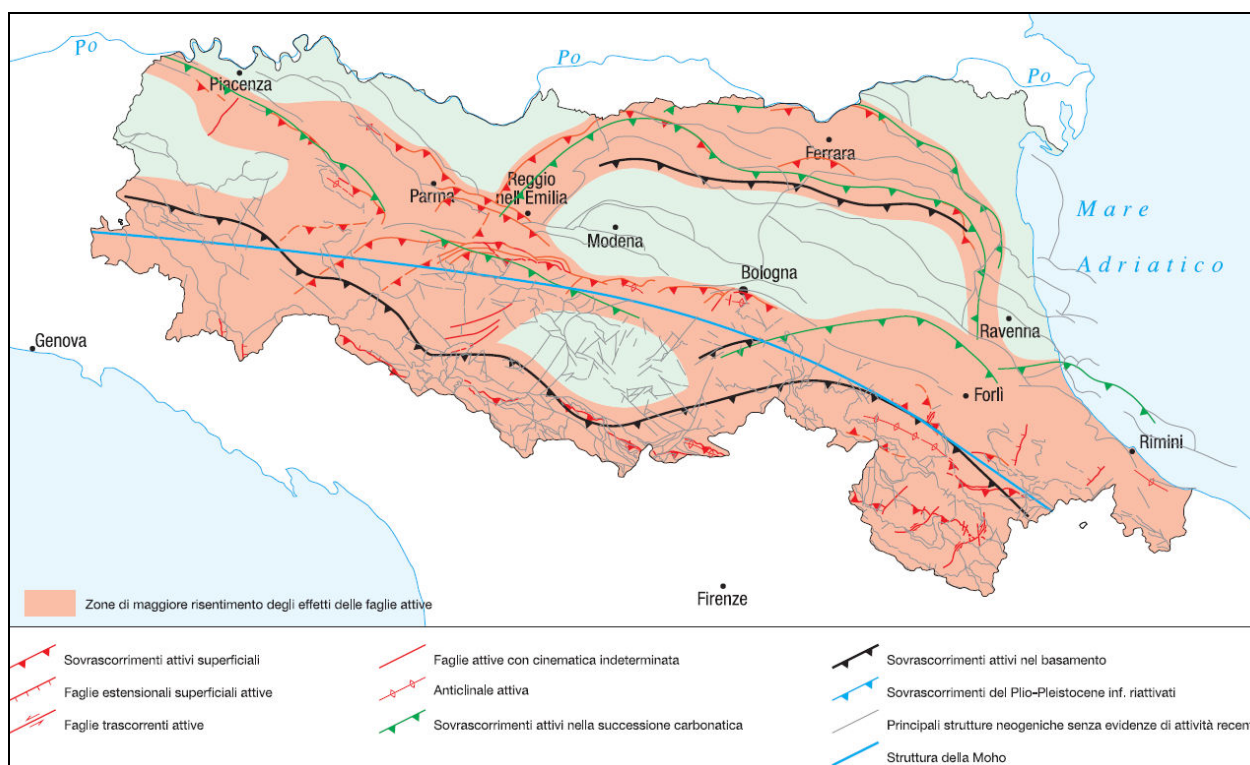
L'Appennino settentrionale è una catena a *thrusts* facente parte del sistema alpino, formatosi in gran parte a spese della placca Adriatica per l'interazione fra le placche Africana ed Euroasiatica.

Si tratta di un edificio formato da una pila di unità tettoniche riferibili a due principali domini: il dominio Ligure, i cui sedimenti si sono depositi originariamente su crosta oceanica (Liguridi s.l.) e il dominio Tosco-Umbro-Marchigiano, rappresentato da successioni del margine continentale dell'Adria la cui età inizia a partire dal Triassico.

L'avanzamento dei *thrusts* vergenti verso nord-est causano un abbassamento della crosta terrestre che da origine alla avanfossa appenninica su cui sono accumulati i sedimenti quaternari.

Le faglie conseguenti ai movimenti dei sovrascorrimenti appenninici danno origine alle manifestazioni sismiche che interessano la regione emiliano-romagnola.

Sulla base dunque di tutte le informazioni tettoniche riportate, è stata redatta la carta delle zone di maggiore risentimento degli effetti delle faglie attive (**FIGURA 2.9**) dell'Emilia Romagna. Essa è riportata nelle Note illustrative allegate alla Carta Sismotettonica pubblicata nel 2004.



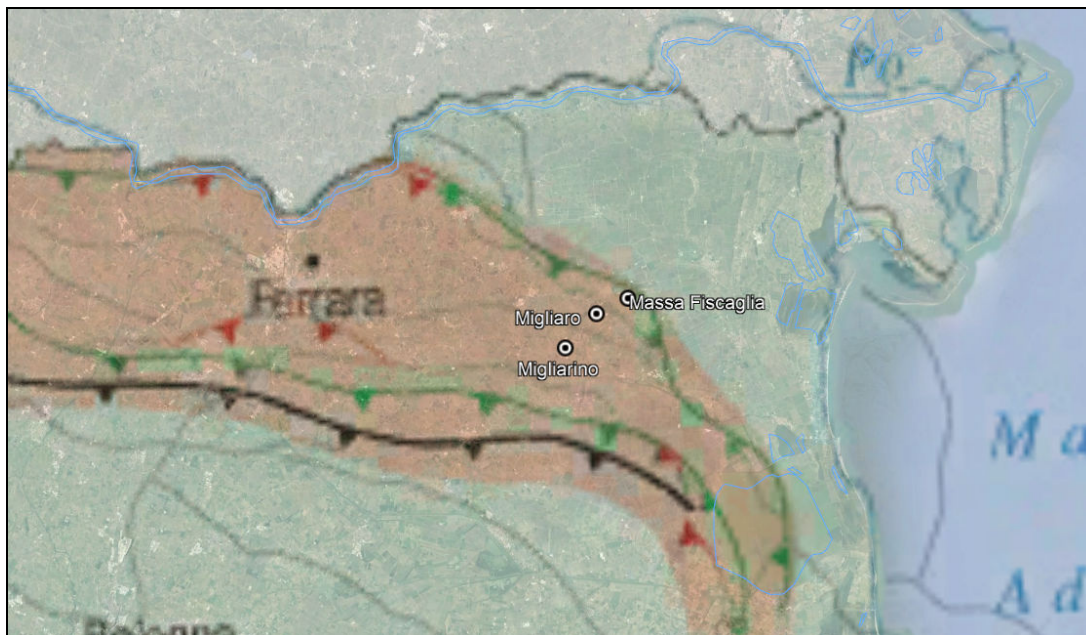


FIGURA 2.9 - Carta delle zone di maggiore risentimento degli effetti delle faglie attive
(Carta sismotettonica della Regione Emilia Romagna - 2004).

Secondo la Zonazione sismogenetica del Territorio Italiano - ZS9, prodotta dall'Istituto Nazionale di Geofisica e Vulcanologia (INGV) nel 2004 (Meletti e Valensise, 2004), che rappresenta il riferimento per le valutazioni di pericolosità sismica nel territorio nazionale, il territorio occupato dal comune di Fiscaglia per una ridotta porzione di territorio dentro alla Zona 912, caratterizzata da un valore di $M_{w\max}$ pari a 6.14 (**FIGURA 2.10** e **FIGURA 2.11**).

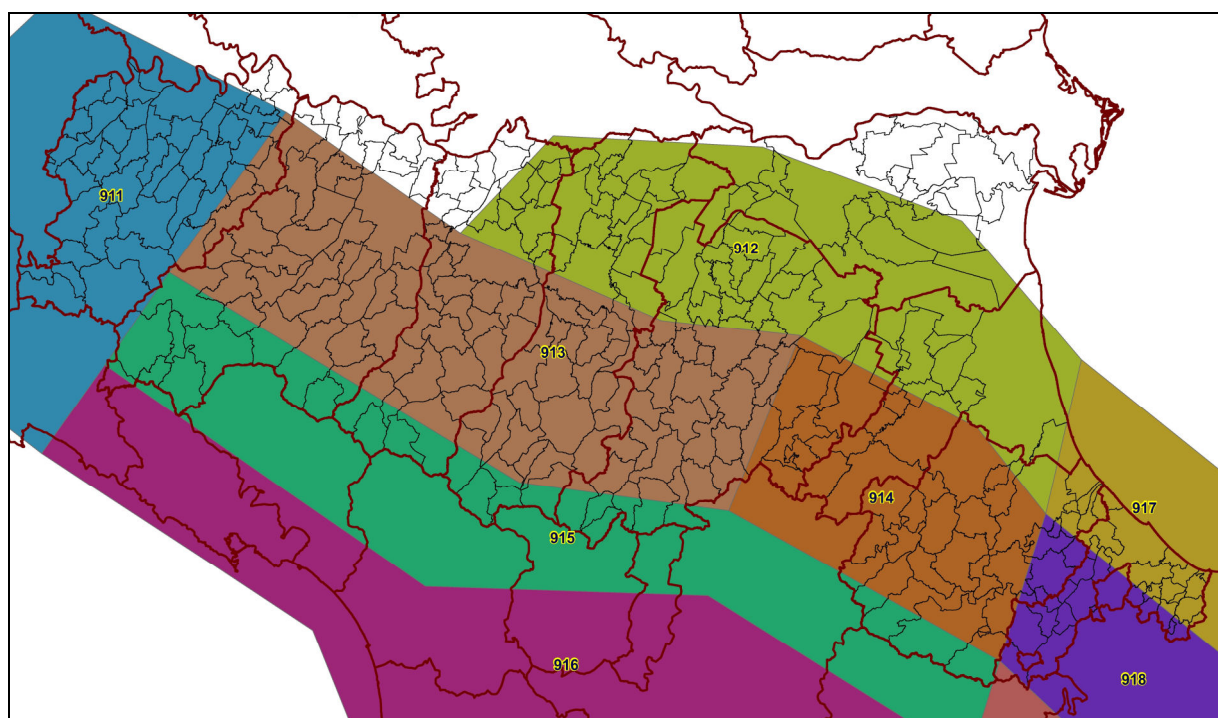


FIGURA 2.10 – Aree sismogenetiche in Emilia Romagna

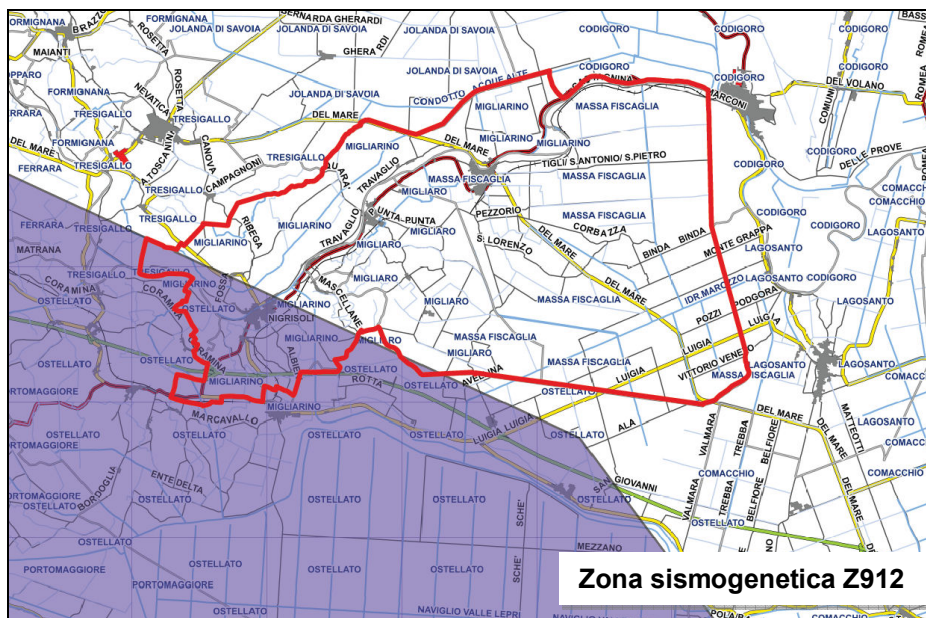


FIGURA 2.11 – Zoommata aree sismogenetiche in Emilia Romagna con evidenziato territorio comunale di Fiscaglia

Il database DISS (DISS Working Group, 2015) indica che il territorio comunale di Fiscaglia si colloca ai margini della struttura sismogenetica composita orientata approssimativamente ESE-WNW e denominata Poggio Rusco-Migliarino (ITCS050) (**FIGURA 2.12** e **FIGURA 2.13**).

Subito a sud è presente la struttura sismogenetica composita denominata Malalbergo-Ravenna (ITCS012)

Queste strutture fragili, i cui lineamenti principali mostrano vergenza tendenzialmente nord-est, sono soggette ad un attivo campo di stress tettonico compressivo, che induce movimenti inversi o inverso - trascorrenti, associati ad una attività sismica relativamente frequente. Di tale attività esiste significativa documentazione storica (Guidoboni et al., 2007), comunque per sua natura ovviamente incompleta, in particolare prima del XVI secolo.

La fascia corrispondente alla sorgente composita ITCS050 delimita il settore esterno dell'Arco Ferrarese; in essa rientra la sorgente individuale di Ferrara (ITIS090) a cui è assegnata magnitudo massima pari a 5.5, profondità tra 1.4 e 4.5 km e slip-rate compreso tra 0.1 e 0.5 mm/anno. L'esistenza di questa sorgente individuale è avvalorata sia da dati di sottosuolo (Pieri e Groppi, 1981; Boccaletti e Martelli, 2004; Burrato et al., 2003; 2012), sia da attività tettonica "recente" alla quale si riconduce il terremoto di Ferrara del 17 novembre 1570. L'ubicazione della sorgente è stata proposta anche sulla base di anomalie del reticolo idrografico, in particolare in relazione alla deviazione dell'alveo del fiume Po in prossimità di Stellata, interpretata come possibile conseguenza della deformazione cosismica indotta dall'attività tettonica di tale struttura sepolta.

Per quanto riguarda invece la struttura sismogenetica composita ITCS012, in essa rientra la sorgente individuale di Argenta (ITIS141) a cui è assegnata magnitudo massima pari a 5.8, profondità tra 3 e 6.3 km e slip-rate compreso tra 0.49 e 0.55 mm/anno.

Spostandosi più a sud verso la Romagna il database DISS indica la presenza di altre due sorgenti sismogenetiche composite orientate, anch'esse, approssimativamente ESE-WNW e denominate Fusignano-Villanova (ITCS109) e Mordano-Guarniera (ITCS011). A quest'ultima è associata la sorgente individuale di Bagnacavallo (ITIS100), caratterizzata da una magnitudo massima pari a 5.8. La presenza di tale sorgente individuale, a cui è stato associato il sisma dell'11 aprile 1668, è stata ipotizzata anche sulla base ad anomalie osservate nel reticolo idrografico. La profondità della struttura è indicata tra 2.5 e 5 km, mentre lo slip-rate è compreso tra 0.1 e 0.3 mm/anno.

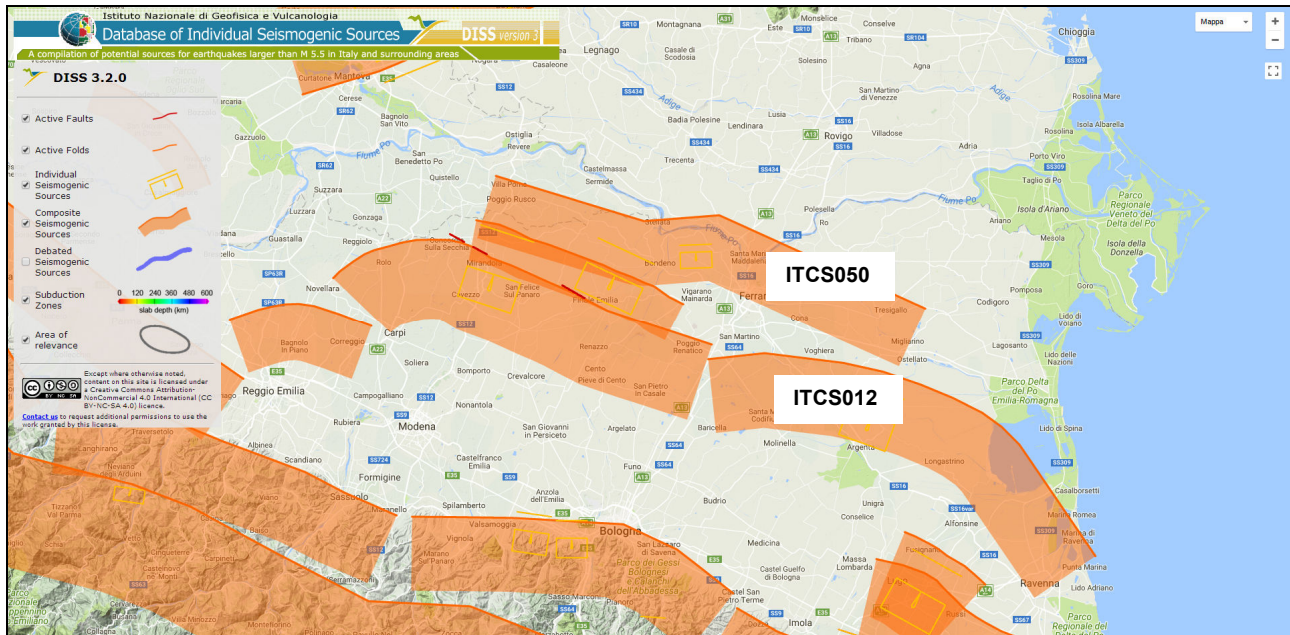


FIGURA 2.12 - Mappa delle sorgenti sismogenetiche Database DISS 3.2.0. (<http://diss.rm.ingv.it/dissGM/>)

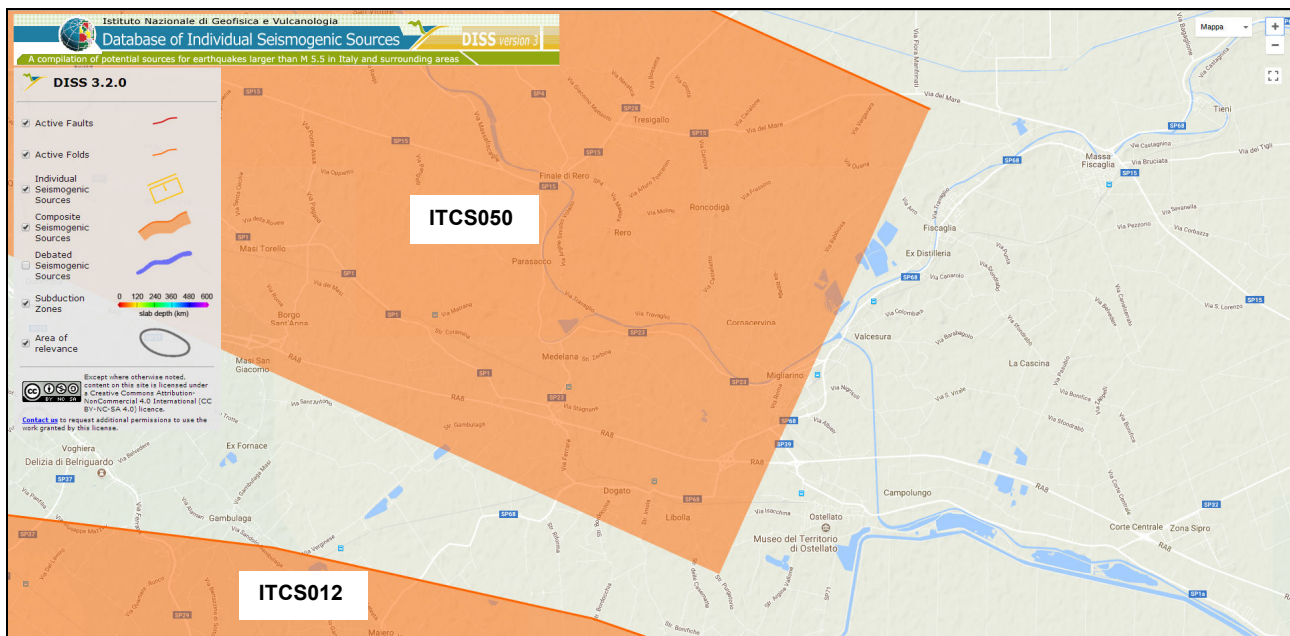


FIGURA 2.13 – Zoommata sul comune della mappa delle sorgenti sismogenetiche Database DISS 3.2.0. (<http://diss.rm.ingv.it/dissGM/>)

2.2. TERREMOTI STORICI E MAGNITUDO

La regione Emilia Romagna non è esente da attività sismo-tettonica. La sua sismicità può essere definita media rispetto alla sismicità nazionale, poiché i terremoti storici hanno avuto magnitudo massima compresa tra 5,5 e 6 della scala Richter e intensità del IX-X grado della scala MCS. I maggiori terremoti (Magnitudo > 5,5) si sono verificati nel settore sud-orientale, in particolare nell'Appennino Romagnolo e lungo la costa riminese. Altri settori interessati da sismicità frequente ma generalmente di minore energia (Magnitudo < 5,5) sono il margine appenninico-padano tra la Val d'Arda e Bologna, l'arco della dorsale ferrarese e il crinale appenninico.

La provincia di Ferrara è caratterizzata da bassi valori di intensità macrosismica nella parte nord-orientale, mentre i settori più sud-occidentali sono contraddistinti da valori più elevati.

Nel catalogo on line dei terremoti (<https://emidius.mi.ingv.it/CPTI04/ricerca04.php>) si possono caricare i terremoti selezionandoli con criteri di energia e di distanza.

Centrando il comune di Fiscaglia, selezionando un raggio di 50km, selezionando gli eventi con magnitudo $M_w > 3,92$ (**FIGURA 2.14**) si ottiene la **Tabella 2.1**.

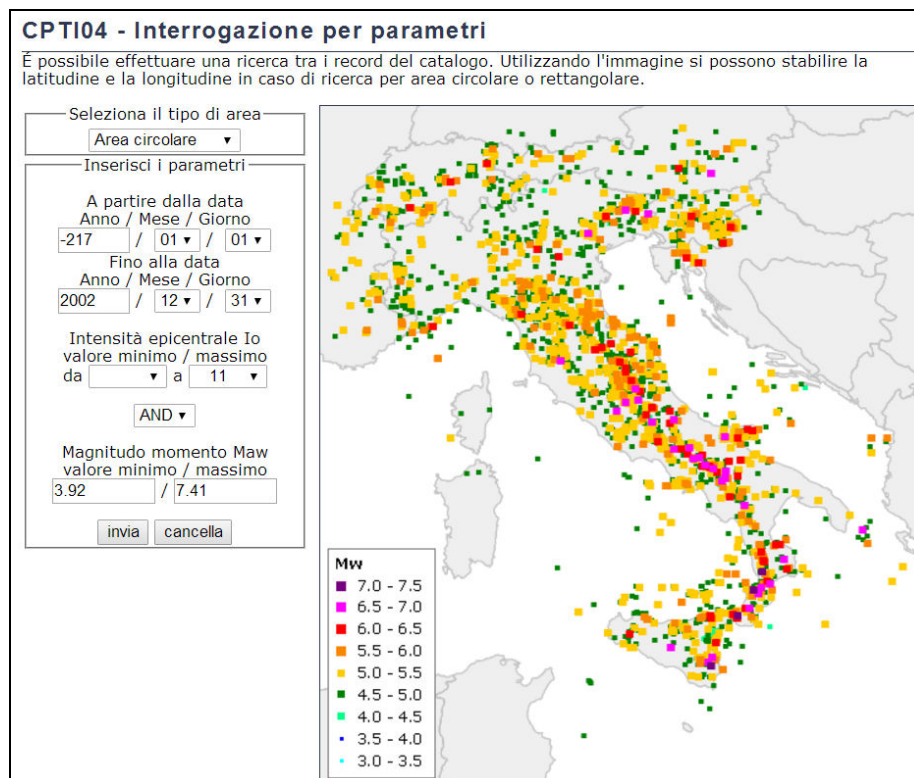


FIGURA 2.14 – Criteri di interrogazione adottati

CPTI04 - Risultato dell'interrogazione per parametri

Interrogazione effettuata sui seguenti parametri:

Area circolare con centro C (44.799, 11.972) e raggio 50 km
a partire dal 217/01/01 fino al 2002/12/31

N	Tr	Anno	Me	Gi	Or	Mi	Se	AE	Rt	Np	Imx	Io	TI	Lat	Lon	TL	Maw	Daw	TW	Mas	Das	TS	Msp	Dsp	ZS9
18	DI	725						Classe-Ravenna	CFTI	2	85	80		44.4	12.22	A	5.57	0.19		5.40	0.28		5.55	0.28	912
51	DI	1234	3	20				FERRARA	DOM	5	70	70		44.836	11.618	A	5.17	0.30		4.80	0.45		4.99	0.42	912
66	DI	1285	12	13				FERRARA	DOM	2	70	65		44.836	11.618	A	5.03	0.33		4.60	0.49		4.80	0.45	912
131	DI	1410	5	9	22	30		FERRARA	DOM	3	65	65		44.836	11.618	A	5.03	0.33		4.60	0.49		4.80	0.45	912
139	CP	1425	8	10	19			FERRARA SUD	POS85			60		44.833	11.667	A	4.83	0.26		4.30	0.39		4.53	0.36	912
178	DI	1483	3	3	22			FERRARA	DOM	1	55	55		44.836	11.618	A	4.63	0.13		4.00	0.20		4.25	0.19	912
207	CP	1508	10	18	15			FERRARA SUD	POS85			60		44.833	11.667	A	4.83	0.26		4.30	0.39		4.53	0.36	912
213	DI	1512	2	8	16			VENEZIA	DOM	3	55	55		45.137	11.977	A	4.68	0.12		4.07	0.18		4.31	0.17	
257	DI	1561	11	24	1	25		Ferrara	CFTI	5	65	55	M	44.78	11.45	A	4.63	0.13		4.00	0.20		4.25	0.19	912
262	DI	1570	11	17	19	10		Ferrara	CFTI	60	80	75		44.82	11.63	A	5.48	0.11		5.27	0.17		5.43	0.16	912
282	DI	1591	7	10				FORLI'	DOM	6	65	65		44.4	12.038	A	5.24	0.22		4.91	0.32		5.09	0.30	912
323	DI	1624	3	18	19	45		Argenta	CFTI	17	85	75		44.65	11.85	A	5.43	0.22		5.19	0.32		5.35	0.30	912
393	DI	1688	4	11	11	30		ROMAGNA	DOM	36	90	90		44.39	11.942	A	5.88	0.12		5.85	0.18		5.85	0.18	912
395	CP	1688	8	18				FUSIGNANO	POS85			70		44.417	12		5.17	0.30		4.80	0.45		4.99	0.42	912
397	CP	1689	3	15				FUSIGNANO	POS85			60		44.417	12		4.83	0.26		4.30	0.39		4.53	0.36	912
416	DI	1695	2	28				FERRARA	DOM	1	55	55		44.836	11.618	A	4.63	0.13		4.00	0.20		4.25	0.19	912
521	DI	1743	5	29				FERRARA	DOM	1	65	65		44.836	11.618	A	5.03	0.33		4.60	0.49		4.80	0.45	912
612	DI	1780	5	25				RAVENNA	DOM	5	65	65		44.417	12.198	A	5.03	0.33		4.60	0.49		4.80	0.45	912
654	DI	1787	7	16	10			Ferrara	CFTI	3	65	55	M	44.83	11.62	A	4.63	0.13		4.00	0.20		4.25	0.19	912
683	DI	1796	10	22	4			Emilia orientale	CFTI	26	70	70		44.62	11.67	A	5.63	0.15		5.48	0.23		5.62	0.23	912
1174	CP	1891	8	1	13	30		LUGO	POS85			60		44.417	11.933	A	4.83	0.26		4.30	0.39		4.53	0.36	912
1225	DI	1895	3	23				COMACCHIO	DOM	37	65	60		44.684	11.987	A	4.83	0.26		4.30	0.39		4.53	0.36	912
1230	CP	1895	5	15	42	50		PAPOZZE	POS85			60		45	12		4.83	0.26		4.30	0.39		4.53	0.36	
1233	CP	1895	7	3				COMACCHIO	POS85			60		44.7	12.183	A	4.83	0.26		4.30	0.39		4.53	0.36	912
1287	DI	1898	1	16	12	10	5	Romagna settent.	CFTI	73	70	65		44.65	11.77	A	5.03	0.33		4.60	0.49		4.80	0.45	912
1499	DI	1909	1	13	45			BASSA PADANA	DOM	799	65	65		44.579	11.688	A	5.53	0.05		5.33	0.08		5.48	0.07	912
1729	DI	1922	5	24	21	17		CENTO	DOM	6	45	35		44.862	11.517	A	4.50	0.14		3.81	0.21		4.07	0.19	912
2094	DI	1956	2	20	1	29		ARGENTA	DOM	32	55	55		44.919	11.899	A	4.98	0.07		4.52	0.10		4.73	0.09	
2220	CP	1965	12	18	9	22	25	RUSSI	POS85			55		44.4	12		4.95	0.09		4.47	0.13		4.68	0.12	912
2243	DI	1967	12	30	4	19		BASSA PADANA	DOM	40	60	60		44.604	11.997	A	5.36	0.08		5.09	0.12		5.26	0.11	912
2245	CP	1968	1	11	17	8	9	RUSSI	POS85			50		44.4	12		4.58	0.20		3.92	0.29		4.17	0.27	912
2263	CP	1969	1	10	16	17	32	RUSSI	POS85			55		44.383	12		4.63	0.09		4.00	0.13		4.25	0.12	912
2389	CP	1978	12	5	15	39	4	RAVENNA S.O.	POS85					44.383	12.117	A	4.76	0.13		4.20	0.19		4.43	0.18	912

Numero di record estratti: 33

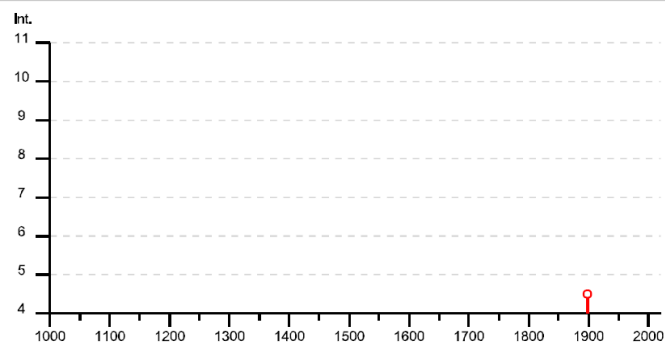
Tabella 2.1 – Risultati ottenuti (<https://emidius.mi.ingv.it/CPTI04/ricerca04.php>)

Si consulta anche il Data Base DBMI15, database Macrosismico italiano aggiornato al 2015, dove si reperisce un set omogeneo di intensità macrosismiche riportate in FIGURA 2.15 e provenienti da diverse fonti relativo ai terremoti con intensità massima ≥ 5 e di interesse per l'Italia nella finestra temporale 1000 d.C. – 2014 d.C. (<https://emidius.mi.ingv.it/CPTI15-DBMI15/>).

Fiscaglia (Migliaro)

PlaceID IT_40885
Coordinate (lat, lon) 44.798, 11.973
Comune (ISTAT 2015) Fiscaglia
Provincia Ferrara
Regione Emilia-Romagna
Numero di eventi riportati 7

Effetti	In occasione del terremoto del									
Int.	Anno	Me	Gi	Ho	Mi	Se	Area epicentrale	NMDP	Io	Mw
4-5	1898	01	16	13	10		Romagna settentrionale	110	6	4.59
3	1983	11	09	16	29	5	Parmense	850	6-7	5.04
NF	1986	12	06	17	07	1	Ferrarese	604	6	4.43
NF	2000	05	06	22	07	0	Faentino	85	5	4.08
NF	2000	05	10	16	52	1	Faentino	151	5-6	4.82
2-3	2002	11	02	10	57	4	Ferrarese	79	4	4.21
NF	2005	07	15	15	17	1	Forlivese	173	4-5	4.29



Località vicine (entro 10km)

Località	EQs	Distanza (km)
Massa Fiscaglia	11	3
Migliarino	10	4
Ostellato	18	6
Tresigallo	4	7
Dogato	1	8
Parasacco	1	9
Rovereto	1	9
Jolanda di Savoia	8	10

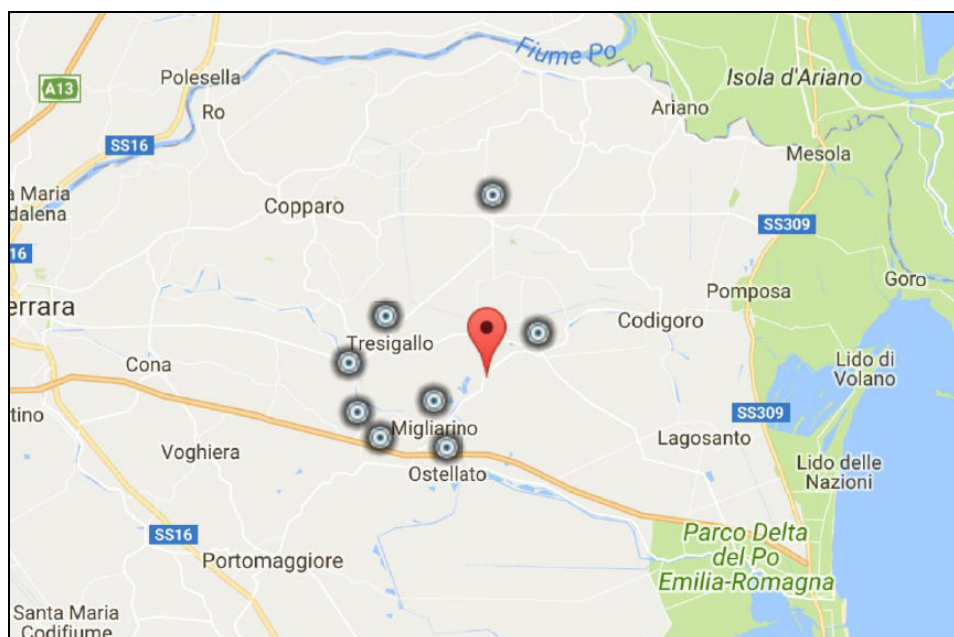
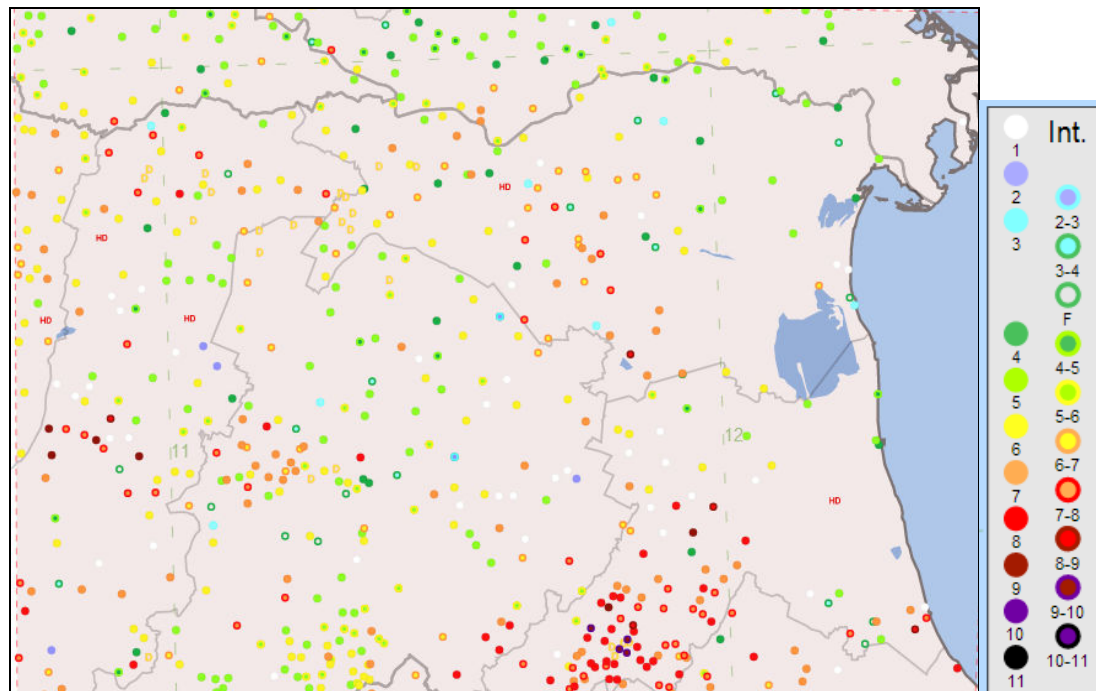


FIGURA 2.15 – Interrogazione Data Base DBMI15 per il comune di Fiscaglia.

Allo stesso modo si interroga il Catalogo Parametrico dei Terremoti italiani CPTI15, che fornisce i dati parametrici omogenei, sia macrosismici, sia strumentali (**FIGURA 2.16**) relativi ai terremoti con intensità massima ≥ 5 o magnitudo ≥ 4 di interesse per l'Italia nella finestra temporale 1000 d.C e 2014 d.C. (<https://emidius.mi.ingv.it/CPTI15-DBMI15/>).



Di seguito viene riportato l'elenco dei sismi documentati, riportati nel Catalogo dei Terremoti Italiani, di grado superiore al 3 della scala Mercalli (**FIGURA 2.17**). Sono riportati gli eventi sismici documentati, a cominciare dal XIII secolo. Le informazioni derivano dagli studi effettuati da Ferrari et al. 1980, Postpisch, 1985, Boschi et al. 1995, Boschi et al. 1997, Camassi, Stucchi, 1996. Gli eventi sono stati attribuiti al giorno in cui si è prodotta la scossa più violenta (sono molti i casi di sciame di scosse sismiche e scosse di assestamento). Le coordinate geografiche della zona epicentrale sono date in gradi sessadecimali, le intensità massime sono espresse in gradi della Scala Mercalli-Cancani-Sieberg.

Evento N°	Anno	mese	giorno	zona epicentrale lat. long.		zona epicentr. località	Intensità	Bibliogr.
1	1234	marzo	20	44,833	11,617	Ferrara	7	Camassi-Stucchi, 1997
2	1285	dicembre	13	44,833	11,650	Ferrara	6,5	Camassi-Stucchi, 1997
3	1346	febbraio	22	44,817	11,617	poco a S di Ferrara	7,5	Camassi-Stucchi, 1997
4	1410	giugno	9	44,833	11,617	Ferrara	6,5	Camassi-Stucchi, 1997
5	1425	agosto	10	44,833	11,667	poco a E di Ferrara	6	Camassi-Stucchi, 1997
6	1483	marzo	3	44,817	11,650	poco a SE di Ferrara	5,5	Camassi-Stucchi, 1997
7	1487	gennaio	11	45,03	11,30	a NW di Ferrara	5	Boschi et al., 1995
8	1508	ottobre	18	44,833	11,667	poco a E di Ferrara	6	Camassi-Stucchi, 1997
9	1561	novembre	24	44,833	11,600	Ferrara	6,5	Camassi-Stucchi, 1997
10	1570	novembre	18	44,817	11,650	Ferrara	8	Camassi-Stucchi, 1997
11	1594	ottobre	3	44,83	11,62	Ferrara	5	Boschi et al., 1997
12	1624	marzo	18	44,667	11,917	a NE di Argenta	8,5	Camassi-Stucchi, 1997
13	1695	febbraio	28	44,833	11,617	Ferrara	5,5	Camassi-Stucchi, 1997
14	1743	maggio	29	44,823	11,650	Ferrara	6,5	Camassi-Stucchi, 1997
15	1787	luglio	16	44,83	11,62	Ferrara	6,5	Boschi et al., 1997
16	1787	luglio	26	44,843	11,633	Ferrara	6,5	Camassi-Stucchi, 1997
17	1895	marzo	23	44,700	12,183	Comacchio	6	Camassi-Stucchi, 1997
18	1895	maggio	25	45,000	12,000	Serravalle-Papozze	6	Camassi-Stucchi, 1997
19	1895	luglio	3	44,700	12,183	Comacchio	6	Camassi-Stucchi, 1997
20	1898	gennaio	16	44,617	11,833	Argenta	7	Camassi-Stucchi, 1997
21	1908	giugno	28	44,800	11,300	fra Cento e Finale Emilia	6	Camassi-Stucchi, 1997
22	1909	gennaio	13	44,617	11,667	presso Tragheto	6,5	Camassi-Stucchi, 1997
23	1922	maggio	24	44,733	11,383	Cento	3,5	Camassi-Stucchi, 1997
24	1956	febbraio	20	44,567	11,950	a Sud di Filo di Argenta	5,5	Camassi-Stucchi, 1997
25	1967	dicembre	30	44,667	11,833	fra Argenta e Portomaggiore	6	Camassi-Stucchi, 1997

FIGURA 2.17 – *Elenco dei principali terremoti che hanno colpito il Ferrarese dal XIII secolo ad oggi.*

Comune	Lat.	Lon.	Imax	Mw
ARGENTA	44.61459	11.83658	9	6,1
ARGENTA	44.61459	11.83658	9	6,1
BONDENO	44.88857	11.41666	8	5,6
CENTO	44.72685	11.28937	7	5,2
CODIGORO	44.83096	12.10568	<= 6	4,8
COMACCHIO	44.69444	12.18290	7	5,2
COPPARO	44.89391	11.82986	8	5,6
FERRARA	44.83559	11.61842	8	5,6
FORMIGNANA	44.84187	11.85894	8	5,6
JOLANDA DI SAVOIA	44.88518	11.97726	7	5,2
LAGOSANTO	44.76249	12.13965	7	5,2
MASI TORELLO	44.79369	11.79704	8	5,6
MASSA FISCAGLIA	44.80818	12.01334	7	5,2
MESOLA	44.92060	12.23033	<= 6	4,8
MIgliarino	44.77058	11.93149	8	5,6
MIRABELLO	44.82534	11.46031	8	5,6
OSTELLATO	44.74516	11.94085	8	5,6
POGGIO RENATICO	44.76571	11.48392	8	5,6
PORTOMAGGIOR	44.69759	11.80509	8	5,6
RO	44.94634	11.76146	8	5,6
SANT'AGOSTINO	44.79258	11.38519	8	5,6
VIGARANO MAINARDA	44.84191	11.49759	8	5,6
VOGHIERA	44.75737	11.75011	8	5,6
TRESIGALLO	44.81771	11.89393	8	5,6
GORO	44.85334	12.30076	<= 6	4,8
MIgliaro	44.79835	11.97311	7	5,2
Mw=0,430Imax+2,182				

FIGURA 2.18 - *Massime intensità macrosismiche osservate nella provincia di Ferrara con stima della Magnitudo*

In **FIGURA 2.19** sono riportati gli epicentri dei principali terremoti ($M_w \geq 4$) che hanno interessato l'Emilia Romagna. In **FIGURA 2.20** è riportata la mappa degli epicentri verificatisi nella Regione Emilia Romagna, raggruppati in funzione della profondità degli ipocentri, ovvero la suddivisione è per sismi verificatisi a profondità inferiore a 8 km, per profondità comprese tra 8 e 15 km, per profondità comprese tra 15 e 35 km e per profondità maggiori di 35 km.

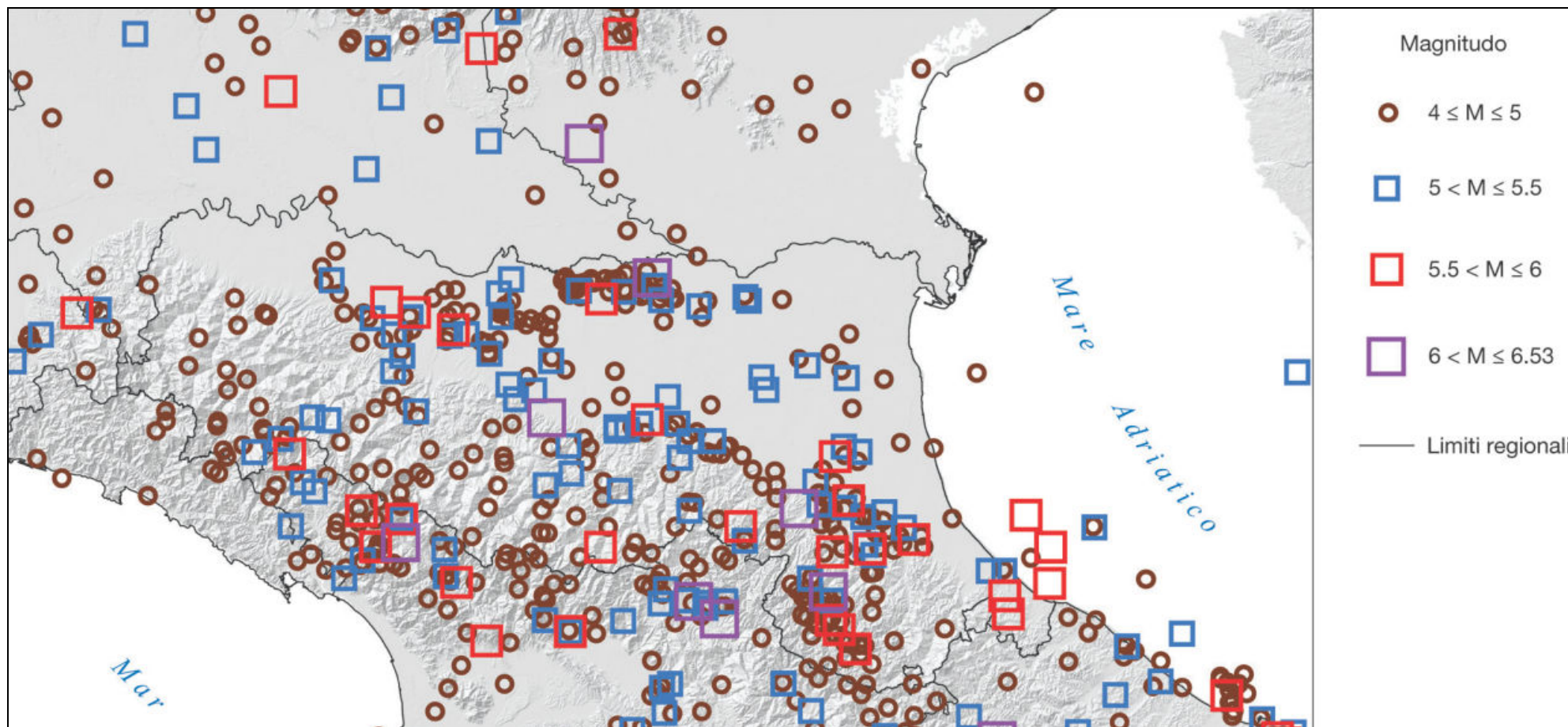
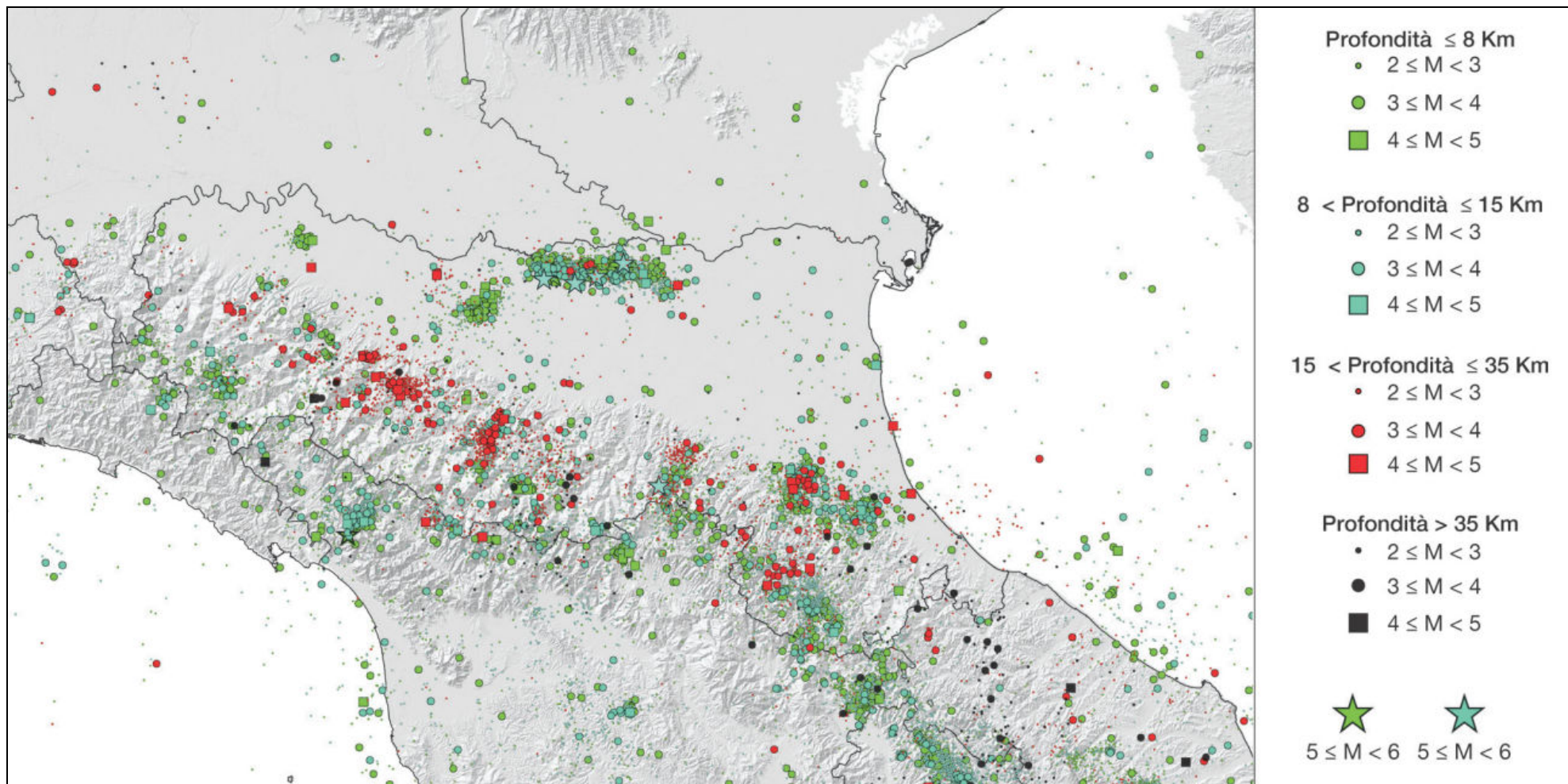


Figura 3.1: epicentri dei principali terremoti ($M_W \geq 4$) che hanno interessato l'Emilia-Romagna dall'anno 1000 al 2014 (Rovida et al., 2016; ISIde Working Group, 2015); dimensione e colore del simbolo sono rappresentativi della magnitudo (v. legenda).

FIGURA 2.19 – Ubicazione magnitudo dei principali sismi ($M_W \geq 4$) che hanno interessato la regione Emilia Romagna (Carta sismotettonica della Regione Emilia Romagna - 2016).



mapa dei terremoti strumentali $M_W \geq 2$; la dimensione del simbolo è proporzionale alla magnitudo, il colore indica la profondità ipocentrale.

FIGURA 2.20 - mappa degli epicentri verificatisi nella Regione Emilia Romagna, raggruppati in funzione della profondità degli ipocentri, ovvero la suddivisione è per sismi verificatisi a profondità inferiore a 8 km, per profondità comprese tra 8 e 15 km, per profondità comprese tra 15 e 35 km e per profondità maggiori di 35 km.

(Carta sismotettonica della Regione Emilia Romagna - 2016).

2.2.1. LA MAGNITUDO ATTESA

La magnitudo è una grandezza molto importante per la definizione della pericolosità sismica e quindi dell'azione sismica. È una grandezza che ha carattere aleatorio e come tale viene trattata negli studi di pericolosità. Analogo carattere dovrebbe quindi conservare quando utilizzata per la definizione a fini di progettazione o di studio di ms.

Un primo metodo semplice e in favore di sicurezza che può essere utilizzato per stimare quale sia il valore di magnitudo da considerare ai fini delle valutazioni, preferibilmente per le verifiche di liquefazione, per il sito o la microzona di interesse, è il seguente (Indirizzi e criteri per la microzonazione sismica – Protezione civile):

Si considera sempre la zonazione sismogenetica (ZS9) (**FIGURA 2.21**), secondo la quale la sismicità può essere distribuita in 36 zone, a ciascuna delle quali è associata una magnitudo massima M_{wmax}^{50} .

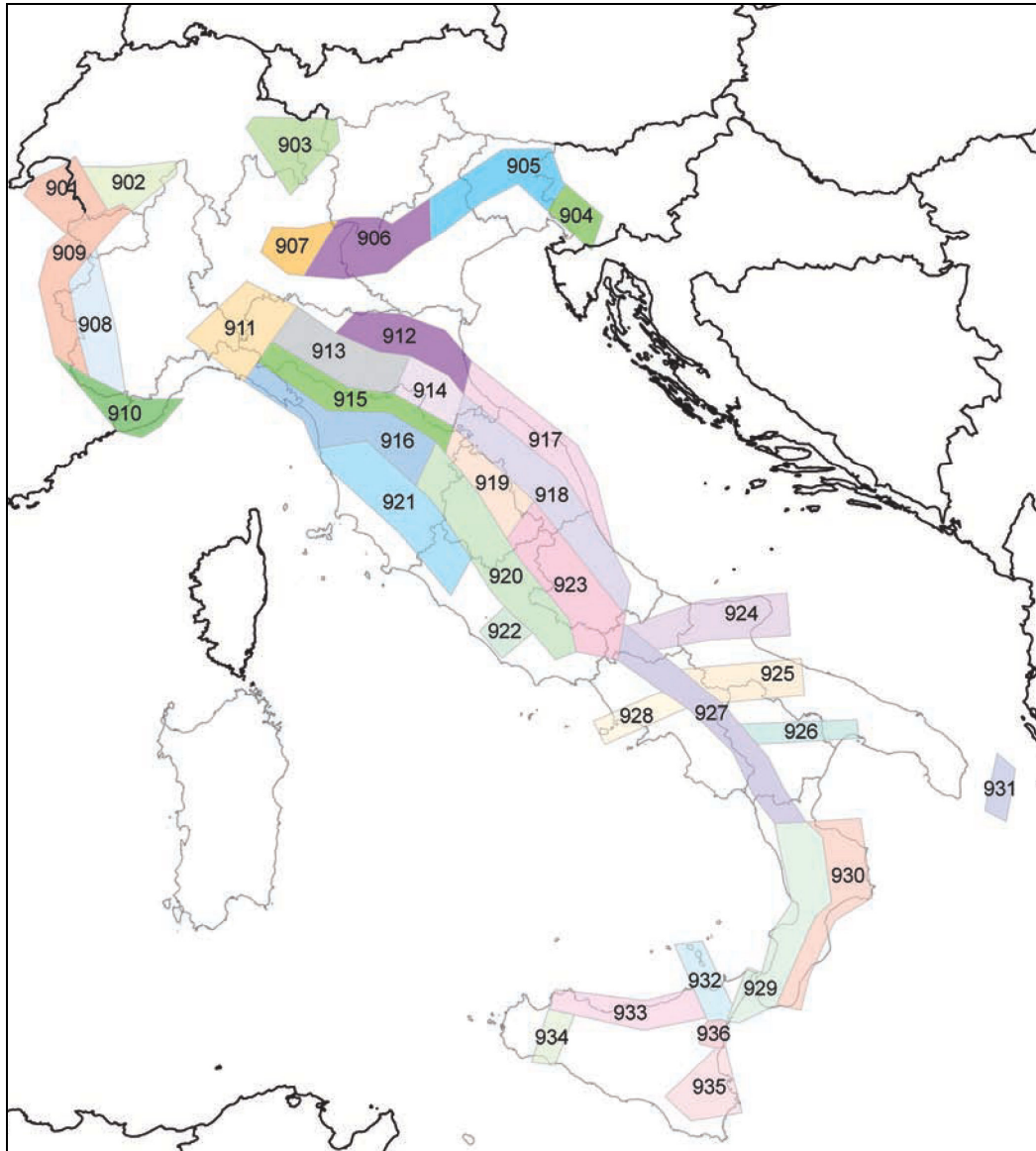


FIGURA 2.21 – Zone sismogenetiche per la mappa di pericolosità sismica di base di riferimento

Per i siti che cadono in una delle 36 zone sismogenetiche predette si assume come m il valore di M_{wmax} (**FIGURA 2.22**).

Valori di M_{wmax} per le zone sismogenetiche di ZS9 (estratto da Gruppo di lavoro, 2004)

Nome ZS	Numero ZS	M_{wmax}
Colli Albani, Etna	922, 936	5.45
Ischia-Vesuvio	928	5.91
Altre zone	901, 902, 903, 904, 907, 908, 909, 911, 912, 913, 914, 916, 917, 920, 921, 926, 932, 933, 934	6.14
Medio-Marchigiana/Abruzzese, Appennino Umbro, Nizza Sanremo	918, 919, 910	6.37
Friuli-Veneto Orientale, Garda-Veronese, Garfagnana-Mugello, Calabria Jonica	905, 906, 915, 930	6.60
Molise-Gargano, Ofanto, Canale d'Otranto	924, 925, 931	6.83
Appennino Abruzzese, Sannio - Irpinia-Basilicata	923, 927	7.06
Calabria tirrenica, Iblei	929, 935	7.29

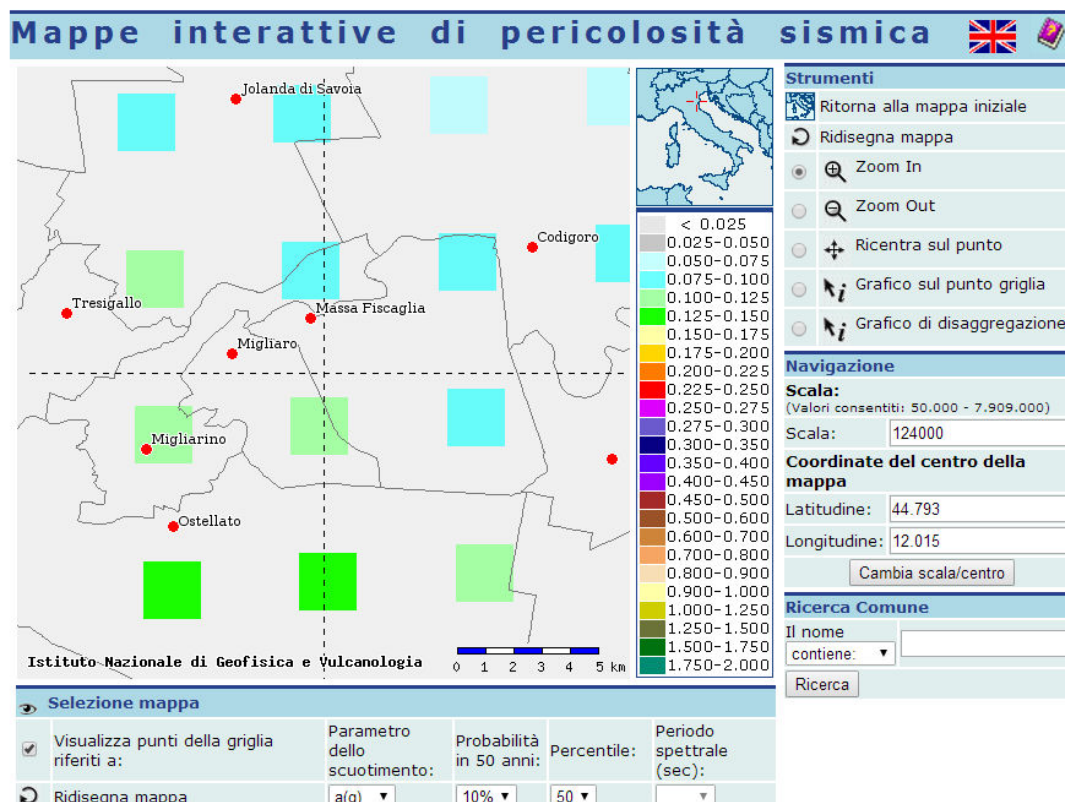
FIGURA 2.22 – Valori di M_{wmax} per le zone sismo genetiche di ZS9

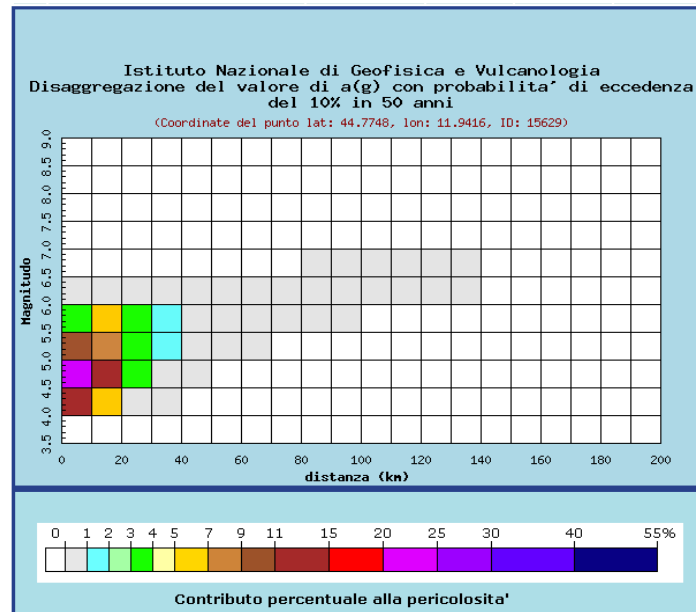
Ai fini della verifica a liquefazione e per i siti che non ricadono in alcuna zona sismogenetica si determinano le minime distanze (R_i) dalle zone (i) circostanti e si controlla per ciascuna di esse se la magnitudo M_i della zona è inferiore alla magnitudo fornita dalla relazione $M_s = 1 + 3\log(R_i)$. Se ciò accade, la verifica a liquefazione non è necessaria. se invece è necessaria, si assume il valore di magnitudo M_i più alto fra quelli per i quali la verifica è necessaria.

Il territorio comunale di Fiscaglia ricade solo in piccola parte all'interno della zona sismogenetica 912, e viene proposta come magnitudo attesa massima il valore di $M = 6,14$ (INGV, Veletti e Malensise, 2004).

Un secondo metodo per la scelta della magnitudo di progetto è quello del grafico di disaggregazione del sito dell'INGV.

L'analisi della disaggregazione dei valori di $a(g)$ riporta, per ogni nodo della griglia di calcolo, la valutazione del contributo percentuale alla stima di pericolosità fornito da tutte le possibili coppie di valori di magnitudo e distanza; questa informazione è riportata sia in forma grafica sia in forma tabellare (**FIGURA 2.23**).





Distanza in km	Disaggregazione del valore di $a(g)$ con probabilit� di eccedenza del 10% in 50 anni (Coordinate del punto lat: 44.7748, lon: 11.9416, ID: 15629)										
	Magnitudo										
	3.5-4.0	4.0-4.5	4.5-5.0	5.0-5.5	5.5-6.0	6.0-6.5	6.5-7.0	7.0-7.5	7.5-8.0	8.0-8.5	8.5-9.0
0-10	0.000	13.600	21.600	9.880	3.970	0.420	0.000	0.000	0.000	0.000	0.000
10-20	0.000	5.520	12.400	8.880	5.180	0.677	0.000	0.000	0.000	0.000	0.000
20-30	0.000	0.998	3.370	3.650	3.010	0.480	0.000	0.000	0.000	0.000	0.000
30-40	0.000	0.053	0.755	1.420	1.570	0.291	0.000	0.000	0.000	0.000	0.000
40-50	0.000	0.000	0.057	0.506	0.781	0.126	0.000	0.000	0.000	0.000	0.000
50-60	0.000	0.000	0.000	0.093	0.342	0.053	0.000	0.000	0.000	0.000	0.000
60-70	0.000	0.000	0.000	0.007	0.130	0.030	0.000	0.000	0.000	0.000	0.000
70-80	0.000	0.000	0.000	0.000	0.035	0.016	0.000	0.000	0.000	0.000	0.000
80-90	0.000	0.000	0.000	0.000	0.009	0.023	0.004	0.000	0.000	0.000	0.000
90-100	0.000	0.000	0.000	0.000	0.001	0.022	0.007	0.000	0.000	0.000	0.000
100-110	0.000	0.000	0.000	0.000	0.000	0.015	0.008	0.000	0.000	0.000	0.000
110-120	0.000	0.000	0.000	0.000	0.000	0.007	0.006	0.000	0.000	0.000	0.000
120-130	0.000	0.000	0.000	0.000	0.000	0.002	0.004	0.000	0.000	0.000	0.000
130-140	0.000	0.000	0.000	0.000	0.000	0.000	0.001	0.000	0.000	0.000	0.000
140-150	0.000	0.000	0.000	0.000	0.000	0.000	0.000	0.000	0.000	0.000	0.000
150-160	0.000	0.000	0.000	0.000	0.000	0.000	0.000	0.000	0.000	0.000	0.000
160-170	0.000	0.000	0.000	0.000	0.000	0.000	0.000	0.000	0.000	0.000	0.000
170-180	0.000	0.000	0.000	0.000	0.000	0.000	0.000	0.000	0.000	0.000	0.000
180-190	0.000	0.000	0.000	0.000	0.000	0.000	0.000	0.000	0.000	0.000	0.000
190-200	0.000	0.000	0.000	0.000	0.000	0.000	0.000	0.000	0.000	0.000	0.000

Valori medi		
Magnitudo	Distanza	Epsilon
4.970	12.800	0.595

FIGURA 2.23 - Grafico di disaggregazione

Per ogni nodo della griglia sono anche riportati, dopo la tabella, i valori medi di M-D- ϵ .

Questo tipo di analisi   utile nell'individuazione della sorgente sismogenetica che contribuisce maggiormente a produrre il valore di scuotimento stimato in termini probabilistici ed   utile in analisi di microzonazione.

2.3. CLASSIFICAZIONE SISMICA

L'Italia appartiene ad una zona sismicamente attiva, l'area mediterranea, che mediamente ogni otto anni è intensamente colpita da terremoti con conseguenze da gravi a catastrofiche.

Un terremoto rappresenta un rischio qualora nelle aree colpite dall'evento vi sia la presenza di edifici, costruzioni e impianti. In un'area intensamente popolata, quale l'Italia, la strategia di difesa dai terremoti è pertanto prevalentemente impostata sull'elaborazione di un'adeguata normativa sismica che predisponga i requisiti antisismici delle nuove costruzioni e gli eventuali interventi sul patrimonio edilizio già esistente in funzione della pericolosità sismica delle aree in cui essi sorgono. Una breve cronistoria della normativa italiana vede l'adozione delle prime misure legislative durante il governo borbonico a seguito dei terremoti che colpirono la Calabria nel 1783 e che causarono più di 30.000 morti.

La prima classificazione sismica italiana costituita da una lista dei comuni in cui dovevano essere applicate precise norme costruttive fu promulgata solamente dopo il terremoto del 28 dicembre 1908 che distrusse le città di Reggio Calabria e Messina, causando, si stima, più di 80.000 vittime (Slejco -Il sole 24 ore, 2003). Il Regio Decreto 18 aprile 1909 n. 193 conseguente all'evento ("*Norme tecniche ed igieniche obbligatorie per le riparazioni, ricostruzioni e nuove costruzioni degli edifici pubblici e privati nei luoghi colpiti dal terremoto del 28 dicembre 1908 e da altri precedenti elencati nel R.D. 15 aprile 1909. Designazione dei comuni*") riportava l'elenco dei comuni interessati da eventi sismici e soggetti al rispetto di specifiche norme tecniche per l'edificazione delle nuove costruzioni e per la riparazione di quelle danneggiate. Nell'arco di tempo compreso fra il 1908 ed il 1974 si procedette con il solo aggiornamento del primo elenco aggiungendo i nomi dei nuovi comuni danneggiati dai successivi terremoti.

La decisione di dar vita ad una nuova e più evoluta normativa sismica nazionale avvenne solo nel 1974 con la promulgazione della Legge 2/ 2/ 74 n. 64 "*Provvedimenti per le costruzioni con particolari prescrizioni per le zone sismiche*" che stabiliva alcuni principi generali, anche di carattere tecnico, e presentava una rinnovata classificazione sismica aggiornabile qualora comprovate motivazioni tecnico scientifiche lo richiedessero.

Legge 2/ 2/ 74 n. 64

La classificazione sismica introdotta dalla Legge 2/2/74 n. 64 "*Provvedimenti per le costruzioni con particolari prescrizioni per le zone sismiche*" escludeva tutto il territorio del comune Fiscaglia dal rischio sismico, non inserendoli in nessuna delle tre categorie, come visibile in **FIGURA 2.24**.

Studi sismologici e geologici, successivi ai terremoti del 1976 in Friuli e del 1980 in Irpinia, svolti nell'ambito del Progetto Finalizzato Geodinamica del Consiglio Nazionale delle Ricerche incrementarono e svilupparono nuove conoscenze sulla sismicità del territorio nazionale, consentendo la formulazione di una proposta di classificazione sismica basata, per la prima volta in Italia, su indagini di tipo probabilistico della sismicità, con una parziale stima del rischio sismico sul territorio nazionale.

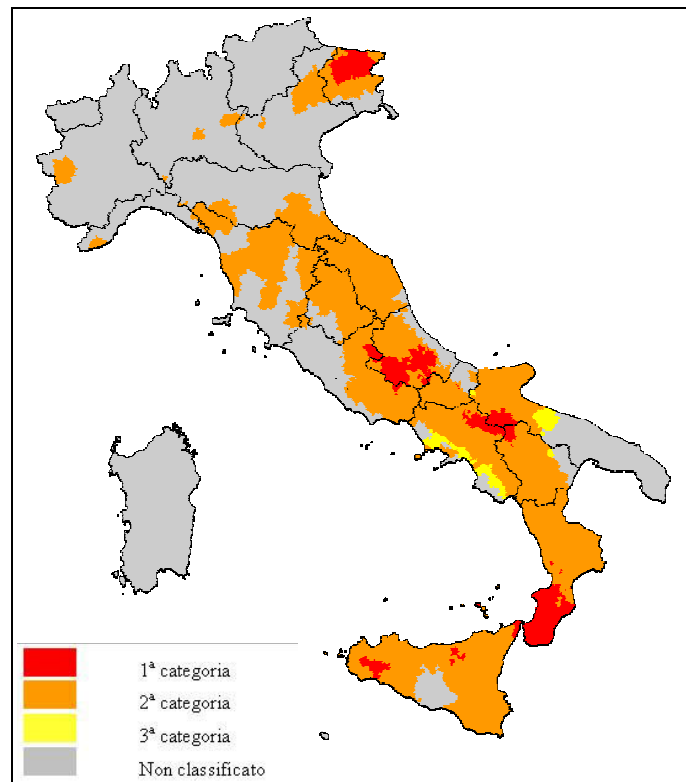


FIGURA 2.24 - Classificazione sismica secondo Legge 2/ 2/ 74 n. 64

OPCM 3274 del 20/03/2003

Secondo l'Ordinanza del Presidente del Consiglio dei Ministri n. 3274 del 20/03/2003 "Primi elementi in materia di criteri generali per la classificazione sismica del territorio nazionale e normative tecniche per le costruzioni in zona sismica", pubblicata sulla G.U. del 08/05/2003, si attua la riclassificazione sismica dell'intero territorio nazionale secondo nuovi criteri che definiscono gli indicatori da considerare e le procedure da adottare ("Criteri per l'individuazione delle zone sismiche-individuazione, formazione ed aggiornamento degli elenchi nelle medesime zone"). Tale ordinanza inserisce (OPCM 3274/2003) il Comune di Fiscaglia nella categoria di rischio 3 (FIGURA 2.25).

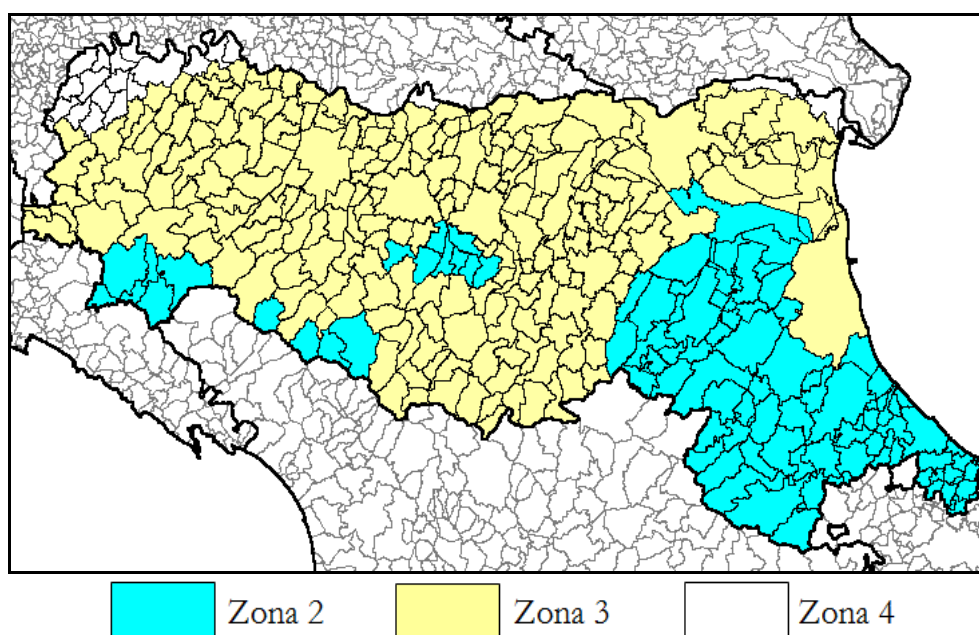


FIGURA 2.25 – Nuova zonizzazione sismica del territorio regionale, dettaglio relativo alla Regione Emilia-Romagna.

D.M. 14/09/2005

L'OPCM 3274/2003 ed il D.M. 14/09/2005 che aveva recepito l'Ordinanza, stabilivano che il territorio italiano era suddiviso in 4 zone. Le zone 1, 2 e 3, corrispondenti alle zone di sismicità alta ($S=12$), media ($S=9$) e bassa ($S=6$) della Legge 64/74, prevedevano l'applicazione di criteri antisismici con differenti livelli di severità. Nella zona 4, di nuova introduzione e corrispondente a zona con bassissima sismicità, era invece data facoltà alle regioni di imporre l'obbligo della progettazione antisismica.

Nella classificazione definita dai Decreti emessi fino al 1984 la sismicità era definita attraverso il "grado di sismicità" S , nella proposta di riclassificazione del Gdl del 1998 si utilizzavano 3 categorie sismiche più una categoria di Comuni non classificati (N.C.), nella classificazione 2003 la sismicità era definita mediante quattro zone, già espresse in precedenza. La corrispondenza tra queste diverse definizioni è riportata in **Tabella 2.2** e **2.3**.

Decreto fino al 1984	GdL 1998	Classificazione 2003	A max
$S = 12$	Prima categoria	Zona 1	0,35g
$S = 9$	Seconda categoria	Zona 2	0,25g
$S = 6$	Terza categoria	Zona 3	0,15g
Non Classificato	N.C.	Zona 4	0,05g

Tabella 2.2 – Corrispondenza tra le definizioni di sismicità

Denominazione	Decreto fino al 1984	GdL 1998	Classificazione 2003	A max
Fiscaglia	$S = 6$	Terza categoria	Zona 3	0,15g

Tabella 2.3 – Corrispondenza tra le definizioni di sismicità

OPCM 3519/2006

Secondo la classificazione sismica introdotta dall'OPCM 3519/2006 (**FIGURA 2.26**) si prevede per il comune di **Fiscaglia** una accelerazione massima orizzontale di picco al suolo, cioè per $T=0$ e su suolo rigido ($V_{s30}>800\text{m/sec}$), appartenente all'intervallo 0,075 – 0,100 e 0,100 – 0,125, con una probabilità di superamento del 10% in 50 anni.

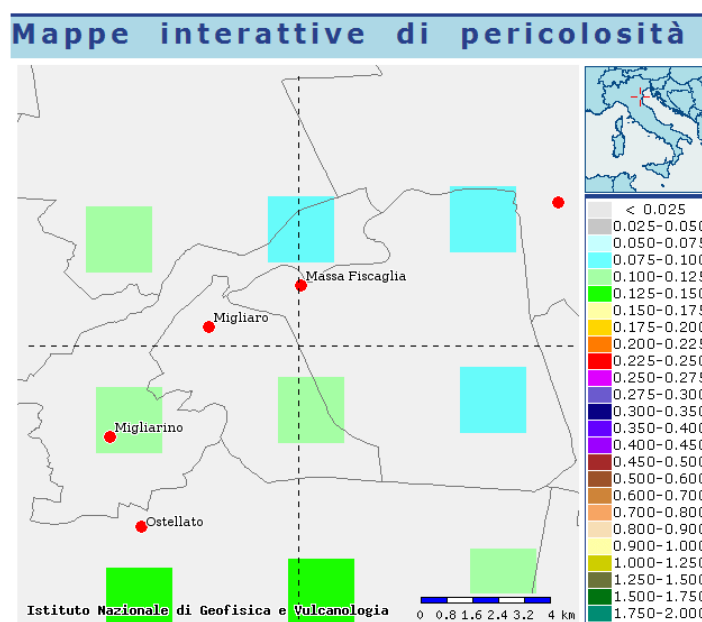


FIGURA 2.26 – Carta pericolosità sismica, da progetto DCP – INGV – S1. fonte: <http://esse1-gis.mi.ingv.it>

Denominazione	A max
Fiscaglia	0,075 – 0,125

D.M. 14/01/2008 "nuove NTC" e successivo D.M. 17/02/2018 "aggiornamento delle NTC"

Con l'entrata in vigore del D.M. 14 gennaio 2008 la stima della pericolosità sismica, intesa come accelerazione massima orizzontale su suolo rigido ($V_s > 800$ m/s), viene definita mediante un approccio "sito dipendente" e non più tramite un criterio di "zona dipendente".

Nell'allegato B del suddetto D.M. sono forniti i valori dei parametri a_g , F_0 e T^*_C necessari per la determinazione delle azioni sismiche per 10751 punti del suolo italiano e per 9 valori del periodo di ritorno T_R (30 anni, 50 anni, 72 anni, 11 anni, 140 anni, 201 anni, 475 anni, 975 anni, 2475 anni).

Da questo punto di vista il D.M. 17/02/2018 non ha apportato aggiornamenti, e si conferma la validità dell'Allegato B.

"Atto di indirizzo, n°112 del 2 maggio 2007" per la Pianificazione territoriale ed urbanistica

Gli strumenti di pianificazione territoriale ed urbanistica convergono alla riduzione del rischio sismico (art. A-2, comma 4, All. alla L.R. 20/2000) tramite una analisi di pericolosità, vulnerabilità ed esposizione urbanistica. I risultati dell'analisi della pericolosità sismica locale e della microzonazione sismica, contenuti nel quadro conoscitivo, devono essere applicati nella redazione degli strumenti di pianificazione territoriale ed urbanistica (*Atto di indirizzo, n°112 del 2 maggio 2007*). Si identificano due fasi di analisi con diversi livelli di approfondimento.

La prima fase definisce gli scenari di pericolosità sismica locale, ovvero identifica le parti del territorio suscettibili ad effetti locali (amplificazione del segnale sismico, cedimenti, fenomeni di liquefazione, rotture del terreno, ecc). L'individuazione delle aree soggette agli effetti di sito si basa essenzialmente su rilievi, osservazioni e valutazioni di tipo geologico e geomorfologico.

La seconda fase ha come obiettivo la microzonazione sismica del territorio indagato, eseguita tramite un'analisi semplificata ed un'analisi più approfondita.

Nella tabella che segue (**FIGURA 2.27**) sono riportati i valori di accelerazione massima orizzontale di picco la suolo, cioè per $T=0$, espressa in frazione dell'accelerazione di gravità g (a_{refg}), per ogni comune della provincia di Ferrara.

FE	Argenta	0.160
FE	Berra	0.064
FE	Bondeno	0.130
FE	Cento	0.157
FE	Codigoro	0.079
FE	Comacchio	0.103
FE	Copparo	0.092
FE	Ferrara	0.132
FE	Formignana	0.106
FE	Goro	0.063
FE	Jolanda di Savoia	0.080
FE	Lagosanto	0.097
FE	Masi Torello	0.132
FE	Massa Fiscaglia	0.098
FE	Mesola	0.062
FE	Migliarino	0.126
FE	Migliaro	0.107
FE	Mirabello	0.145
FE	Ostellato	0.133
FE	Poggio Renatico	0.155
FE	Portomaggiore	0.152
FE	Ro	0.084
FE	Sant'Agostino	0.153
FE	Tresigallo	0.114
FE	Vigarano Mainarda	0.141
FE	Voghiera	0.146

FIGURA 2.27 – accelerazioni di picco attese al bedrock secondo D.A.L. 112/2007

L'Atto di Indirizzo 112/2007 fornisce le amplificazioni sismiche sia in funzione del rapporto di accelerazione massima orizzontale PGA/PGA_0 , sia del rapporto di Intensità di Housner SI/SI_0 , per prefissati intervalli di periodi.

In ambito di pianura caratterizzato da profilo stratigrafico costituito da alternanze di sabbie e peliti, con spessori anche decimetrici, talora con intercalazioni di orizzonti di ghiaie (di spessore anche decine di metri), con substrato profondo (>100 m da p.c.) (PIANURA 2) si devono usare le seguenti tabelle (**FIGURA 2.28**) per il calcolo dell'amplificazione sismica.

F.A. P.G.A.

V_{s30}	200	250	300	350	400	450	500	600	700	800
F.A.	1.5	1.5	1.5	1.4	1.4	1.4	1.3	1.1	1.0	1.0

F.A. INTENSITA' SPETTRALE - $0.1s < T_0 < 0.5s$

V_{s30}	200	250	300	350	400	450	500	600	700	800
F.A.	1.8	1.8	1.7	1.7	1.5	1.4	1.3	1.2	1.0	1.0

F.A. INTENSITA' SPETTRALE - $0.5s < T_0 < 1.0s$

V_{s30}	200	250	300	350	400	450	500	600	700	800
F.A.	2.5	2.3	2.3	2.0	1.8	1.7	1.7	1.5	1.2	1.0

FIGURA 2.28 – Tabelle per la stima dei fattori di amplificazione in funzione della V_{s30} .

“DELIBERA DI GIUNTA REGIONALE 2193, DEL 21 DICEMBRE 2015” PER LA PIANIFICAZIONE TERRITORIALE ED URBANISTICA

In data 21 Dicembre 2015 è stato approvato, ai sensi dell'art. 16 della L.R. 20 del 2000, *l'Aggiornamento dell'atto di coordinamento tecnico, denominato “Indirizzi per gli studi di microzonazione sismica in Emilia-Romagna per la pianificazione territoriale e urbanistica” di cui alla deliberazione dell'Assemblea legislativa 2 maggio 2007, n. 112, attraverso la modifica degli Allegati A e A1 e la sostituzione degli Allegati A2, A3 e A4 della stessa deliberazione, con quelli facenti parte integrante della presente deliberazione, per ridefinire i criteri, le procedure e le specifiche tecniche per la micro zonazione sismica del territorio regionale.*

Nella **FIGURA 2.29** che segue sono riportati i valori di accelerazione massima orizzontale di picco al suolo, cioè per $T=0$, espressa in frazione dell'accelerazione di gravità g (a_{refg}), per ogni punto della griglia presente nel territorio comunale di Fiscaglia.



FIGURA 2.29 – Territorio comunale di Fiscaglia con griglia dei punti e rispettivi valori di accelerazione orizzontale massima su suolo rigido

Il valore di a_{refg} relativo ad ogni sito analizzato si ottiene interpolando i valori di a_{refg} definiti nei punti della griglia più prossimi al sito oppure utilizzando il valore del punto della griglia più vicino.

Nel territorio regionale sono stati individuati diversi ambienti geo-litologici omogenei principali relativi a:

- i) zona collinare e montana (Appennino);
- ii) pianura e zona costiera che comprende anche il settore di transizione Appennino-Pianura (Margine).

Sulla base delle conoscenze attuali, dei dati in possesso dello scrivente, e delle due prove ESAC profonde eseguite a Migliarino e a Massa Fiscaglia il territorio comunale di Fiscaglia è caratterizzato da un unico ambito, PIANURA 3, secondo quanto recepito dal D.G.R. 2193 del 2015.

Definizione: PIANURA 3: settore di pianura caratterizzato da elevati spessori di sedimenti prevalentemente fini e poco consolidati, alternanze di limi, argille e sabbie di ambiente alluvionale e transizionale, con substrato rigido a profondità non inferiori a 300m da p.c..

Infatti il territorio comunale ha substrato rigido a profondità maggiori di 300m sempre.

PIANURA 3: settore di pianura caratterizzato da elevati spessori di sedimenti prevalentemente fini e poco consolidati, alternanze di limi, argille e sabbie di ambiente alluvionale e transizionale, con substrato rigido a profondità non inferiori a 300 m da p.c.;

$V_{s30}(m/s) \rightarrow$	150	200	250	300	350	400
F.A. PGA	1.3	1.3	1.3			
F.A. SI1	1.5	1.5	1.5			
F.A. SI2	2.3	2.3	2.2			
F.A. SI3	2.6	2.6	2.4			

Pianura 3. Tabella dei Fattori di Amplificazione PGA, SI1, SI2 e SI3.

SI1 : $0.1s \leq T_0 \leq 0.5s$

SI2 : $0.5s \leq T_0 \leq 1.0s$

SI3 : $0.5s \leq T_0 \leq 1.5s$

Il D.G.R. 2193 del 2015, fornisce le amplificazioni sismiche sia in funzione del rapporto di accelerazione massima orizzontale PGA/PGA_0 , sia del rapporto di Intensità di Housner SI/SI_0 , per prefissati intervalli di periodi.

Fino a valori di V_{s30} compresi tra 125m/sec e 175 m/sec, il Fattore di amplificazione del rapporto di Intensità di Housner compreso tra il periodo di 0,1sec e 0,5sec dello spettro di risposta sismica in velocità è pari a 1,5. Nel periodo compreso tra 0,5sec e 1,0sec il F.A. va assunto pari a 2,3. Nel periodo compreso tra 0,5sec e 1,5 sec il valore di F.A. nel rapporto di Intensità di Housner va assunto pari a 2,6.

Per valori di V_{s30} compresi tra 175m/sec e 225 m/sec, il Fattore di amplificazione del rapporto di Intensità di Housner compreso tra il periodo di 0,1sec e 0,5sec dello spettro di risposta sismica in velocità è pari a 1,5. Nel periodo compreso tra 0,5sec e 1,0sec il F.A. va assunto pari a 2,3. Nel periodo compreso tra 0,5sec e 1,5 sec il valore di F.A. nel rapporto di Intensità di Housner va assunto pari a 2,6.

Nel territorio di Fiscaglia generalmente i valori attesi di V_{s30} dovrebbero appartenere a queste due categorie di suolo sismico.

3. ASSETTO GEOLOGICO E GEOMORFOLOGICO DEL COMUNE DI FISCAGLIA

3.1. CENNI DI GEOLOGIA REGIONALE

L'evoluzione strutturale dell'ampio bacino subsidente padano, a cui appartiene il territorio del Comune di Fiscaglia, è connessa con la dinamica degli eventi che, in sequenze spazio-temporali diverse, hanno interessato sia il Sudalpino che l'Appennino, ed hanno prodotto una tettonica compressiva con accorciamento crostale per convergenza e collisione. Si è avuta così la formazione di gruppi di pieghe e di un fitto sistema di faglie con direzione NNW-SSE; WNW-ESE e N-S, e la suddivisione dell'area padana in settori dislocati da paleofaglie che hanno determinato situazioni di bacino e di alto locale, caratterizzati da una diversa evoluzione.

L'area padana orientale ad est di Modena-Nogara è caratterizzata dalle seguenti zone geologicamente distinte, come visto nel capitolo 2 di questa relazione, in successione da nord a sud:

- il fronte degli appennini;
- le pieghe Ferraresi;
- le pieghe Romagnole;
- la isoclinale padano-veneta, a stile rigido.

La zona in esame rappresenta la parte più orientale dell'arco delle pieghe appenniniche, le quali a settentrione, si accavallano in stretta successione alla monoclinale pedepolina nella zona delle Gallare e Varano.

All'arco ferrarese si affianca, nella parte a mare, l'arco delle pieghe adriatiche che si accavallano invece sulla monoclinale adriatica. Nella parte interna, e cioè meridionale, delle pieghe ferraresi e adriatiche si addossa a sua volta l'arco delle pieghe romagnole. Tutte e tre le strutture sopraindicate sono delimitate esternamente da fasce di faglie inverse, testimoni di diversi fronti compressivi in avanzamento; internamente, cioè nelle fasce retrostanti ai fronti compressivi, si rilevano sistemi di faglie dirette ad indicare un carattere distensivo.

Le fasi tettoniche si sono succedute fino al Pleistocene ed hanno portato a successive riprese dei piegamenti ed alla formazione di lineamenti paleogeografici variabili in successione spazio-temporale e quindi all'instaurarsi in sequenza alterna di ambienti deposizionali marini, costieri, deltizi e lagunari in relazione a locali processi di sollevamento e di subsidenza.

Durante il Pliocene medio inizia un periodo di forte subsidenza che continua sino a tutto il Quaternario basale. Nel Quaternario recente la sedimentazione prevale sulla subsidenza, ed in connessione con le regressioni marine provocate dalle glaciazioni, depositi continentali si sovrappongono ai sedimenti marini. Segue poi una nova fase trasgressiva con arretramento della linea di costa di oltre venti chilometri rispetto alla posizione attuale. Infine durante l'ultima regressione marina postflandriana, sviluppatasi in più fasi, si ebbe un progressivo spostamento verso oriente della linea di costa sino a raggiungere l'odierno assetto geomorfologico.

A causa della pluralità degli ambienti deposizionali in successione spazio-temporale, il complesso plioquaternario nel territorio del Basso Ferrarese è costituito da una alternanza di livelli sabbiosi, limosi ed argillosi o da miscele binarie o ternarie di tali litotipi.

L'assetto strutturale dei sedimenti plioquaternari è caratterizzato da blande anticlinali e sinclinali, più accentuate nella parte basale della serie, ove sono presenti anche strutture a trappola sedimentaria o tettonica, e sempre più deboli man mano che ci si avvicina alla superficie attuale.

L'andamento anticlinalico e sinclinalico fa variare lo spessore dei sedimenti plioquaternari; per esempio nella zona SW del foglio Comacchio esso va dai 2800 metri ai circa 800 metri sotto il piano campagna. Tra il Mezzano e Casal Borsetti il tetto del prepliocene è a 2800 metri, tra Longastrino ed il Mezzano meridionale c'è un alto strutturale ed il tetto è a 800 metri circa, tra Comacchio e Portograribaldi una forte subsidenza di origine tettonica ha permesso la deposizione di uno spessore variabile fra i 3200 ed i 4800 metri circa di sedimenti (D. Vincenzi, E. Valpreda, G. Lenzi et Alii, 1989).

Sotto il comune di Fiscaglia la base dei sedimenti del Pliocene è compresa mediamente tra i 2000m ed i 3000m di profondità.

In **FIGURA 3.1** è visibile la diversa profondità della base dei sedimenti del Pliocene medio superiore, e i diversi tipi di fagliezioni presenti nel substrato padano.

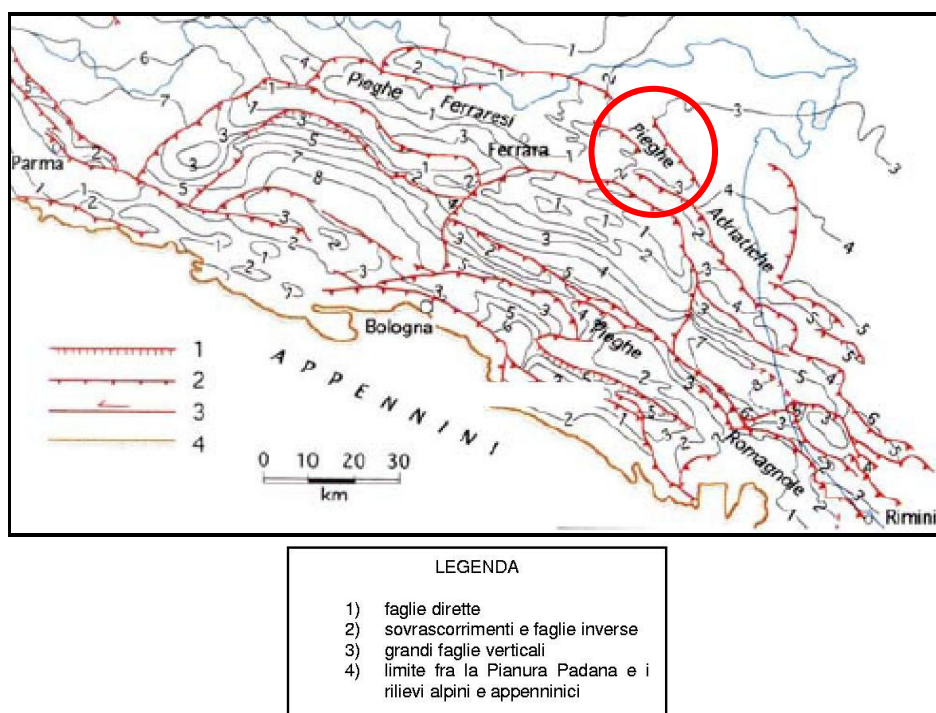


FIGURA 3.1 – Mappa delle strutture profonde con caratterizzazione dei vari tipi di fagliezioni presenti nel substrato roccioso profondo.
Le isobate indicano la base dei depositi del Pliocene Superiore

La potenza dei sedimenti quaternari nell'ambito padano è tale da dimostrare che l'area è stata soggetta a fenomeni di subsidenza fin da remoti tempi geologici; poiché recenti misure geodetiche dimostrano che l'orogene appenninico non ha ancora raggiunto una configurazione stabile, appare chiaro che è ancora presente una componente tettonica profonda della subsidenza, tanto da rappresentare attualmente il motivo più evidente di instabilità di questo territorio, anche se le cause naturali hanno ridotto, a quanto pare, notevolmente i loro effetti. L'intervento antropico ha però accentuato questo carattere per i seguenti motivi:

- a) abbassamento della falda freatica per scopi di bonifica: tale pratica determina degli abbassamenti del suolo per effetto del costipamento dei sedimenti dovuto a semplici cause meccaniche oppure connesso con reazioni chimiche che intervengono sui componenti organici degli stessi;
- b) estrazioni eccessive di fluidi (gas ed acqua) da falde profonde delle formazioni quaternarie;
- c) imposizione sul suolo di carichi non equiparati alla portanza dei terreni;
- d) per via elettrochimica, quando si sia cambiato il chimismo delle acque di saturazione in terreni argillosi e argilloso-limosi, specialmente per l'ingressione di acque marine per emungimento forzato di falde confinate.

Si è stimato che la velocità di subsidenza tra il 1903 ed il 1950 è stata a Codigoro di 0,4 cm/anno; nel periodo 1950-'70 sarebbe passata a velocità di 4 cm/anno; dopo il '70 la subsidenza si assesta su 0,8 cm/anno.

Stesso trend ha avuto il fenomeno a Ravenna: fino al 1945 la velocità di subsidenza era di 0,3 cm/anno; successivamente tra il 1945-'85 si evidenzia una più elevata velocità di abbassamento con 1,5 cm/anno e punte di 2,0 cm/anno nel periodo 1960-'80, mentre si registrano rallentamenti negli ultimi anni.

Costante è il valore di subsidenza naturale attribuibile a cause geologiche (compattazione dei sedimenti quaternari, eustatismo ed il basculamento della parte nord-orientale della pianura Padana) che raggiunge gli 0,2-0,3 cm/anno, l'entità rimanente quindi risulta attribuibile a cause indotte.

Il movimento di basculamento della Pianura Padana vede la parte occidentale alzarsi lentamente, mentre quella orientale si sta abbassando; questo movimento avviene secondo l'asse Brescia-Genova, orientato NE-SW.

3.2. CENNI SULL'EVOLUZIONE GEOMORFOLOGICA OLOCENICA

In **FIGURA 3.2** si riporta la carta della profondità in m dal p.c. dei depositi olocenici, ovvero più giovani di 10.000 anni. Gli spessori accumulati di sedimenti olocenici dipendono dal tasso di sedimentazione degli apporti fluviali, dalla subsidenza e dalla variazione climatica in uscita dall'ultima glaciazione che ha indotto un progressivo innalzamento del livello del mare.

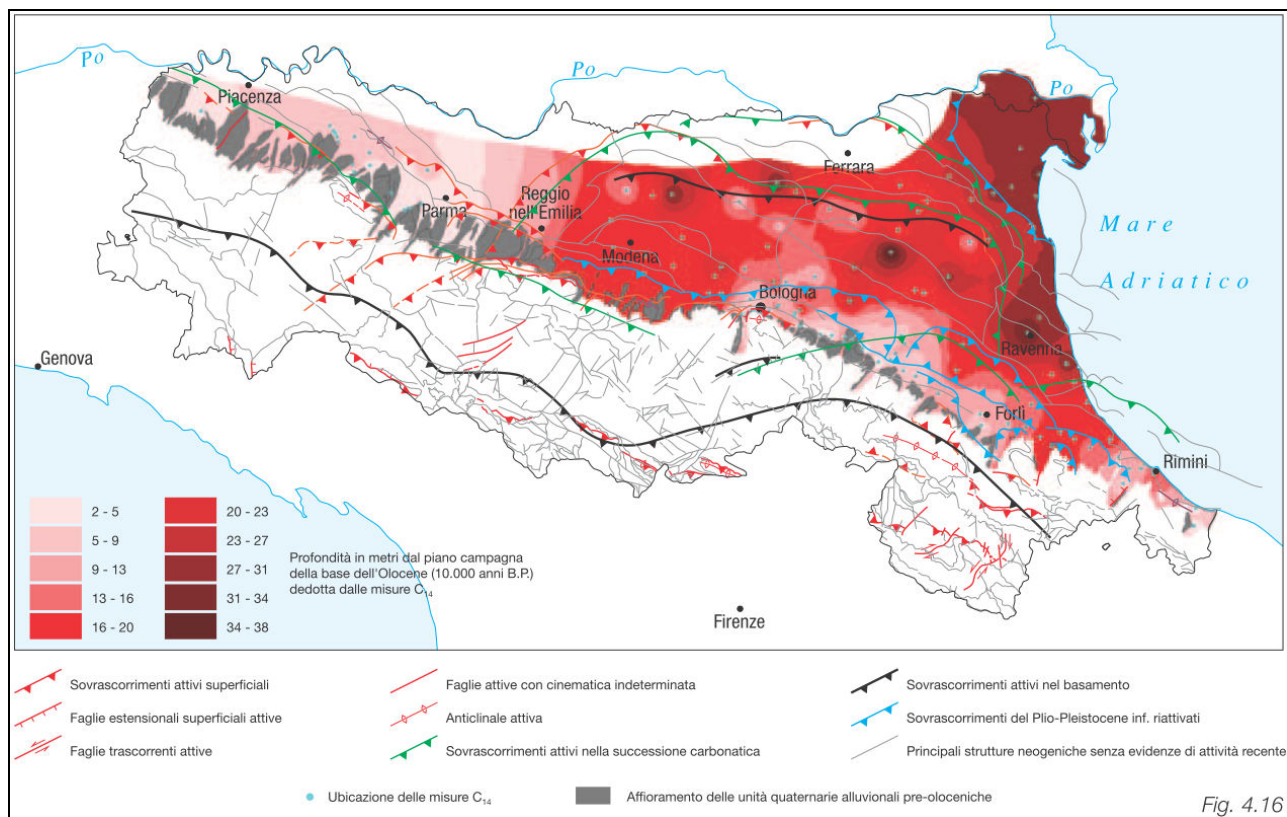


FIGURA 3.2 - Mappa della profondità della base dell'Olocene.

Come si può osservare nel dettaglio della **FIGURA 3.3** la profondità a cui cominciano i sedimenti olocenici (ovvero quelli depositatisi negli ultimi 10.000 anni dal presente), hanno spessore variabile da 31m nella parte più orientale a 16m nella parte più occidentale. La subsidenza, la trasgressione marina flandriana e la successiva fase regressiva, gli apporti alluvionali dei fiumi olocenici legati all'antico corso del fiume Po e dei suoi mutevoli rami di foce, hanno di fatto costruito il territorio del comune di Fiscaglia, condizionando fortemente gli effetti di sito cosismici attesi.

Infatti nella parte più orientale del comune di Fiscaglia, al confine con il comune di Lagosanto, sono presenti sedimenti marino costieri sabbioso-limosi saturi, subaffioranti o ricoperti da una coltre di sedimenti palustri organici, dotati di bassissime coesioni.

Nell'asse congiungente i centri abitati principali sono presenti invece sedimenti sabbioso-limosi depositatisi nei paleoalvei principali. Tali paleo alvei, per le loro caratteristiche litostratigrafiche, sono stati soggetti a minore subsidenza rispetto alle piano alluvionali distali, ed emergono topograficamente sul territorio, ospitando i centri abitati più vecchi, che hanno sempre prediletto le zone alte di pianura, per sfuggire alle frequenti inondazioni che i fiumi hanno procurato a questo territorio, prima dei radicali interventi di messa in sicurezza idraulica che hanno subito nell'ultimo millennio.

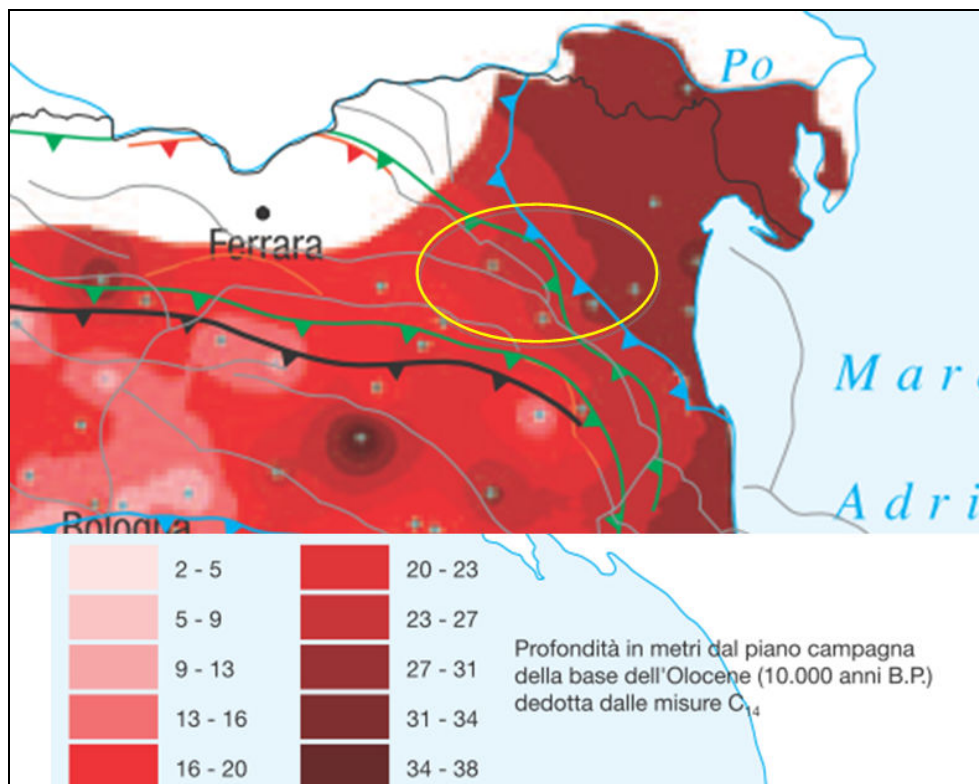


FIGURA 3.3 - particolare della carta degli spessori dell'Olocene. A Fiscaglia essi variano da 31m nella porzione più orientale a circa 16m nella porzione più occidentale.

L'evoluzione ambientale del territorio di Fiscaglia è stata condizionata prevalentemente da processi sedimentari legati ai corsi d'acqua. Essi, infatti, consentono il trasporto di ingenti quantità di sedimenti grossolani e fini, che si accumulano non solo all'interno dell'alveo, ma anche nei territori limitrofi successivamente ad eventi alluvionali. Pertanto, quando si verificano le esondazione fluviali (rotte fluviali), si formano dei depositi a forma di ventaglio per la diminuzione di energia e capacità di trasporto, con la frazione grossolana (sabbie) concentrata all'apice del ventaglio e la frazione più fine (limi ed argille) deposte più lontano. Il territorio in esame è spesso caratterizzato anche da depositi torbosi dovuti alla formazione di ambienti paludosi e di bacini allagati delimitati fisicamente da argini naturali sempre più alti rispetto alle campagne circostanti più depresse. Dunque le strutture geomorfologiche affioranti che caratterizzano il territorio comunale sono costituite da:

- paleoalvei di riempimento attivo;
- paleoalvei di riempimento passivo;
- depositi di rotta e di esondazione fluviale;
- bacini interfluviali distali (piane alluvionali e depositi palustri).

Nel settore più orientale del comune di Fiscaglia (ex comune di Massa Fiscaglia), al di sotto dei depositi palustri, sono rinvenibili a pochi metri di profondità (3-5m) i primi cordoni litoranei sabbiosi ribassati per subsidenza e ricoperti dai successivi sedimenti organici di palude.

In corrispondenza dei centri abitati di Migliarino, Migliaro e Massa Fiscaglia domina la connessione fluviale dell'attuale corso del fiume Po di Volano, ma domina anche, dal punto di vista sedimentologico-stratigrafico, la connessione del paleoalveo fluviale del fiume storico, un tempo ben più importante per dimensione e trasporto solido.

A ridosso del corso del paleoalveo del Po di Volano si sviluppano tutte quelle strutture legate ai fenomeni di esondazione (depositi di rotta fluviale). Le fasce a ridosso del paleoalveo principale contengono anche le principali forme sepolte di paleoalvei minori legati alle divagazioni del fiume a seguito delle rotte. Allontanandosi si entra nelle piane alluvionali distali vere e proprie, che nel caso in esame, consistevano in zone caratterizzate da allagamenti persistenti con la formazione di paludi.

Il margine meridionale del territorio comunale termina sul paleoalveo del Po di Spina, o Padus, o Padoa Eridano, o Padus Vetere (nomi che si sono succeduti in funzione del periodo storico). Questa è la struttura più potente per spessore e dimensioni, poiché in passato costituiva il ramo principale di foce del fiume Po. Esso

passava da Bondeno per Ferrara, Codrea, Ducentola, Voghiera, Runco, Gambulaga, Dogato, Ostellato e San Giovanni di Ostellato fino al mare.

In **FIGURA 3.4** si riporta lo stralcio della carta geomorfologica del comune di Fiscaglia.

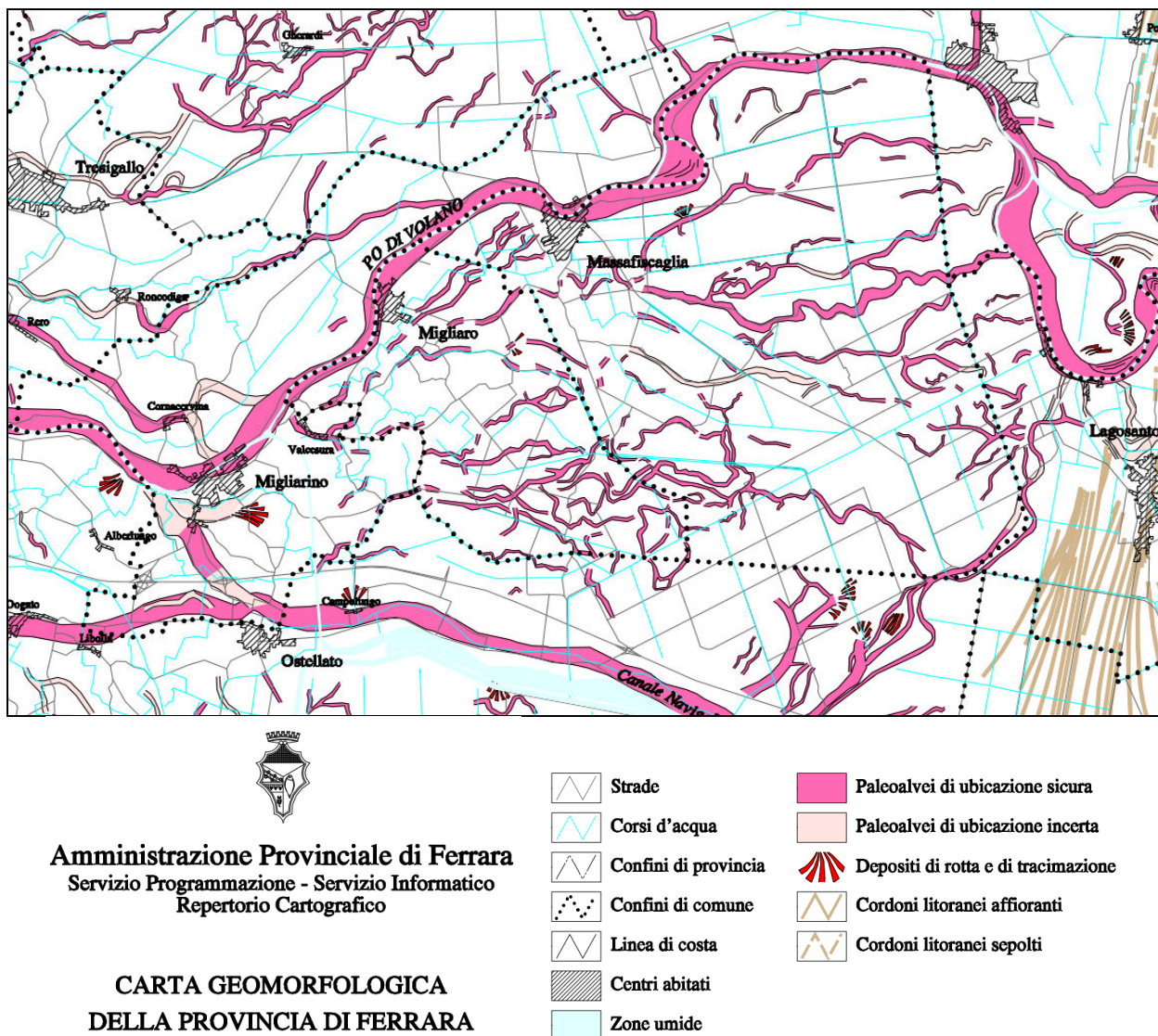


FIGURA 3.4 - Stralcio carta geomorfologica; qui rappresentato ancora con i confini dei tre comuni di Massa Fiscaglia, Migliaro e Migliarino.

Tale carta è stata leggermente modificata dallo scrivente in funzione della fotointerpretazione delle ortofoto di diversi voli messi a disposizione dalle Amministrazioni Comunali, in funzione dei dati stratigrafici a disposizione, in funzione della carta del microrilievo (di cui si scrive più avanti) ed in funzione dei dati a disposizione sulle litologie di superficie.

Le forme geomorfologiche principali rilevate sono:

- Paleovalveo del Padoa-Eridano.
- Paleovalveo del fiume Po di Volano.

- 3 paleovalvei di riempimento attivo (dovuto ad autosedimentazione in alveo, quindi con dominanza di sedimenti granulari sabbiosi e sabbioso-limosi), che si sviluppano 1) da Migliaro fino alla Marchesa, sovrapponendosi per buona parte del suo tracciato sull'argine Zappelli (antica delimitazione tra le aree vallive e le vecchie terre emerse; 2) dal precedente paleovalveo se ne dirama un secondo all'altezza di Case S. Lorenzo, e attraverso Montalbano e Montalbanino arriva fino oltre Corte Caimbanca; 3) da Massa Fiscaglia si sviluppa verso Corazza, Buriaco e Buriachetto, attraversando e caratterizzando con la sua elevazione rispetto le campagne circostanti la bonifica di Valle Volta.

- Numerosi paleovalvei di riempimento passivo (dovuto a sedimentazione di sedimenti alluvionali distali o sedimenti organici di ambiente impaludato, costituiti prevalentemente da sedimenti fini argilloso-limosi e/o organici); talvolta alcuni di questi paleovalvei presentano l'alveo vero e proprio con riempimento passivo e

accennano invece ai due sistemi arginali con riempimento attivo; essendo questi piccoli sistemi arginali naturali di ridotto spessore, si è ritenuto più opportuno inserire questi tracciati fluviali nelle strutture di riempimento passive;

- depositi di rotta presenti a ridosso della strada Provinciale tra Migliarino e Massa Fiscaglia in dx fiume.

Una peculiarità della carta geomorfologica precedentemente descritta è la presenza di tre dossi di particolare interesse geomorfologico e paesaggistico che valorizzano il territorio studiato. Essi sono di nuova individuazione.

I tre paleoalvei di riempimento attivo sono molto evidenti dal punto di vista topografico e quindi paesaggistico, e, a parere dello scrivente si meriterebbero un toponimo. Si coglie l'occasione di questo lavoro per proporre i seguenti toponimi geomorfologica (**FIGURA 3.5**):

- 1) paleoalveo Zappelli;
- 2) paleoalveo Montalbano;
- 3) paleoalveo Corbazza.

Come già accennato in precedenza nella porzione più orientale del comune di Massa Fiscaglia, al di sotto di una coltre di 3-5m di sedimenti torbosi organici di origine palustre, si rilevano le prime sabbie la cui natura deposizionale è da ricondurre alla presenza di sistemi di dune paleocostiere ribassate dalla subsidenza.

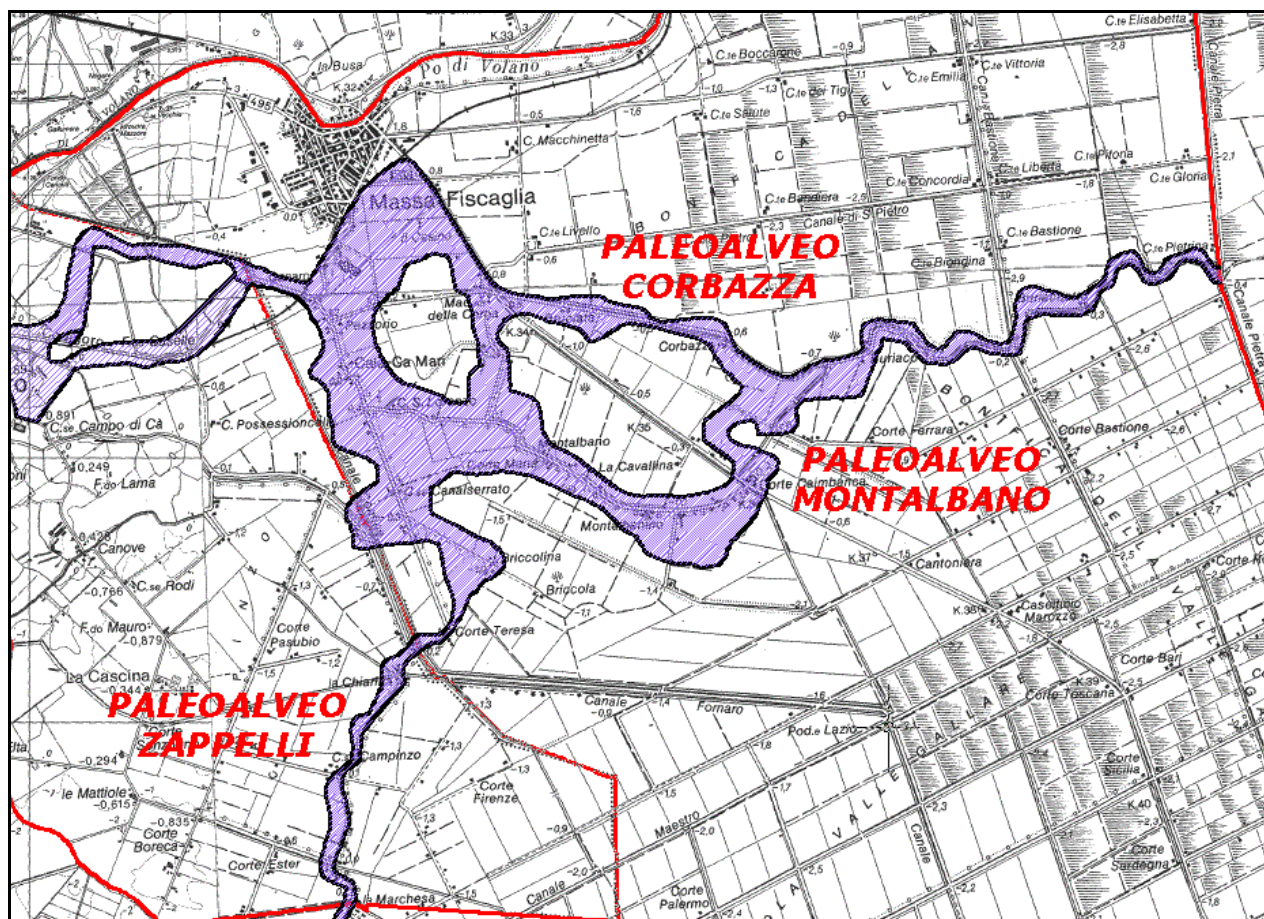


FIGURA 3.5 – Dossi di particolare interesse geomorfologico e paesaggistico Fiscaglia

3.3. CENNI SULLA SUBSIDENZA

La subsidenza tettonica ha sempre avuto i suoi effetti nella regione di studio per la sua relazione con le strutture dell'Appennino, come già visto in precedenza.

Nei tempi geologici e storici questo fattore è stato esaltato dal costipamento naturale di quei sedimenti alluvionali, costituiti da sedimenti fini e soffici e da depositi organici, che si ossidano nel tempo.

Quando prevale però l'azione di deposito dei corsi d'acqua, che hanno tendenza ad esondare frequentemente, la subsidenza naturale può essere compensata. I fiumi che scorrono negli argini naturali, in occasione delle piene, possono scavalcarli e il materiale di esondazione si distribuisce ai lati dell'alveo.

L'accumulo è più intenso e granulometricamente più grossolano ai lati del letto del fiume dove l'energia di trasporto dell'esondazione si dissipa; allontanandosi ed espandendosi le acque trattengono in carico materiale a grana sempre più fine e sempre in minor quantità.

All'esaurirsi della piena, se il fiume non cambia corso, la zona a ridosso dell'argine sarà un pò più alta, mentre nelle zone circostanti il costipamento dei terreni fini produce un abbassamento differenziato; questo non verrà più compensato se il fiume viene poi chiuso in rigidi argini con l'intervento dell'uomo. Per quanto riguarda l'area di studio la "rotta di Ficarolo" ha spostato tanto a nord il corso del fiume che essa non ha più ricevuto gli apporti detritici, cosicchè la subsidenza naturale non è più stata compensata.

Quando il livello del suolo scende sotto il livello della falda freatica si ha la formazione o, se già esistente, l'allargamento degli specchi vallivi.

Un altro meccanismo di formazione di lagune costiere è quello ben noto dell'interclusione di un'area sommersa dal mare per la formazione di un "lido" sabbioso di fronte alla costa; un classico esempio di laguna generatasi con questo meccanismo è la Laguna di Venezia. Una genesi simile è presupposta per la zona di Valle Isola delimitata a sud dalla strada provinciale via del Mare (che corre sui dossi della antica linea di costa del I-II sec. a.C.) e a nord dal cordone di dune della successiva linea di costa del I-II sec. d.C., al quale verrebbe imputata la responsabilità dell'isolamento della porzione di mare a formare una laguna; i ritrovamenti di fauna fossile nei campioni prelevati dai sondaggi depongono in questo senso: *Cerastoderma glaucum* (il *Cardium edule*), la *Cyclope neritea*, *Rissoa sp.*, *Abra sp.*, *Bittium sp.* e il *Cerithium Adanson* compaiono nei primi metri di terreno a testimoniare nell'Olocene un ambiente marino, deltizio salmastro, e di laguna o di laguna aperta con forti apporti di acqua dolce (sono tutti a guscio forte e resistente di ambiente di una certa energia, nei livelli più superficiali invece si sono trovati anche fossili più sottili, fragili, di ambienti di bassa energia, come potrebbe essere una laguna chiusa).

Specchi di acqua salmastra si formano nelle zone interdunali per via di mareggiate. Nella piana retrostante è la naturale divagazione e le rotte dei corsi d'acqua non arginati che danno origine ad allagamenti persistenti di acque dolci. La bassa pianura padana ha raccolto queste acque dall'apparato deltizio del paleo Po e dai suoi affluenti appenninici.

Già dal VI secolo d.C., quando i processi deposizionali non hanno più compensato i fenomeni di subsidenza, si verifica una progressiva ingressione di acqua marina a miselarsi e poi a sostituirsi con le acque dolci. Più prosegue la subsidenza e più si espandono gli specchi vallivi che nel XVI secolo raggiungono la loro massima estensione.

A tale espansione fa riscontro nello stesso secolo l'inizio delle opere di bonifica da parte degli Estensi, poi del Papato (XVII secolo), ma sono opere di scarsa efficacia e di limitata durata a causa dei fenomeni di subsidenza.

E' solo con l'introduzione in Italia dell'idrovora meccanica (XIX sec.) che vengono realizzate opere di bonifica definitive, le acque sollevate meccanicamente vengono convogliate in mare assicurando sistematicamente l'emersione delle terre.

Si riporta in **FIGURA 3.6** lo stralcio della carta altimetrica della provincia di Ferrara, in cui sono evidenziate in tonalità azzurra le aree sotto il livello del mare. Poi si riporta in **FIGURA 3.7** ed in **FIGURA 3.8** una paio di carte storiche, una del 1853 ed una del 1898 in cui sono visibili gli estesi bacini vallivi di tutto il basso ferrarese, in particolare quelli del comune di Fiscaglia. Nella successiva **FIGURA 3.9** si riporta una carta dei bacini di bonifica con il periodo dell'avvenuto prosciugamento, partendo dalla situazione riferita alla seconda metà del XIX sec.

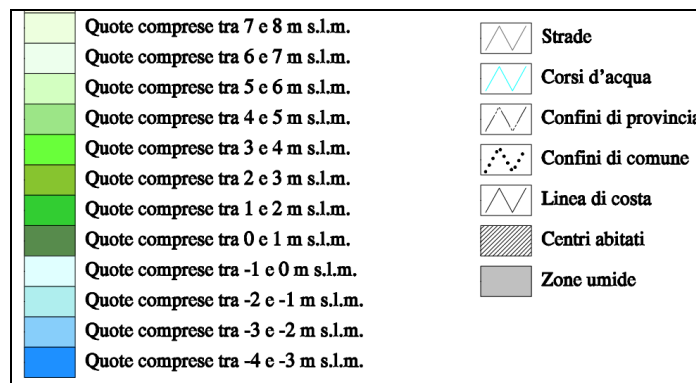
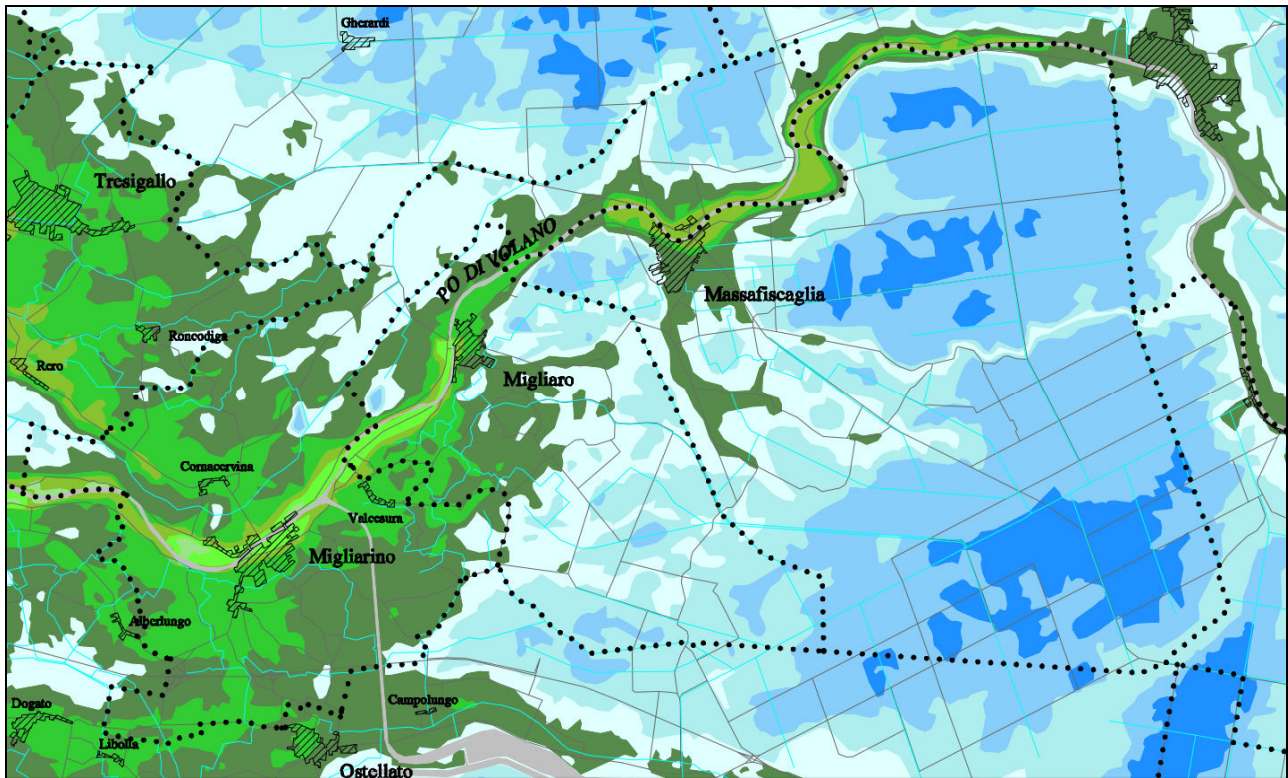


FIGURA 3.6 - stralcio della carta altimetrica della provincia di Ferrara

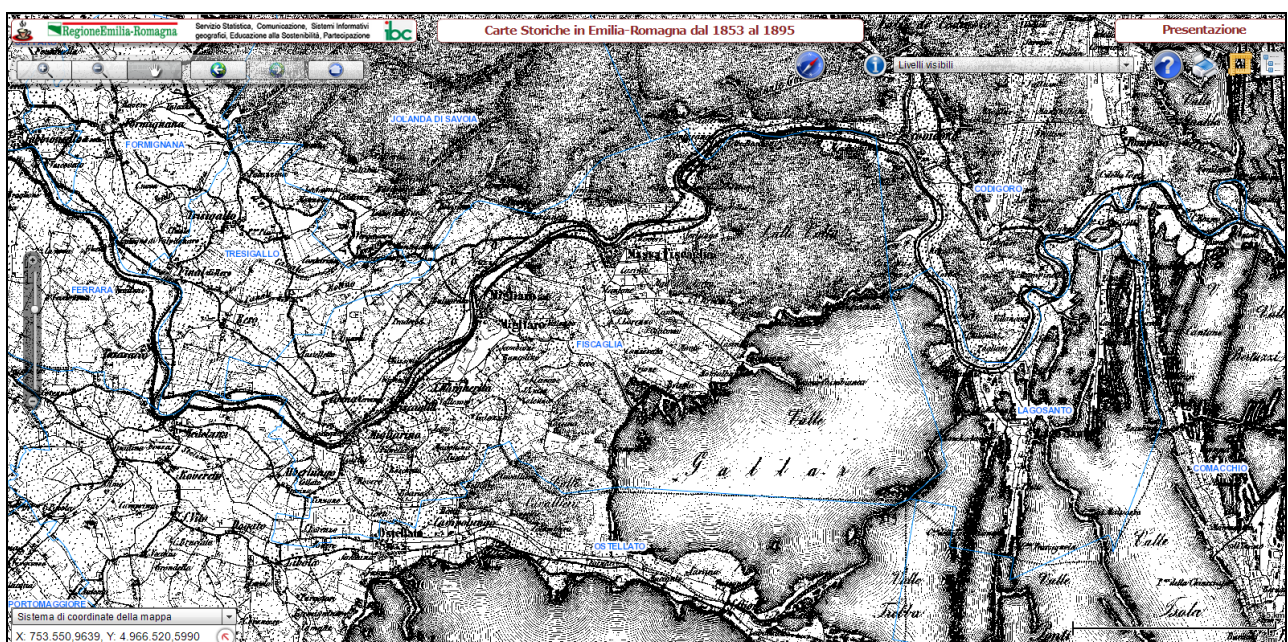


FIGURA 3.7 - carta storica del 1853. (http://www.mokagis.it/html/applicazioni_mappe.asp)



FIGURA 3.8 – Carta storica del 1898 (reperita su sito <http://lazarus.elte.hu/hun/digkonyv/topo/3felmeres.htm>)

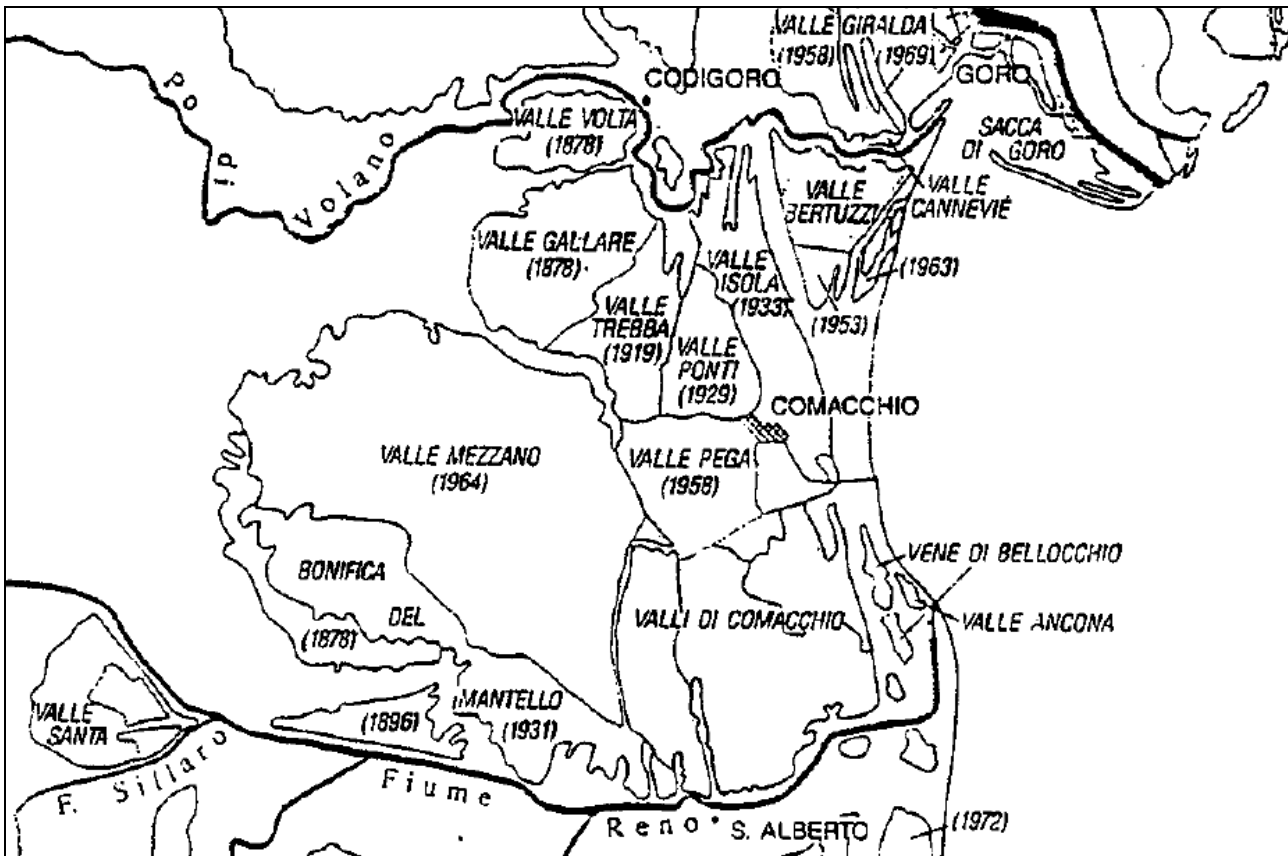


FIGURA 3.9 - Carta dei bacini di bonifica con evidenziate le date dell'avvenuto prosciugamento (M. Bondesan, 1994)

In **FIGURA 3.10** si riporta l'ultima carta della velocità di abbassamento dei suoli pubblicata da ARPA nel 2012, inerente il monitoraggio nel periodo 2006-2011. Da questo studio emerge generalmente una riduzione generalizzata della velocità di abbassamento rispetto ai periodi monitorati precedentemente.

RILIEVO DELLA SUBSIDENZA NELLA PIANURA EMILIANO-ROMAGNOLA

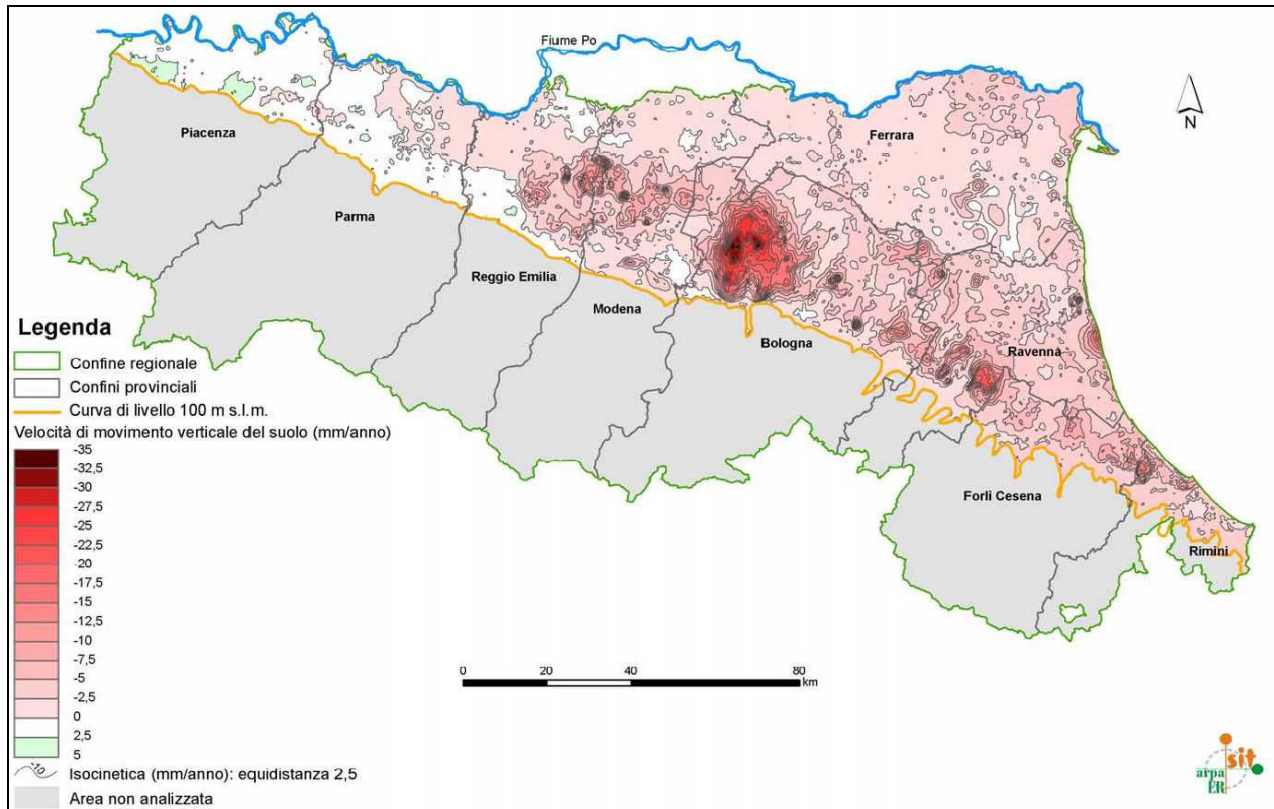


FIGURA 3.10 - Carta della velocità di abbassamento dei suoli nel periodo 2006-2011.

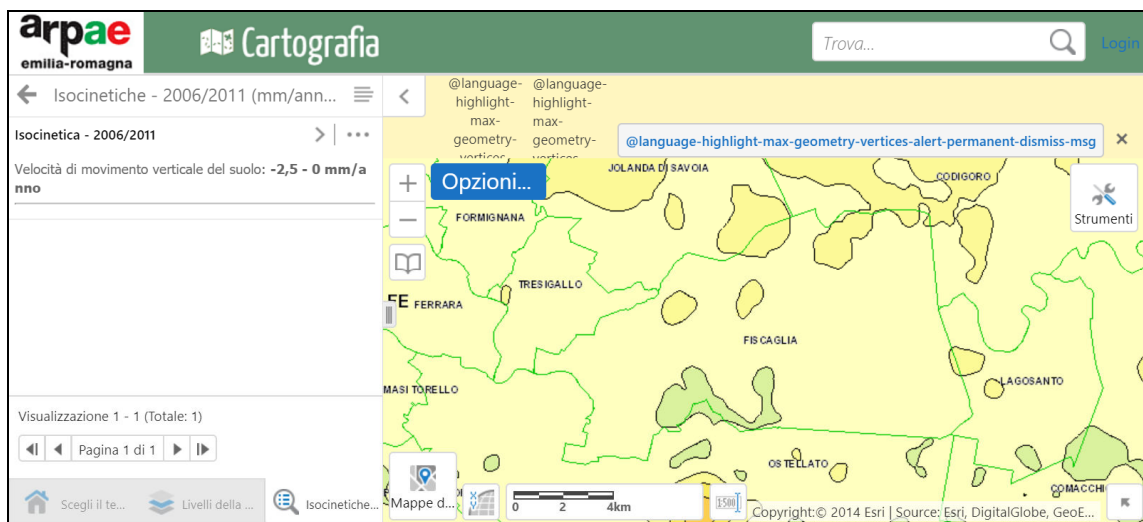


FIGURA 3.11 - Carta della velocità di abbassamento dei suoli nel periodo 2006-2011. (<https://www.arpae.it/cartografia/>)

Nel dettaglio si può apprezzare come le velocità di movimento verticale del terreno nel periodo 2006-2011 siano comprese tra 0 e -2,5mm/anno praticamente in tutto il territorio comunale di Fiscaglia.

4. DATI GEOTECNICI E GEOFISICI

In questo capitolo sono descritte le diverse tipologie di indagini geognostiche effettuate sul territorio comunale di Fiscaglia che sono state prese in considerazione per le finalità del presente lavoro di microzonazione sismica. Si tratta in particolare di diversi tipi di indagini, sia dirette come sondaggi e pozzi, sia indirette come penetrometrie e prospezioni geofisiche da superficie.

Sono stati complessivamente analizzati i risultati di 427 indagini geognostiche. Di queste, 23 sono state appositamente realizzate per lo studio di microzonazione sismica di secondo livello, mentre le restanti 404 provengono dalla banca dati dello scrivente e della Regione Emilia-Romagna.

Le diverse indagini presenti sul territorio comunale sono caratterizzate da sondaggi a carotaggio continuo e a distruzione di nucleo, per l'eventuale perforazione di pozzi sia per acqua che per idrocarburi, da penetrometrie statiche sia a punta meccanica (CPT) sia elettrica con piezocono ed eventualmente con sismocono (CPTU e SCPTU) e da prove geofisiche da superficie con stendimenti sismici (MASW, Re.Mi., ESAC) e prove a stazione singola (HVSr).

Tutte le indagini reperite nel territorio comunale di Fiscaglia sono riportate nella Carta delle indagini che viene riprodotta in scala 1:10.000 ed è focalizzata sui soli centri abitati del comune.

4.1. INDAGINI PREGRESSE

In prima battuta sono state prese in considerazione ed analizzate tutte le indagini geognostiche presenti all'interno del territorio comunale di Fiscaglia presenti nella banca dati dello scrivente.

Le numerose prove di repertorio della banca dati dello scrivente risultano essere 225 così suddivise:

Tipo di indagine	Numero di indagini
CPT	185
CPTU	20
SCPTU	7
MASW	1
ESAC	2
Re.Mi.	8
HVSr	2
TOT.	225

Indagini di repertorio della banca dati dello scrivente

Successivamente sono state reperite tutte le indagini presenti nel territorio comunale di Fiscaglia della banca dati della Regione Emilia Romagna attraverso il portale cartografico del servizio Ambiente –Geologia, sismica e suoli.

L'approfondito lavoro di ricerca dalla banca dati della regione ha consentito di aggiungere alle prove dello scrivente altre 179 indagini geognostiche così suddivise:

Tipo di indagine	Numero di indagini
CPT	70
CPTU	49
Sondaggio a carotaggio continuo	17
Sondaggio a distruzione	12
Pozzi per acqua	27
Pozzi per idrocarburi	4
TOT.	179

Indagini di repertorio della banca dati della Regione Emilia Romagna

Le 404 indagini pregresse presenti nel territorio comunale sono state analizzate ed archiviate in una banca dati informatizzata e georeferenziata con sistema WGS84 fuso 33N (come prescritto negli standard di rappresentazione e archiviazione informatica del Dipartimento nazionale della Protezione Civile) in ambiente GIS ESRI, la cui struttura risponde alle specifiche per gli studi di microzonazione sismica.

Questo consente l'elaborazione degli studi di microzonazione sismica del comune, finalizzata ad una semplificazione e ad una sintesi dei contenuti principali delle caratteristiche geologiche, morfologiche, lito-

stratigrafiche, sismiche e geotecniche e nel contempo ottenere una omogenea rappresentazione dei tematismi da parte dei soggetti realizzatori, facilitandone la lettura ed il confronto dei risultati degli studi di contesti territoriali differenti.

Per l'archiviazione dei dati si è fatto ricorso al software SoftMS versione 4.0.1, messo a disposizione dal Dipartimento nazionale della Protezione Civile (D.P.C.), attraverso il quale è possibile inserire i dati di tutte le indagini presenti nel territorio ed archiviarle in tabelle costituite da un insieme di record, gerarchicamente organizzate in modo da memorizzare in maniera indipendente le informazioni legate al sito di indagine, alle prove in esso realizzate ed ai parametri tecnici di ognuna di queste.

Tutte le indagini reperite e successivamente analizzate ed archiviate presentano una buona affidabilità e sono ubicate in modo abbastanza uniforme all'interno del comune di Fiscaglia offrendo dunque una buona copertura areale del territorio. Per la maggior parte delle indagini, la loro ubicazione è concentrata in modo particolare nei centri abitati con una buona densità di indagini profonde a 30m da p.c. per la caratterizzazione sismica del territorio e la determinazione del valore di V_{S30} .

4.2. INDAGINI DI NUOVA ESECUZIONE PER GLI STUDI DI MICROZONAZIONE SISMICA

Per caratterizzare dal punto di vista geologico, geotecnico e sismico tutte le aree e gli edifici strategici in ambito di protezione civile e per gli ambiti di espansione proposti nel piano strutturale comunale di Fiscaglia sono state eseguite nuove indagini specifiche per ogni sito ritenuto strategico.

Nello specifico si sono eseguite n.7 prove penetrometriche statiche a punta elettrica e piezocono CPTU spinte tutte fino alla profondità di -20,0 m da p.c., n.4 prove penetrometriche statiche a punta elettrica e piezocono sismico SCPTU spinte tutte fino alla profondità di -30,0 m da p.c., una prova geofisica di Array sismico ESAC e n.11 misure di microtremore a stazione singola HVSr.

N° indagine	Riferimento	Data	Lat.	Long.	Località
SCPTU MZ1	038027P361	03/07/2017	4959576	257423	Migliarino, via Lidi Ferraresi
CPTU MZ2	038027P362	05/07/2017	4960617	255972	Migliarino, via S. Lorenzo
SCPTU MZ3	038027P363	05/07/2017	4961959	257149	Migliarino, via Robustini
CPTU MZ4	038027P364	05/07/2017	4962094	257757	Migliarino, viale Matteotti
SCPTU MZ5	038027P365	18/07/2017	4961980	257727	Migliarino, viale Matteotti
CPTU MZ6	038027P366	18/07/2017	4962170	262180	Migliaro, Borgo Cascina
CPTU MZ7	038027P367	18/07/2017	4965682	260705	Migliaro, via G. Matteotti
CPTU MZ8	038027P368	20/07/2017	4966029	263849	Massa Fiscaglia, via Gramsci
CPTU MZ9	038027P369	20/07/2017	4965761	263922	Massa Fiscaglia, via Fossa Circondaria
CPTU MZ10	038027P370	21/07/2017	4965547	263651	Massa Fiscaglia, via della Pace
CPTU MZ11	038027P371	25/07/2017	4965030	260602	Migliaro, Piazza XXV Aprile
ESAC01	038027P376	22/07/2017	4965585	263492	Massa Fiscaglia, via della Pace
HV01	038027P377	22/07/2017	4959542	257420	Migliarino, via Lidi Ferraresi
HV02	038027P378	23/07/2017	4960682	256058	Migliarino, via San Lorenzo
HV03	038027P379	23/07/2017	4962093	257785	Migliarino, viale Matteotti
HV04	038027P380	24/07/2017	4962108	262129	Migliaro, Borgo Cascine
HV05	038027P381	28/07/2017	4965678	260712	Migliaro, via G. Matteotti
HV06	038027P382	25/07/2017	4965014	260581	Migliaro, P.zza XXV Aprile
HV07	038027P383	22/07/2017	4965483	263669	Massa Fiscaglia, via della Pace
HV08	038027P384	29/07/2017	4965973	263731	Massa Fiscaglia, via P. Tasso
HV09	038027P385	29/08/2017	4967314	265716	Migliarino, SP 68
HV10	038027P386	29/08/2017	4662281	268522	Massa Fiscaglia, via del Mare
HV11	038027P387	29/08/2017	4967547	270392	Massa Fiscaglia, via dei Tigli

WGS84 fuso 33N

5. MODELLO DEL SOTTOSUOLO

Poiché le prime centinaia di metri di sottosuolo dell'area indagata sono interamente formate da sedimenti di pianura alluvionale e deltizia, non litificati, non è presente un contatto netto fra unità rocciose rigide e depositi sciolti di copertura che normalmente permette di definire il concetto di substrato rigido (bedrock) in aree collinari e montuose. Le unità di sottosuolo sono caratterizzate da un aumento della rigidità graduale, ma non spazialmente uniforme, dato che superfici di non deposizione e discordanza stratigrafica possono corrispondere a bruschi aumenti di questo parametro meccanico. Tali superfici corrispondono spesso ai limiti disconformi fra Sintemi e Subsintemi e frequentemente a riflettori sismici e passaggi fra unità sismo-stratigrafiche. La buona correlazione tra i dati geologici e geofisici raccolti per il presente studio ha permesso di identificare alcune di queste superfici ed in particolare di individuare il passaggio tra i depositi del Quaternario Continentale (Qc) e quelli del Quaternario Marino (Qm) come superficie al di sotto della quale può essere definita la presenza del substrato sismico (seismic bedrock). Sulla base di inversioni congiunte tra dati stratigrafici e geofisici, per il cui dettaglio si rimanda al paragrafo 6.1, si è infatti potuto determinare che, nelle zone di alto strutturale, i depositi del Qm, presenti a profondità di almeno 250 metri, sono caratterizzati da una velocità di almeno 650 m/s, che si può supporre anche più elevata in zone di sinclinale. Sono quindi di seguito descritte in dettaglio le unità stratigrafiche che costituiscono i terreni di copertura e del sottostante substrato sismico (figura 5-1), sulla base di quanto indicato nelle note illustrative della cartografia ufficiale CARG della Regione Emilia-Romagna (ISPRA & RER, 2009).

In base alle proprietà elasto-meccaniche e alla posizione stratigrafica, le successioni inquadrare nel Supersintema Emiliano-Romagnolo (cfr. Foglio 203 “Poggio Renatico”, 204 “Portomaggiore”, 205 “Comacchio”), sono state qui attribuite ai “terreni di copertura”.

PRINCIPALI UNITÀ STRATIGRAFICHE							ETA (milioni di anni)	SCALA CRONOSTRATIGRAFICA (milioni di anni)								
AFFIORANTI				SEPOLTE												
QUATERNARIO CONTINENTALE ⑥	TERRE ROSSE, DILUVIUM, ALLUVIUM, TERRAZZI E ALLUVIONI ①	FORMAZIONE FLUVIO - LACUSTRE ②	FORMAZIONE DI OLMATELLO ③	UNITÀ DI VILLA DEL BOSCO ④	UNITÀ DI CA' DI SOLA ⑤	SINTEMA EMILIANO-ROMAGNOLO SUPERIORE ⑦	UNITÀ DI BORGO PANIGALE ⑧	ORIZZONTE DI FOSSOLO ⑧	⑨	~0.12	PLEISTOCENE SUPERIORE - OLOCENE 0.125					
	DILUVIUM p.p. ①											~0.35-0.45	PLEISTOCENE MEDIO			
QUATERNARIO MARINO ⑩	MILAZZIANO ① SABBIE di CASTELVETRO p.p. ⑤ SABBIE GIALLE di IMOLA p.p. ⑥	FORMAZIONE FLUVIO - LACUSTRE ②	SUBSISTEMA QUATERNARIO MARINO 3" ⑦	SUBSISTEMA QUATERNARIO MARINO 3' ⑦	SINTEMA ⑦ QUATERNARIO MARINO 2 ⑦	SINTEMA ⑦ QUATERNARIO MARINO 1 ⑦	UNITÀ ALLUVIONALE INFERIORE ⑧	ORIZZONTE DI FOSSOLO ⑧	⑨	~0.65						
	MILAZZIANO e CALABRIANO p.p.① SABBIE di CASTELVETRO p.p. ⑤ SABBIE GIALLE di IMOLA p.p. ⑥															
	CALABRIANO p.p. ① SABBIE di MONTERICCO ⑥ FORMAZIONE di TERRA del SOLE p.p. ⑥															
	CALABRIANO p.p. ① FORMAZIONE di CASTELL'ARQUATO p.p.①															
P ₂ ⑩	FORMAZIONE di CASTELL'ARQUATO p.p.①		SUPERSISTEMA DEL PLIOCENE MEDIO-SUPERIORE				PLIOCENE MEDIO SUPERIORE ⑨			~2.2	PLIOCENE MEDIO - SUPERIORE					
										~3.3-3.6	PLIOCENE INFERIORE MIOCENE					

Riferimenti Bibliografici

- ⑩ Ricci Lucchi et Al. (1982) ③ Vai (1984) - Marabini et Al. (1987) ⑥ Nuova Carta Geologica d'Italia 1:50.000
F. 218 (2002) - F. 254 (2001)
- ① Carta Geologica d'Italia 1:100.000 ④ Farabegoli (1985) ⑦ Di Dio et Al. (1997 a/b)
- ② Cremaschi (1982) ⑤ Gasperi et Al. (1987) ⑧ Amorosi & Farina (1995)
- ⑨ AGIP S.p.A. (1982)

Figura 5-1 - Schema geologico-stratigrafico regionale dei depositi quaternari di sottosuolo tratto da Riserve Idriche Sotterranee della Regione Emilia-Romagna (RER-ENI/AGIP, 1998) e recentemente rivisto ed aggiornato nella stesura delle Note Illustrative del Foglio 199 "Parma Sud". Le linee marroni indicano le discontinuità principali, mentre le blu quelle minori. Le aree tratteggiate indicano aree lacuna stratigrafica. Note Illustrative della Carta Geologica d'Italia - 1:50.000. Foglio 202 "San Giovanni in Persiceto".

Nella carta tettonica dell'Emilia Romagna, revisionata nel 2016, si è deciso di rappresentare la base di AES (già nella precedente edizione) e AES6 perché testimoniano le più recenti profonde modificazioni della distribuzione dei sistemi deposizionali, riconducibili all'evoluzione del bacino di sedimentazione a seguito di movimenti tettonici a scala regionale e ai cicli regressivo-trasgressivi di natura climatico-eustatica (glaciazioni). In **FIGURA 5.2** si riporta lo schema stratigrafico con evidenziate le Unconformities di riferimento.

Le *unconformities* rappresentate nella nuova Carta Sismotettonica

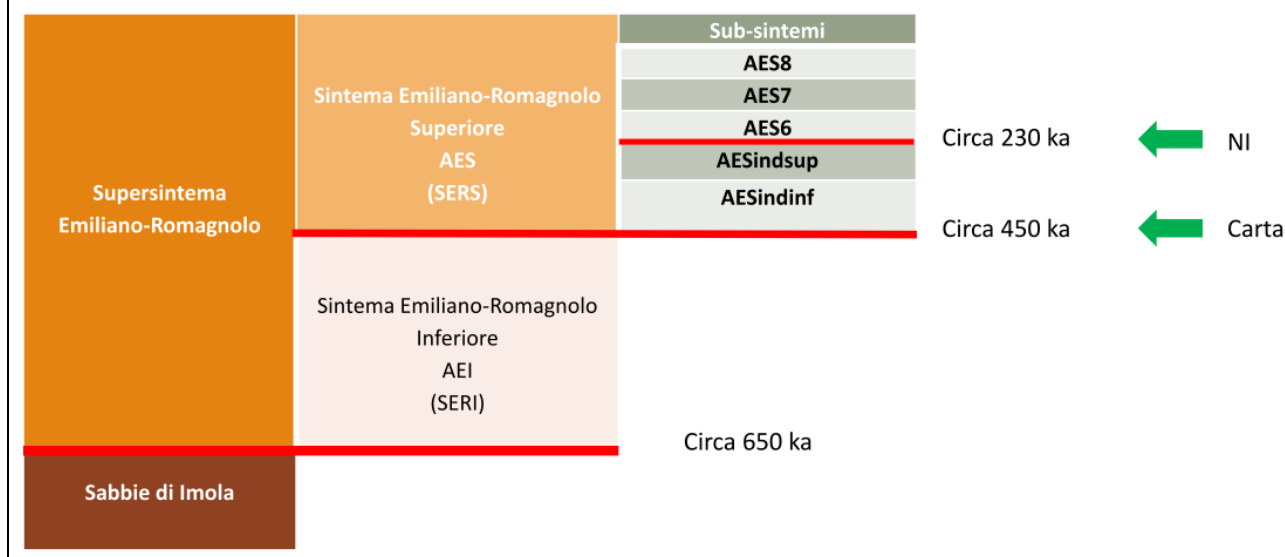


FIGURA 5.2 - schema deposizionale dell'area allo studio.

In **FIGURA 5.3** e **FIGURA 5.4** sono riportate le mappe con la profondità della base dell'AES e dell'AES6.

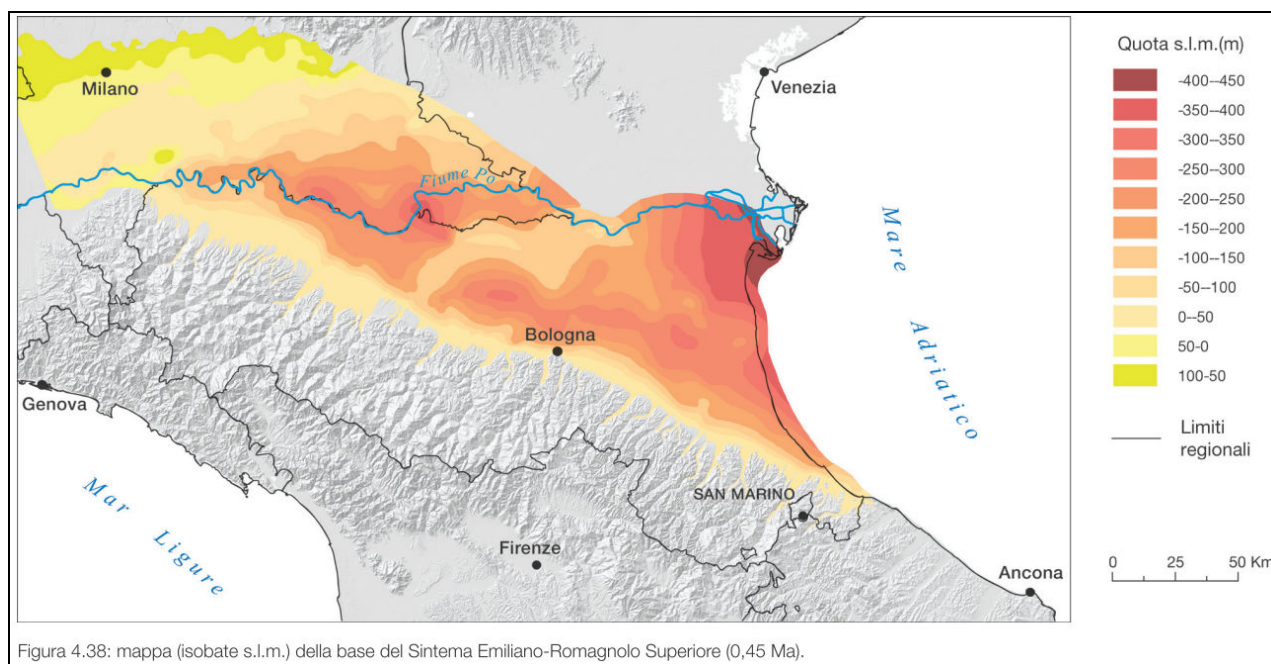


Figura 4.38: mappa (isobate s.l.m.) della base del Sistema Emiliano-Romagnolo Superiore (0,45 Ma).

FIGURA 5.3 - profondità della base del Sistema Emiliano-Romagnolo Superiore AES.

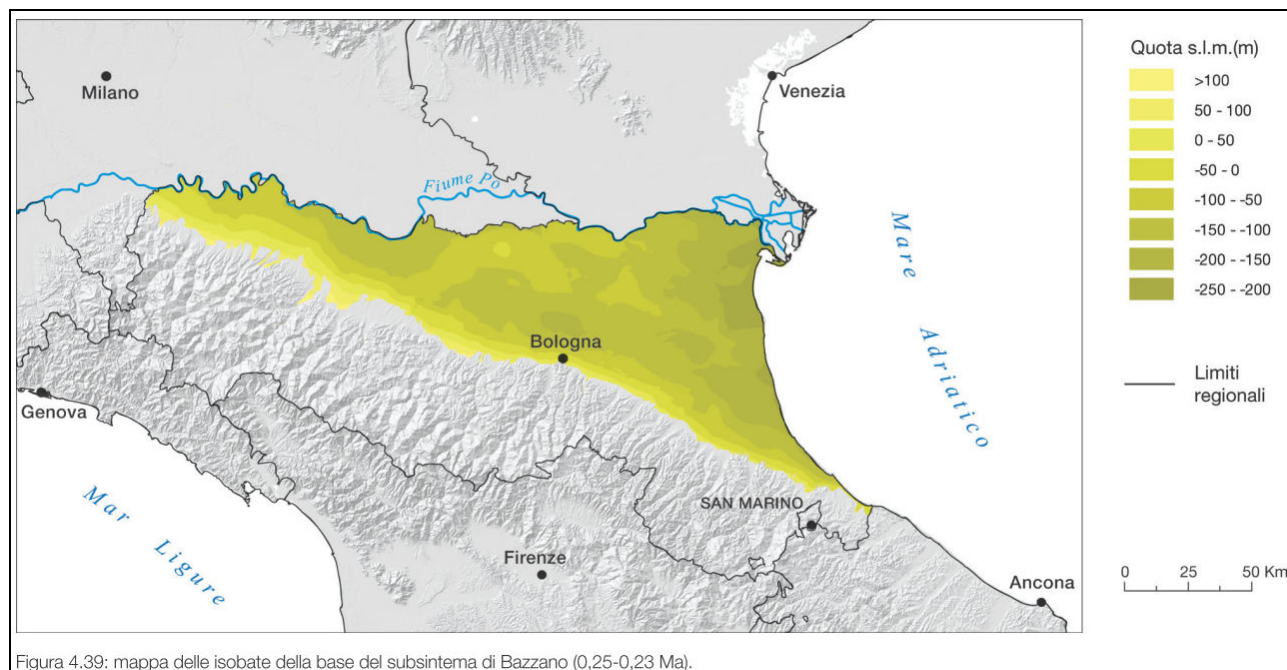


FIGURA 5.4 - profondità della base del subsistema di Bazzano AES6.

Nel sito del servizio geologico e simico della regione Emilia Romagna è stata reperita la sezione stratigrafica Sez.093 più prossima al territorio comunale di Fiscaglia, realizzata con i dati acquisiti per il progetto CARG. In essa (**FIGURA 5.5**) è stata evidenziata la suddivisione nei Subsistemi principali e le loro età.

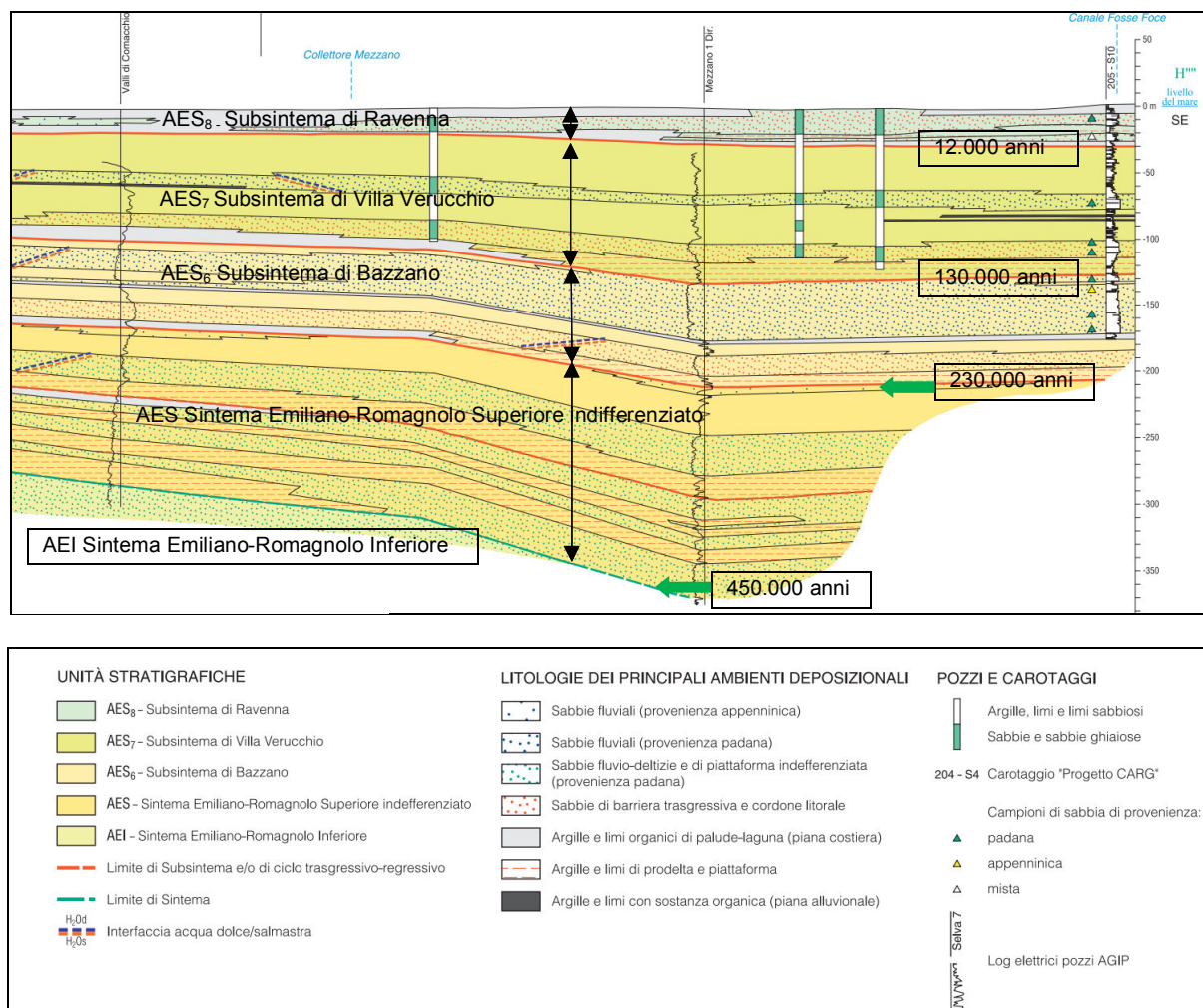


FIGURA 5.5 - Suddivisione nei subsistemi principali fino a circa 350m di profondità.

http://mappegis.regione.emilia-romagna.it/gstatico/documenti/sezioni_pianura/sez093.pdf

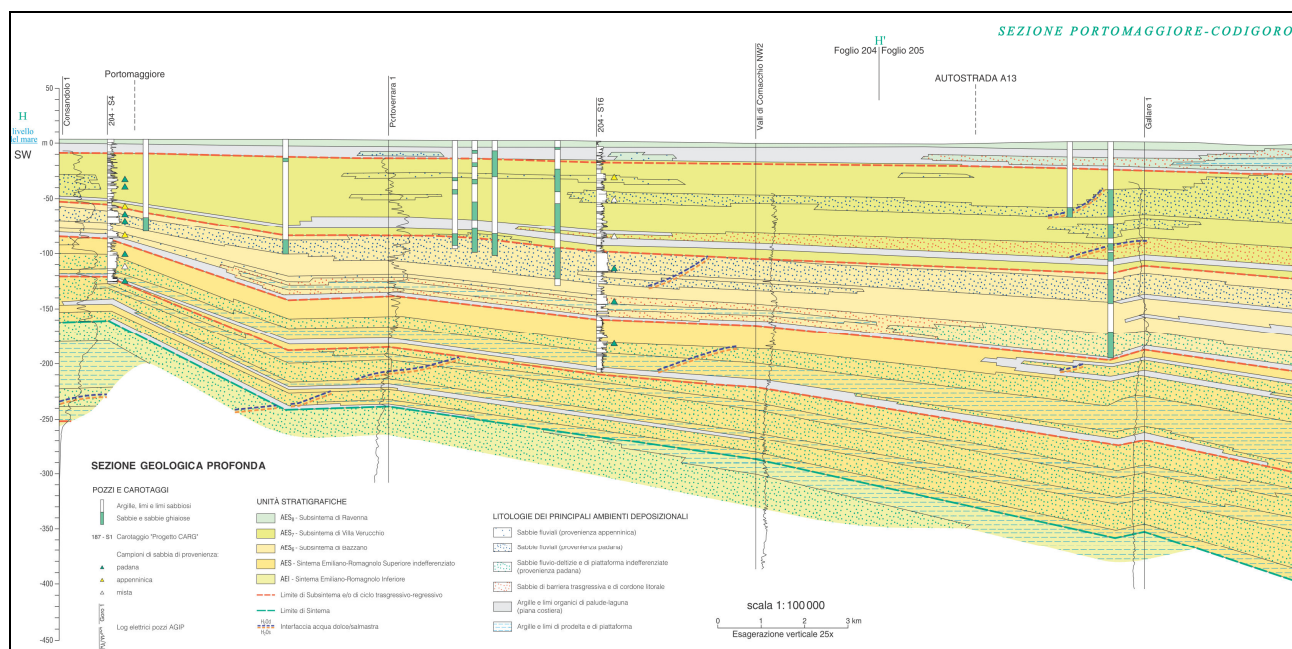
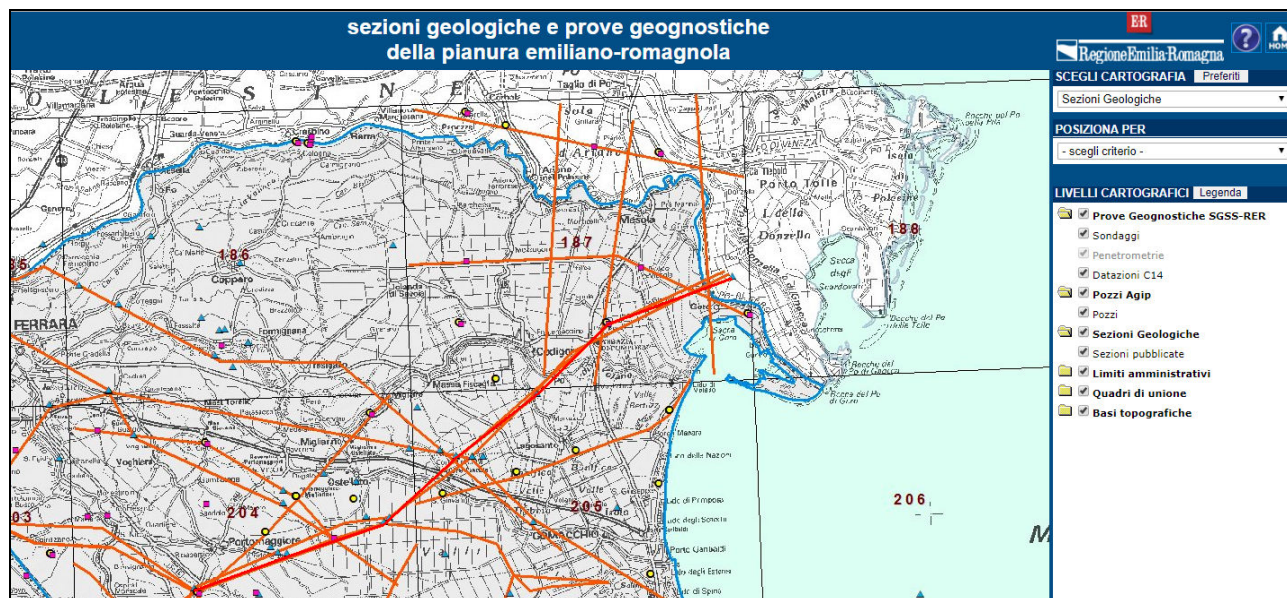


FIGURA 5.6 – Sezione n.69

5.1. SUPERSINTEMA EMILIANO-ROMAGNOLO

L'organizzazione stratigrafica di questi depositi registra il progressivo riempimento sedimentario di questa porzione del bacino d'avanzfossa Padano in concomitanza con il sollevamento del margine appenninico ed il conseguente avanzamento verso NE dei sistemi deposizionali appenninici. Il Supersintema Emiliano-Romagnolo comprende l'insieme dei depositi quaternari di origine

continentale affioranti in corrispondenza del margine appenninico padano (ciclo Qc di Ricci Lucchi et al., 1982) ed i sedimenti ad essi correlati nel sottosuolo della pianura emiliano-romagnola. Questi ultimi, nel settore orientale, includono depositi alluvionali che passano verso est a depositi deltizi e marini, organizzati in cicli deposizionali di vario ordine gerarchico. Il limite inferiore del Supersintema Emiliano-Romagnolo affiora esclusivamente a ridosso del margine appenninico e nei settori intravallivi dove è fortemente discordante sui depositi marini di età variabile tra il Miocene e il Pleistocene medio. Verso NE, la superficie di discordanza diviene sepolta e passa ad una superficie di continuità stratigrafica e/o paraconcordanza, ad eccezione delle zone di anticlinale delle pieghe ferraresi dove la discordanza è netta. Il limite superiore coincide con la superficie topografica. L'età dell'unità è compresa tra Pleistocene medio - Attuale (Regione Emilia-Romagna & ENI-AGIP, 1998). Il Supersintema Emiliano-Romagnolo è suddiviso in due Sintemi distinti: quello Emiliano-Romagnolo Inferiore (AEI) e quello Emiliano-Romagnolo Superiore (AES) riconosciuti e tracciati anche nelle porzioni di

sottosuolo della pianura emiliano-romagnola (Amorosi & Farina, 1995; Regione Emilia-Romagna & ENI-AGIP, 1998). Le analisi petrografiche e composizionali eseguite in vari Fogli della Carta Geologica d'Italia (v. ad esempio Fogli 202, 203, 204) hanno permesso di individuare l'area di provenienza delle unità sabbiose. I corpi sabbiosi tabulari continui (decine di chilometri) con tendenza a chiudersi verso il margine appenninico, spessore pluridecimetrico e granulometria medio-grossolana, registrano una provenienza alpina e di Po. I corpi sabbiosi più discontinui e sottili, di granulometria più fine, con geometrie più variabili e tendenza a saldarsi verso il margine appenninico con i corpi ghiaiosi di conoide, mostrano una chiara provenienza appenninica. Nelle sezioni geologiche profonde della cartografia ufficiale CARG della Regione Emilia-Romagna il Supersistema mostra la progradazione delle facies deposizionali alluvionali da SO verso NE ed il conseguente arretramento di quelle deltizie e marine. Due fasi principali di avanzamento delle facies deposizionali sono attribuite rispettivamente ai due Sistemi AEI e AES. Nell'area di studio il Sistema Emiliano-Romagnolo Inferiore (AEI) è dominato dalle facies marine, mentre quello superiore (AES) da facies continentali e deltizie, inizialmente formate esclusivamente da sedimenti di provenienza padana, e successivamente anche da sedimenti a provenienza appenninica, particolarmente sviluppati nella parte meridionale.

5.2. SISTEMA EMILIANO-ROMAGNOLO INFERIORE (AEI)

Il Sistema Emiliano-Romagnolo Inferiore (AEI) costituisce la parte più antica del Supersistema Emiliano-Romagnolo riconosciuto nel sottosuolo dell'area di studio sulla base di sondaggi profondi, di profili sismici ENI-AGIP e delle geometrie delle unità stratigrafiche ricostruite attraverso le sezioni geologiche. Il limite inferiore coincide con quello del Supersistema Emiliano-Romagnolo. Al suo interno l'unità è costituita da alternanze cicliche di prevalenti depositi di fanghi marini, argille e limi, e depositi grossolani sabbiosi organizzati spesso in sequenze di tipo coarsening-upward, di circa 30-40 metri di spessore, costituite da facies deltizie e di piattaforma del sistema padano. Lo spessore dell'unità varia arealmente a causa della subsidenza fortemente differenziale. La profondità del tetto del Sistema Emiliano-Romagnolo Inferiore è, nell'area allo studio (comune di Fiscaglia) oltre i 300m dal p.c.

Sulla base della posizione stratigrafica, l'unità è attribuita al Pleistocene Medio, cioè l'intervallo temporale compreso tra 650.000 e 350.000 anni (Regione Emilia-Romagna RER & ENI-AGIP, 1998).

5.3. SISTEMA EMILIANO-ROMAGNOLO SUPERIORE (AES)

Il Sistema Emiliano-Romagnolo Superiore (AES) costituisce la porzione superiore del Supersistema Emiliano-Romagnolo.

L'organizzazione dei suoi corpi sedimentari è interpretata nelle sezioni geologiche profonde (v. Allegato 1). In affioramento AES è costituito da depositi di piana deltizia ed alluvionale. Nel sottosuolo è, invece, formato da un'alternanza di depositi di ambiente deltizio, marino e continentale. Il limite inferiore del Sistema affiora solamente nelle aree più prossime al margine appenninico, ove è assai marcato e localmente può corrispondere alla base del Supersistema. In tal caso la sua base corrisponde ad una discordanza erosiva ed angolare che taglia depositi marini mio-pleistocenici. Nel sottosuolo di vasti settori di alta pianura, il limite inferiore è marcato dalla sovrapposizione di corpi ghiaiosi di conoide alluvionale su una discordanza erosiva, incisa in depositi fluviodeltizi di AEI. Procedendo verso NE, in porzioni più distali della pianura, il limite risulta meno marcato e paraconcordanza. Nel sottosuolo del territorio dell'Unione, il limite fra i due Sistemi corrisponde alla brusca sovrapposizione di sedimenti fluviali (AES) su depositi prevalentemente deltizi e marine (AEI). Lo spessore di AES varia da poche decine di metri, nei pressi della fascia pedeappenninica (es. Foglio 240 "Forlì", fino ad oltre 500 m in corrispondenza del margine costiero (es. Foglio 187 "Codigoro"). Gli spessori medi nel comune di Fiscaglia si aggirano sui 250-400 m procedendo da ovest verso est. La base del Sistema è attribuita, per posizione stratigrafica, al Pleistocene medio (350-450.000 anni secondo Regione Emilia-Romagna & ENI-AGIP, 1998). Il limite superiore corrisponde invece all'attuale superficie topografica ed appartiene alla parte più recente dell'Olocene.

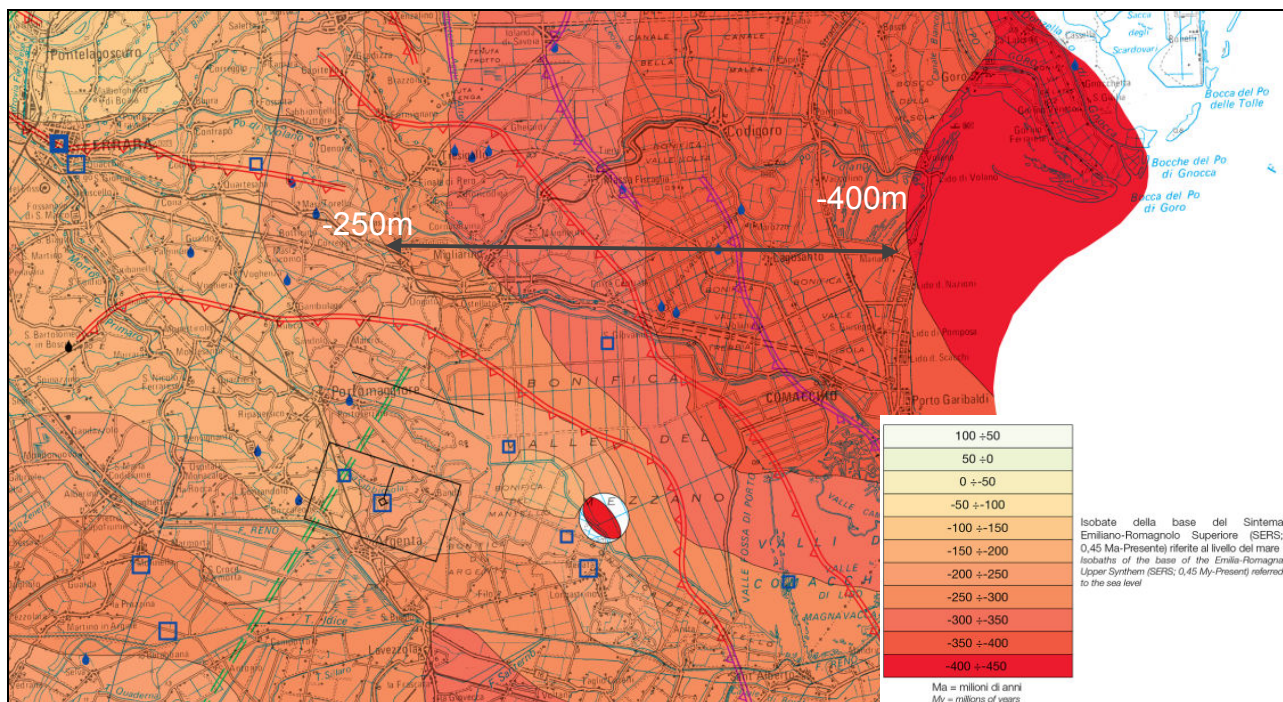


FIGURA 5.7 - dettaglio della profondità dell'AES in m dal livello mare.

L'intero Sintema è organizzato in quattro o cinque cicli deposizionali trasgressivo- regressivi, ciascun avente uno spessore massimo di circa un centinaio di metri, in corrispondenza delle aree di sinclinale. Le facies trasgressive marino-costiere non sembrano estendersi in AES più a sud dell'allineamento Lugo-Altedo-S.Pietro in Casale, e risultano particolarmente sviluppate nella porzione meridionale e nord-orientale dell'area di studio. La porzione trasgressiva basale di ciascun ciclo è caratterizzata dalla frequente presenza di argille organiche di piana alluvionale, palude e piana costiera, con occasionali intercalazioni di sabbie litorali o fanghi salmastri.

Il limite inferiore di ciascun ciclo rappresenta una superficie di disattivazione della sedimentazione fluviale grossolana singlaciale. Nella porzione regressiva di ciascun ciclo fanghi marini e sabbie deltizie sono seguite da una spessa successione di depositi fini di piana alluvionale, in cui le sabbie di canale fluviale sono subordinate e presenti solo come corpi nastriformi isolati. Al tetto del ciclo, le sabbie di canale fluviale divengono più abbondanti, fino alla formazione di corpi sabbiosi composti, lateralmente estesi in tutto il sottosuolo della bassa pianura ferrarese. Nell'ambito del Progetto di Cartografia Geologica Nazionale, i cinque cicli che compongono il Sintema sono stati suddivisi in 2 cicli inferiori definiti rispettivamente Subsintema di Liano (AES 4) e Subsintema di Torre Stagni (AES 5) (cfr. AES indifferenziato - Foglio 204 Portomaggiore), ed in 3 cicli superiori, inquadrati nei Subsintemi di Bazzano (AES 6), Villa Verucchio (AES 7) e Ravenna (AES 8). Nella porzione più recente del Subsintema di Ravenna, è stata ulteriormente distinta l'Unità di Modena (AES 8a), un'unità di età post-romana, definita sulla base di eventi di riorganizzazione idrografica, accelerazione dei processi sedimentari e cambiamenti nei caratteri archeologici associati alla fine dell'Impero Romano. I cicli più antichi, scarsamente noti nell'area in quanto solo raramente indagati da sondaggi geognostici di grande profondità, mostrano caratteri marini più pronunciati e registrano eventi trasgressivi maggiormente sviluppati verso l'entroterra, rispetto a quelli più recenti. Essi mostrano inoltre corpi sabbiosi fluvio-deltizi in aree più sud-occidentali rispetto a quelli dei 3 cicli più recenti. Questa evoluzione registra sia il progressivo riempimento del bacino sedimentario di Avanfossa, sia lo spostamento verso nord degli assi depocentrali e del reticolo fluviale padano, legato al prevalere degli apporti terrigeni rispetto alla creazione di spazio di accomodamento sedimentario.

I tre Sintemi superiori (AES 6 , AES 7, AES 8), presentano tra loro forti analogie nell'organizzazione stratigrafica. La base di ciascun ciclo, corrisponde ad una superficie erosiva incisa in sabbie fluviali singlaciali o – in aree più meridionali soggette a forti apporti appenninici – ad un paleosuolo carbonatico maturo, sviluppato su depositi continentali fini. Nell'attuale regione costiera, la porzione inferiore trasgressiva di ciascun ciclo presenta spessori di alcuni metri ed è caratterizzata da argille di piana alluvionale e palude, ricche in sostanza organica e passanti a fanghi lagunari, troncate al tetto da una superficie di rimaneggiamento trasgressivo o ravinement surface (Bruun, 1962; Swift et al., 1972; Swift, 1975; Dominguez & Wanless, 1991), a cui seguono sottili sabbie

costiere e fanghi marini. In queste aree costiere, la parte regressiva è spesso fino al centinaio di metri ed è costituita da depositi marini con evoluzione shallowing, da fanghi di prodelta e sabbie fronte deltizio, seguiti da una spessa successione di piana alluvionale. La parte superiore del ciclo è formata da sabbie grossolane di media pianura alluvionale, che passano lateralmente a sedimenti fini di pianura fredda, diffusi soprattutto nelle porzioni meridionali. Spostandosi verso il piede dell'Appennino, nei cicli sedimentari scompaiono le intercalazioni marine e la parte superiore è dominata da corpi ghiaioso-sabbiosi di riempimento di canale fluviale, che registrano lobi di conoide alluvionale ad alimentazione certamente appenninica.

5.4. SUBSISTEMA DI BAZZANO – AES 6

L'unità affiora solo nei pressi del fronte appenninico (es. Fogli 220 "Casalecchio di Reno"), mentre nella fascia costiera emiliano-romagnola, come nell'area di studio, è presente nel solo sottosuolo dove è attraversata dai sondaggi 204-S4, 204-S15, 204-S16, 204-S17 del Foglio CARG "Portomaggiore". Costituita da un ciclo completo trasgressivo-regressivo, la parte inferiore dell'unità è composta di depositi deltizi e litorali che poggiano, a volte con un forte contrasto di facies, su depositi alluvionali del ciclo sottostante. Verso sud, nei Fogli 221 "Bologna" e 222 "Lugo", le facies marino-marginali passano a facies continentali ed il limite con il ciclo sottostante diviene meno netto e più difficilmente identificabile. Nella porzione intermedia e superiore il ciclo è costituito da depositi fluvio-deltizi, organizzati generalmente in una sequenza di tipo coarsening-upward, caratterizzata al tetto dallo sviluppo di uno spesso ed esteso corpo di sabbie medio-grossolane di origine padana, deposte in ambienti di media pianura continentale fredda, verosimilmente durante la penultima glaciazione. Localmente si osserva, intercalato ai depositi alluvionali, un sottile livello di depositi fini palustri e lagunari che registra un'ingressione marina di entità minore rispetto a quella documentata alla base dell'unità. In prossimità del margine appenninico, l'unità inizia con sedimenti fini fluvio-palustri, seguiti da argille, limi e sabbie di pianura alluvionale, e superiormente da sabbie e ghiaie di conoide fluviale, che formano estesi corpi tabulari, con facies polliniche periglaciali. Spostandosi verso la fascia costiera, i fanghi fluvio-palustri passano lateralmente e verticalmente ad argille organiche lagunari, sabbie costiere e fanghi marini (es. sondaggio 223-S12 del Foglio 223 "Ravenna"). L'unità è limitata al tetto, con contatto netto, dai depositi trasgressivi marino marginali e dai depositi alluvionali fini ad essi laterali del ciclo sovrastante. Lo spessore del Subsistema varia dai 30 ai circa 70 metri, nei settori settentrionali ed orientali dell'area di studio, mentre spessori ancora maggiori sono raggiunti nell'area meridionale di Campotto. Per la posizione stratigrafica, l'unità è riferibile al Pleistocene medio. La correlazione ciclostratigrafica con la scala delle fluttuazioni climatico-eustatiche di Martinson et al., (1987) suggerisce un'età fra c.a. 230.000 e 130.000 anni.

5.5. SUBSISTEMA DI VILLA VERUCCHIO – AES 7

I depositi di questa unità rappresentano un ciclo trasgressivo-regressivo completo ed affiorano solamente nella fascia pedeappenninica romagnola ed emiliana (es. Foglio 256 "Rimini"). Nel resto della pianura emiliano-romagnola questi depositi sono sempre sepolti nel sottosuolo e nell'area di studio sono attraversati e descritti dai sondaggi 204-S4, 204-S15, 204-S16, 204-S17 del Foglio CARG "Portomaggiore".

La porzione inferiore trasgressiva del ciclo è costituita, nel settore nord orientale ed orientale dell'area di studio, da depositi marino-marginali che passano verso sud e verso ovest a depositi lagunari e palustri della piana deltizia e quindi a depositi alluvionali prevalentemente fini, spesso con presenza abbondante di sostanza organica. Il contatto basale di queste associazioni di facies sui depositi alluvionali di AES 6 costituisce il limite inferiore dell'unità.

Nella porzione intermedia e superiore il ciclo è costituito da alternanze di sabbie limose, limi sabbiosi, limi ed argille di piana alluvionale. Questi depositi sono generalmente organizzati in sequenze di tipo coarsening-upward, caratterizzate nel settore orientale e settentrionale dallo sviluppo al tetto di corpi sabbiosi di origine padana, estesi, continui e spessi fino a 10-20 metri. Il limite superiore dell'unità viene posto, nel sottosuolo, al tetto dei depositi grossolani di canale fluviale o, verso sud, in corrispondenza del tetto dei depositi fini di piana inondabile che ne costituiscono l'equivalente laterale. In gran parte del territorio dell'Unione tale superficie è ricoperta dai depositi di piana alluvionale e deltizia e di palude/laguna, che corrispondono alla base del Subsistema sovrastante (AES 8).

Nei settori verso mare il tetto del Subsintema è definito dal contatto dei depositi trasgressivi di estuario di AES 8 sui depositi di sabbie grossolane di AES 7 riferibili all'ultima glaciazione Würmiana.

Nel sottosuolo della fascia pedeappenninica, l'organizzazione interna coarsening è del tutto analoga a quella del Subsintema sottostante. La porzione inferiore trasgressiva del ciclo è costituita da depositi fluviali che passano ad argille di palude dolce e quindi a depositi di pianura alluvionale. La parte sommitale dei cicli è caratterizzata da depositi ghiaiosi e sabbiosi, di canale fluviale e conoide alluvionale, spessi fino a 15-20 m che si sfrangiano verso valle in corpi nastriformi di canale. Sulla base di datazioni radiometriche, analisi di distribuzione pollinica ed analogie con aree limitrofe ricavate nell'ambito del progetto nazionale di cartografia geologica, il Subsintema di Villa Verucchio può essere correlato con il ciclo glacio-eustatico compreso fra gli stadi isotopici 5e (Tirreniano Auct.) e 2, della curva isotopica dell'ossigeno di Martinson et al., (1987). Sulla base di queste considerazioni, il Subsintema è attribuito all'intervallo compreso fra c.a. 125.000 anni e c.a. 17.000 anni BP (Pleistocene superiore).

5.6. SUBSINTEMA DI RAVENNA – AES 8

Il Subsintema forma la parte sommitale del Sintema Emiliano-Romagnolo Superiore e comprende i sedimenti affioranti e formanti le prime decine di metri di sottosuolo dell'area di studio. Esso è attraversato dalla maggioranza delle indagini della Banca Dati Geognostica Regionale e dunque risulta il deposito Quaternario meglio noto dell'intera pianura emiliano-romagnola. I depositi di AES 8 poggiano in contatto netto sui corpi di canale e di tracimazione fluviale del ciclo sottostante e costituiscono la porzione trasgressiva e quella iniziale regressiva di un ciclo simile a quelli precedenti, ma incompleto poiché ancora attualmente in corso di evoluzione deposizionale.

Nell'area di studio i depositi affioranti del Subsintema sono in gran parte costituiti da argille, limi ed alternanze limoso-sabbiose da tracimazione fluviale. Le alluvioni distali sono prevalentemente costituite da sedimenti di bassa energia idrodinamica (argille e limi, con significative presenze di sostanza organica per via degli allagamenti persistenti che costituivano gli ambienti palustri che hanno caratterizzato nell'ultimo millennio queste terre); poi si distinguono paleoalvei principali costituiti da sabbie di riempimento di canale di piana deltizia del fiume Po riconducibili principalmente al corso dell'antico Padoa Eridano (il cui corso segue l'allineamento Dogato-Ostellato-San Giovanni di Ostellato) e del Po di Volano (sviluppato tra Migliarino, Migliaro, Massafiscaglia e Codigoro).

A ridosso dei paleoalvei principali, appena citati, vi sono delle aree di transizione in cui sono presenti coperture fini su paleoalvei minori di divagazione dei corsi d'acqua principali, e su depositi di rotta fluviale.

Nei terreni affioranti sono ovunque assenti suoli maturi, a causa della recente bonifica e della messa a coltura di molte aree.

Sulla base dei dati radiometrici 14 C, l'età del Subsintema è compresa fra c.a.13.450 anni (B.P. non calibrata) e l'attuale, e corrisponde all'ultima fase di rapida risalita eustatica e di miglioramento climatico che si sviluppa a partire dal tardo Pleistocene fino a tutto l'Olocene.

Nella **FIGURA 5.8** si riporta la carta delle Isobate della base dell'Olocene. Lo spessore del Subsintema varia da 16 a circa 31 metri dal p.c. spostandosi da ovest verso est, dove il suo spessore aumenta.

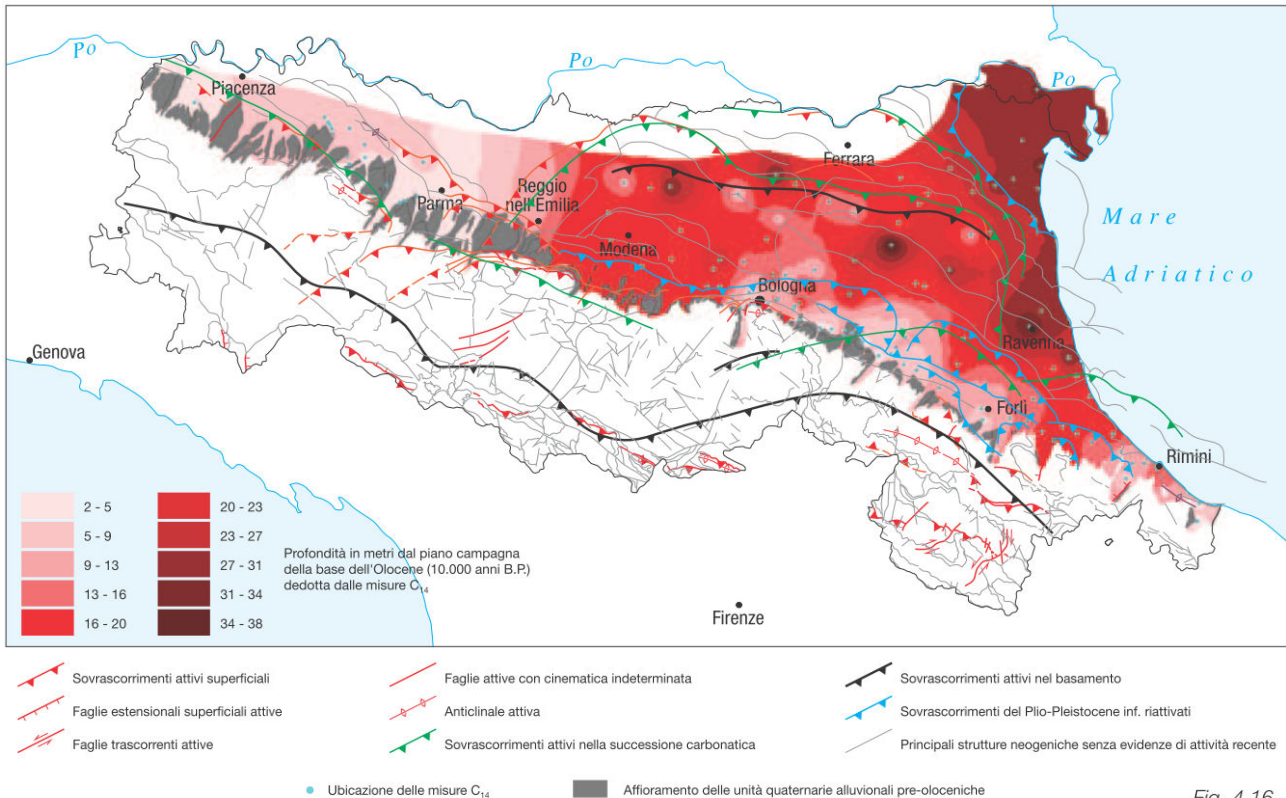


FIGURA 5.8 - Spessore dei sedimenti olocenici appartenenti al Subsistema di Ravenna AES 8.

Nella **FIGURA 5.9** si riporta una sezione geologica di dettaglio dei primi 10m di terreno in cui si può osservare che la parte sommitale del Subsistema di Ravenna AES8, è denominata Unità di Modena AES 8a. Essa contiene i depositi più recenti in cui sono rinvenibili materiali archeologici romani.

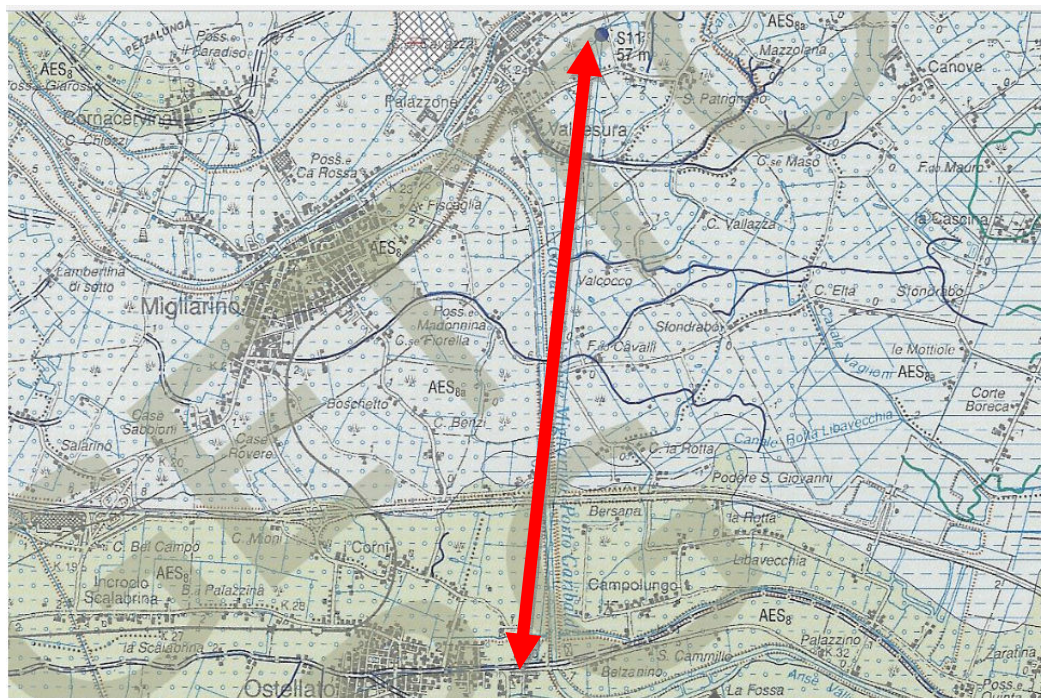


FIGURA 5.9 - Ubicazione della sezione geologica riportata nella seguente figura.

http://www.isprambiente.gov.it/Media/carg/204_PORTOMAGGIORE/Foglio.html

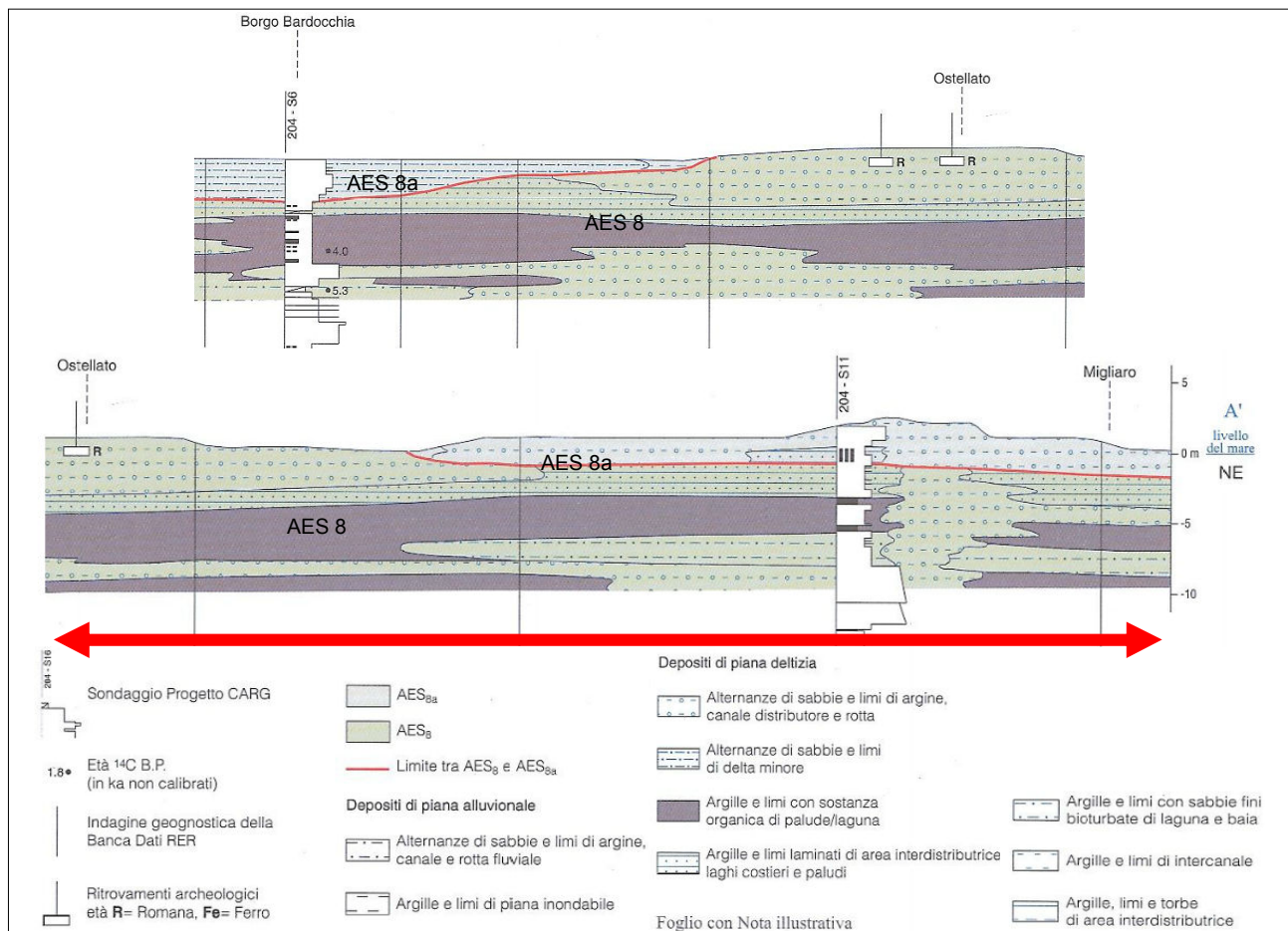


FIGURA 5.10 - Sezione geologica compresa tra Ostellato e Migliaro. Viene aggiunta anche la porzione di sezione compresa tra Borgo Bardocchia e Ostellato, poiché qui sono visibili anche le datazioni con il C14 di alcuni livelli geologici.
(http://www.isprambiente.gov.it/Media/carg/204_PORTOMAGGIORE/Foglio.html)

Allegate alla relazione vi sono le numerose sezioni geologiche passanti per il comune di Fiscaglia, pubblicate sul sito del Servizio Geologico e Sismico della Regione Emilia Romagna.

6. INTERPRETAZIONI E INCERTEZZE

6.1. CAUSE SCATENANTI PER LA LIQUEFAZIONE DELLE SABBIE

Negli studi di microzonazione sismica di II livello, ed in particolare nella carta delle M.O.P.S. (Carta delle Microzone Omogenee in Prospettiva Sismica), si individuano quelle diverse aree suscettibili di effetti locali. In particolare nel comune di Fiscaglia si sono individuate i seguenti effetti locali:

- a) zone suscettibili di amplificazioni stratigrafica locale;
- b) zone suscettibili di instabilità per deformazioni permanenti del territorio dovuti principalmente alla liquefazione in presenza di importanti spessori di terreni granulari saturi nei primi 20 m da piano campagna.

Va però affermato che mentre è certa la presenza dei caratteri predisponenti alla liquefazione delle sabbie (depositi di sabbie limose di deposizione recentissima, sature, che stanno nei fusi liquefacibili), minore certezza può essere affidata alla stima delle cause scatenanti la liquefazione delle sabbie, ovvero la stima delle energie sismiche attese. In ogni caso le tre principali frazioni del comune ricadono nelle fasce di maggior risentimento degli effetti delle faglie attive dell'Emilia Romagna (**FIGURA 6.1**).

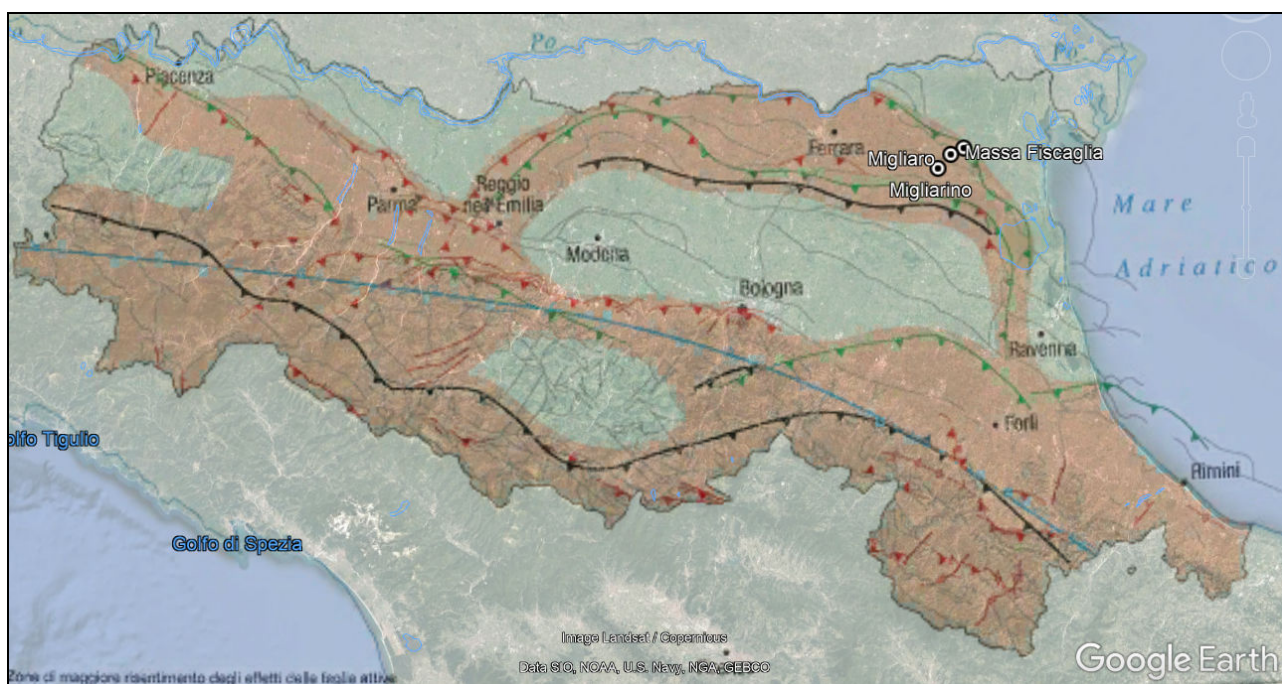


FIGURA 6.1 - Ubicazione dei tre principali centri abitati del comune di Fiscaglia, all'interno delle fasce di maggiore risentimento degli effetti delle faglie attive.

In teoria le accelerazioni sismiche superiori a $0,10g$, sono possibili in tutto il territorio comunale, in quanto le accelerazioni al bedrock sono tali, che moltiplicate per i fattori di amplificazione sismica ricavabili dagli abachi della DGR 2193/2015 superano il valore di a_g oltre il quale sono attesi i fenomeni di amplificazione sismica.

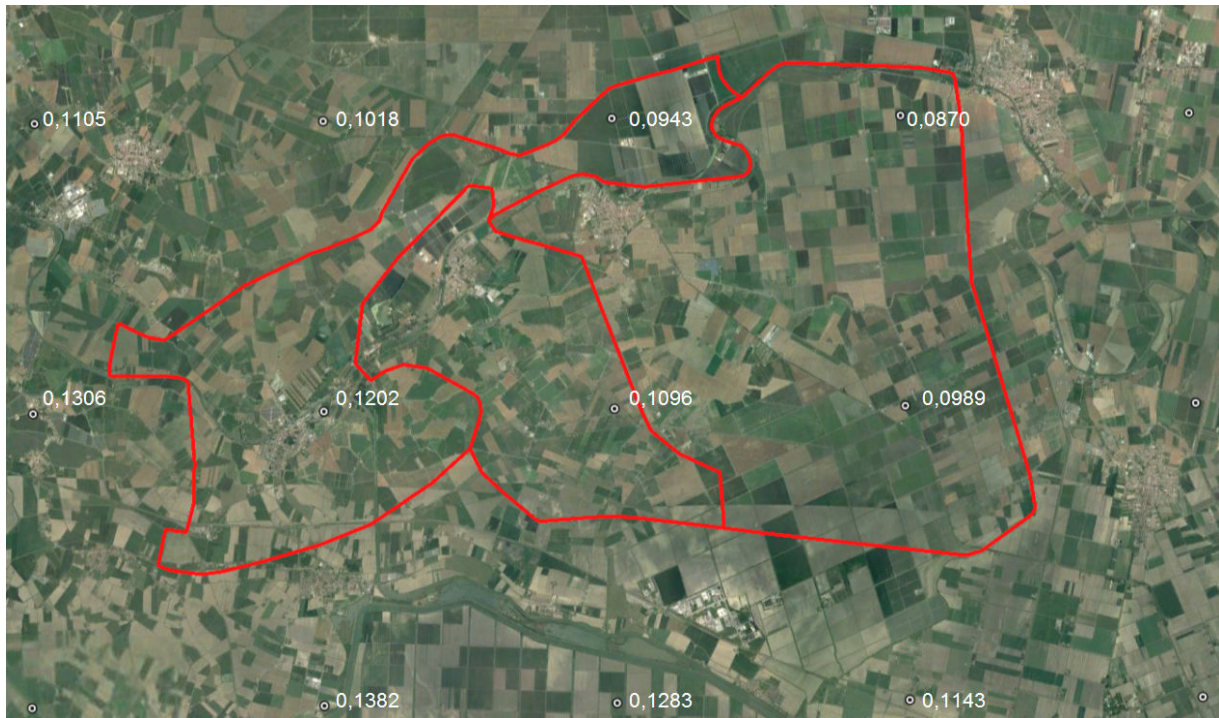


FIGURA 6.2 - Valori di accelerazione di picco su suolo rigido secondo la DGR 2193/2015).

I fattori di amplificazione per la P.G.A., come visto nel capitolo 2, sono di circa F.A.=1,3.

PIANURA 3: settore di pianura caratterizzato da elevati spessori di sedimenti prevalentemente fini e poco consolidati, alternanze di limi, argille e sabbie di ambiente alluvionale e transizionale, con substrato rigido a profondità non inferiori a 300 m da p.c.;

$V_{s30}(m/s) \rightarrow$	150	200	250	300	350	400
F.A. PGA	1.3	1.3	1.3			
F.A. SI1	1.5	1.5	1.5			
F.A. SI2	2.3	2.3	2.2			
F.A. SI3	2.6	2.6	2.4			

Pianura 3. Tabella dei Fattori di Amplificazione **PGA, SI1, SI2 e SI3**.

È però da considerare che recenti studi (Tento, Martelli, Marcellini 2015), evidenziano che in terreni ove il bedrock sismico ($V_s > 800 \text{ m/sec}$, **FIGURA 6.3**) è profondo oltre i 300m dal p.c. e i valori di V_{s30} sono molto bassi, i valori dei fattori di amplificazione sismica sono prossimi all'unità (**FIGURA 6.4**).



Consiglio Nazionale delle Ricerche
ISTITUTO PER LA DINAMICA DEI PROCESSI
AMBIENTALI
Unità Organizzativa di Supporto - MILANO

Abachi per la valutazione dei fattori di amplificazione per le indagini di microzonazione sismica di secondo livello in Emilia-Romagna

A. Tento¹, L. Martelli², A. Marcellini¹

Milano, settembre 2015

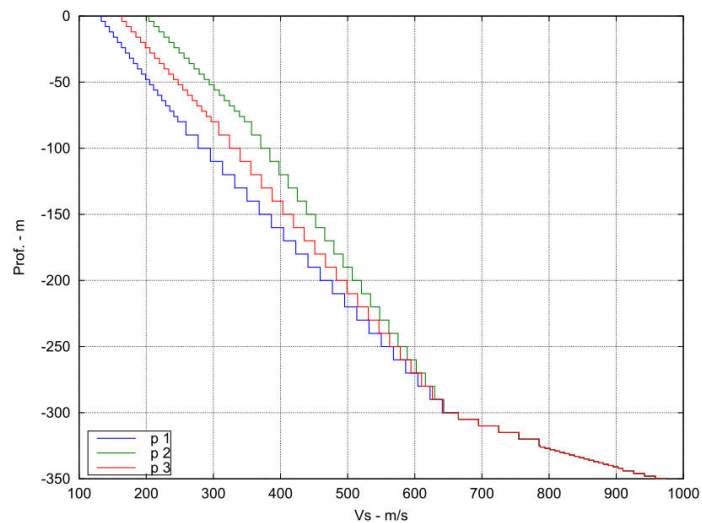


Figura 40: Pianura 3, profili medi utilizzati per il calcolo dei fattori di amplificazione.

FIGURA 6.3 - Profilo di V_s con bedrock sismico oltre i 300m di profondità

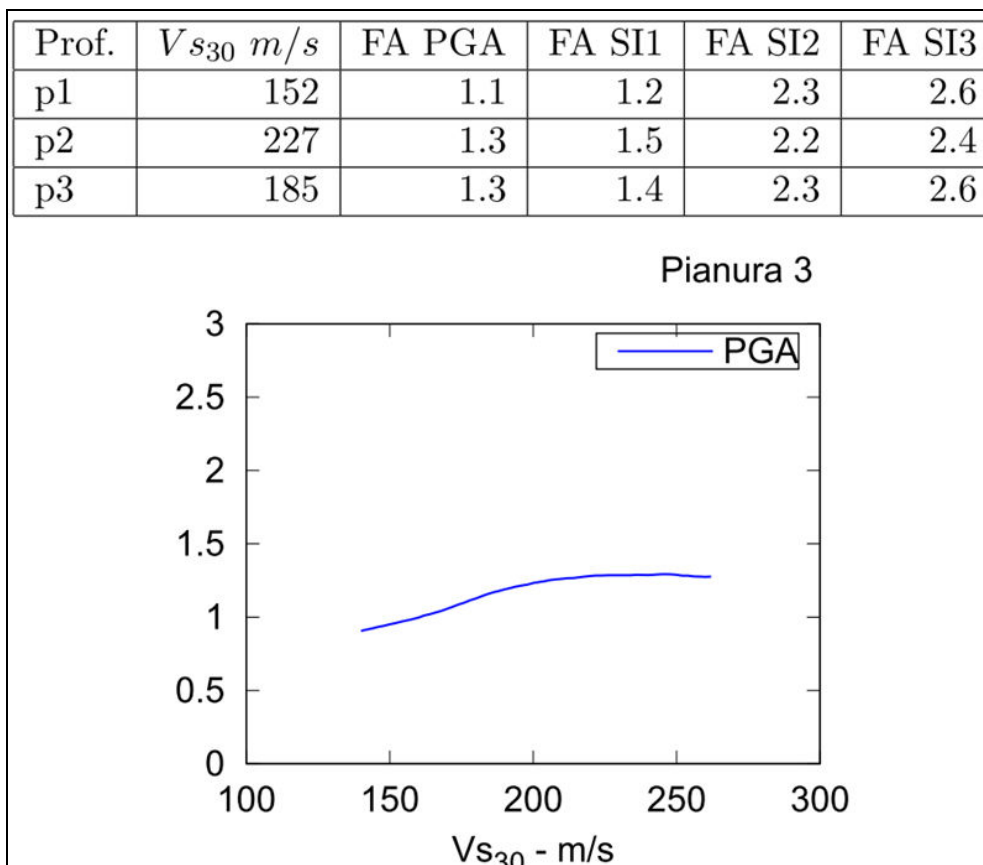


FIGURA 6.4 - Per valori di V_{s30} compresi tra 152 m/sec e 185 m/sec il fattore di amplificazione sismica F.A. per la P.G.A. varia tra 1,1 e 1,3, mantenendosi intorno a 1,3 per valori di V_{s30} superiori a 185 m/sec.

Tutto ciò dimostra un certo grado di incertezza sulla possibile determinazione delle azioni sismiche di scuotimento che possono potenzialmente interessare i terreni comunali di Fiscaglia. Ci viene di conforto la storia scritta che non evidenzia terremoti significativamente importanti nell'area allo studio. Per chi affronterà il terzo livello di approfondimento della microzonazione sismica il maggior dato di incertezza deriverà dal calcolo delle energie sismiche per quantificare le "cause scatenanti".

6.2. DISTRIBUZIONE E DIMENSIONI DELLE FORME GEOMORFOLOGICHE

Gli studi di microzonazione sismica di II livello definiscono le Microzone Omogenee in Prospettiva Sismica (M.O.P.S.). Queste microzone di fatto identificano degli ambiti geologici e geomorfologici che posso avere dei limiti piuttosto netti rispetto alle aree confinanti o piuttosto sfumati. Quindi l'esercizio della perimetrazione risulta del tutto teorico, poiché si basa su indicazioni provenienti dall'interpretazione delle ortofoto, dalle quote assolute dei piani campagna e dalle informazioni desumibili dalle indagini geologiche raccolte nello studio. La densità delle indagini non potrà mai essere esaustiva per la delimitazione di una microzona. Basti pensare alle difficoltà nel riconoscere e disegnare un paleovalle di riempimento attivo, così esposto agli effetti di sito come la liquefazione delle sabbie, in contesto come quello del comune di Fiscaglia, ove sono presente coperture fini che mascherano anche il paleovalle principale dell'antico fiume Po di Volano.

Quindi uno studio di microzonazione sismica non potrà mai sostituire uno studio dettagliato per la progettazione esecutiva di un opera, per la quale dovranno sempre essere previste adeguate indagini in qualità e numero per verificare puntualmente, oltre gli aspetti geotecnici classici, quelli legati agli effetti di sito cosismici.

Il numero delle verticali indagate deve essere sempre tale da consentire un'adeguata caratterizzazione litostratigrafica e geofisica spaziale dei terreni e delle formazioni presenti nell'area di studio, secondo i dettami delle NTC.

7. METODOLOGIE DI ELABORAZIONE E RISULTATI

I temi principali della microzonazione sismica di Fiscaglia sono:

- amplificazione stratigrafica;
- potenziale instabilità per liquefazione delle sabbie sature.

Il terzo livello di approfondimento praticamente si rende necessario in tutto il territorio.

Prima di affrontare la potenziale instabilità per la liquefazione delle sabbie sature, nel terzo livello occorrerà studiare il tema dell'amplificazione stratigrafica e della Risposta Sismica Locale.

I profili profondi di Vs presentati in questo lavoro, ricavati dalle prove ESAC commissionate ed eseguite dal dott. Nasser Abu-Zeid saranno di grande aiuto, insieme alle curve di decadimento del modulo G_0 e alle curve di smorzamento D, ricavate per un sito di Migliarino, studiato dallo scrivente, le quali rappresentano il comportamento geotecnico di questi terreni in campo dinamico.

A titolo solo esemplificativo si ipotizza di adottare un fattore di amplificazione pari a $F.A.=1,3$, come previsto dagli abachi della DGR 2193/2015. La PGA è quella del reticolo della DGR. All'interno di tutto il comune di Fiscaglia conservativamente si adotta, per queste analisi, la magnitudo $M_w=6,14$ (in verità spostandosi verso nord-est la magnitudo dovrebbe calare significativamente fino a 5,0-5,3).

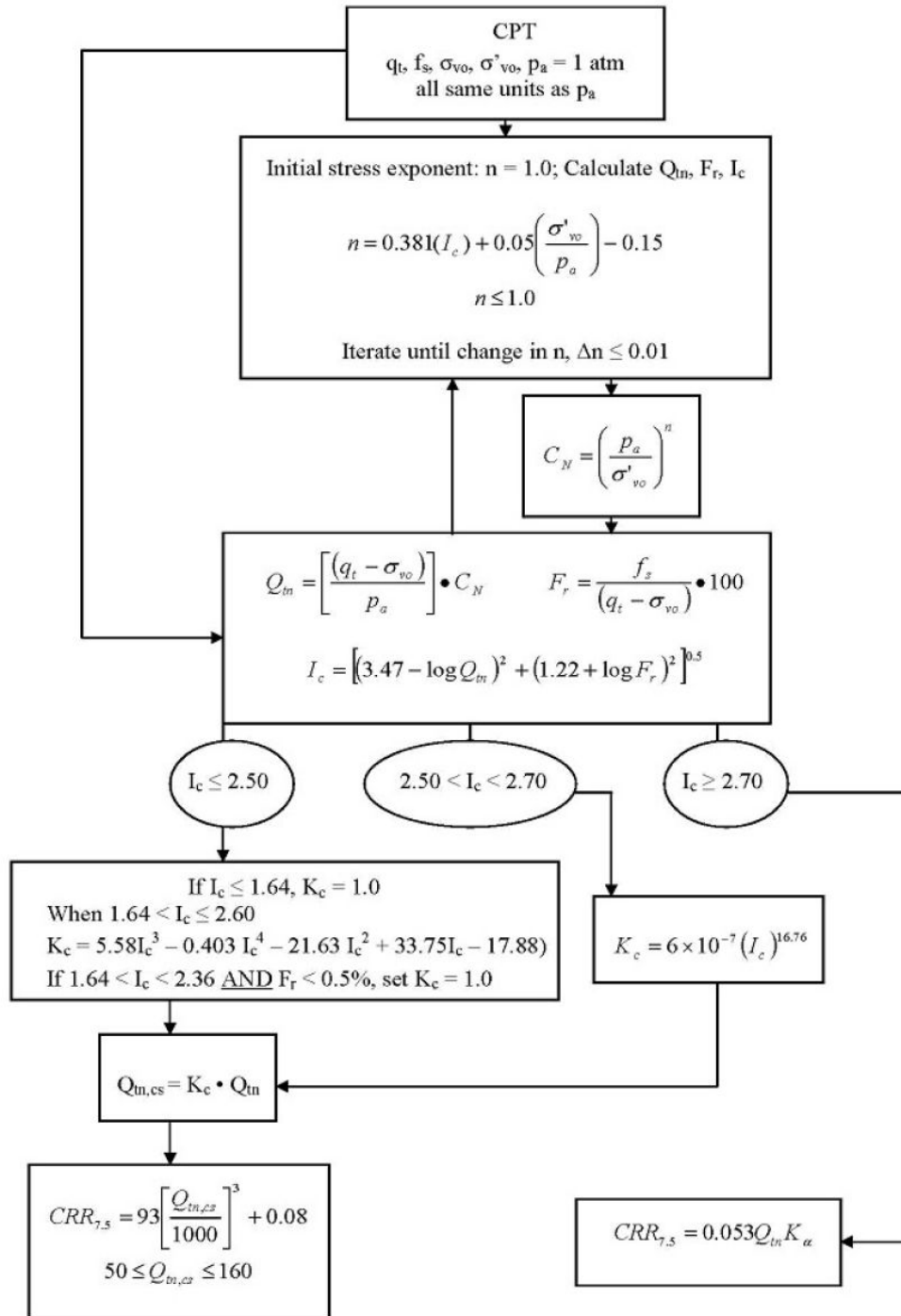
Tra i vari metodi proposti nella geotecnica sismica, che si basano su prove speditive come le penetrometrie, si esclude il metodo di Boulanger & Idriss 2014, in quanto dall'esperienza diretta dello scrivente, per applicarlo correttamente, si dovrebbero eseguire delle analisi granulometriche sulle sabbie attraversate dalle CPTU, allo scopo di misurare il contenuto in fine FC reale nelle sabbie e poter tarare il metodo, come richiesto dagli autori, per i terreni locali. In mancanza delle granulometrie, non si riesce ad applicare il fattore di correzione del contenuto in fine C_{FC} , la cui non determinazione può portare a risultati non affidabili.

Si opta per il metodo più consolidato e condiviso a livello internazionale, ovvero il metodo ROBERTSON (2010), che è una evoluzione del metodo NCEER.

- Youd, T.L., Idriss, I.M., Andrus, R.D., Arango, I., Castro, G., Christian, J.T., Dobry, R., Finn, W.D.L., Harder, L.F., Hynes, M.E., Ishihara, K., Koester, J., Liao, S., Marcuson III, W.F., Martin, G.R., Mitchell, J.K., Moriwaki, Y., Power, M.S., Robertson, P.K., Seed, R., and Stokoe, K.H., Liquefaction Resistance of Soils: Summary Report from the 1996 NCEER and 1998 NCEER/NSF Workshop on Evaluation of Liquefaction Resistance of Soils, ASCE, Journal of Geotechnical & Geoenvironmental Engineering, Vol. 127, October, pp 817-833
- Robertson, P.K. and Lisheng, S., 2010, "Estimation of seismic compression in dry soils using the CPT" FIFTH INTERNATIONAL CONFERENCE ON RECENT ADVANCES IN GEOTECHNICAL EARTHQUAKE ENGINEERING AND SOIL DYNAMICS, *Symposium in honor of professor I. M. Idriss*, SAN diego, CA

Procedure for the evaluation of soil liquefaction resistance (all soils), Robertson (2010)

Calculation of soil resistance against liquefaction is performed according to the Robertson & Wride (1998) procedure. This procedure used in the software, slightly differs from the one originally published in NCEER-97-0022 (Proceedings of the NCEER Workshop on Evaluation of Liquefaction Resistance of Soils). The revised procedure is presented below in the form of a flowchart¹:



¹ P.K. Robertson, 2009. "Performance based earthquake design using the CPT", Keynote Lecture, International Conference on Performance-based Design in Earthquake Geotechnical Engineering – from case history to practice, IS-Tokyo, June 2009

Liquefaction Potential Index (LPI) calculation procedure

Calculation of the Liquefaction Potential Index (LPI) is used to interpret the liquefaction assessment calculations in terms of severity over depth. The calculation procedure is based on the methodology developed by Iwasaki (1982) and is adopted by AFPS.

To estimate the severity of liquefaction extent at a given site, LPI is calculated based on the following equation:

$$LPI = \int_0^{20} (10 - 0.5z) \times F_L \times d_z$$

where:

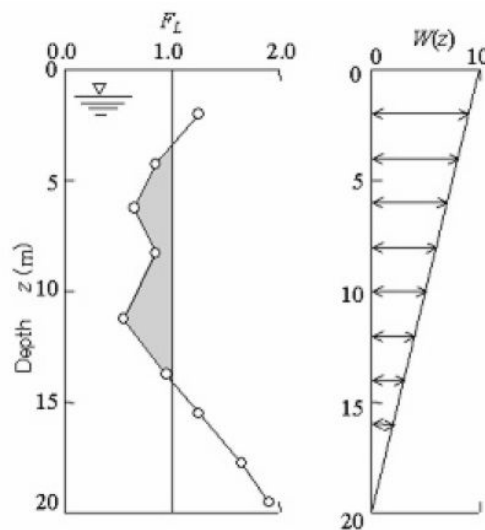
$F_L = 1$ - F.S. when F.S. less than 1

$F_L = 0$ when F.S. greater than 1

z depth of measurement in meters

Values of LPI range between zero (0) when no test point is characterized as liquefiable and 100 when all points are characterized as susceptible to liquefaction. Iwasaki proposed four (4) discrete categories based on the numeric value of LPI:

- LPI = 0 : Liquefaction risk is very low
- $0 < LPI \leq 5$: Liquefaction risk is low
- $5 < LPI \leq 15$: Liquefaction risk is high
- LPI > 15 : Liquefaction risk is very high



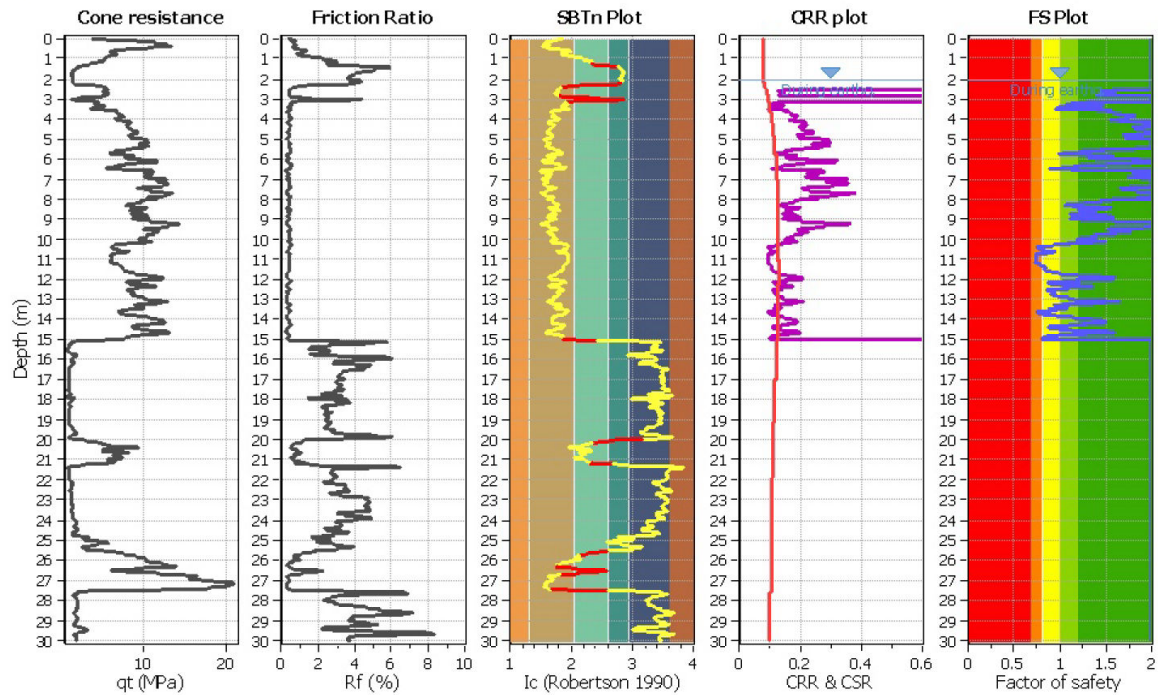
Graphical presentation of the LPI calculation procedure

Vengono analizzate le 11 prove CPTU e SCPTU effettuate per questo studio di microzonazione sismica di II Livello, più le altre 7 CPTU e SCPTU eseguite dallo scrivente per altre opere pubbliche comunali. Nell'incertezza della stima delle cause scatenanti, procedendo con le approssimazioni sopra esposte, si ricava:

CPT file : rif. U53-17 CPTU1 Fiscaglia Asi

Input parameters and analysis data

Analysis method:	NCEER (1998)	G.W.T. (in-situ):	2.00 m	Use fill:	No	Clay like behavior	
Fines correction method:	NCEER (1998)	G.W.T. (earthq.):	2.00 m	Fill height:	N/A	applied:	Sands only
Points to test:	Based on Ic value	Average results interval:	3	Fill weight:	N/A	Limit depth applied:	Yes
Earthquake magnitude M_w :	6.14	Ic cut-off value:	2.60	Trans. detect. applied:	Yes	Limit depth:	20.00 m
Peak ground acceleration:	0.17	Unit weight calculation:	Based on SBT	K_σ applied:	Yes	MSF method:	Method based

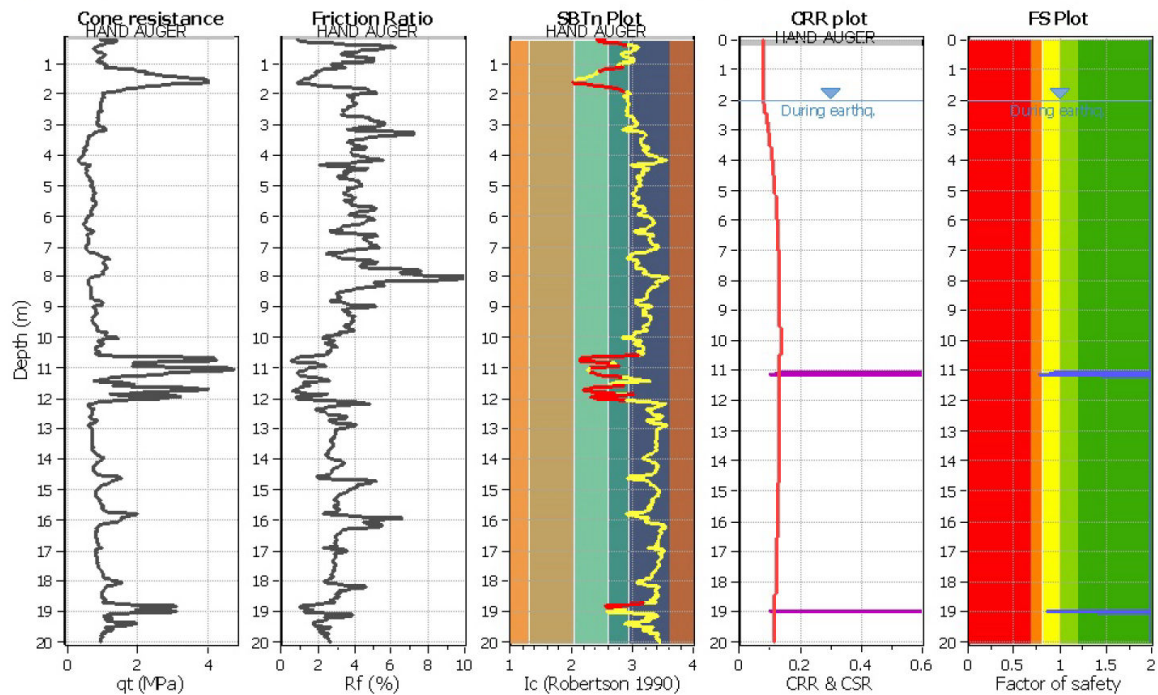


038027P361

CPT file : rif. U53-17 MZ2 CPTU Fiscaglia

Input parameters and analysis data

Analysis method:	NCEER (1998)	G.W.T. (in-situ):	2.00 m	Use fill:	No	Clay like behavior	
Fines correction method:	NCEER (1998)	G.W.T. (earthq.):	2.00 m	Fill height:	N/A	applied:	Sands only
Points to test:	Based on Ic value	Average results interval:	3	Fill weight:	N/A	Limit depth applied:	Yes
Earthquake magnitude M_w :	6.14	Ic cut-off value:	2.60	Trans. detect. applied:	Yes	Limit depth:	20.00 m
Peak ground acceleration:	0.17	Unit weight calculation:	Based on SBT	K_σ applied:	Yes	MSF method:	Method based

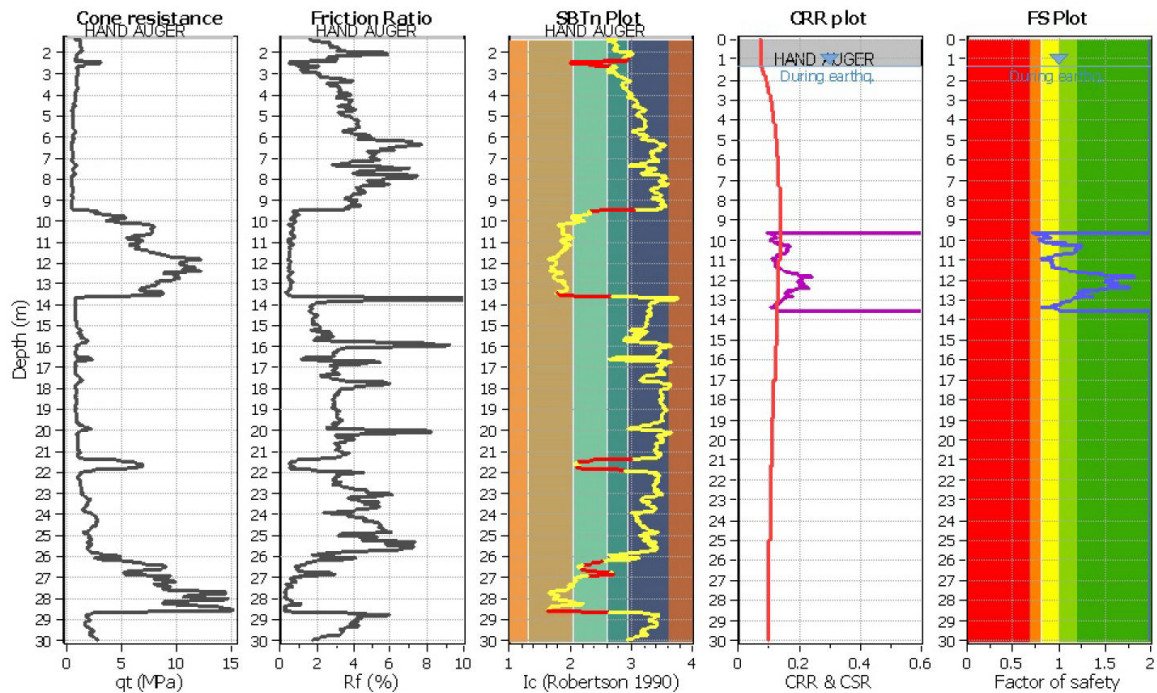


038027P362

CPT file : rif. U53-17 MZ3 SCPTU Fiscaglia

Input parameters and analysis data

Analysis method:	NCEER (1998)	G.W.T. (in-situ):	1.30 m	Use fill:	No	Clay like behavior	
Fines correction method:	NCEER (1998)	G.W.T. (earthq.):	1.30 m	Fill height:	N/A	applied:	Sands only
Points to test:	Based on Ic value	Average results interval:	3	Fill weight:	N/A	Limit depth applied:	Yes
Earthquake magnitude M_w :	6.14	Ic cut-off value:	2.60	Trans. detect. applied:	Yes	Limit depth:	20.00 m
Peak ground acceleration:	0.16	Unit weight calculation:	Based on SBT	K_0 applied:	Yes	MSF method:	Method based

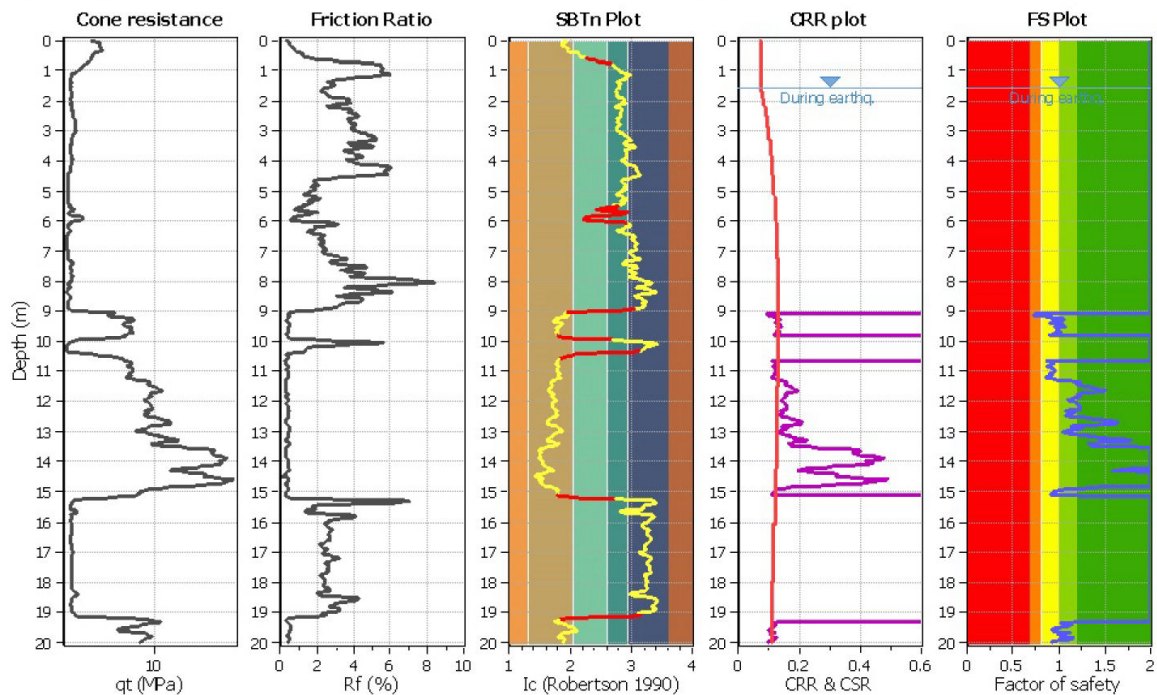


038027P363

CPT file : rif. U53-17 MZ4 CPTU Fiscaglia

Input parameters and analysis data

Analysis method:	NCEER (1998)	G.W.T. (in-situ):	1.60 m	Use fill:	No	Clay like behavior	
Fines correction method:	NCEER (1998)	G.W.T. (earthq.):	1.60 m	Fill height:	N/A	applied:	Sands only
Points to test:	Based on Ic value	Average results interval:	3	Fill weight:	N/A	Limit depth applied:	Yes
Earthquake magnitude M_w :	6.14	Ic cut-off value:	2.60	Trans. detect. applied:	Yes	Limit depth:	20.00 m
Peak ground acceleration:	0.16	Unit weight calculation:	Based on SBT	K_0 applied:	Yes	MSF method:	Method based

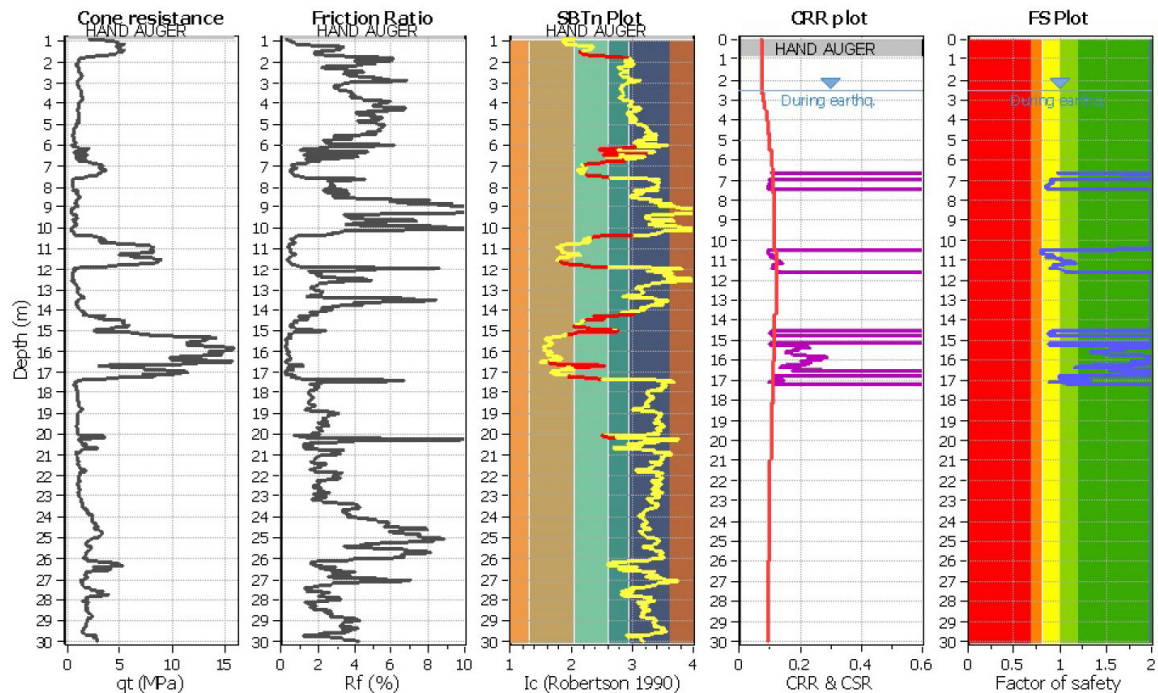


038027P364

CPT file : rif. U53-17 MZ5 CPTU Fiscaglia

Input parameters and analysis data

Analysis method:	NCEER (1998)	G.W.T. (in-situ):	2.50 m	Use fill:	No	Clay like behavior	
Fines correction method:	NCEER (1998)	G.W.T. (earthq.):	2.50 m	Fill height:	N/A	applied:	Sands only
Points to test:	Based on Ic value	Average results interval:	3	Fill weight:	N/A	Limit depth applied:	Yes
Earthquake magnitude M_w :	6.14	Ic cut-off value:	2.60	Trans. detect. applied:	Yes	Limit depth:	20.00 m
Peak ground acceleration:	0.16	Unit weight calculation:	Based on SBT	K_σ applied:	Yes	MSF method:	Method based

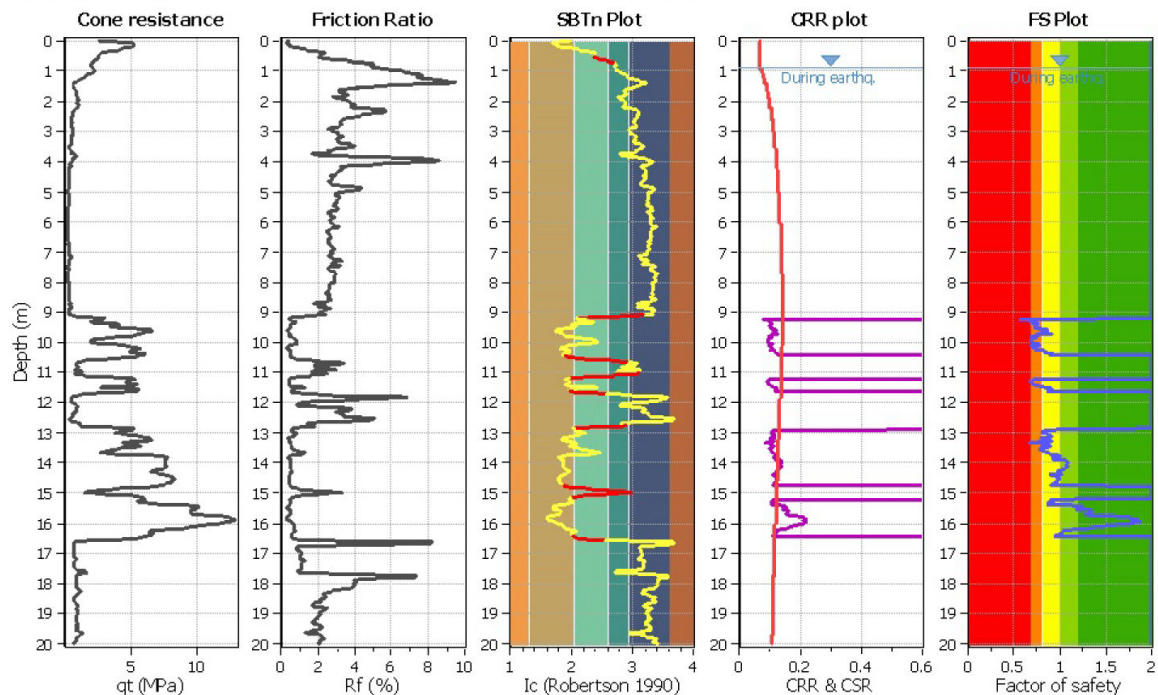


038027P365

CPT file : rif. U53-17 MZ6 CPTU Fiscaglia

Input parameters and analysis data

Analysis method:	NCEER (1998)	G.W.T. (in-situ):	0.90 m	Use fill:	No	Clay like behavior	
Fines correction method:	NCEER (1998)	G.W.T. (earthq.):	0.90 m	Fill height:	N/A	applied:	Sands only
Points to test:	Based on Ic value	Average results interval:	3	Fill weight:	N/A	Limit depth applied:	Yes
Earthquake magnitude M_w :	6.14	Ic cut-off value:	2.60	Trans. detect. applied:	Yes	Limit depth:	20.00 m
Peak ground acceleration:	0.15	Unit weight calculation:	Based on SBT	K_σ applied:	Yes	MSF method:	Method based

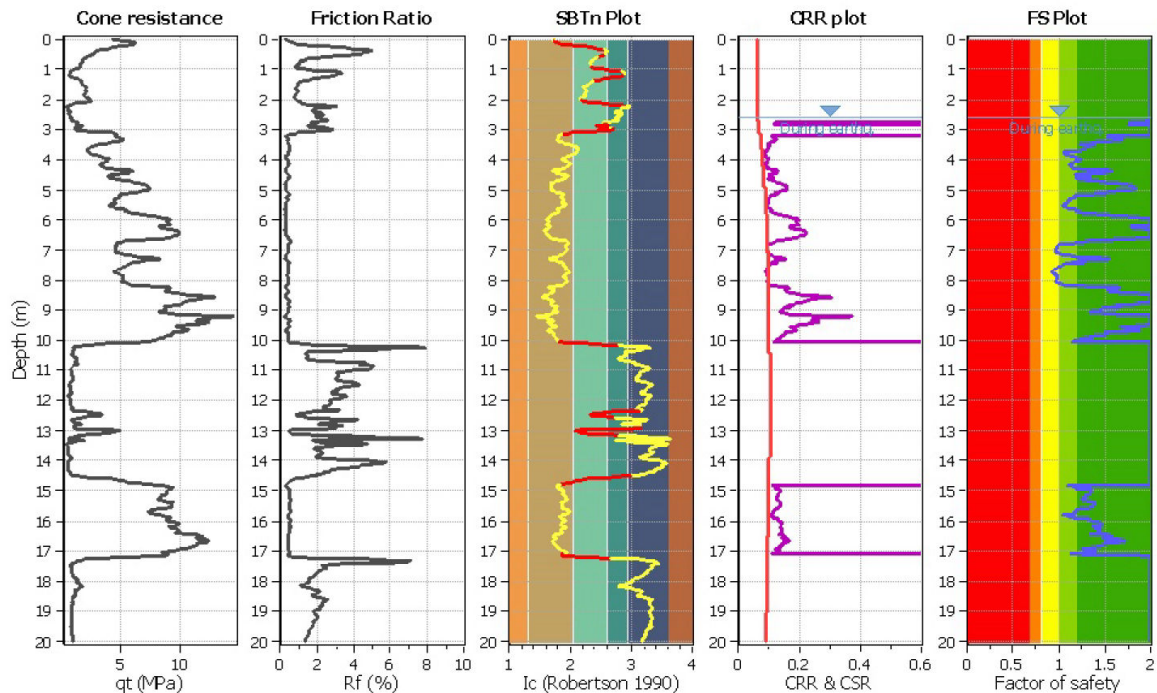


038027P366

CPT file : rif. U53-17 M27 CPTU Fiscaglia

Input parameters and analysis data

Analysis method:	NCEER (1998)	G.W.T. (in-situ):	2.60 m	Use fill:	No	Clay like behavior	
Fines correction method:	NCEER (1998)	G.W.T. (earthq.):	2.60 m	Fill height:	N/A	applied:	Sands only
Points to test:	Based on Ic value	Average results interval:	3	Fill weight:	N/A	Limit depth applied:	Yes
Earthquake magnitude M_w :	6.14	Ic cut-off value:	2.60	Trans. detect. applied:	Yes	Limit depth:	20.00 m
Peak ground acceleration:	0.14	Unit weight calculation:	Based on SBT	K_σ applied:	Yes	MSF method:	Method based

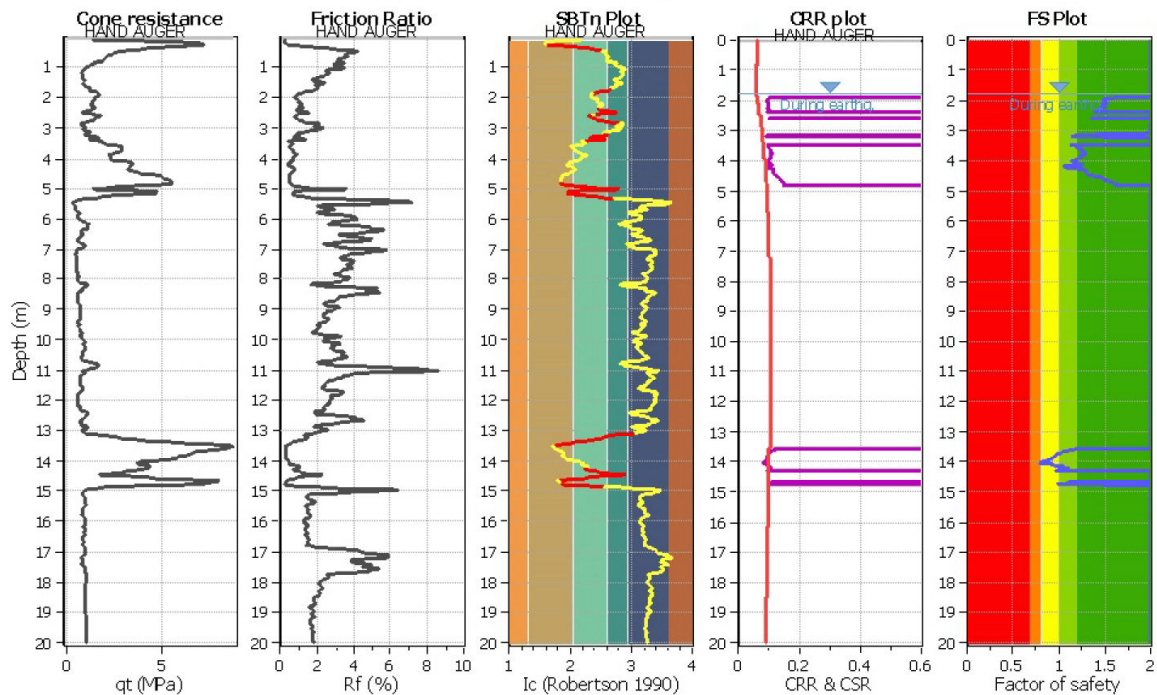


038027P367

CPT file : rif. U53-17 M28 CPTU Fiscaglia

Input parameters and analysis data

Analysis method:	NCEER (1998)	G.W.T. (in-situ):	1.80 m	Use fill:	No	Clay like behavior	
Fines correction method:	NCEER (1998)	G.W.T. (earthq.):	1.80 m	Fill height:	N/A	applied:	Sands only
Points to test:	Based on Ic value	Average results interval:	3	Fill weight:	N/A	Limit depth applied:	Yes
Earthquake magnitude M_w :	6.14	Ic cut-off value:	2.60	Trans. detect. applied:	Yes	Limit depth:	20.00 m
Peak ground acceleration:	0.13	Unit weight calculation:	Based on SBT	K_σ applied:	Yes	MSF method:	Method based

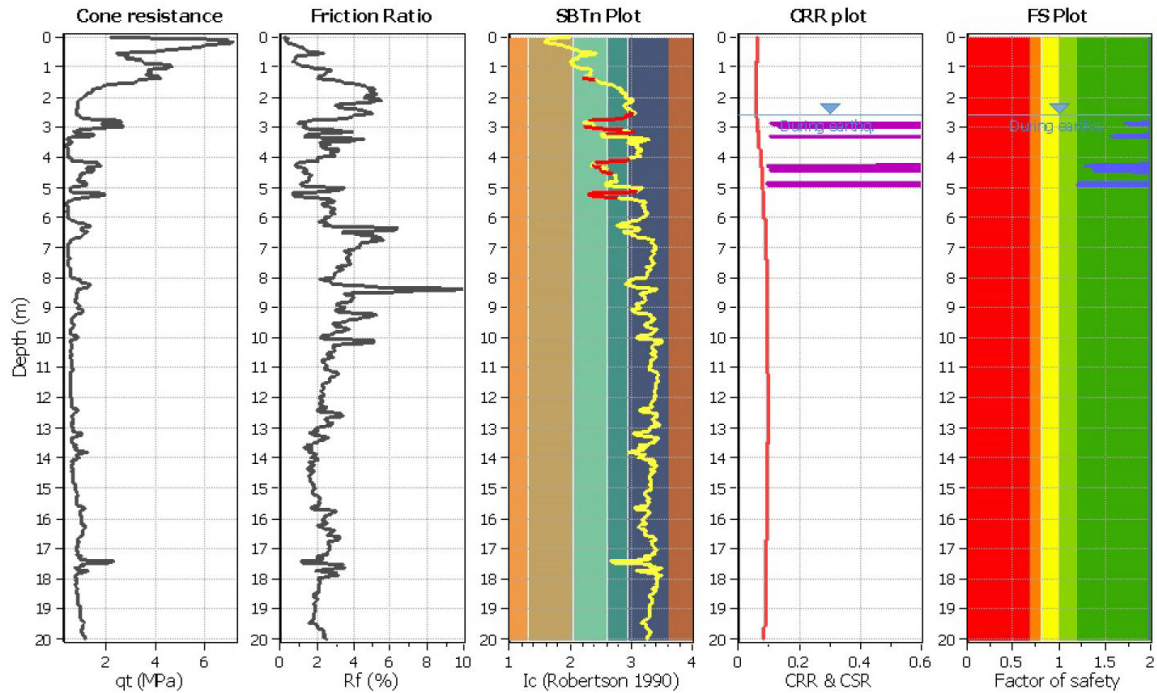


038027P368

CPT file : rif. U53-17 MZ9 CPTU Fiscaglia

Input parameters and analysis data

Analysis method:	NCEER (1998)	G.W.T. (in-situ):	2.60 m	Use fill:	No	Clay like behavior	
Fines correction method:	NCEER (1998)	G.W.T. (earthq.):	2.60 m	Fill height:	N/A	applied:	Sands only
Points to test:	Based on Ic value	Average results interval:	3	Fill weight:	N/A	Limit depth applied:	Yes
Earthquake magnitude M_w :	6.14	Ic cut-off value:	2.60	Trans. detect. applied:	Yes	Limit depth:	20.00 m
Peak ground acceleration:	0.13	Unit weight calculation:	Based on SBT	K_σ applied:	Yes	MSF method:	Method based

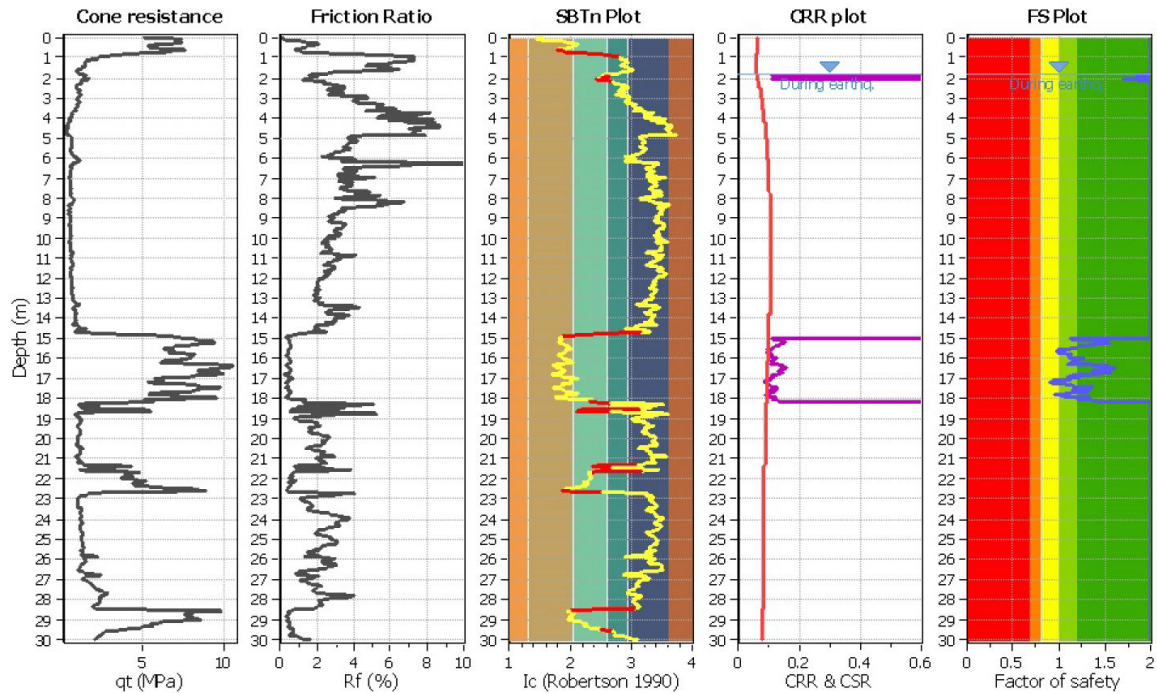


038027P369

CPT file : rif. U53-17 MZ10 CPTU Fiscaglia

Input parameters and analysis data

Analysis method:	NCEER (1998)	G.W.T. (in-situ):	1.80 m	Use fill:	No	Clay like behavior	
Fines correction method:	NCEER (1998)	G.W.T. (earthq.):	1.80 m	Fill height:	N/A	applied:	Sands only
Points to test:	Based on Ic value	Average results interval:	3	Fill weight:	N/A	Limit depth applied:	Yes
Earthquake magnitude M_w :	6.14	Ic cut-off value:	2.60	Trans. detect. applied:	Yes	Limit depth:	20.00 m
Peak ground acceleration:	0.13	Unit weight calculation:	Based on SBT	K_σ applied:	Yes	MSF method:	Method based

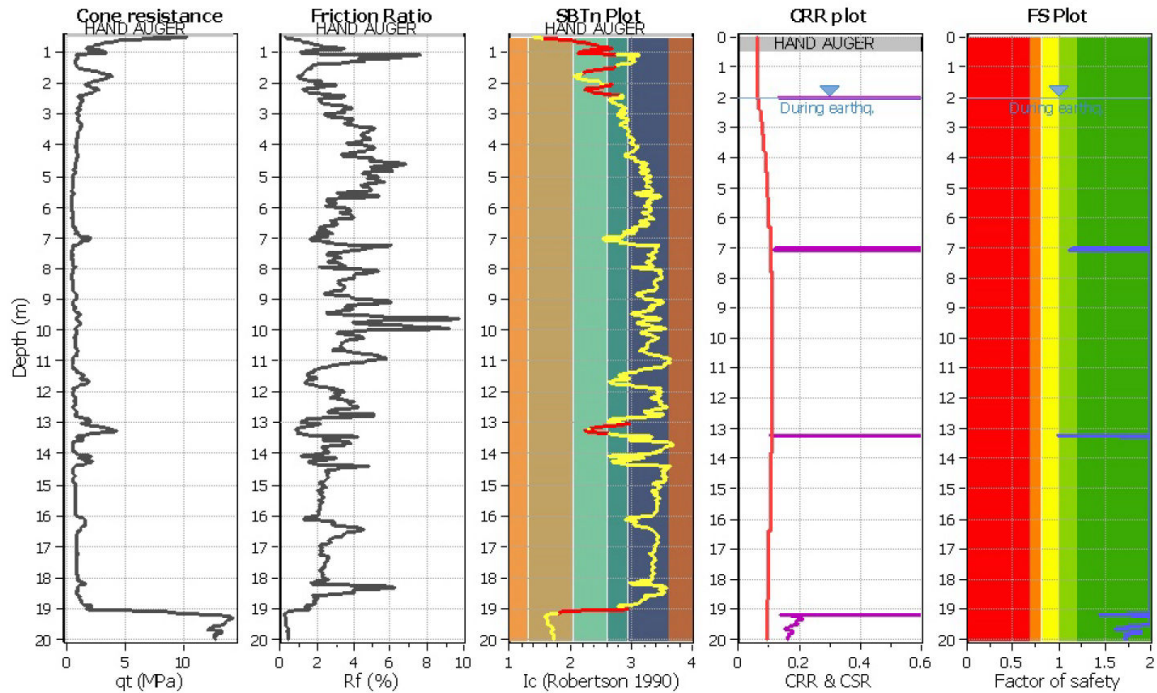


038027P370

CPT file : rif. U53-17 MZ11 CPTU Fiscaglia

Input parameters and analysis data

Analysis method:	NCEER (1998)	G.W.T. (in-situ):	2.00 m	Use fill:	No	Clay like behavior	
Fines correction method:	NCEER (1998)	G.W.T. (earthq.):	2.00 m	Fill height:	N/A	applied:	Sands only
Points to test:	Based on Ic value	Average results interval:	3	Fill weight:	N/A	Limit depth applied:	Yes
Earthquake magnitude M_w :	6.14	Ic cut-off value:	2.60	Trans. detect. applied:	Yes	Limit depth:	20.00 m
Peak ground acceleration:	0.14	Unit weight calculation:	Based on SBT	K_σ applied:	Yes	MSF method:	Method based

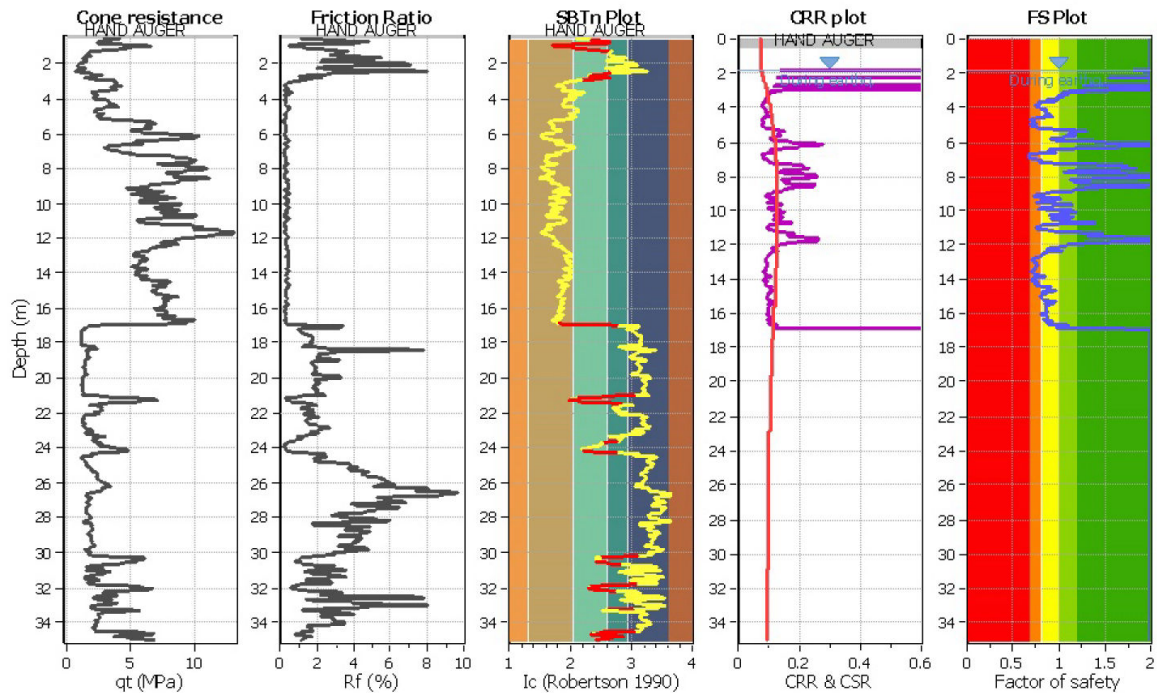


038027P371

CPT file : rif. U81 CPTU1 Migliarino Bracc

Input parameters and analysis data

Analysis method:	NCEER (1998)	G.W.T. (in-situ):	1.80 m	Use fill:	No	Clay like behavior	
Fines correction method:	NCEER (1998)	G.W.T. (earthq.):	1.80 m	Fill height:	N/A	applied:	Sands only
Points to test:	Based on Ic value	Average results interval:	3	Fill weight:	N/A	Limit depth applied:	Yes
Earthquake magnitude M_w :	6.14	Ic cut-off value:	2.60	Trans. detect. applied:	Yes	Limit depth:	20.00 m
Peak ground acceleration:	0.16	Unit weight calculation:	Based on SBT	K_σ applied:	Yes	MSF method:	Method based

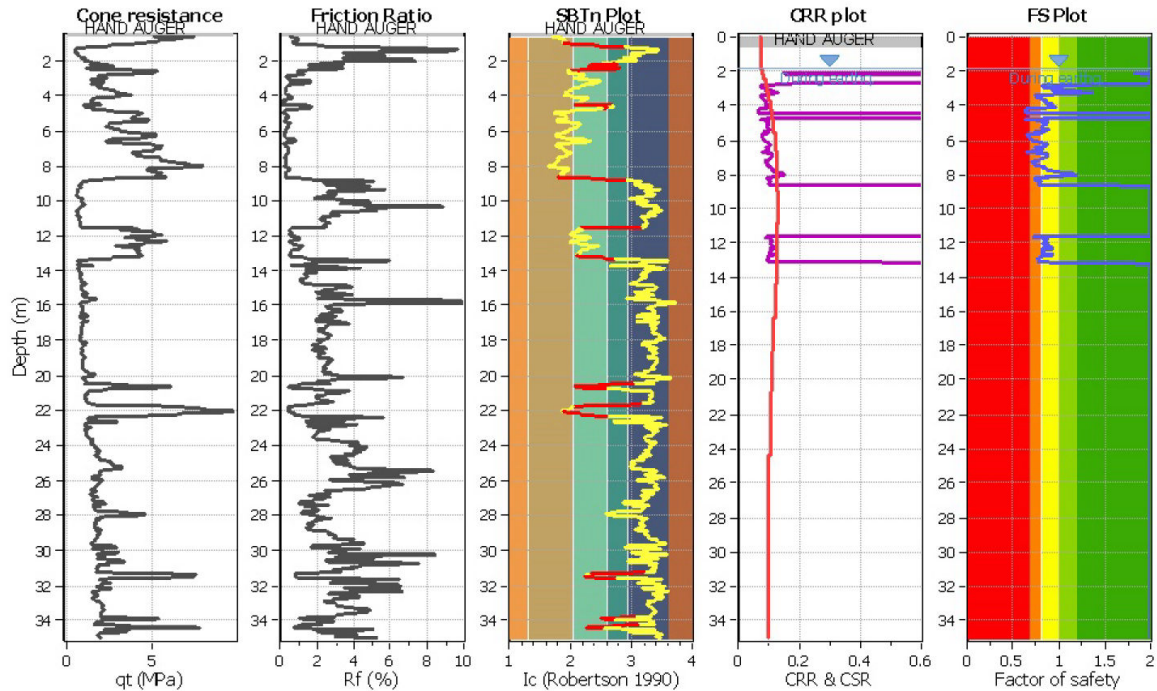


038027P201

CPT file : rif. U81 CPTU2 Migliarino Bracc

Input parameters and analysis data

Analysis method:	NCEER (1998)	G.W.T. (in-situ):	1.80 m	Use fill:	No	Clay like behavior	
Fines correction method:	NCEER (1998)	G.W.T. (earthq.):	1.80 m	Fill height:	N/A	applied:	Sands only
Points to test:	Based on Ic value	Average results interval:	3	Fill weight:	N/A	Limit depth applied:	Yes
Earthquake magnitude M_w :	6.14	Ic cut-off value:	2.60	Trans. detect. applied:	Yes	Limit depth:	20.00 m
Peak ground acceleration:	0.16	Unit weight calculation:	Based on SBT	K_σ applied:	Yes	MSF method:	Method based

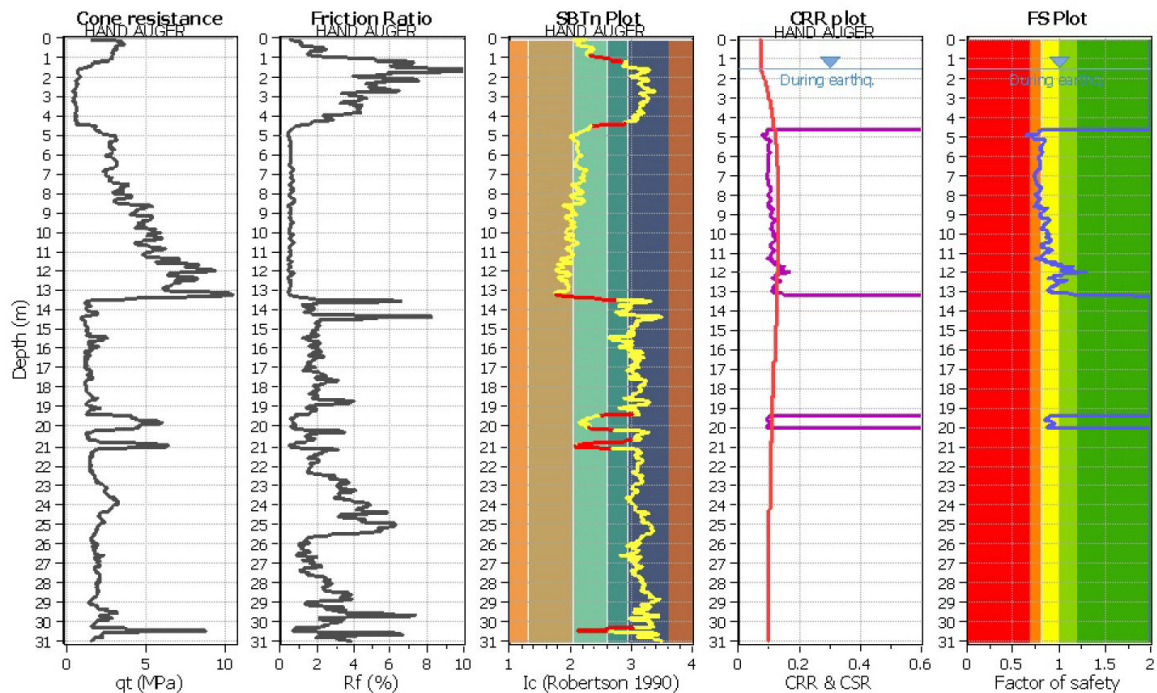


038027P202

CPT file : rif. U84-16 CPTU1 Migliarino EN

Input parameters and analysis data

Analysis method:	NCEER (1998)	G.W.T. (in-situ):	1.50 m	Use fill:	No	Clay like behavior	
Fines correction method:	NCEER (1998)	G.W.T. (earthq.):	1.50 m	Fill height:	N/A	applied:	Sands only
Points to test:	Based on Ic value	Average results interval:	3	Fill weight:	N/A	Limit depth applied:	Yes
Earthquake magnitude M_w :	6.14	Ic cut-off value:	2.60	Trans. detect. applied:	Yes	Limit depth:	20.00 m
Peak ground acceleration:	0.16	Unit weight calculation:	Based on SBT	K_σ applied:	Yes	MSF method:	Method based

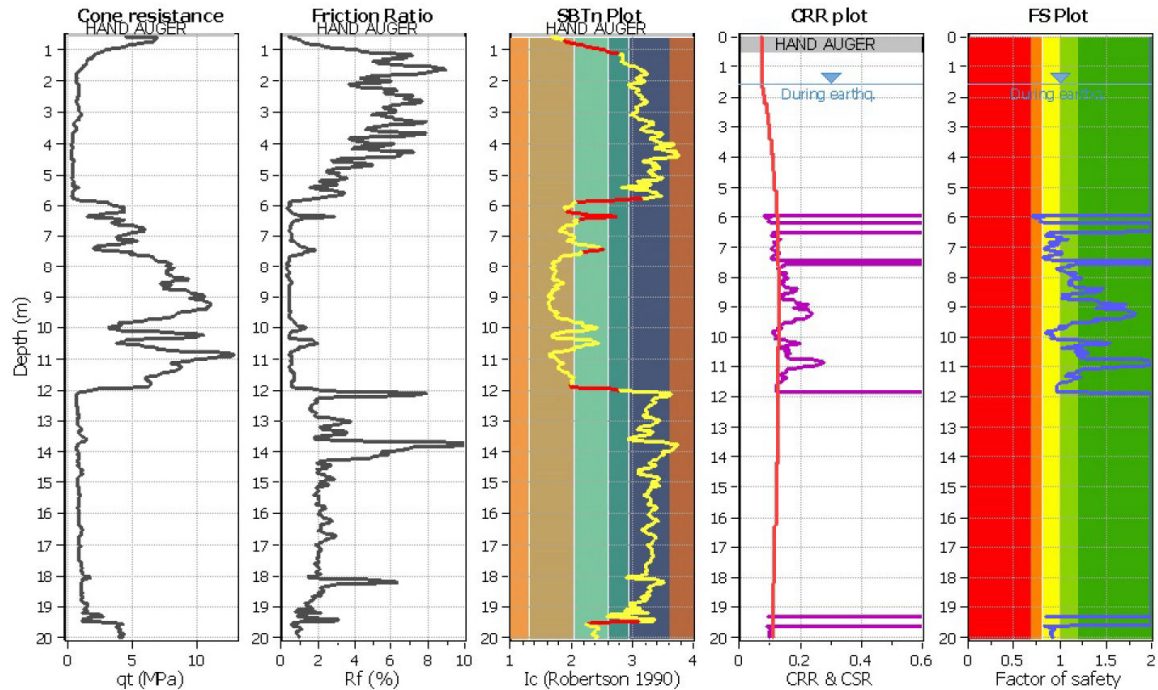


038027P203

CPT file : rif. U84-16 CPTU2 Migliarino EN

Input parameters and analysis data

Analysis method:	NCEER (1998)	G.W.T. (in-situ):	1.60 m	Use fill:	No	Clay like behavior	
Fines correction method:	NCEER (1998)	G.W.T. (earthq.):	1.60 m	Fill height:	N/A	applied:	Sands only
Points to test:	Based on Ic value	Average results interval:	3	Fill weight:	N/A	Limit depth applied:	Yes
Earthquake magnitude M_w :	6.14	Ic cut-off value:	2.60	Trans. detect. applied:	Yes	Limit depth:	20.00 m
Peak ground acceleration:	0.16	Unit weight calculation:	Based on SBT	K_σ applied:	Yes	MSF method:	Method based

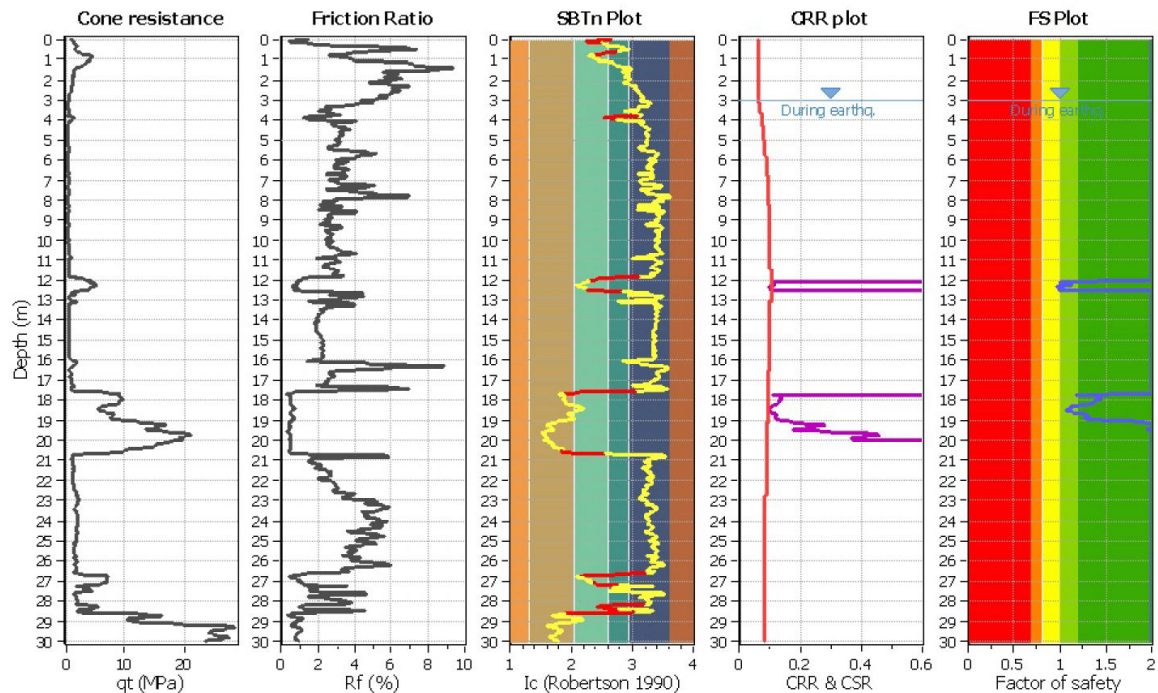


038027P204

CPT file : rif. U94-16 CPTU1 Migliaro Comu

Input parameters and analysis data

Analysis method:	NCEER (1998)	G.W.T. (in-situ):	3.00 m	Use fill:	No	Clay like behavior	
Fines correction method:	NCEER (1998)	G.W.T. (earthq.):	3.00 m	Fill height:	N/A	applied:	Sands only
Points to test:	Based on Ic value	Average results interval:	3	Fill weight:	N/A	Limit depth applied:	Yes
Earthquake magnitude M_w :	6.14	Ic cut-off value:	2.60	Trans. detect. applied:	Yes	Limit depth:	20.00 m
Peak ground acceleration:	0.14	Unit weight calculation:	Based on SBT	K_σ applied:	Yes	MSF method:	Method based

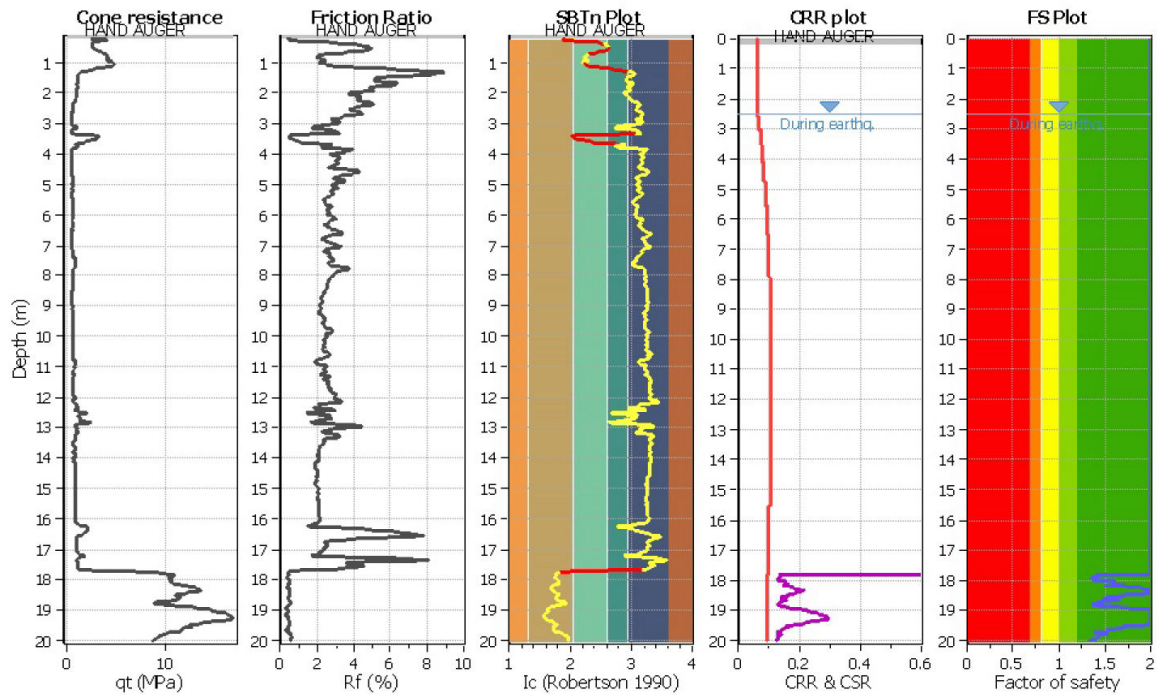


038027P193

CPT file : rif. U94-16 CPTU2 Migliaro Comu

Input parameters and analysis data

Analysis method:	NCEER (1998)	G.W.T. (in-situ):	2.50 m	Use fill:	No	Clay like behavior	
Fines correction method:	NCEER (1998)	G.W.T. (earthq.):	2.50 m	Fill height:	N/A	applied:	Sands only
Points to test:	Based on Ic value	Average results interval:	3	Fill weight:	N/A	Limit depth applied:	Yes
Earthquake magnitude M_w :	6.14	Ic cut-off value:	2.60	Trans. detect. applied:	Yes	Limit depth:	20.00 m
Peak ground acceleration:	0.14	Unit weight calculation:	Based on SBT	K_σ applied:	Yes	MSF method:	Method based

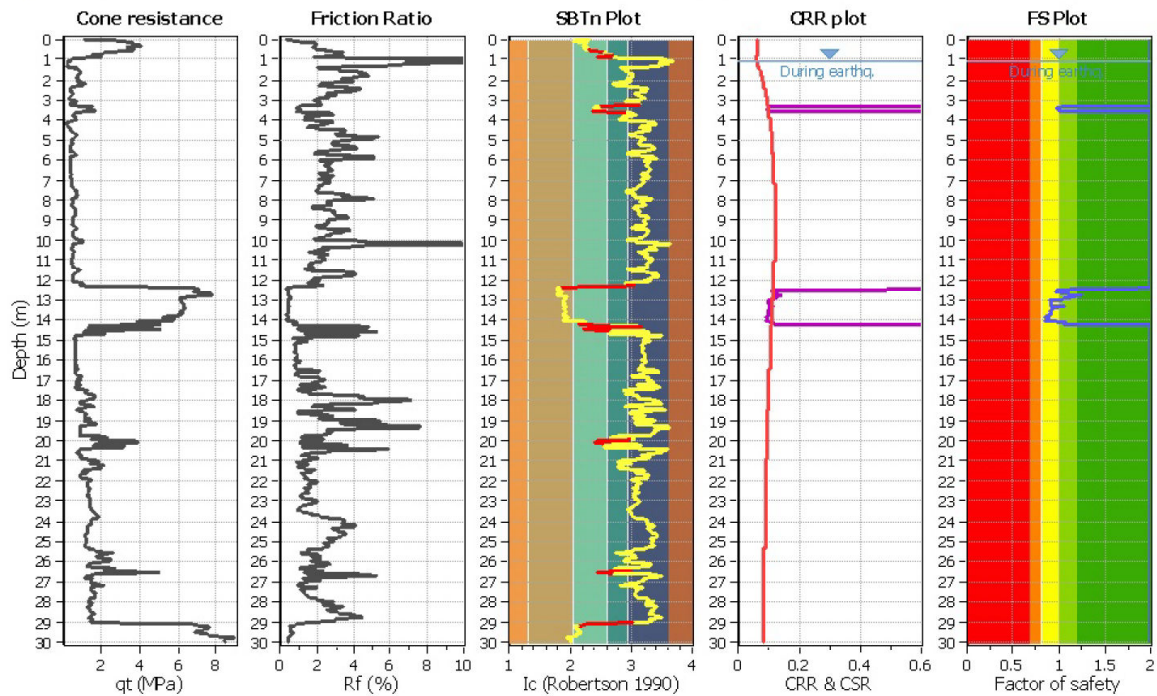


038027P194

CPT file : rif. U80-13 CPTU1 Massa Fiscagli

Input parameters and analysis data

Analysis method:	NCEER (1998)	G.W.T. (in-situ):	1.10 m	Use fill:	No	Clay like behavior	
Fines correction method:	NCEER (1998)	G.W.T. (earthq.):	1.10 m	Fill height:	N/A	applied:	Sands only
Points to test:	Based on Ic value	Average results interval:	3	Fill weight:	N/A	Limit depth applied:	Yes
Earthquake magnitude M_w :	6.14	Ic cut-off value:	2.60	Trans. detect. applied:	Yes	Limit depth:	20.00 m
Peak ground acceleration:	0.13	Unit weight calculation:	Based on SBT	K_σ applied:	Yes	MSF method:	Method based



038027P186

In **Tabella 7.1** sono sintetizzati i risultati dell'indice del potenziale di liquefazione ottenuto per le indagini considerate ed in **Tabella 7.2** la classificazione di Somnez con la classificazione potenziale di liquefazione; nella stessa tabella vengono anche esposti i valori di IPL calcolati con il metodo di Boulanger & Idriss 2014, a titolo comparativo, ove il C_{FC} è stato assunto uguale a zero (assunzione non prevista dagli autori, ma dalla D.G.R. 2193/2015).

PROVE	ACCELERAZIONE P.G.A.	FALDA (m da p.c.)	NCEER I _{P.L.}	B&I 2014 I _{P.L.}
038027P361	0,17g	2,00	1,76	8,61
038027P362	0,17g	2,00	0,06	0,13
038027P363	0,16g	1,30	0,82	3,81
038027P364	0,16g	1,60	0,49	4,12
038027P365	0,16g	2,50	0,82	4,06
038027P366	0,15g	0,90	2,48	4,74
038027P367	0,14g	2,60	0,17	2,47
038027P368	0,13g	1,80	0,11	0,51
038027P369	0,13g	2,60	0,00	0,02
038027P370	0,13g	1,80	0,02	0,31
038027P371	0,14g	2,00	0,00	0,14
038027P201	0,16g	1,80	7,45	17,06
038027P202	0,16g	1,80	8,08	13,00
038027P203	0,16g	1,50	8,54	14,09
038027P204	0,16g	1,60	1,18	6,45
038027P193	0,14g	3,00	0,01	0,08
038027P194	0,14g	2,50	0,00	0,02
038027P186	0,13g	1,10	0,38	1,40

Tabella 7.1 – Indice del potenziale di liquefazione

Potenziale Liquefazione I _{PL}	Classificazione
$I_{PL} = 0$	<i>Non liquefacibile</i>
$0 < I_{PL} \leq 2$	<i>Basso</i>
$2 < I_{PL} \leq 5$	<i>Moderato</i>
$5 < I_{PL} \leq 15$	<i>Alto</i>
$I_{PL} \geq 15$	<i>Molto Alto</i>

Tabella 7.2 – Classificazione indice potenziale liquefazione

8. ELABORATI CARTOGRAFICI

Le carte tematiche realizzate in questo studio sono state redatte in base al D.G.R. 2193/2015 e agli standard di rappresentazione e archiviazione informatica - Microzonazione sismica - Versione 4.0b.

La cartografia tecnica di base per questo studio è stata reperita dal Geo-Portale della Regione Emilia Romagna.

I limiti comunali digitalizzati nelle carte sono stati reperiti dal Geo-Portale della Regione Emilia Romagna mentre i perimetri urbani e gli ambiti di espansione sono stati digitalizzati sulla base dei dati presenti nel piano strutturale comunale PSC forniti dal responsabile dell'urbanistica - edilizia privata dall'amministrazione comunale. Questi perimetri non comprendono una piccola area caratterizzata dall'asilo nido denominato "Consorzio Migliarino Ostellato - Struttura Zerosei", ritenuto strategico ai fini della protezione civile. Questa area verrà caratterizzata nella Relazione Illustrativa nei capitoli dedicati alle carte tematiche della microzonazione sismica del comune di Fiscaglia.

I dati vettoriali e raster rappresentati nella cartografia realizzata sono definiti e proiettati nel sistema di riferimento WGS84 UTM33N.

8.1. CARTA DELLE INDAGINI

La Carta delle indagini viene riprodotta in scala 1:10.000 ed è focalizzata sui soli centri abitati del comune.




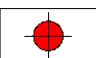
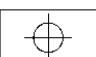
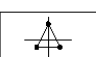
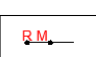
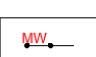

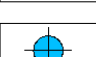
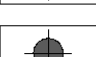
In questa carta sono rappresentate tutte le indagini presenti nel territorio comunale di Fiscaglia, sia quelle della banca dati dello scrivente, sia quelle reperite dalla banca dati della Regione Emilia Romagna.

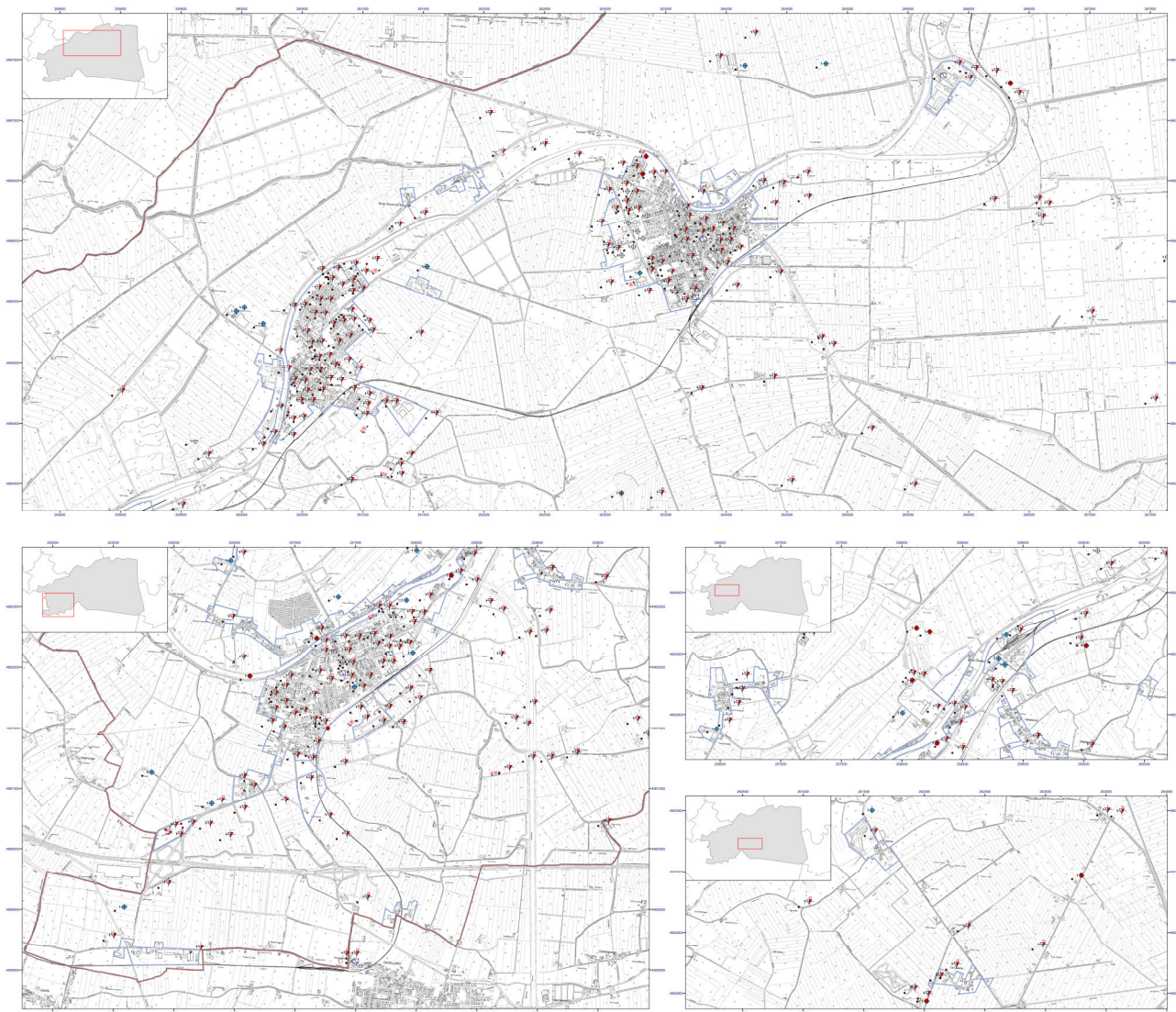
In aggiunta alle indagini reperite dai due archivi sono state realizzate nuove indagini geognostiche e geofisiche a ridosso degli edifici strategici e nelle aree strategiche del Piano di Protezione Civile del comune di Fiscaglia, come da proposta metodologica di contratto. Le nuove indagini sono nello specifico 7 prove penetrometriche statiche con punta elettrica e piezocono CPTU, 4 prove penetrometriche statiche con punta elettrica e piezocono sismico SCPTU, una prova geofisica profonda ESAC e 11 misure di microtremori a stazione singola HVSR.

Le indagini totali presenti nel territorio risultano essere 427, così suddivise: n. 255 prove penetrometriche statiche CPT, n. 76 prove penetrometriche statiche con punta elettrica e piezocono CPTU, n. 11 prove penetrometriche statiche con punta elettrica con piezocono e sismocono SCPTU, n. 17 sondaggi a carotaggio continuo, n. 12 sondaggi a distruzione di nucleo, n. 3 array sismici ESAC, n. 8 prove geofisiche Re.Mi., n. 1 prova geofisica MASW, n. 13 misure di microtremore a stazione singola Re.Mi., n. 27 pozzi per acqua e n. 4 pozzi per idrocarburi.

Si possiede dunque una discreta conoscenza del territorio comunale soprattutto dei centri abitati dato che la maggior parte delle indagini si concentra in queste aree.

Per ogni indagine realizzata corrisponde una diversa simbologia di rappresentazione, riportata nella legenda della tavola, come richiesto negli standard di rappresentazione e archiviazione informatica - Microzonazione sismica - Versione 4.0b.:

-  Prove penetrometriche statiche a punta meccanica CPT
-  Prove penetrometriche statiche a punta elettrica con piezocono CPTU
-  Prove penetrometriche statiche a punta elettrica con piezocono e sismocono SCPTU
-  Sondaggio a carotaggio continuo
-  Sondaggio a distruzione di nucleo
-  Array sismico, ESAC/SPAC
-  Prova geofisica Refraction Microtremors Re.Mi.
-  Prova geofisica MASW
-  Misure di microtremore a stazione singola (metodo H/V o Nakamura)
-  Pozzo per acqua
-  Pozzo per idrocarburi



8.2. CARTA GEOLOGICO TECNICA

La Carta geologico-tecnica viene riprodotta in scala 1:10.000 ed è focalizzata sui soli centri abitati del comune.

In questa carta vengono suddivise le unità geologico-litotecniche distinte per spessori di minimo 3 m di terreni di copertura. Questa suddivisione è stata fatta sulla base delle unità geomorfologiche presenti nel territorio sovrapposte alle diverse prove geologiche sito-specifiche riportate nella carta delle indagini.

La suddivisione dei diversi litotipi in classi predefinite permette di identificare situazioni geologiche e litostratigrafiche potenzialmente suscettibili di amplificazione locale. Per descrivere la litologia dei terreni è stato utilizzato l'Unified Soil Classification System (leggermente modificato, ASTM, 1985), un sistema di classificazione dei suoli utilizzato sia in ingegneria sia in geologia, che può essere applicato alla maggioranza dei materiali non consolidati ed è composto da una sigla formata da 2 lettere. Indicazioni importanti, soprattutto sulla geometria 2D dei corpi litologici, sono fornite dalle identificazioni degli ambienti genetico-deposizionali.

Nello specifico per questa carta sono state utilizzate le seguenti litologie dei terreni di copertura e i diversi ambienti genetico-deposizionali in cui si sono depositati, come richiesto negli standard di rappresentazione e archiviazione informatica - Microzonazione sismica - Versione 4.0b.:

LITOLOGIE

- SP: sabbie pulite con granulometria poco assortita;
- SM: sabbie limose, miscela di sabbia e limo e limo;
- OL: limi organici, argille limose organiche di bassa plasticità;
- OH: argille organiche di media-alta plasticità, limi organici.

AMBIENTI GENETICO-DEPOSIZIONALI

- es: ambiente fluvio-lacustre, argine/barre/canali;
- pi: ambiente fluvio-lacustre, piana inondabile;
- pa: ambiente fluvio-lacustre, palustre.

Terreni di copertura


SPes	Sabbie pulite con granulometria poco assortita di argine e di canale
SMes	Sabbie limose, miscela di sabbia e limo di argine e di canale
OLpi	Limi organici, argille limose organiche di bassa plasticità di piana innondabile
OHpa	Argille organiche di media-alta plasticità, limi organici di ambiente palustre

Attraverso questa suddivisione è possibile osservare dalla carta come il territorio comunale di Fiscaglia sia così suddiviso: in corrispondenza del paleoalveo del fiume Padoa-Eridano, nella porzione sud-ovest del comune, ci sono sabbie pulite con granulometria poco assortita di ambiente fluvio-lacustre di argine e di canale; in corrispondenza del paleoalveo del fiume Po di Volano e dei paleoalvei minori che si ramificano lungo tutto il territorio ci sono sabbie limose, miscela di sabbia e limo e limo di ambiente fluvio-lacustre di argine e di canale; nella maggior parte delle aree distali, rispetto a queste due importanti unità geologiche, ci sono limi organici, argille limose organiche di bassa plasticità di ambiente fluvio-lacustre di piana inondabile e argille organiche di media-alta plasticità, limi organici di ambiente fluvio-lacustre, palustri.

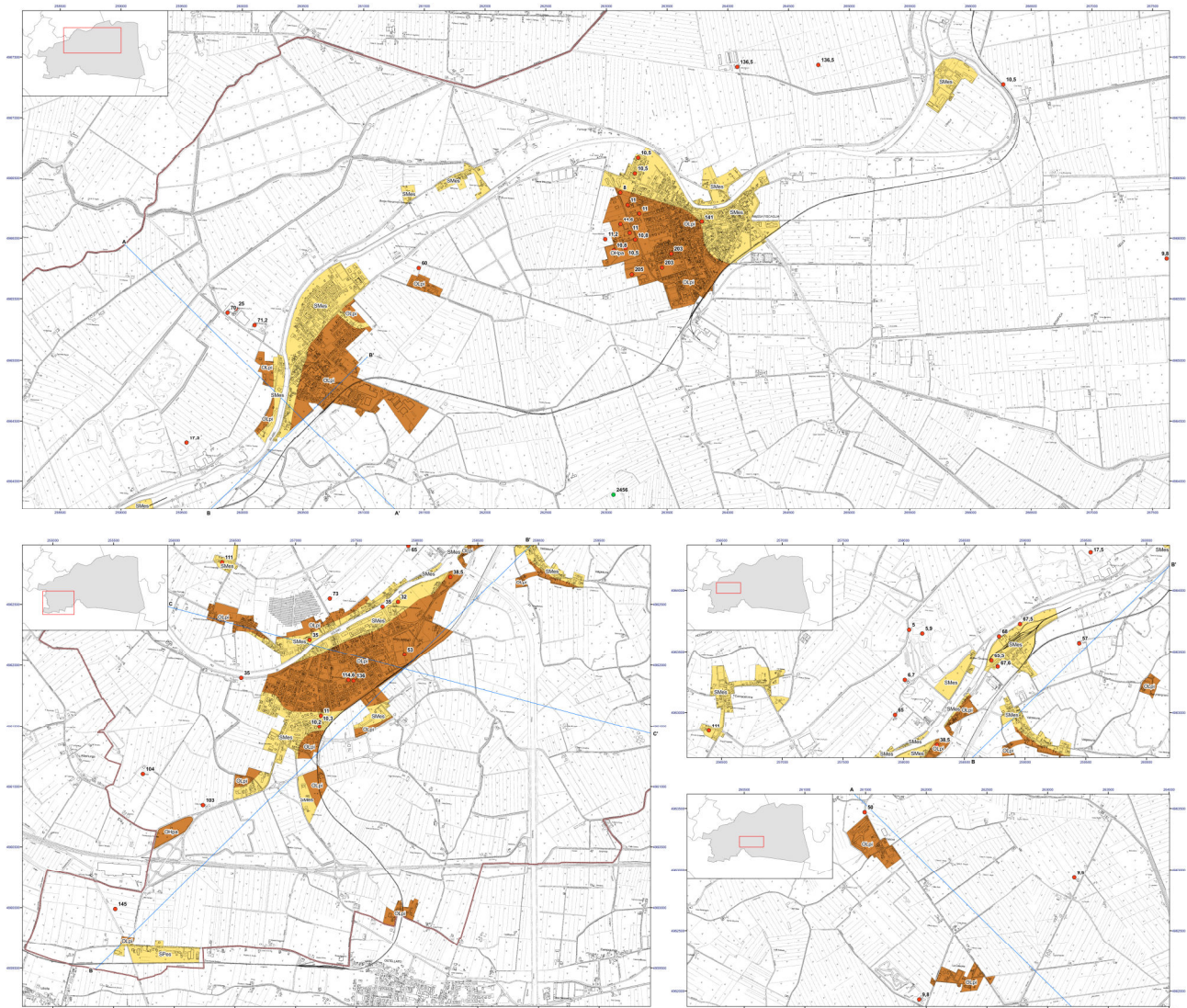
In questa carta vengono inoltre rappresentati gli elementi geologici ed idrogeologici e nello specifico sono riportati tutti i pozzi sia per acqua che per idrocarburi presenti nel territorio con la rispettiva profondità di perforazione e se ha raggiunto o meno il substrato geologico.

La carta geologico-tecnica mostra inoltre le tracce di sezioni geologiche significative e rappresentative del modello del sottosuolo reperite dall'archivio della Regione Emilia Romagna. Le sezioni geologiche profonde reperite sono la A-A', B-B' e C-C'.

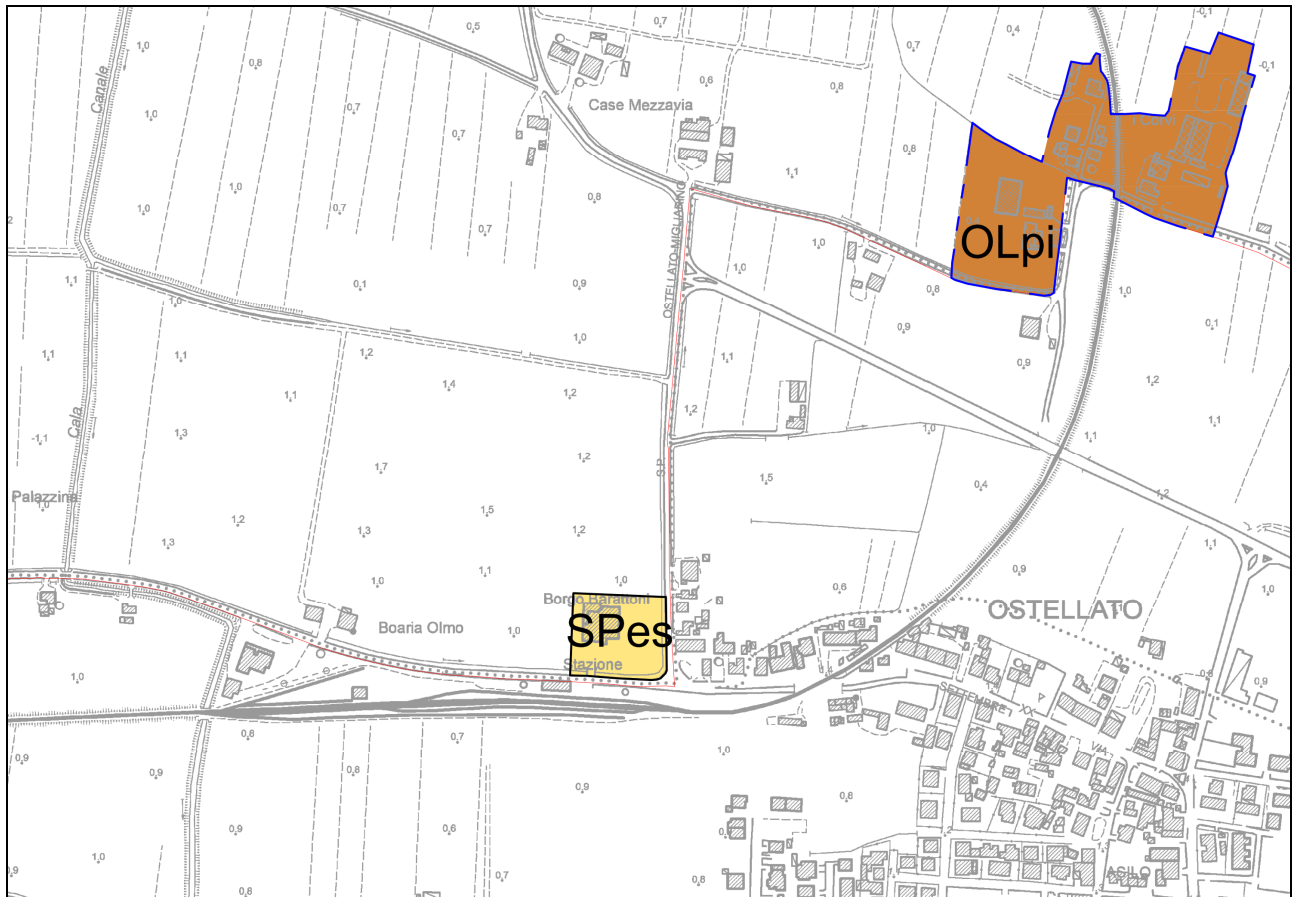
2456
 Pozzo o sondaggio che ha raggiunto il substrato geologico (profondità in m)

50
 Pozzo o sondaggio che non ha raggiunto il substrato geologico (profondità in m)

A **A'**
Elementi geologici e idrogeologici



Si riporta una zoomata dell'area dell'asilo nido denominato “Consorzio Migliarino Ostellato - Struttura Zerosei” in cui è possibile osservare la presenza di sabbie pulite con granulometria poco assortita di argine e di canale (SPes), essendo situato sul paleoalveo del corso del fiume Padoa-Eridano.



8.3. CARTA DELLE FREQUENZE NATURALI f_0 DEL TERRENO

La Carta delle indagini viene riprodotta in scala 1:10.000 ed è focalizzata sui soli centri abitati del comune.

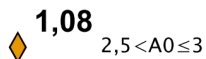
In questa carta sono rappresentate tutte le misure di microtremore a stazione singola presenti nel territorio comunale. Le prove HVSR vengono rappresentate da un simbolo di diverso colore in funzione all'ampiezza massima rilevata con la prova; se minore a 3 di colore bianco se maggiore o uguale a 3 con colore rosso.

Inoltre vengono suddivise le diverse aree in funzione alle classi di frequenza; se la frequenza di risonanza del terreno è minore o uguale a 1Hz oppure se è compresa tra 1 Hz e 2Hz.

Misure di microtremore a stazione singola effettuate per lo studio di Microzonazione Sismica di II livello



Misure di microtremore a stazione singola da archivio



Il colore del simbolo indica differenti classi di ampiezza A_0

Dalla carta emerge che tutto il territorio del comune di Fiscaglia è rappresentato da una frequenza fondamentale superiore ad 1Hz. Generalmente però il substrato rigido è molto profondo, oltre i 300m dal p.c., e ci si dovrebbe aspettare la presenza di fenomeni di risonanza con $F_0 < 0,4$ Hz, mentre quelli misurati compresi tra 1 e 1,26 Hz appartengono a contrasti di rigidezza posti a profondità massime di 100m dal p.c..



8.4. CARTA DELLE MICROZONE OMOGENEE IN PROSPETTIVA SISMICA

La Carta delle Microzone Omogenee in Prospettiva Sismica viene riprodotta in scala 1:10.000 ed è focalizzata sui soli centri abitati del comune.

La Carta delle Microzone Omogenee in Prospettiva Sismica (Carta delle MOPS) è costruita sulla base degli elementi predisponenti alle amplificazioni e alle instabilità sismiche già riportati nella carta geologico tecnica e sulla base delle indagini presenti sul territorio.

In questa carta sono state suddivise le diverse aree in funzione della diversa stratigrafia rilevata con le rispettive prove sito-specifiche e sulla base delle conoscenze geologico-litotecniche acquisite con la carta geologico tecnica.

Sono dunque emerse 5 diverse zone suscettibili di amplificazioni locali rappresentate con un codice differente che va dal 2001 al 2005. La suddivisione fatta è stata basata sulla presenza o assenza di corpi sabbiosi alle diverse profondità di spessori più o meno importanti con terreni di copertura argilloso limosi di origine alluvionale caratterizzati da spessori variabili.

La legenda della Carta delle Microzone Omogenee in Prospettiva Sismica è stata così suddivisa:

- **30502001** porzioni di territorio caratterizzate dalla presenza di paleoalvei importanti sub-affioranti con tetto delle sabbie compreso tra piano campagna e -4,0 metri da piano campagna con spessore maggiore di 6 metri caratterizzato da un addensamento in graduale aumento con la profondità seguito da terreni argilloso limosi e limoso argillosi con lenti di sabbia e sabbia limosa dello spessore variabile più in profondità;
- **30502002** porzioni di territorio immediatamente esterne al paleoalveo principale e interessate dalle divagazioni secondarie del medesimo, caratterizzate da un primo strato di terreni di copertura di 1-4 metri di argille e limi di consistenza media di origine alluvionale, seguito da depositi di paleoalveo secondario, sabbioso e sabbioso limoso, di spessore inferiore a 6 metri, a cui seguono terreni argillosi e argilloso limosi consistenti a cui si possono intervallare banchi sabbiosi e sabbioso limosi di spessore variabile;
- **30502003** porzioni di territorio in transizione tra la zona dei paleoalvei e le piane alluvionali, caratterizzate da un primo intervallo di depositi argilloso limosi e limoso argillosi di consistenza variabile di spessore maggiore di 4 metri, seguito da corpi di paleoalveo minore con spessore del corpo sabbioso minore di 5 metri a cui seguono depositi argilloso limosi e limoso argillosi di consistenza in generale aumento con la profondità alternati a banchi sabbiosi e sabbioso limosi mediamente addensati;
- **2004** porzioni di territorio caratterizzate da un primo intervallo di almeno 15 metri di terreni argilloso limosi e limoso argillosi talvolta di origine organica e torbe caratterizzati da un diverso grado di consistenza da bassa a medio alta all'aumentare della profondità con possibile presenza di corpi lenticolari sabbioso limosi dello spessore decimetrico, seguiti da depositi di paleoalveo minori con tetto delle sabbie e spessore metrico variabile, generalmente moderatamente addensati;
- **2005** porzioni di territorio caratterizzate da terreni in prevalenza argilloso limosi e limoso argillosi a consistenza variabile da bassa a moderata e con presenza variabile di terreni torbosi o argille organiche nei primi 20 metri da piano campagna; talvolta è possibile la presenza di corpi lenticolari dello spessore inferiore al metro di limi sabbiosi e sabbie fini limose.

Zone di attenzione per instabilità

30502001

Presenza di paleoalvei importanti sub-affioranti con tetto delle sabbie compreso tra piano campagna e -4,0 metri da piano campagna con spessore maggiore di 6 metri caratterizzato da un addensamento in graduale aumento con la profondità seguito da terreni argilloso limosi e limoso argillosi con lenti di sabbia e sabbia limosa dello spessore variabile più in profondità.

30502002

Porzioni immediatamente esterne al paleoalveo principale e interessate dalle divagazioni secondarie del medesimo, caratterizzate da un primo strato di terreni di copertura di 1-4 metri di argille e limi di consistenza media di origine alluvionale, seguito da depositi di paleoalveo secondario, sabbioso e sabbioso limoso, di spessore inferiore a 6 metri, a cui seguono terreni argillosi e argilloso limosi consistenti a cui si possono intervallare banchi sabbiosi e sabbioso limosi di spessore variabile

30502003

Porzioni in transizione tra la zona dei paleoalvei e le piane alluvionali, caratterizzate da un primo intervallo di depositi argilloso limosi e limoso argillosi di consistenza variabile di spessore maggiore di 4 metri, seguito da corpi di paleoalveo minore con spessore del corpo sabbioso minore di 5 metri a cui seguono depositi argilloso limosi e limoso argillosi di consistenza in generale aumento con la profondità alternati a banchi sabbiosi e sabbiosi limosi mediamente addensati.

Zone stabili suscettibili di amplificazioni locali

2004

Porzioni caratterizzate da un primo intervallo di almeno 15 metri di terreni argilloso limosi e limoso argillosi talvolta di origine organica e torbe caratterizzati da un diverso grado di consistenza da bassa a medio alta all'aumentare della profondità con possibile presenza di corpi lenticolari sabbioso limosi dello spessore decimetrico, seguiti da depositi di paleoalveo minori con tetto delle sabbie e spessore metrico variabile, generalmente moderatamente addensati.

2005

Porzioni caratterizzate da terreni in prevalenza argilloso limosi e limoso argillosi a consistenza variabile da bassa a moderata e con presenza variabile di terreni torbosi o argille organiche nei primi 20 metri da piano campagna; talvolta è possibile la presenza di corpi lenticolari dello spessore inferiore al metro di limi sabbiosi e sabbie fini limose.

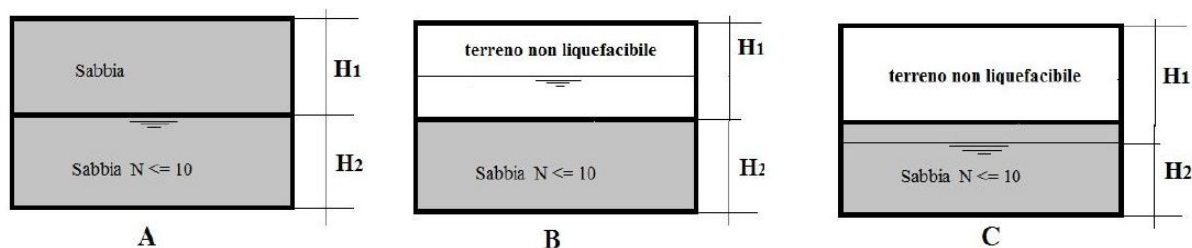
La suddivisione in zone omogenee in prospettiva sismica ha voluto rimarcare questi concetti:

(30502001) Ci sono aree in cui sono presenti depositi sabbiosi olocenici saturi legati ai corpi principali dei paleoalvei che attraversano il territorio comunale, ovvero il paleoalveo del Padoa-Eridano e quello del Po di Volano. Questi sono i più vulnerabili alla liquefazione delle sabbie, per via degli spessori delle sabbie e sabbie limose presenti.

(30502002) Poi vi sono le zone attigue al corpo principale del paleoalveo ove sono presenti paleodivagazioni del fiume principale con depositi sabbiosi di canale o depositi di rotta fluviale con il tetto posto a quote comprese tra -4m ed il p.c.. In questa fascia cominciano a rivestire una certa importanza le coperture alluvionali fini coesive, non liquefacibili.

Perché la scelta di 4m di spessori non liquefacibili come discriminante tra zone 2002 e 2003?

Ishihara (1985), sulla base di numerosi casi analizzati, ha individuato tre situazioni possibili generalizzando il problema come sistema bistrato, strato superiore – strato inferiore, secondo lo schema riportato di seguito.



Secondo l'abaco proposto in **FIGURA 8.1** è possibile, in base allo spessore dello strato liquefacibile, e alla accelerazione, risalire allo spessore dello strato non liquefacibile necessario affinché non si abbiano ripercussioni in superficie per i sottostanti fenomeni di liquefazione.

Per accelerazioni massime di 0,2g (difficilmente raggiungibili in questo comune), e non per tempi di ritorno di 475 anni, si constata che già con 3 m di spessore di terreni non liquefacibili sovrastanti, possono esserci più metri di sabbie liquefacibili, senza che si abbiano significative ripercussioni in superficie. Conservativamente si aumenta a 4m questo spessore e lo si usa come discriminante per la suddivisione delle zone omogenee in prospettiva sismica.

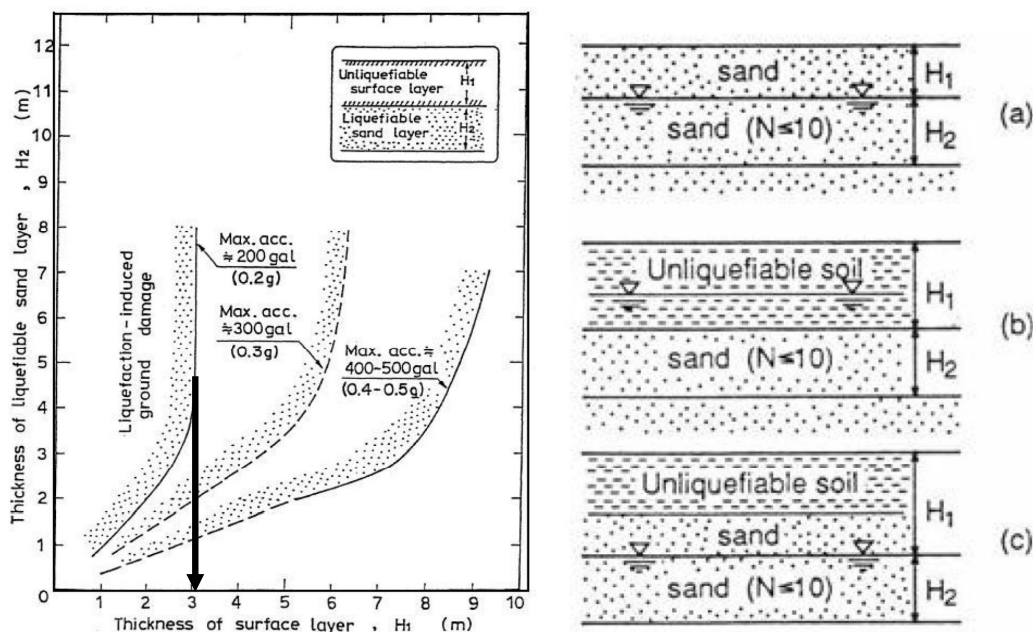


Figure 1. Proposed boundary curves for surface manifestation of liquefaction induced damage (Ishihara, 1985)

FIGURA 8.1 – Abaco per la stima dello spessore di terreno non liquefacibile necessario per non avere ricadute significative in superficie.

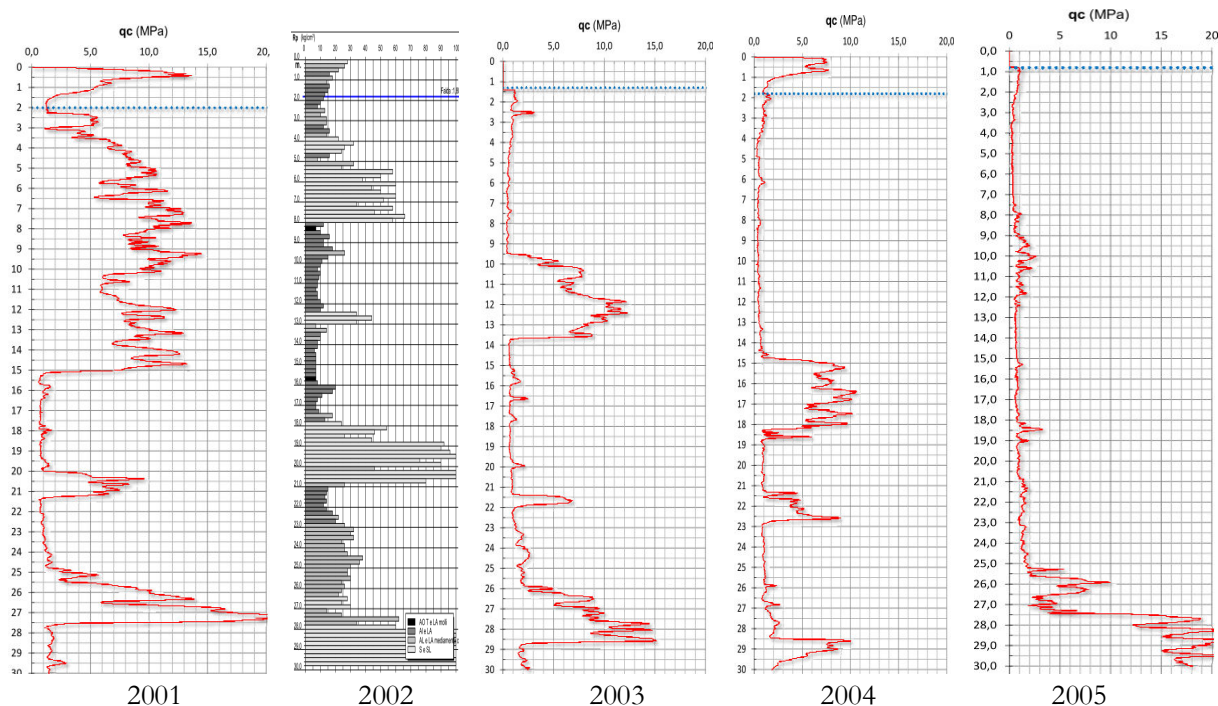
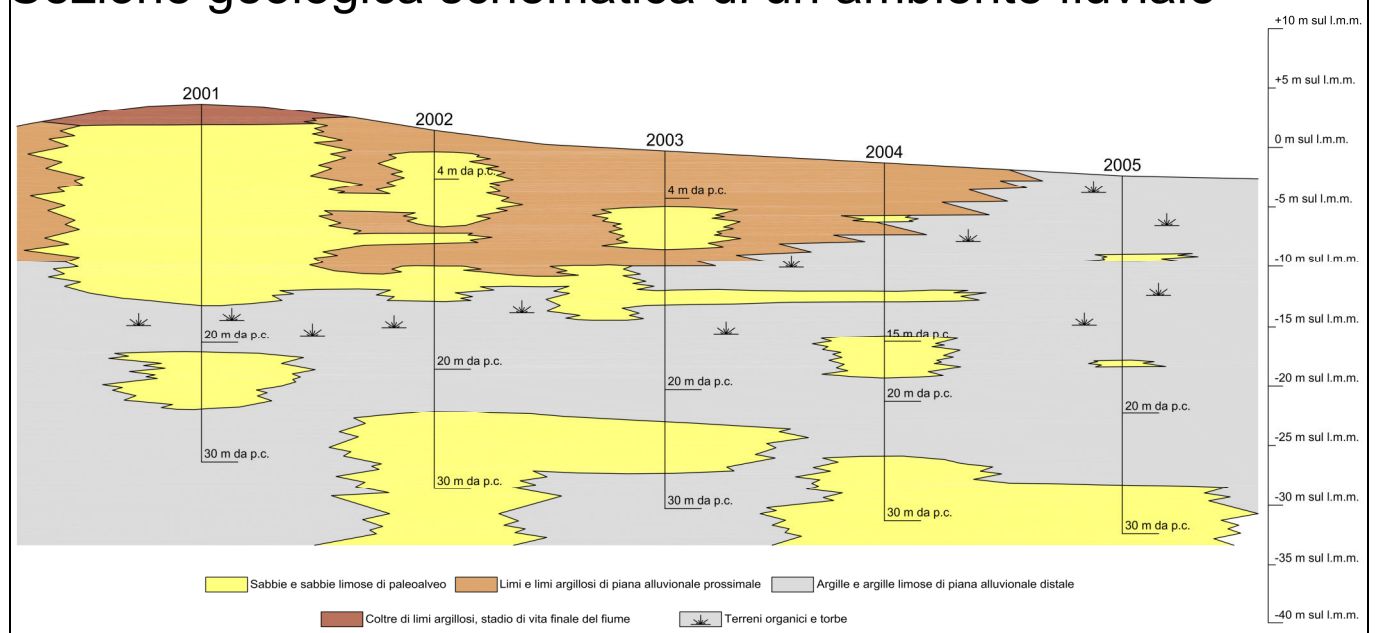
Meriterebbe un adeguato studio e ricerca la caratterizzazione dello strato non liquefacibile sovrastante quello liquefacibile. In particolare laddove si hanno terreni con buone coesioni non drenate la protezione è maggiore rispetto a dove i sedimenti hanno bassa resistenza al taglio in condizioni non drenate. Ci sono aree nel comune di Fiscaglia in cui sono presenti sedimenti organici di deposizione palustre con coesioni non drenate bassissime, umidità naturale vicina al limite liquido, che non offrono certamente resistenza alle spinte dovute alla sovrappressioni interstiziali provenienti da sottostanti livelli sabbiosi, per cui avere tre metri di questi sedimenti sopra le sabbie liquefacibili difficilmente porta ad un vantaggio concreto. In altri casi invece, ove le coperture hanno buoni valori di coesione non drenata, le teorie di Ishihara (1985) possono essere giudicate "fondate" ed applicabili.

(30502003) Allontanandosi dal paleoalveo principale, in zone sempre raggiunte dalle alluvioni del fiume, possono essere presenti paleoalvei minori il cui tetto è posto a profondità maggiori di -4m dal p.c. e generalmente hanno spessore minore. Le ripercussioni in superfici di eventuali liquefazioni delle sabbie sottostanti diventa meno significative. Rimane comunque l'incertezza per certi tipi di coperture costituite da fanghi limosi molli con umidità naturale più vicino al limite liquido e basse resistente al taglio, per cui non si escludono possibilità di danni in superficie.

(2004) In posizione distale rispetto ai paleoalvei principali vi sono pianie alluvionali dove nei primi 15m non sono presenti depositi sabbiosi con spessori significativi. Mentre la liquefazione è un effetto di sito potenzialmente atteso, di fatto non sono attesi danni dipendenti da esso in superficie. In questa fascia cominciano a sovrapporsi sedimenti alluvionali distali trasportati dalle alluvioni con sedimenti palustri di natura spesso organica. I piani campagna sono topograficamente più bassi per via della subsidenza differenziata. In questo caso gli spessori di sedimenti non liquefacibili al di sopra dei liquefacibili profondi, dovrebbero tutelare con buona certezza dalle manifestazioni in superficie che possano arrecare danni alle strutture a causa della liquefazione.

(2005) In questa fascia dominano i sedimenti limoso argillosi organici di ambiente palustre. Eventuali strati sabbiosi sono molto profondi, oltre -20m dal p.c..

Sezione geologica schematica di un ambiente fluviale

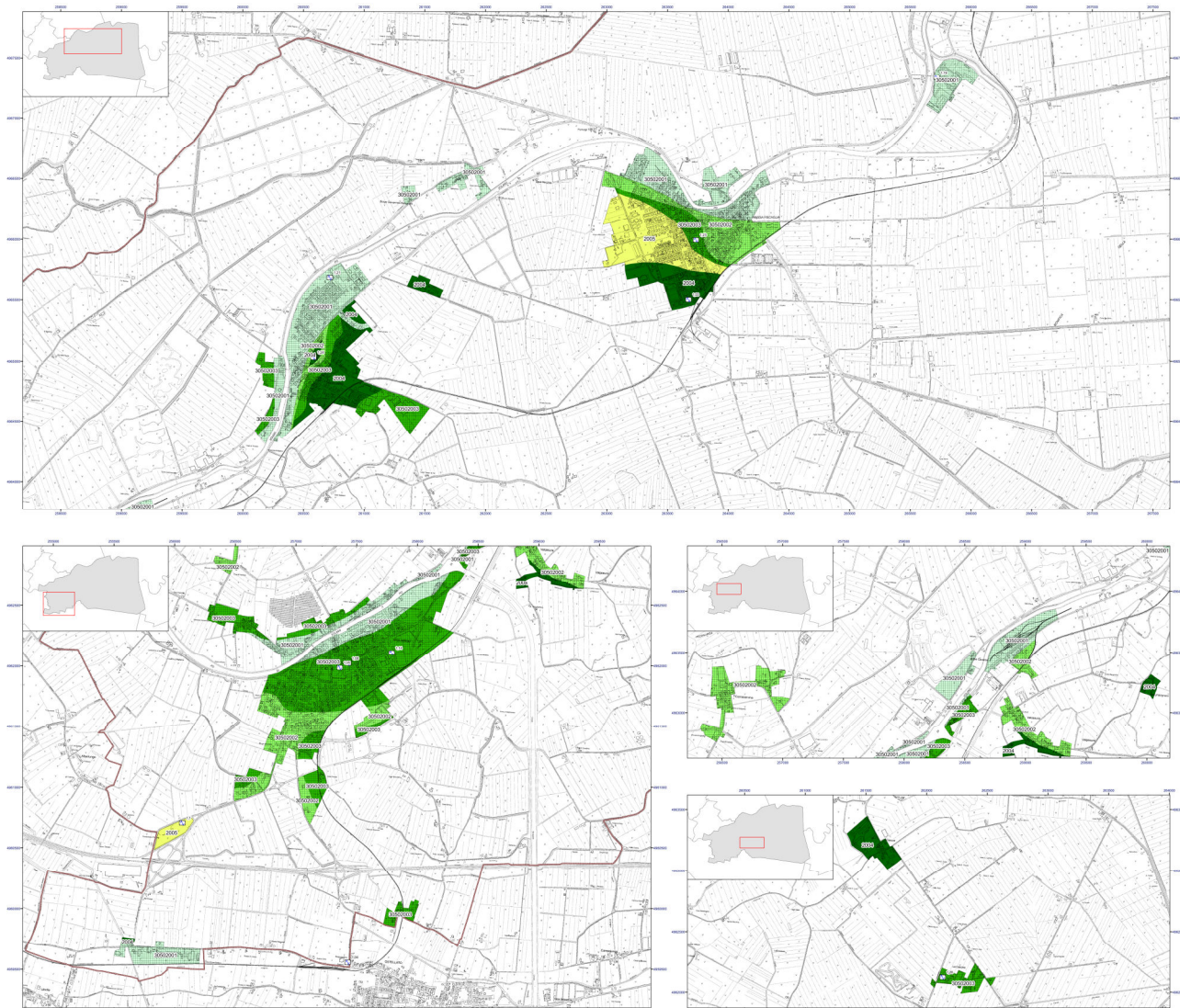


Nella stessa carta delle MOPS sono state identificate tutte quelle zone di attenzione che, per presenza di sabbia nei primi 20 m da p.c., risultano esserci sabbie potenzialmente liquefacibili.

Le zone di attenzione per liquefazione, identificate con il codice ZA LQ, sono quelle nelle quali gli studi di micro zonazione sismica di primo livello hanno verificato l'esistenza di 4 condizioni predisponenti (AGI, 2008):

1. terreni sabbiosi
2. falda a profondità inferiore a 15m
3. Mw attesa al sito >5
4. Accelerazioni massime in superficie (PGA) >0.1g.

Nello specifico le zone di attenzione per fenomeni di potenziale liquefazione, per via della stratigrafia con presenza di banchi sabbiosi, sono tutte quelle aree della carta caratterizzate dalle zone suscettibili di amplificazione locali con il codice 30502001, 30502002 e 30502003.



Si riporta una zoomata dell'area dell'asilo nido denominato "Consorzio Migliarino Ostellato - Struttura Zerosei" in cui è possibile osservare la presenza di paleoalvei importanti sub-affioranti con tetto delle sabbie compreso tra piano campagna e -4,0 metri da piano campagna con spessore maggiore di 6 metri caratterizzato da un addensamento in graduale aumento con la profondità seguito da terreni argilloso limosi e limoso argillosi con lenti di sabbia e sabbia limosa dello spessore variabile più in profondità (30502001).

8.5. CARTA DELLE VELOCITÀ DELLE ONDE DI TAGLIO S (Vs)

La Carta delle velocità delle onde di taglio S (Vs) viene riprodotta in scala 1:10.000 ed è focalizzata sui soli centri abitati del comune.

In questa carta vengono riportati i valori di Vs30 ricavati attraverso correlazione empiriche con le prove penetrometriche statiche, valori diretti mediante sismocono e indagini geofisiche a multi-stazione.

Tutte le indagini profonde presenti nel territorio comunale sono dunque caratterizzate dal valore di Vs30 riportato affianco alla prova.

Il parametro Vs30 rappresenta la media ponderata dei valori delle velocità dell'onda di taglio "S" nei primi 30 m di sottosuolo indagato, matematicamente espressa da (eq. 1):

$$V_{s30} = \frac{30}{\sum \frac{h_i}{v_i}}$$

dove,

Vs30 : velocità media ponderata delle onde di taglio "S",

hi : spessore dello strato iesimo,

Vi : velocità delle onde di taglio "S" nello strato iesimo.

I valori di Vs30 sono stati calcolati in diversi modi:

- Correlazione empirica da penetrometrie;
- Misure dirette mediante sismocono;
- Prove geofisiche

Correlazione empirica da penetrometrie

Il metodo più frequentemente utilizzato è quello da correlazione empirica con le prove penetrometriche statiche.

Dapprima vi è una suddivisione tra le prove svolte dallo scrivente e quelle estrapolate dall'archivio della Regione Emilia Romagna.

In letteratura esistono numerose correlazioni empiriche tra le misure di qc e di Vs30 anche se il livello deformativo indotto nel terreno dalla penetrazione della punta penetrometrica provoca la rottura del materiale mentre le onde di taglio si propagano senza intaccare la struttura del terreno in condizioni di deformazioni praticamente elastiche. La correlazione utilizzata è stata proposta da Andrus et al. (2001) ed utilizza valori di qc e di Vs30 normalizzati rispetto allo stato tensionale, in questa formula non viene tenuto conto dell'attrito laterale fs e viene introdotto un coefficiente correttivo per l'età del deposito che viene indicato con ASF.

Questo coefficiente viene utilizzato per tenere conto delle diverse caratteristiche di deformabilità e tessitura dei terreni risalenti al periodo Pleistocenico rispetto ai più recenti depositi Olocenici.

La correlazione è la seguente:

$$V_{S1} = ASF \cdot A \cdot (q_{c1N})^\alpha$$

dove:

$$q_{c1N} = \left(\frac{q_c}{p_a} \right) \left(\frac{p_a}{\sigma_v} \right)^{0.5}$$

resistenza alla punta normalizzata alla tensione verticale;

$$V_{s1} = V_s \left(\frac{p_a}{\sigma_v} \right)^{0.25}$$

velocità corretta per tenere in conto lo stato tensionale verticale;

ASF per depositi Olocenici = 1 (quali sono i depositi presenti nella pianura ferrarese alle profondità indagate) come suggerito da ANDRUS et al.;

A e α sono coefficienti empirici da calibrare sulla base delle misure di qc e di Vs disponibili;

p_a = pressione atmosferica.

Nella **Tabella 8.1** sono riportati i coefficienti A e α .

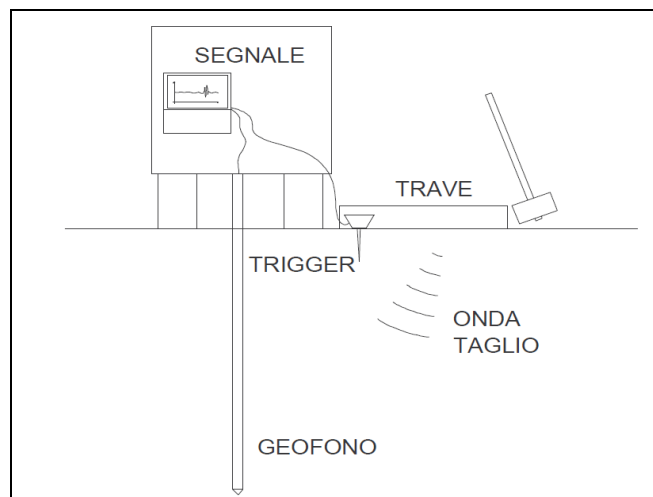
	Argilla	Limo	Sabbia
A	80.64	77.83	53.64
α	0.28	0.24	0.33

Tabella 8.1 – Coefficienti A (m/s) e α

Misure dirette mediante sismocono

La prova consiste nell'inserire sulla punta elettrica della prova penetrometrica statica con punta elettrica dei ricevitori (geofoni) che con opportuna strumentazione e una sorgente di onde in superficie possono essere misurati, a profondità diverse (SCPTU), fino alla profondità di -30,00 m da p.c., i tempi di arrivo delle onde sismiche fra la superficie (sorgente) ed i ricevitori (in profondità), analogamente a quanto avviene con il metodo geofisico cosiddetto “downhole”.

In base ai tempi di arrivo conoscendo la distanza tra la sorgente ed il ricevitore si può calcolare la velocità delle onde sismiche ed in particolare delle onde di taglio (Vs).



Rappresentazione grafica della prova penetrometrica con piezocono sismico

Indagini geofisiche

Le tecniche geofisiche comunemente utilizzate per la determinazione di tale parametro sono essenzialmente di tre tipi:

- prove in foro singolo (Down-Hole) o doppio (Cross-Hole),
- sismica di superficie (rifrazione e riflessione) con energizzazione di onde polarizzate (SH),
- tecniche mediante onde superficiali “R” e “L” (SASW, MASW e Microtremori Re.Mi., SPAC, MSPAC ed ESAC).

Le prime richiedono l'esecuzione di un sondaggio per permettere la determinazione del parametro. Le seconde, più costose, forniscono risultati di elevata qualità ma sono facilmente influenzate da rumori antropici che ne degradano le caratteristiche. Le ultime sono realizzate, ad eccezione della tecnica SASW, con procedure operative simili a quelle impiegate nella sismica a rifrazione.

Le prove geofisiche adottate in questo studio appartengono alla terza categoria e vengono caratterizzate con applicazione della tecnica dei microtremori (Autocorrelazione Spaziale Migliorato "ESAC") che permette di ottenere con minor costo di processo il profilo verticale della velocità media delle onde di taglio "S" e contemporaneamente di raggiungere profondità superiori a 30 m favorendo in alcuni casi il raggiungimento del bedrock sismico - così come definito dalla normativa ($V_s > 800$ m/s) - coadiuvando contemporaneamente l'interpretazione delle eventuali variazioni di rigidità sismica ($VS2 \times \rho$) dei terreni investigati.

Attraverso l'analisi delle onde superficiali "tipo Rayleigh R", che costituiscono un particolare tipo di onde superficiali trasmesse sulla superficie libera di un mezzo omogeneo ed isotropo, si ricava indirettamente la velocità delle onde di taglio "S" secondo l'equazione

$$V_R = \left(\frac{0.862 + 1.14\nu}{1 + \nu} \right) \times V_S$$

Dove:

$V_R \cong 0.92 V_S$

V_R : velocità di fase dell'onde Rayleigh

V_S : velocità di propagazione dell'onda di taglio

ρ : rapporto di Poisson

L'analisi delle tracce sismiche registrate è consistita nell'applicazione di una trasformata bi-dimensionale di tipo p - f (p =slowness "1/velocità" - f =frequenza "Hz"/McMechan e Yedlin, 1981) che analizza la variazione nel tempo dell'energia di propagazione del segnale sismico lungo tutte le direzioni rispetto alla linea sismica. Il risultato di tale analisi rappresenta il cosiddetto spettro di potenza da cui si ottiene in prima battuta la curva di dispersione sperimentale delle onde "R" e successivamente, attraverso una procedura di modellazione numerica, la determinazione delle velocità delle onde di taglio "S".

Le indagini geofisiche utilizzate per la determinazione dei valori di V_{s30} sono caratterizzate da una tecnica chiamata dei microtremori mediante la quale vengono registrate onde passive di sottofondo attraverso uno stendimento di geofoni lineare equidistanziati.

Le prove geofisiche realizzate permettono di ottenere con minor costo di processo il profilo verticale della velocità media delle onde di taglio "S" e contemporaneamente di raggiungere profondità superiori a 30 m favorendo in alcuni casi il raggiungimento del bedrock - così come definito dalla normativa ($V_s > 800$ m/s) - e l'interpretazione delle eventuali variazioni di rigidità sismica ($VS \times \rho$) dei terreni investigati.

È possibile dunque osservare che nelle zone in cui si hanno stratigrafie caratterizzate da terreni in prevalenza sabbiosi, i valori di V_{s30} sono relativamente alti contraddistinti in alcune zone da valori che superano i 200 m/s; mentre nelle aree in cui la stratigrafia delle prove è caratterizzata da terreni in prevalenza coesivi i valori di V_{s30} sono notevolmente più bassi.



8.6. CARTA DEI FATTORI DI AMPLIFICAZIONE

Le Carte di microzonazione sismica – Valore del fattore di amplificazione $FA_{PGA}=PGA/PGA_0$, Valore del fattore di amplificazione $FA_{SI}=SI/SI_0$, espressi nell'intervallo di periodo prefissati $FA_{0,1-0,5s}$, $FA_{0,5-1,0s}$ e $FA_{0,5-1,5s}$ vengono riprodotte in scala 1:10.000 e sono focalizzate sui soli centri abitati del comune.

In queste carte sono riportati i fattori di amplificazione in termini di accelerazione PGA/PGA_0 e in termini di intensità spettrale (Intensità di Housner) SI/SI_0 del territorio comunale di Fiscaglia.

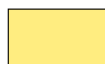
In queste carte vengono evidenziati i fattori predisponenti per i potenziali effetti di sito in condizioni sismiche; vengono dunque caratterizzate tutte le zone del comune in cui si verifica amplificazione sismica.

Dove sussistono le condizioni per cui si possano avere effetti di sito (presenza dei fattori predisponenti), non necessariamente si possono verificare effetti connessi al rischio sismico, se non ci sono eventi sismici di intensità sufficiente (presenza dei fattori scatenanti).

Per la valutazione del fattore di amplificazione sismica si è fatto ricorso al D.G.R. 2193 del 2015 della Regione Emilia Romagna, in cui all'allegato A2 (punti A2.1.2) vengono mostrate le tabelle e le formule che permettono di calcolare i fattori di amplificazione sismica rispetto ad un suolo di riferimento espressi sia in termini di rapporto di accelerazione massima orizzontale (PGA/PGA_0) sia di rapporto di intensità di Housner (SI/SI_0).

Per la realizzazione di questa tavola vengono prese come riferimento le tabelle relative al capitolo A2.1.2 Pianura Padana e costa Adriatica di PIANURA 3.

Zone suscettibili di amplificazioni locali



F.A. $PGA = 1,3$

Zone suscettibili di amplificazioni locali



F.A. $0,1-0,5s = 1,5$

Zone suscettibili di amplificazioni locali



F.A. $0,5-1,0s = 2,3$

Zone suscettibili di amplificazioni locali



F.A. $0,5-1,5s = 2,6$

Nelle stesse carte vengono identificate tutte quelle zone di attenzione per instabilità che, per presenza di amplificazione sismica locale, risultano potenzialmente liquefacibili, in questo caso presenti in tutto il territorio comunale.

Zone di attenzione per instabilità



ZALQ1 – Zona di attenzione per liquefazione tipo 1

In questa carta si osserva come il territorio comunale di Fiscaglia è stato caratterizzato da ambiti di PIANURA 3 per via della presenza di elevati spessori di sedimenti prevalentemente fini e poco consolidati e substrato rigido profondo più di 300 m dal p.c..

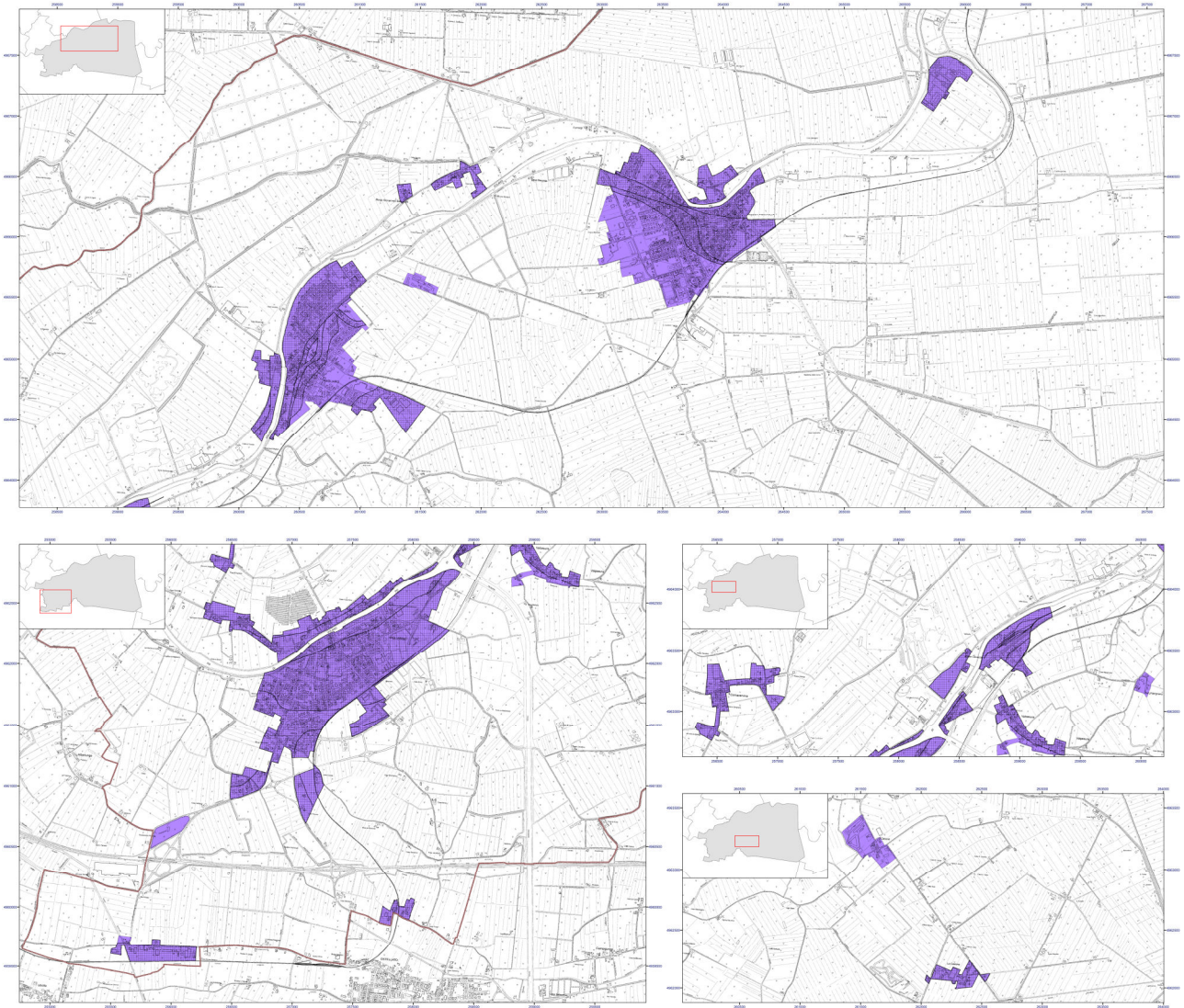
Il territorio comunale è rappresentato generalmente da valori di Vs_{30} comprese tra 140 m/s e 231 m/s e dunque il fattore di amplificazione sismica in termini di accelerazione massima orizzontale (PGA/PGA_0) Fa_{PGA} risulta essere di 1,3, in termini di rapporto di intensità di Housner (SI/SI_0 – tra 0,1s e 0,5s) $Fa_{0,1-0,5s}$ risulta essere di 1,5, in termini di rapporto di intensità di Housner (SI/SI_0 – tra 0,5s e 1,0s) $Fa_{0,5-1,0s}$ risulta essere di 2,3 e in termini di rapporto di intensità di Housner (SI/SI_0 – tra 0,5s e 1,5s) $Fa_{0,5-1,5s}$ risulta pari a 2,6.



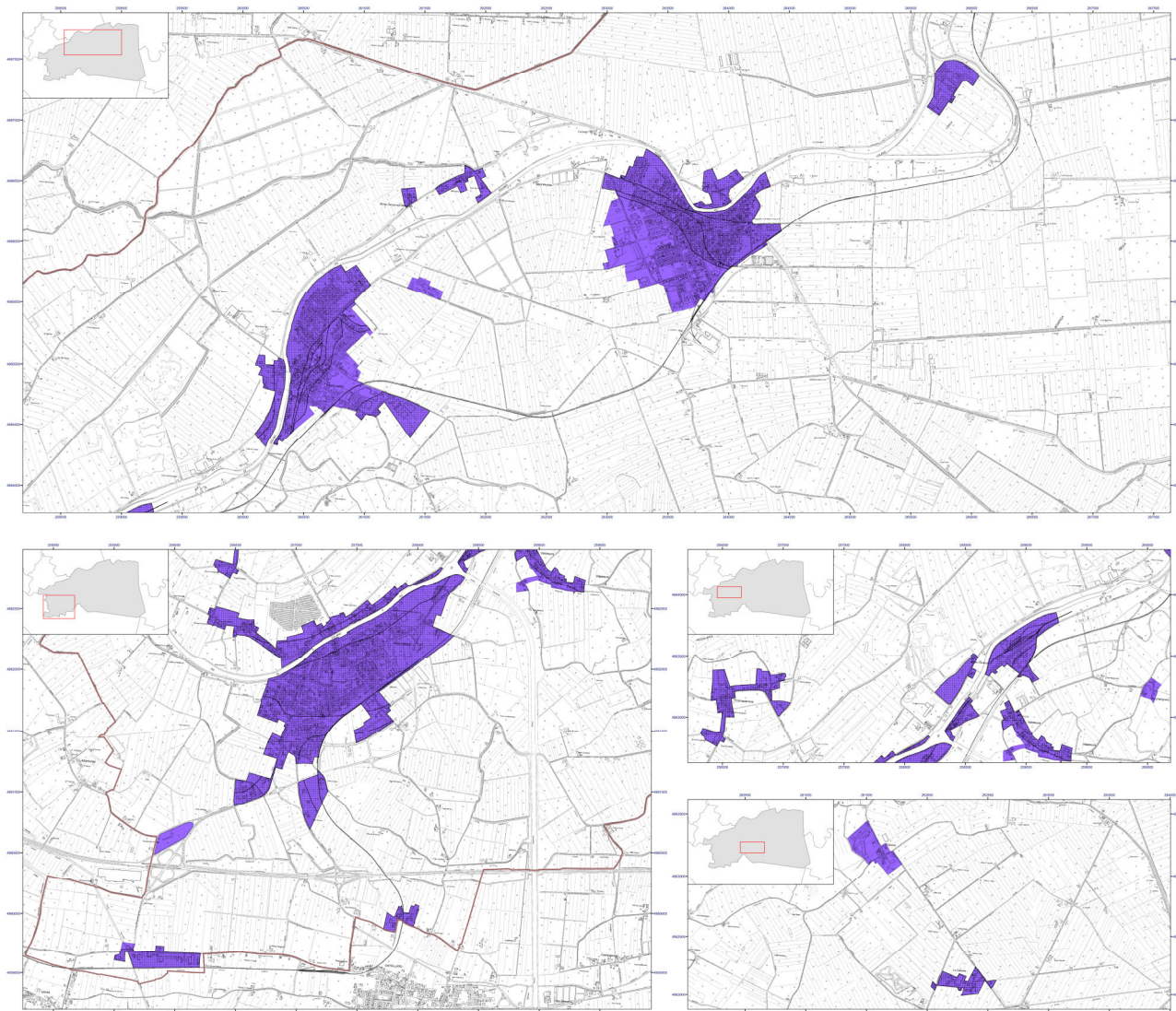
F.A. in termini di accelerazione massima orizzontale ($PGA/PGA0$) F_{apGA}



F.A. in termini di rapporto di intensità di Housner (SI/SI_0 – tra 0,1s e 0,5s).

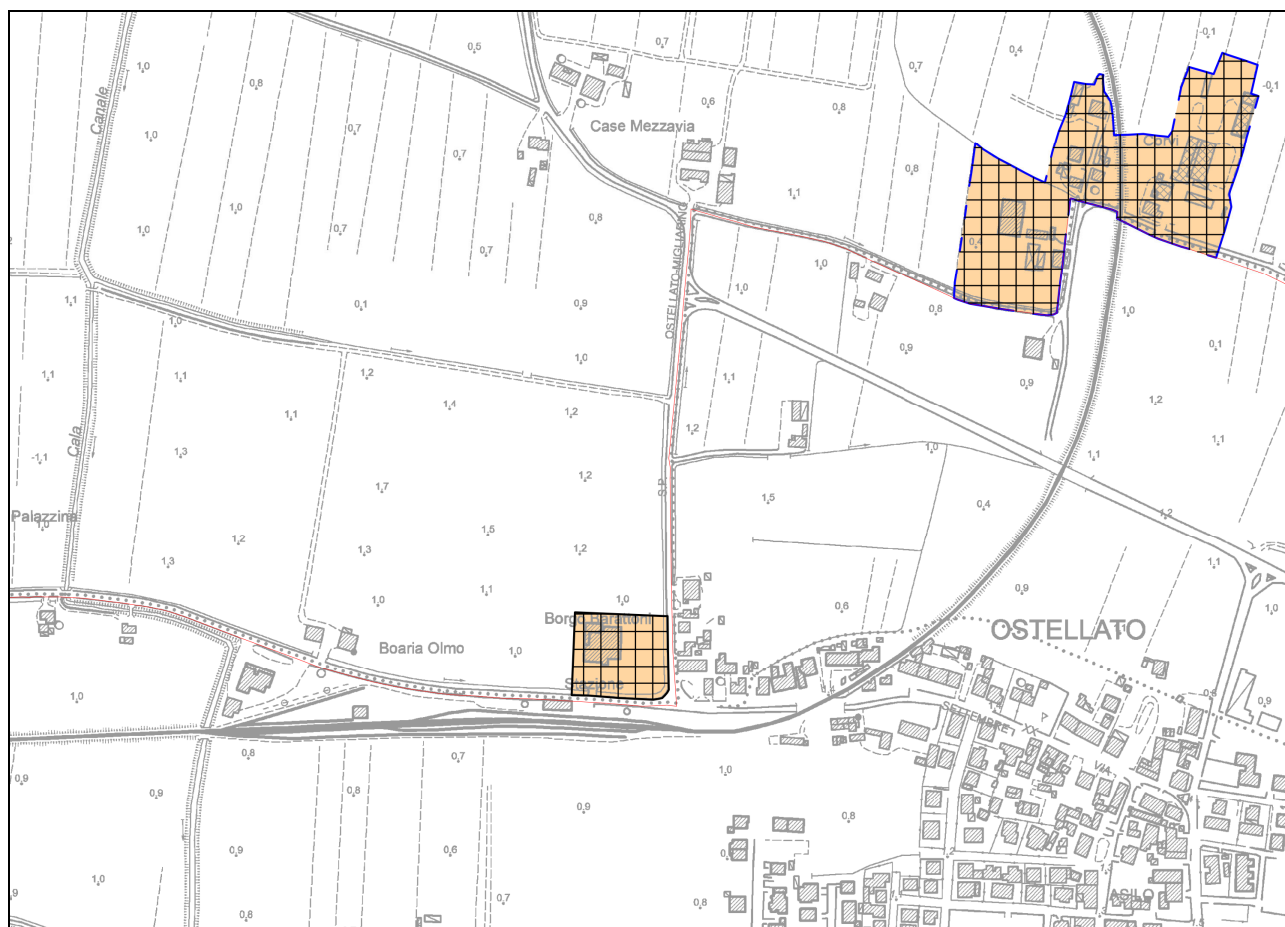
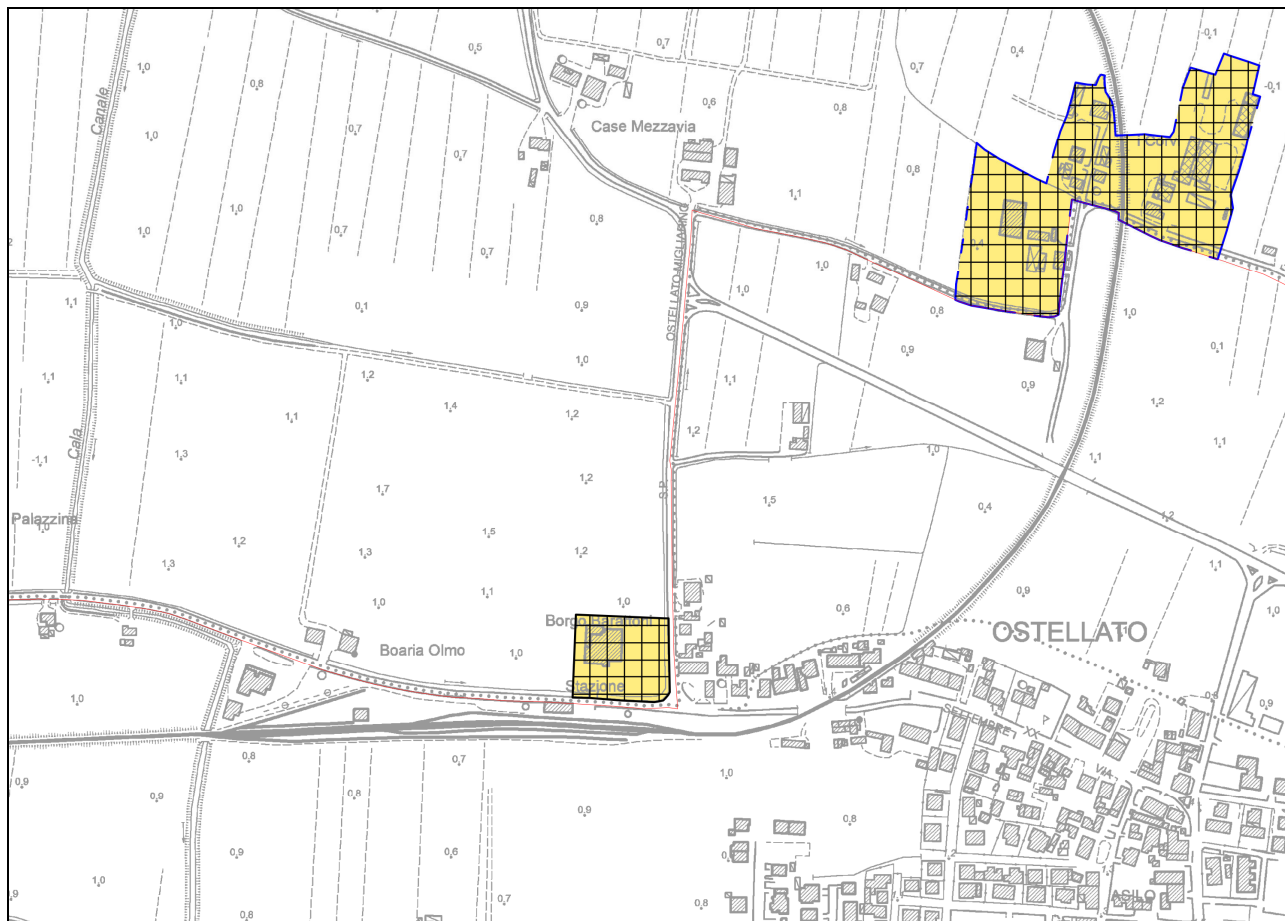


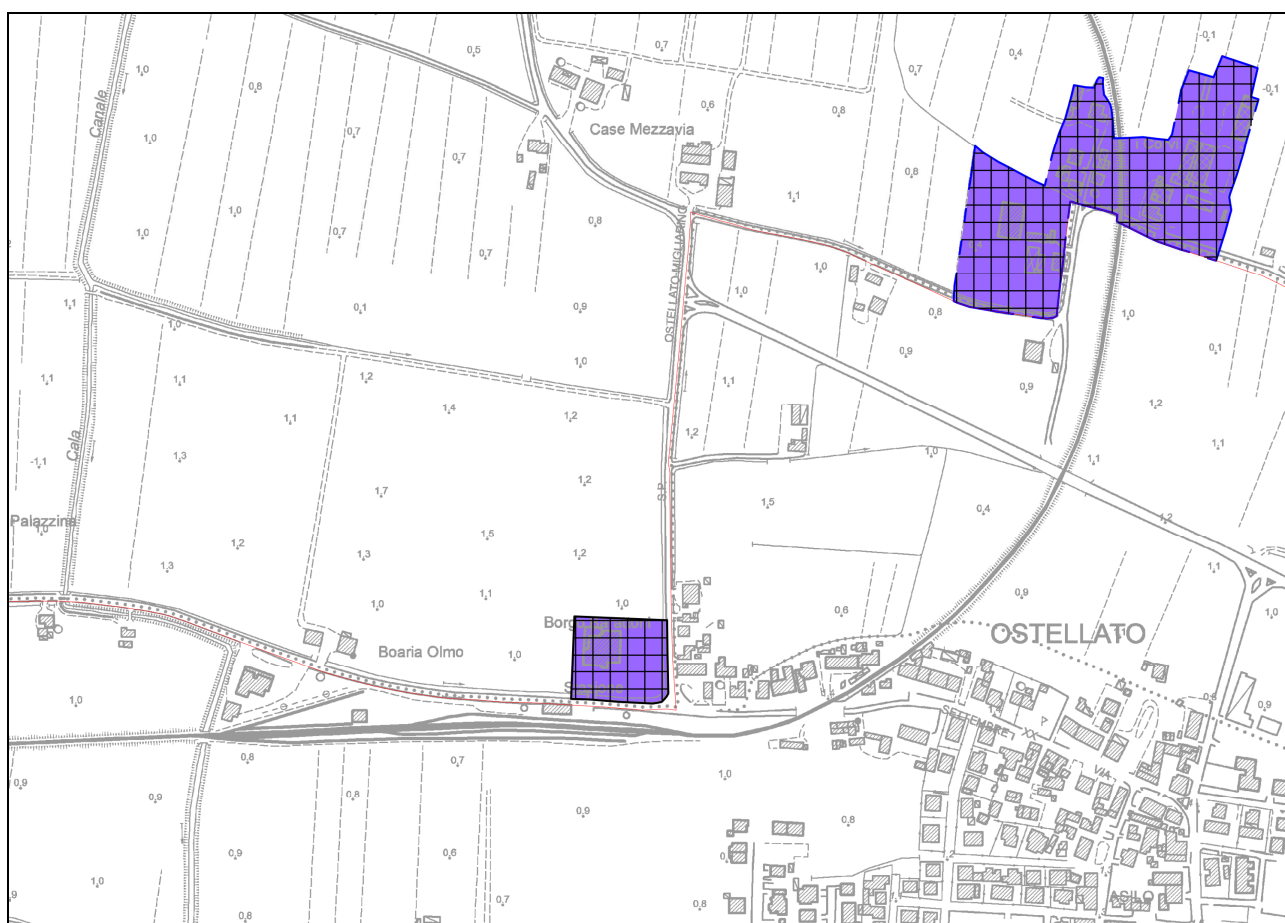
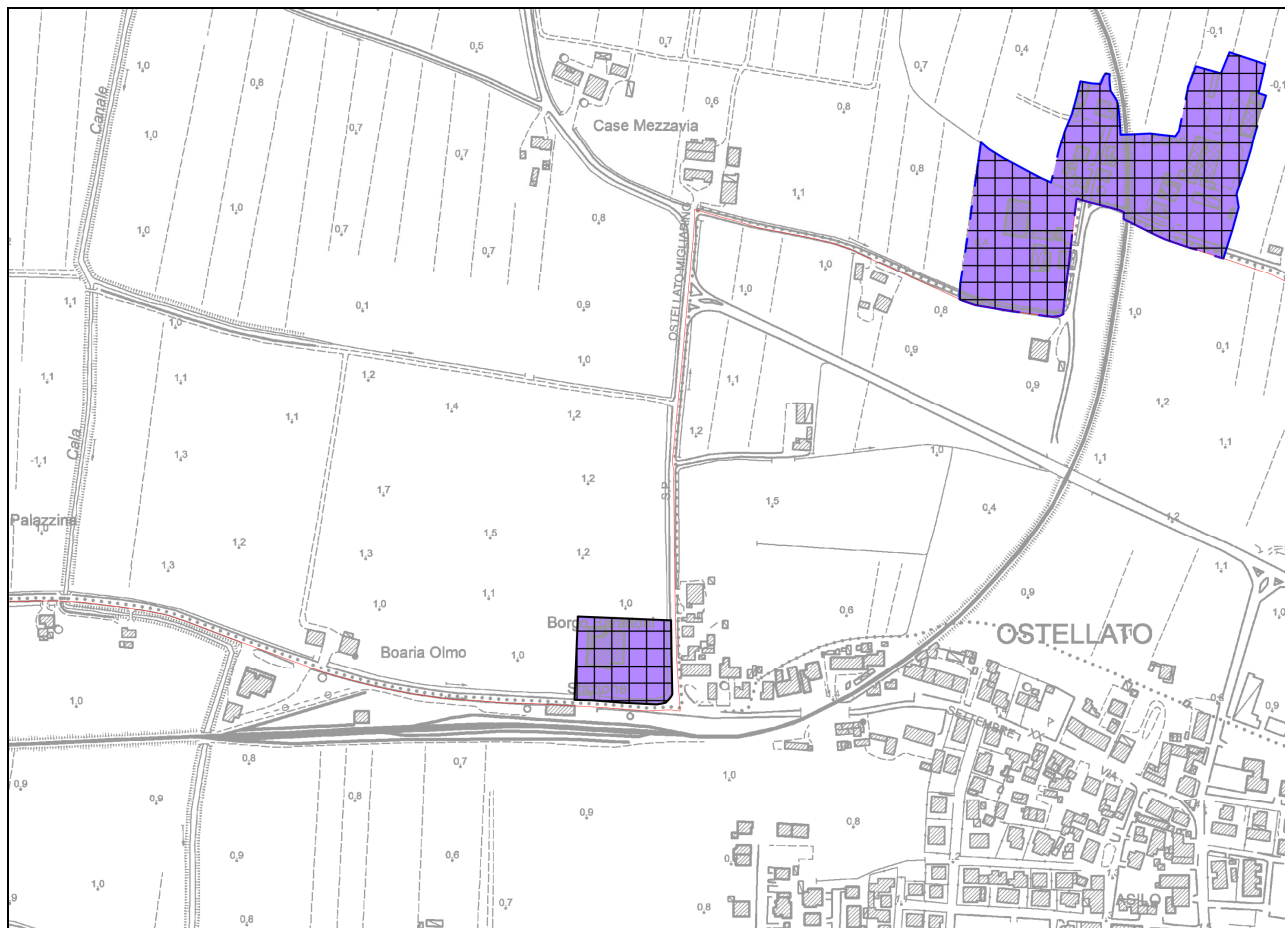
F.A. in termini di rapporto di intensità di Housner (SI/SI_0 – tra 0,5s e 1,0s).



F.A. in termini di rapporto di intensità di Housner (SI/SI_0 – tra 0,5s e 1,5s).

Si riporta una zoomata dell'area dell'asilo nido denominato “Consorzio Migliarino Ostellato - Struttura Zeroisei” in cui è possibile osservare la presenza delle zone suscettibili di amplificazioni locali con i valori del fattore di amplificazione espresso in termini di $FA_{PGA} = PGA/PGA_0$ e con i valori del fattore di amplificazione, in termini di intensità spettrale (Intensità di Housner), di $FA_{SI} = SI/SI_0$, nell'intervallo di periodo prefissati $FA_{0,1-0,5s}$, $FA_{0,5-1,0s}$ e $FA_{0,5-1,5s}$. Nelle stesse zoomate si osserva come quest'area sia caratterizzata da attenzione per instabilità per presenza di liquefazione tipo 1.





9. CONFRONTO CON LA DISTRIBUZIONE DEI DANNI DEGLI EVENTI PASSATI

Nel comune di Fiscaglia non sono documentati danni da eventi sismici passati. Anche in corrispondenza degli eventi del maggio 2012 non sono stati documentati danni che abbiano avuto come conseguenza delle Ordinanze del Sindaco.

10. BIBLIOGRAFIA

- AA.VV., (2011) - Contributi per l'aggiornamento degli "Indirizzi e criteri per la microzonazione sismica". Supplemento alla rivista Ingegneria Sismica Anno XXVIII - n.2.
- Albarello D., Castellaro S., (2011) - Tecniche sismiche passive: indagini a stazione singola. In "Contributi per l'aggiornamento degli Indirizzi e Criteri per la microzonazione sismica", Ingegneria sismica, a. XXVIII, n. 2.
- Amorosi A., (1997a) - Detecting compositional, spatial, and temporal attributes of glaucony: a tool for provenance research. *Sedimentary Geology*, 109: 135-153.
- Amorosi A., (1997b) - Miocene shallow-water deposits of the northern Apennines: A stratigraphic marker across a dominantly turbidite foreland-basin succession. *Geologie en Mijnbouw*, v. 75, p. 295-307.
- Amorosi A. & Farina M., (1995) - Large-scale architecture of a thrust-related alluvial complex from subsurface data: the Quaternary succession of the Po Basin in the Bologna area (Northern Italy). *Giornale di geologia*, 57: 3-16.
- ASTM, (1985) - Classification of Soils for Engineering Purposes. Annual Book of ASTM Standards, D 2487-83, 04.08, American Society for Testing and Materials, 1985, pp. 395-408.
- Bigi G., Cosentino D., Parotto M., Sartori R., Scandone, P., (1990) - Structural model of Italy - Sheet n. 1, in: Castellarin A., Coli M., Dal Piaz G.V., Sartori R., Scandone P., Vai G.B. (Eds.), Structural model of Italy. CNR, Progetto Finalizzato Geodinamica, Roma.
- Boccaletti M., Bonini M., Corti G., Gasperini P., Martelli L., Piccardi L., Tanini C. and Vannucci G., (2004) - Seismotectonic Map of the Emilia-Romagna Region, 1:250.000. Regione Emilia-Romagna - CNR.
- Boccaletti M., Martelli L., (Coords) (2004) - Carta sismo-tettonica della Regione Emilia-Romagna scala 1:250.000 e note illustrative. SELCA, Firenze.
- Bruun P., (1962) - Sea-level rise as a cause of shore erosion. American Society of Civil Engineers Proceedings, Journal of the Waterways and Harbors Division 88, 117-130
- Burrato P., Ciucci F., Valensise G., (2003) - An inventory of river anomalies in the Po Plain, Northern Italy: evidence for active blind thrust faulting. *ANNALS OF GEOPHYSICS* 46.
- Burrato P., Vannoli P., Fracassi U., Basili R., Valensise G., (2012) - Is blind faulting truly invisible Tectonic-controlled drainage evolution in the epicentral area of the May 2012, Emilia-Romagna earthquake sequence (Northern Italy). *ANNALS OF GEOPHYSICS* 55.
- Carta Geologica d'Italia in scala 1:50.000 (2009) - Foglio 187-Codigoro. ISPRA-Servizio Geologico d'Italia - Regione Emilia-Romagna.
- Carta Geologica d'Italia in scala 1:50.000 (2005) - Foglio 199-Parma Sud. ISPRA-Servizio Geologico d'Italia - Regione Emilia-Romagna.
- Carta Geologica d'Italia in scala 1:50.000 (2009) - Foglio 203-Poggio Renatico. ISPRA-Servizio Geologico d'Italia - Regione Emilia-Romagna.
- Carta Geologica d'Italia in scala 1:50.000 (2009) - Foglio 204-Portomaggiore. ISPRA-Servizio Geologico d'Italia - Regione Emilia-Romagna.
- Carta Geologica d'Italia in scala 1:50.000 (2009) - Foglio 205-Comacchio. ISPRA-Servizio Geologico d'Italia - Regione Emilia-Romagna.
- Carta Geologica d'Italia in scala 1:50.000 (2009) - Foglio 202-San Giovanni in Persiceto. ISPRA - Servizio Geologico d'Italia - Regione Emilia-Romagna.
- Carta Geologica d'Italia in scala 1:50.000 (2005) - Foglio 240-241 Forlì-Cervia. APAT-Servizio Geologico d'Italia - Regione Emilia-Romagna.
- Castellaro S., (2012) - H/V: un contributo oltre Vs30. Tecniche speditive per la stima dell'amplificazione sismica e della dinamica degli edifici, a cura di Marco Mucciarelli, ARACNE editrice, 448 pp.
- Castellaro S. e Mulargia F., (2011) - Seismic soil classification from a different perspective. Annual meeting of the Seismological Society of America, Memphis (Tennessee, USA), Apr. 13-15.
- Castello B., Selvaggi G., Chiarabba C., Amato A., (2006) - CSI Catalogo della sismicità italiana 1981-2002, versione 1.1. INGV-CNT, Roma. <http://csi.rm.ingv.it>

- Cerrina Feroni A., Ottria G., Martinelli P., Martelli L., Catanzariti R., (2002) - Carta geologico-strutturale dell'Appennino Emiliano-Romagnolo, 1:250.000. SELCA, Firenze.
- Commissione tecnica MS3907, (2014) - Standard di rappresentazione e archiviazione informatica degli studi di MS vers. 3.0.
http://www.protezionecivile.gov.it/resources/cms/documents/StandardMS_3.0_open.pdf.
- Correggiari A., Field M.E., Bortoluzzi G., Ligi M., and Penitenti D., (1992b) - Ridge and swale morphology on the North Adriatic epicontinental shelf. *Rapport CIESM* 33:125.
- D.A.L. Regione Emilia-Romagna n. 112 del 02 febbraio 2007 - Atto di indirizzo e coordinamento tecnico ai sensi dell'art. 16, c. 1, della LR 20/2000 per Indirizzi per gli studi di microzonazione sismica in Emilia-Romagna per la pianificazione territoriale e urbanistica. *Bollettino Ufficiale della Regione Emilia-Romagna* n. 64 del 17/05/2007.
- D.C.P. Provincia di Ferrara n. 32 del 29/05/2014 - Variante al PTCP della Provincia di Ferrara: ambiti produttivi sovracomunali e sistema infrastrutturale, contenente una Relazione di Quadro Conoscitivo inerente la sismicità in Provincia di Ferrara;
- D.G.R. Emilia-Romagna n. 1919/2013: Approvazione dei criteri per gli studi di microzonazione sismica ed assegnazione dei contributi di cui all'ordinanza del Capo Dipartimento della Protezione Civile n. 52/13 a favore degli Enti locali.
- DISS Working Group, (2015) - Database of Individual Seismogenic Sources (DISS), Version 3.2.0: A compilation of potential sources for earthquakes larger than M 5.5 in Italy and surrounding areas.
<http://diss.rm.ingv.it/diss/>. INGV 2015 - Istituto Nazionale di Geofisica e Vulcanologia.
- Di Dio G. & L. Caporale - "Un modello fisico tridimensionale della conoide alluvionale del Fiume Reno per la gestione degli acquiferi e lo studio della subsidenza." BRIGHENTI G. & MESINI E. (a cura di), *Problemi di Geoingegneria: estrazione di fluidi e subsidenza*, *GEOfluid* 98 (1998): 67-76
- Dominguez J.M.L. & Wanless H.R., (1991) - Facies architecture of a falling sea-level strandplain, Doce river coast, Brazil. In: Swift dip and oertel gf (Eds), *Shelf Sandstone Bodies (special issue)*. *Int Assoc Sedimentol* 14: 259-289.
- Emergeo Working Group, (2013) - Liquefaction phenomena associated with the Emilia earthquake sequence of May-June 2012 (Northern Italy). *Nat. Haz. Earth Syst. Sci.*, 13, 935-947.
- Farabegoli E., Onorevoli G., Ruffino C., Costantini B., (1997) - Subsurface structure of southern Po Plain Quaternary deposits (Ravenna Province, Italy). *Special publication, Bologna University-Agip (Eds.)* 12.
- Galli P., Castenetto S., Peronace E., (2012a) - Terremoti dell'Emilia - Maggio 2012. Rilievo macrosismico MCS speditivo. Rapporto finale. 15 giugno 2012,
<http://www.protezionecivile.gov.it/resources/cms/documents/TerremotoEmiliaMCS.pdf>.
- Galli P., Castenetto S., Peronace E., (2012b) - The MCS macroseismic survey of the Emilia 2012 earthquakes. *Annals of Geophysics* Vol. 55, No 4.
- Gruppo di Lavoro MPS, (2004) - Redazione della mappa di pericolosità sismica prevista dall'Ordinanza PCM 3274 del 20 marzo 2003. Rapporto conclusivo per il DPC, INGV, Milano-Roma, pp 65 + 5 appendici.
- Gruppo di Lavoro MS, (2008) -Indirizzi e Criteri per la Microzonazione Sismica. Conferenza delle Regioni e Province Autonome – Dipartimento della Protezione Civile, Roma, 3 vol. e CD-rom.
http://www.protezionecivile.gov.it/jcms/it/view_pub.wp?contentId=PUB1137.
- Guidoboni E., Ferrari G., Mariotti D., Comastri A., Tarabusi G., Valensise G., (2007) - CFTI4Med, Catalogue of Strong Earthquakes in Italy (461 B.C.-1997) and the Mediterranean Area (760 B.C.-1500). INGV-SGA; <http://storing.ingv.it/cfti4med/>.
- Idriss I. M., Boulanger R. W., (2008) - Soil Liquefaction during earthquakes. MNO-12, Earthquake Engineering Research Institute, 469 pp.
- ISIDe Working Group, (INGV, 2010) - Italian Seismological Instrumental and parametric database.
<http://iside.rm.ingv.it>
- Iwasaki T., Tatsuoka F., Tokida K., Yasuda S., (1978) - A practical method for assessing soil liquefaction potential based on case studies at various sites in Japan". 3rd International conference on microzonation, San Francisco, pp. 885-896.

- Locati M., Camassi R. & Stucchi M. (eds.), (2011) - DBMI11, the 2011 version of the Italian Macro seismic Database. Milano, Bologna, <http://emidius.mi.ingv.it/DBMI11>.
- L.R. Emilia-Romagna n. 19 del 30 ottobre 2008 - Norme per la riduzione del rischio sismico. Bollettino Ufficiale Regione Emilia-Romagna n. 44 del 12 marzo 2010.
- Martelli L., Calabrese L., Ercolessi G., Severi P., Romani M., Tarabusi G., Pileggi D., Rosselli S., Minarelli L., Pergalani F., Compagnoni M., Vannucchi G., Madià C., Facciorusso J., Fioravante V., Giretti D., Mucciarelli M., Priolo E., Laurenzano G., Bramerini F., Speranza E., Conte C., Di Salvo G., Giuffrè M., Zuppiroli M., Guidi F., Vona V., Manicardi A., Mengoli B., Ugoletti C., Ricci L., (2013) - Microzonazione Sismica dell'area epicentrale del terremoto della pianura emiliana del 2012 (Ord. 70/2012). Atti 32° Convegno Nazionale Gngts, Trieste. Isbn: 978-88-902101-7-4.
- Meletti C. & Valensise G. (a cura di), (2004) - Zonazione sismogenetica ZS9 - App.2 al Rapporto conclusivo. Gruppo di lavoro per la redazione della mappa di pericolosità sismica (Ordinanza PCM 3274/2003). Istituto Nazionale di Geofisica e Vulcanologia.
- Mulargia F. e Castellaro S.; 2007: Single station passive seismic stratigraphy to almost 2 km depth, Roma, GNGTS.
- Mucciarelli M. (a cura di), (2012) - Tecniche sismiche per la stima dell'amplificazione sismica e della dinamica degli edifici.
- N.T.C., (2008) - Norme Tecniche per le Costruzioni - DM 14 gennaio 2008. Gazzetta Ufficiale, n. 29 del 4 febbraio 2008, Supplemento Ordinario n. 30, www.cslp.it, Istituto Poligrafico e Zecca dello Stato, Roma.
- O.P.C.M. 3274/2003. Ordinanza del Presidente del Consiglio dei Ministri n. 3274/2003: Primi elementi in materia di criteri generali per la classificazione sismica del territorio nazionale e di normative tecniche per le costruzioni in zona sismica. G.U. n. 155, 08/05/2003, suppl. ord.
- Picotti V., Pazzaglia F.J., (2008) - A new active tectonic model for the construction of the Northern Apennines mountain front near Bologna (Italy). *Journal of Geophysical Research*, 113(B8), pp. 1-24.
- Pieri M. & Groppi G., (1975) - The structure of the base of the Pliocene-Quaternary sequence in the subsurface of the Po and Veneto Plains, the Pedepennine Basin and the Adriatic Sea. *Structural model of Italy*, Quaderni de "La Ricerca Scientifica" 90, 409-415.
- Pieri M. & Groppi G., (1981) - Subsurface geological structure of the Po Plain (Italy). C.N.R., Prog. Fin. Geodinamica, Pubbl., 414, 1-13.
- Regione Emilia-Romagna Ordinanza n. 29 del 28 agosto 2012 - Criteri e modalità di assegnazione di contributi per la riparazione e il ripristino immediato di edifici e unità immobiliari ad uso abitativo danneggiati dagli eventi sismici del 20 e 29 maggio 2012 e temporaneamente o parzialmente inagibili.
- Regione Emilia-Romagna & ENI-AGIP, (1998) - Riserve idriche sotterranee della Regione Emilia-Romagna. A cura di G. M. Di Dio. Regione Emilia-Romagna, ufficio geologico – ENI-Agip, Divisione Esplorazione & Produzione. SELCA, Firenze, pp 120.
- Ricci Lucchi F., (1986) - The Oligocene to Recent foreland basins of the northern Apennines. In: Allen, P., Homewood, P. (Eds.), *Foreland basins*. Blackwell Scientific, Oxford, pp. 105-139.
- Ricci Lucchi F., Colalongo M.L., Cremonini G., Gasperi G., Iaccarino S., Papani G., Raffi S., Rio D., (1982) - Evoluzione sedimentaria e paleogeografica nel margine appenninico. In: Cremonini G., Ricci Lucchi F. (Eds.). *Guida alla Geologia del margine appenninico-padano* Pitagora-Technoprint, Bologna, pp. 17-46.
- Robertson P.K. & Wride C.E., (1998) - Evaluating Cyclic Liquefaction Potential using the CPT. *Canadian Geotechnical Journal*, Vol. 35, No. 3.
- Rovida A., Camassi R., Gasperini P., Stucchi M., (2011) - CPTI11, La versione 2011 del Catalogo Parametrico dei Terremoti Italiani, Milano Bologna, <http://emidius.mi.ingv.it/CPTI>.
- Sieberg A., (1930) - *Geologie der Erdbeben*. Handbuch der Geophysik, 2(4), 552-555
- Sonmez H., (2003) - Modification to the liquefaction potential index and liquefaction susceptibility mapping for a liquefaction-prone area (Inegol-Turkey). *Environ Geology* 44(7), 862–871.
- Strobbia C., (2003) - Surface Wave Methods: acquisition, processing and Inversion. PhD dissertation, Politecnico di Torino, 317 pp.

- Stucchi M., Camassi R., Rovida A., Locati M., Ercolani E., Meletti C., Migliavacca P., Bernardini F., Azzaro R., (2007) - DBMI04, il database delle osservazioni macrosismiche dei terremoti italiani utilizzate per la compilazione del catalogo parametrico CPTI04. Quad. Geofis. 49, 38 (in Italian), available at <http://emidius.mi.ingv.it/DBMI04>.
- Swift D.J.P., (1975) - Barrier-island genesis: evidence from the central Atlantic shelf, eastern USA. *Sedimentary Geology* 14, 1–43.
- Swift D.J.P., Kofoed J.W., Saulsbury F.B., Sears P.C., (1972) - Holocene evolution of the shelf surface, central and southern Atlantic shelf of North America. In: Swift, D.J.P., Duane, D.B., Pilkey, O.H. (Eds.), *Shelf Sediment Transport: Process and Pattern*, Stroudsburg, Pennsylvania. Dowden Hutchinson & Ross, Stroudsburg, PA, pp. 499–574.
- Toscani G., Burrato P., Di Bucci D., Seno S., Valensise G., (2009) - Plio-Quaternary tectonic evolution of the Northern Apennines thrust fronts (Bologna-Ferrara section, Italy): seismotectonic implications. *Bollettino della Società Geologica Italiana* 128.
- Veronese T., (2014) - Esperienze nei territori colpiti dal sisma dell'Emilia (maggio 2012) - Casi di studio, *Il Geologo dell'Emilia-Romagna*, n. 50.
- Veronese T., Romagnoli M., (2014) - Considerazioni sulla valutazione del rischio di liquefazione indotta da sisma, sui terreni della bassa pianura padana. *Il Geologo dell'Emilia-Romagna*.